

Zürcher Archäologie



Heft 31

Daniel Käch

Neues zum römischen Gutshof von Dietikon

Zürcher Archäologie Heft 31

Zürcher Archäologie

Heft 31

Daniel Käch

Neues zum römischen Gutshof von Dietikon

Die Resultate der Grabungen seit 1995

Mit Beiträgen von

Luisa Bertolaccini

Marlu Kühn

Elisabeth Langenegger

Redaktion: Markus Stromer

Druck: FO-Fotorotar, ein Geschäftsbereich der FO Print & Media AG, 8132 Egg ZH
Papier: Offset, holzfrei; Umschlag 280 g/m², Inhalt 120 g/m²

© 2013 Baudirektion Kanton Zürich
Amt für Raumentwicklung, Kantonsarchäologie, 8600 Dübendorf
ISBN 978-3-905681-82-6

Inhaltsverzeichnis

| | | | |
|-----------|--|---|----|
| | | 3.4.8 Phase O3: Benutzung des Gebäudes im späten 2. Jh. | 27 |
| | | 3.4.9 Phase O4: Benutzung des Gebäudes im mittleren 3. Jh. | 28 |
| | | 3.4.10 Phase O5: Letzte Benutzung und Zerstörung im 3. Viertel des 3. Jh. | 31 |
| | | 3.4.11 Gebäude P: Einleitung | 32 |
| | | 3.4.12 Phase P1: Errichtung des Gebäudes (flavisch) | 32 |
| | | 3.4.13 Phase P2: Benutzung des Gebäudes (flavisch bis Mitte 2. Jh.) | 34 |
| | | 3.4.14 Phase P3: Einbau der Feuerstelle Pos. 402 und der Konstruktion Pos. 419 (Mitte 2. Jh.?) | 36 |
| | | 3.4.15 Phase P4: Abtiefen eines Innenbereichs im Südosten und anschliessende Benutzung (3. Viertel 2. Jh.?) | 36 |
| | | 3.4.16 Phase P5: Brandereignis und Lehmboden Pos. 409 (3. Viertel 2. Jh.) | 37 |
| | | 3.4.17 Untersuchung eines Getreidefunds aus der Brandschicht Pos. 410 (<i>Marlu Kühn</i>) | 37 |
| | | 3.4.18 Phase P6: Letzte Benutzung (1. Hälfte 3. Jh.) | 38 |
| | | 3.4.19 Phase P7: Zerstörung (Mitte 3. Jh.) | 39 |
| | | 3.4.20 Der Gebäudezugang | 40 |
| | | 3.4.21 Nicht genauer datierbare bauliche Massnahmen | 40 |
| | | 3.4.22 Das ziegelgedeckte Holzgebäude zwischen den Bauten F und O | 41 |
| | 4 | Marktplatz, Gebäude E: Ein Wohngebäude? | 48 |
| | 4.1 | Einleitung | 48 |
| | 4.2 | Die Schichtabfolge im Überblick | 48 |
| | 4.3 | Das Gebäude E | 48 |
| | 4.4 | Deutung der Baureste und Datierung | 49 |
| | 5 | Kirchplatz, Kirchgarten: Das Herrenhaus | 50 |
| | 5.1 | Die geophysikalischen Messungen aus dem Jahr 2004 | 50 |
| | 5.2 | Die archäologischen Untersuchungen | 51 |
| | 6 | Beobachtungen und Untersuchungen ohne Befunde | 51 |
| | | III Detailuntersuchungen | 51 |
| | 1 | Die frühen Holzbauten an der Neumattstrasse 11, 13, 15 | 51 |
| | 1.1 | Einleitung | 51 |
| | 1.2 | Schichtaufbau | 53 |
| | 1.3 | Die Befunde | 54 |
| | 1.3.1 | Pfostengruben | 54 |
| | 1.3.2 | Gräbchen | 57 |
| | 1.3.3 | Feuerstellen | 57 |
| | 1.3.4 | Die Feuergrube Pos. 446 – eine frühromische Struktur? | 58 |
| | 1.3.5 | Gruben | 58 |
| | 1.3.6 | Deutung der Reste | 59 |
| | 1.4 | Die Funde aus der Holzbauperiode | 59 |
| | 1.5 | Datierung und Folgerungen | 60 |
| | 1.6 | Die bisher bekannten Holzbaubefunde in Dietikon | 60 |
| | 1.7 | Die holzgebauten Gutshöfe im Kanton Zürich – eine Zusammenfassung des Kenntnisstands | 62 |
| | 1.7.1 | Neftenbach | 62 |
| | 1.7.2 | Buchs | 63 |
| I | Einleitung | | 7 |
| II | Befund- und Fundvorlage | | 8 |
| 1 | Neumattstrasse 12–16: Gebäude M («Tempel 1953») | | 8 |
| 1.1 | Einleitung | | 8 |
| 1.2 | Die Schichtabfolge im Überblick | | 8 |
| 1.3 | Das Heiligtum – Gebäude M | | 8 |
| 1.4 | Die Umgebung | | 10 |
| 1.5 | Die Chronologie | | 10 |
| 2 | Vorstadtstrasse 44–52: An die Hofmauer gebautes Nebengebäude N | | 11 |
| 2.1 | Einleitung | | 11 |
| 2.2 | Die Schichtabfolge im Überblick | | 11 |
| 2.3 | Die prähistorischen Befunde und Funde | | 12 |
| 2.4 | Phase N1: Errichtung des Gebäudes und der Hofmauer (nach der Mitte des 1. Jh.) | | 12 |
| 2.4.1 | Schichten | | 12 |
| 2.4.2 | Strukturen | | 13 |
| 2.4.3 | Datierung der Phase N1 | | 13 |
| 2.5 | Phase N2: Erste Benutzung des Gebäudes (nach der Mitte des 1. Jh. bis um 200 n.Chr.) | | 14 |
| 2.5.1 | Schichten | | 14 |
| 2.5.2 | Strukturen im Gebäude | | 14 |
| 2.5.3 | Befunde ausserhalb des Gebäudes | | 15 |
| 2.5.4 | Datierung der Phase N2 | | 16 |
| 2.6 | Phase N3: Dachversturz infolge eines Brandes (1. Hälfte 3. Jh.?) | | 16 |
| 2.6.1 | Schichten | | 16 |
| 2.7 | Phase N4: Einbau einer Räucheranlage über dem Ziegelversturz Pos. 27 (1. Hälfte 3. Jh.?) | | 17 |
| 2.7.1 | Schichten | | 17 |
| 2.7.2 | Strukturen: Die Räucheranlage | | 17 |
| 2.8 | Phase N5: Der Mauerversturz Pos. 23 (3. Viertel des 3. Jh.?) | | 18 |
| 2.8.1 | Schichten | | 18 |
| 2.8.2 | Datierung der Phase N5 | | 19 |
| 2.9 | Phase N6: Nutzung bis ins mittlere 4. Jh. | | 19 |
| 2.10 | Die nachrömische Nutzung des Geländes: Frühmittelalterliches Grubenhaus und neuzeitlicher Keller | | 19 |
| 3 | Neumattstrasse 11, 13, 15. An die Hofmauer gebaute Gebäude F, O und P | | 19 |
| 3.1 | Einleitung | | 19 |
| 3.2 | Die Schichtabfolge im Überblick | | 19 |
| 3.3 | Die Holzbauperiode | | 21 |
| 3.4 | Die Steinbauperiode | | 21 |
| 3.4.1 | Gebäude F: Einleitung | | 21 |
| 3.4.2 | Phase F1: Errichtung des Gebäudes (flavisch) | | 21 |
| 3.4.3 | Phase F2: Benutzung des Gebäudes (flavisch – nach 270 n.Chr.) | | 22 |
| 3.4.4 | Phase F3: Zerstörung des Gebäudes (nach 270 n.Chr.) | | 22 |
| 3.4.5 | Gebäude O: Einleitung | | 22 |
| 3.4.6 | Phase O1: Errichtung des Gebäudes (flavisch) | | 22 |
| 3.4.7 | Phase O2: Erste Benutzung des Gebäudes (flavisch bis Ende 2. Jh.) | | 24 |

| | | | | | |
|-----------|--|----|------------|---|-----|
| 1.7.3 | Übrige Gutshöfe | 64 | 9.2 | Zu den Funden in der Umgebung von Gebäude N | 86 |
| 1.8 | Fazit zur Holzbautechnik in den Gutshöfen | 65 | 9.3 | Funde aus Bau F | 86 |
| 1.8.1 | Pfosten- und Ständerbau | 65 | 9.4 | Umgebung Gebäude F bzw. F/O | 86 |
| 1.8.2 | Ausstattung | 65 | 9.5 | Gebäude O | 86 |
| 2 | Die Nutzung des Gutshofareals vom 4. bis ins 7. Jh. | 67 | 9.6 | Gebäude P und Umgebung | 86 |
| 2.1 | Fischerweg 2–4. Ein weitgehend zerstörtes Grubenhaus und Einzelbefunde | 67 | 10 | Vergleich mit Münzreihen ähnlicher Strukturen | 86 |
| 2.2 | Vorstadtstrasse 44–52. Ein Grubenhaus und einzelne Pfostengruben | 68 | 10.1 | Die Münzreihe des Gutshofs von Neftenbach | 87 |
| 2.3 | Neumattstrasse 11, 13, 15 | 70 | 10.2 | Die Fundmünzen anderer Gutshöfe auf Zürcher Kantonsgebiet | 87 |
| 2.3.1 | Einleitung | 70 | 10.3 | Die numismatischen Funde von Gutshöfen am Jurasüdfuss | 87 |
| 2.3.2 | Ein im frühen 4. Jh. (?) errichteter Pfostenbau | 71 | 10.4 | Schlussfolgerungen aus den Vergleichen | 87 |
| 2.3.3 | Weitere Befunde zwischen den Bauten F und O | 72 | 11 | Abschliessende Bemerkungen und Zusammenfassung | 88 |
| 2.3.4 | Befunde in den Steingebäuden O und P | 72 | | | |
| 2.3.5 | Grube Pos. 238 und Kindergrab Pos. 232 beim Bau P | 73 | V | Synthese | 88 |
| 2.3.6 | Funde des 4. bis 7. Jh. in umgelagerten Schichten | 73 | 1 | Die neuen Befunde | 88 |
| 2.4 | Bahnhofstrasse 8: Ein frühmittelalterliches Grab | 75 | 1.1 | Die frühen Holzbauten an der Neumattstrasse 11, 13, 15 | 88 |
| 3 | Die Kindergräber an der Neumattstrasse 11, 13, 15 (<i>Elisabeth Langenegger, Daniel Käch</i>) | 75 | 1.2 | Die Steinbauten und das Holzgebäude zwischen den Bauten F und O | 89 |
| 3.1 | Bestattungen ausserhalb der Gebäude | 75 | 1.2.1 | Die an der Umfassungsmauer liegenden Gebäude N, O und P | 89 |
| 3.2 | Bestattungen in den Gebäuden | 77 | 1.2.2 | Die Schwellenhöhe der Gebäude in Bezug auf die Innenniveaus | 89 |
| 3.3 | Die früher beobachteten Kinderbestattungen an der Neumattstrasse | 77 | 1.2.3 | Gebäude M («Tempel 1953») | 90 |
| 3.4 | Zusammenfassende Beobachtungen zu den Kindergräbern | 78 | 1.2.4 | Gebäude E | 90 |
| 3.4.1 | Lage, Grabform und Körperhaltung | 78 | 1.2.5 | Die Villa | 91 |
| 3.4.2 | Gab es Familienareale? | 79 | 1.2.6 | Das Holzgebäude zwischen Bau F und O | 91 |
| 3.4.3 | Die zeitliche Verteilung | 79 | 1.3 | Die Wege | 91 |
| | | | 1.4 | Der Reppisch-Durchfluss in römischer Zeit | 91 |
| | | | 2 | Die Chronologie | 92 |
| IV | Die Fundmünzen der archäologischen Untersuchungen der Jahre 2000 bis 2006 (<i>Luisa Bertolaccini</i>) | 80 | 2.1 | Holzbauperiode (2. Viertel bis nach der Mitte des 1. Jh.) | 92 |
| 1 | Einleitung | 80 | 2.2 | Steinbauperiode (flavisch bis Mitte/spätes 3. Jh.) | 92 |
| 2 | Die Fundmünzen nach Fundort gegliedert | 81 | 2.2.1 | Errichtung der Gebäude | 92 |
| 2.1 | Die Funde aus der Umgebung von Gebäude M («Tempel 1953») | 81 | 2.2.2 | Zerstörung der Gebäude und Nutzung bis ins mittlere 4. Jh. | 93 |
| 2.2 | Die Funde aus der Umgebung von Gebäude N | 81 | 2.2.3 | Die Einordnung der Zerstörungsschichten in die Siedlungsphasen IV und V nach Ebnöther (3. Jh.–Mitte 4. Jh.) | 94 |
| 2.3 | Die Funde aus dem Gebäude F | 81 | 2.2.4 | Die frühmittelalterliche Nutzung | 95 |
| 2.4 | Die Funde aus der Umgebung von Gebäude F bzw. von Gebäude F oder O | 81 | | | |
| 2.5 | Die Funde aus Gebäude O | 83 | VI | Zusammenfassung | 96 |
| 2.6 | Die Funde vom Vorplatz und aus der Umgebung von Gebäude O | 83 | VII | Anhang | 98 |
| 2.7 | Die Funde aus dem Gebäude P bzw. aus dessen Umgebung | 83 | 1 | Befundkatalog der spätrömischen und frühmittelalterlichen Strukturen an der Neumattstrasse 11, 13, 15 | 98 |
| 3 | Nominalstruktur | 83 | 2 | Tabellen | 100 |
| 4 | Prägeherrschaften und Prägestätten | 83 | 3 | Anmerkungen | 112 |
| 5 | Imitationen | 84 | 4 | Abkürzungen | 122 |
| 6 | Halbierungen | 84 | 5 | Bibliographie | 123 |
| 7 | Münzen mit Brandspuren | 84 | 6 | Nachweise | 124 |
| 8 | Erhaltungszustand und Geldumlauf | 84 | 7 | Fundkatalog | 125 |
| 9 | Die Münzfunde im archäologischen Kontext | 85 | 8 | Tafeln | 131 |
| 9.1 | Gebäude M («Tempel 1953») | 85 | | | |

I Einleitung

In den 1980er-Jahren hatte die rege Bautätigkeit in Dietikon eine grosse Anzahl von Notgrabungen ausgelöst. Danach trat ab 1990 eine relative Ruhephase ein, sodass es damals angezeigt war, die Ergebnisse der Ausgrabungen von 1984 bis 1990 unter Einbezug der Beobachtungen früherer Jahre zu publizieren. Christa Ebnöther legte diese Resultate 1995 in einer Monographie vor¹.

Seit der Jahrtausendwende ist wieder eine deutliche Zunahme der archäologischen Untersuchungen feststellbar (Abb. 1)². So konnte seither der bereits 1953 einmal ausgegrabene, jedoch nur knapp dokumentierte Tempel an der Neumattstrasse nochmals freigelegt werden. Im Anschluss an die Bezeichnungen von Christa Ebnöther bezeichnen wir diesen Bau als Gebäude M³. Zudem wurden bei den Untersuchungen an der Vorstadtstrasse 44–52 und an der Neumattstrasse 11, 13, 15 drei neue, mit der Hofmauer verbundene Nebengebäude freigelegt, die wir im Folgenden Gebäude N, O und P nennen. Weitere kleinere Untersuchungen fanden im Bereich der Villa und im bereits 1986 angeschnittenen Gebäude E statt. Diese neuen Ausgrabungen und die daraus gewonnenen Erkenntnisse werden in der vorliegenden Arbeit präsentiert.

Nach Abschluss der 2004 bis 2006 durchgeführten Grabungen an der Neumattstrasse 11, 13, 15 stellte sich die Frage, in welcher Form diese Resultate publiziert werden sollen. Dabei war von Anfang an klar, dass alle Untersuchungen seit der Publikation von Christa Ebnöther in die Betrachtungen einbezogen werden müssen. Vorgegeben war aber auch, dass die Auswertung niemals die Tiefe der 1995 erschienenen Monographie aufweisen kann. Die knappen finanziellen und personellen Ressourcen bewegen uns dazu, nur die neuen, ergänzenden Erkenntnisse vorzulegen und bereits Gesagtes und Bekanntes wegzulassen bzw. darauf zu verweisen.

Die vorliegende Publikation ergänzt und präzisiert den Plan des Gutshofs und stellt die neuen, wichtigen Resultate zum Fundplatz vor. Es sind dies einerseits die frühen Holzbaubefunde an der Neumattstrasse, andererseits jene Befunde, die zeitlich nach den Zerstörungen des 3. Jh. n. Chr. angesetzt werden können. Detailliert besprochen werden auch die Kindergräber, die nicht nur den Fundbestand deutlich vermehren, sondern erstmals ein differenzierteres Bild der römischen Kinderbestattungen im Allgemeinen ermöglichen.

Die Beschränkung von Umfang und Bearbeitungstiefe hat zur Folge, dass die Baugeschichte der Steingebäude nur in groben Zügen skizziert wird und eher in den Hintergrund tritt. Wir legen einen gewissen Schwerpunkt an den Anfang und das Ende der Steinbauphase, die für die Gesamtentwicklung des Gutshofs entscheidend sind. Mit dieser Fokussierung tritt verständlicherweise auch das Fundmaterial in den Hintergrund: Die Funde werden nur in Ausnahmefällen detailliert vorgelegt und zwar nur dann, wenn sie den bisherigen Fundbestand von Dietikon wesentlich ergänzen. Es sind dies die Funde aus der Holzbau-

periode sowie die spätrömischen und frühmittelalterlichen Fundobjekte.

Eine Baugeschichte ohne detaillierte Vorlage des zugehörigen Fundmaterials ist nicht nur für Leserinnen und Leser etwas Neues. Mehr noch als sonst ist bei diesem Vorgehen der Bearbeiter gefragt. Er muss entscheiden, welche Funde datierend sind und daher genannt werden müssen. Zudem bleibt kein Raum für Objekte, die nicht direkt angesprochen werden können oder für die keine direkten Parallelen erkennbar sind.

Diese Abstriche halten wir für vertretbar, weil Christa Ebnöther sowohl das Fundmaterial als auch die Baugeschichte des Gutshofs von Dietikon in grossen Zügen bereits dargelegt und besprochen hat. Die vorliegende Publikation kann und soll daher vor allem das Potenzial der neu ausgewerteten Befunde und Funde aufzeigen.

Die Kapitel II.1–II.5 bieten eine Übersicht zu den Ausgrabungen der letzten 15 Jahre. Anschliessend erwähnt Kapitel II.6 jene archäologischen Untersuchungen, die keine Resultate geliefert haben. Auf diesen Überblick, der für das Verständnis der Entwicklung der Anlage und des neuen Plans wichtig ist, folgen in Kapitel III die detaillierten Untersuchungen.

In Kapitel IV bespricht Luisa Bertolaccini die Fundmünzen, während in einem abschliessenden Synthesekapitel (Kap. V) die Resultate nach verschiedenen Gesichtspunkten zusammengefasst werden. Es sind dies beispielsweise die Anpassungen im Gesamtplan der Gutshofanlage oder die Ergänzungen zur bisher bekannten Baugeschichte des Gutshofs. Gleichzeitig werden hier die wichtigsten Resultate nochmals knapp resümiert.

Dank

Für Hinweise und anregende Diskussionen bin ich zahlreichen Kolleginnen und Kollegen der Kantonsarchäologie zu Dank verpflichtet, insbesondere Beat Horisberger, Renata Windler, Stefan Schreyer und Kurt Altorfer. Luisa Bertolaccini, Elisabeth Langenegger und Marlu Kühn danke ich für die aktive Mithilfe und das Verfassen ihrer Beiträge. Für die sorgfältige Restaurierung der Metallobjekte bedanke ich mich bei Christian Cevey vom Schweizerischen Nationalmuseum. Weiter danken möchte ich dem Restauratorinnenteam der Kantonsarchäologie, Renate Leu-Theuner, Susanne Holzinger und Kathrin Trüllinger. Für die Fotos der Funde und die Fotoredaktion sei Martin Bachmann gedankt, für das Erstellen der Pläne Max Wiesendanger, Martina Bisaz und Bruno von Aesch, für das Zeichnen der Funde Sybille Heusser, Martina Bisaz und Dani Pelagatti. Für die redaktionelle Bearbeitung des Manuskripts danke ich Markus Stromer. Schliesslich möchte ich mich bei Rolf Gamper bedanken, der mit seiner abgerundeten Grabungsdokumentation den Grundstein für die vorliegende Auswertung gelegt hat.

II Befund- und Fundvorlage

1 Neumattstrasse 12–16: Gebäude M («Tempel 1953»)

1.1 Einleitung

An der Neumattstrasse⁴ konnte der bereits 1953 freigelegte Tempel noch einmal dokumentiert und genau eingemessen werden (Abb. 1, Nr. 1)⁵. Untersucht wurde bei den Ausgrabungen im Jahr 2003 nur der Bereich zwischen den beiden 1953 errichteten Wohnblöcken – eine Fläche von ca. 20 × 40 m –, der durch eine Tiefgarage überbaut wurde (Abb. 2–3). Der Perimeter der Wohnblöcke selbst wurde nicht erforscht, da diese unterkellert waren. Der von Karl Heid erwähnte, zur nordöstlichen Umfassungsmauer des Tempels parallel laufende «Vorbau»⁶ war nicht erhalten, weil in diesem Bereich 1953 beim Bau der Wohnblöcke ein durchlaufender Betonriegel erstellt wurde.

Nach Hinweisen aus dem handschriftlichen Bericht von Karl Heid, der 1953 die örtliche Leitung dieser vom Schweizerischen Landesmuseum durchgeführten Grabung innehatte, und diversen Abbildungen in der Lokalpresse musste vor der Neuaufdeckung damit gerechnet werden, dass im Tempel alle Bodenniveaus zerstört waren – dies traf dann auch zu⁷. Ausserdem sind die Mauern des Heiligtums beim Bau einer Garage, die genau über dem Tempel errichtet wurde, teilweise abgetragen worden (Abb. 2).

Die neuen Untersuchungen bestätigen die – in Bezug auf die Gutshofachsen – schräge Ausrichtung des Tempels. Der Bau musste auf dem Plan jedoch um rund 2,5 m nach Nordosten verschoben werden.

1.2 Die Schichtabfolge im Überblick

Die Fundamente des Tempels sind in den gewachsenen Boden (Pos. 9) eingetieft worden. Stellenweise ist über dem gelben und mit Kiesbändern durchsetzten Sand ein dunkler, humoser Silt (Pos. 3) zu beobachten, der neben einzelnen kleinen römischen Ziegelstücken auch glasierte Keramik des 19. und 20. Jh. enthält.

Darüber liegt eine 1–1,5 m mächtige moderne Deckschicht (Pos. 2), die hier im Anschluss an den Bau der Wohnblöcke in den 1950er-Jahren aufgeschüttet wurde. Diese Deckschicht ist mit einem maschinellen Voraushub bis knapp über den gewachsenen Boden abgetragen worden. Wie zeitgenössische Fotos zeigen, war der römische Tempel bei der Auffindung im Jahr 1953 hingegen nur wenig überdeckt gewesen (Abb. 4).

1.3 Das Heiligtum – Gebäude M

Die Mauern des Umgangs sind insgesamt schlechter erhalten als jene der Cella. Das aufgehende Mauerwerk ist im Umgang 0,60 m dick, in der Cella hingegen nur 0,45 m⁸.

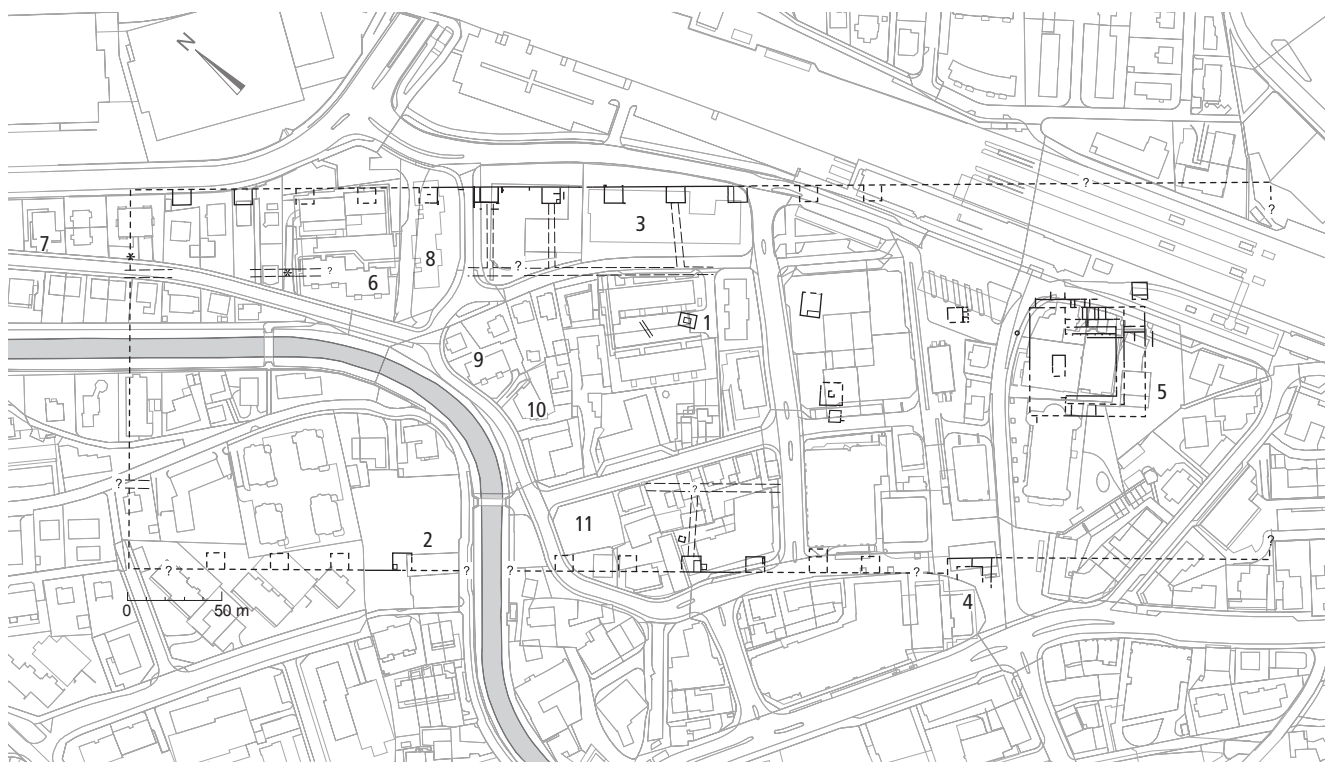


Abb. 1. Aktueller Plan des römischen Gutshofs von Dietikon mit den Grabungsstellen 1–5 und den Negativbefunden 6–11. 1) Neumattstr. 12–16 (Gebäude M – «Tempel 1953»). 2) Vorstadtstr. 44–52 (Gebäude N). 3) Neumattstr. 11, 13, 15 (Gebäude O, P und F). 4) Marktplatz (Gebäude E). 5) Kirchplatz, Kirchgarten (Villa). 6) Austr. 55–57. 7) Vorstadtstr. 17, 19. 8–10) Au-/Untere Reppischstr. 11) Untere Reppischstr. 17. M. 1:4000.



Abb. 3. Gebäude M und Umgebung. Plan. M. 1:400.



Abb. 2. Gebäude M («Tempel 1953») aus Nordosten. Die römischen Mauern werden vom Betonriegel der 1953 errichteten Garage überlagert.

Von der Cella ist stellenweise die unterste Lage der aufgehenden Mauer erhalten (Pos. 48 und 49). In der nördlichen Cellamauer (Pos. 48) sind Ziegelstücke vermauert, was bereits Karl Heid festgehalten hat. Die Cella weist nur auf der Aussenseite einen Fundamentvorsprung auf.

Von den Umgangsmauern (Pos. 29, 30, 31, 45) ist stellenweise noch die erste Lage des aufgehenden Mauerwerks erhalten (Abb. 5), von den Fundamenten des Umgangs maximal zwei Steinlagen. Weil sich auch unter dem aufgehenden Mauerwerk der Umgangsmauer Pos. 31 nur ein zweilagiges Fundament feststellen lässt (Abb. 5), ist anzunehmen, dass die Fundamentierung des Umgangs durchwegs aus zwei Steinlagen bestand. Die Fundamente reichen damit weniger tief als jene der Cella, bei der wir drei Lagen beobachtet haben.

Die von Karl Heid festgehaltenen Masse für Umgang und Cella stimmen mit den Resultaten der neuen Untersuchung weitgehend überein. Der Umgang misst aussen $7,4 \times 9,25$ m, die Cella gemäss den neuen Messungen $3 \times 4,2$ m. Es fällt auf, dass der Umgang auf drei Seiten $1,70\text{--}1,75$ m breit und im Südosten mit $2,4$ m deutlich weiter ist⁹. Der Tempel ist also ganz klar in Richtung Herrenhaus ausgerichtet.

Aussen an den Cella-Ecken sind vier von Karl Heid nicht bemerkte Pfostengruben mit einem Durchmesser von $30\text{--}50$ cm neu aufgedeckt worden (Pos. 50, 51, 56, 57; Abb. 6). Da sich die Keilsteine an die Cellamauern anlehnen, können die Gruben nicht zu einem Vorgängerbau gehören. Die Keilsteine lassen einen Hohlraum von ca. 15 cm offen, sodass wir annehmen, dass die Pfosten einen Durchmesser von dieser Grösse aufwiesen. Auflagesteine auf der Sohle der Gruben fehlen. Während eine Deutung dieser



Abb. 4. Gebäude M bei der Freilegung im Jahr 1953. Im Hintergrund die Liegenschaften Neumattstr. 11 und 13. Ansicht aus Süden.

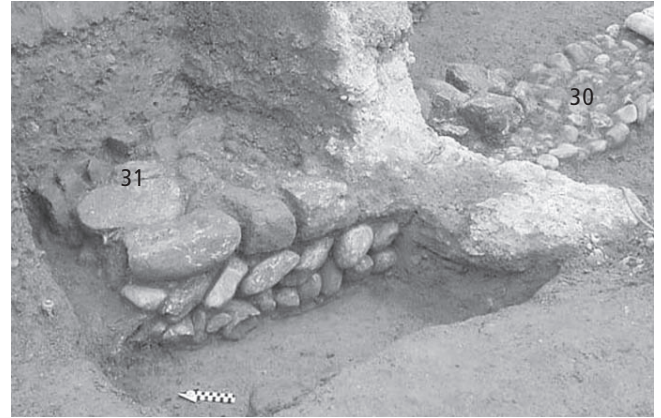


Abb. 5. Gebäude M. Die Umgangsmauern des Tempels (Ecke Pos. 30/31). Links des modernen Betonriegels hat sich die unterste Lage des aufgehenden Mauerwerks erhalten. Ansicht aus Westen.



Abb. 6. Gebäude M. Cellaecke Pos. 46/49 mit Pfostengrube Pos. 50 im Vordergrund. Ansicht aus Südosten.

Pfosten als Eckverstärkung wegen der massiven Bauweise der Cella kaum wahrscheinlich ist, ist die Interpretation als Spuren eines Baugerüsts oder einer späteren Dachreparatur durchaus möglich.

Nach Abschluss der Untersuchungen am Tempel wurden dessen Mauern maschinell abgetragen, wobei sich keine Hinweise auf einen hölzernen Vorgängerbau zeigten¹⁰.

1.4 Die Umgebung

Die tiefgreifenden Störungen von 1953 verhindern in der Regel die Datierung der freigelegten Strukturen (Abb. 3). In der Umgebung des Tempels zeigt der gewachsene Boden der römischen Zeit ein unregelmässiges Profil und verschiedene Mulden. Diese wurden im Lauf der Zeit aufgefüllt – aufgrund der Funde bis in die Moderne hinein. Keine dieser Vertiefungen ist bereits in römischer Zeit verfüllt worden. Vereinzelt belegen Funde eine nachrömische Nutzung des Geländes; diese Objekte dürften mit einem weitgehend

zerstörten Grubenhaus unmittelbar westlich des römischen Tempels zu verbinden sein (Abb. 3, Pos. 54, vgl. Kap. III.2).

Aus römischer Zeit¹¹ stammt vermutlich ein schräg zur Gutshofanlage, etwa NS-verlaufender Weg (Pos. 19/21; Abb. 3). Der maximal 2 m breite, leicht bombierte und wenig massive Kiesweg scheint entlang einer sumpfigen Niederung etwas erhöht angelegt worden zu sein. Er führt nicht auf den Tempel zu, sondern westlich daran vorbei.

In der Nordecke der Grabungsfläche befindet sich ein Schwemmsediment aus Steinen, Sand und Kies mit vereinzelt römischen Ziegelstücken (Abb. 7), das nur gegen Süden klar begrenzt ist. Es handelt sich hierbei um eine Ablagerung der Reppisch, die eine ältere, etwa EW-verlaufende Rinne der Reppisch verfüllt hat (vgl. Kap. V.1.4). Die Verfüllung ist aufgrund der Funde vermutlich in nachrömische Zeit zu datieren. Bereits früher sind solche Rinnen in Innern des Gutshofs beobachtet worden¹².

1.5 Die Chronologie

Da bei den Untersuchungen im Jahr 2003 im Tempel keine intakten Schichten mehr angetroffen worden sind, lässt sich die Errichtung des Baus nicht genauer datieren als bisher. Das Heiligtum ist aufgrund einer Münze des Marcus Aurelius, die sich vermutlich unter dem «Kalkboden» befand, wahrscheinlich im mittleren 2. Jh. errichtet worden¹³. Ein hölzerner Vorgänger wie bei Gebäude G lässt sich wie erwähnt nicht feststellen. Bei den neuen Untersuchungen ist zwar eine ganze Reihe von Münzen geborgen worden, leider aber alle in umgelagerten Schichten. Von den zehn¹⁴ neuen römischen Münzen (M1–M10; Tab. 14) fanden sich zwei im Tempel selbst, fünf in dessen unmittelbarer Umgebung sowie zwei in einer Distanz von maximal 15 m Entfernung. Bei Münze M1 ist die Koordinate unbekannt, d.h. ihre Lokalisierung bleibt offen¹⁵.

Die Münzen verteilen sich zeitlich wie folgt: Drei stammen aus dem 1. Viertel des 1. Jh., eine aus dem 2. Jh.



Abb. 7. Umgebung von Gebäude M. Schräg verlaufende, mit Steinen verfüllte Schwemmrinne Pos. 13. Ansicht aus Nordosten.

sowie deren sechs aus dem 3. Jh. (Tab. 14). Auffallend sind die drei Münzen des Tiberius (M1–M3; Tab. 14, 1–3), die deutlich älter sind, als die bisher bekannten Stücke aus der Umgebung des Tempels. Von den bisher aus Dietikon bekannten 160 römischen Münzen (inkl. Altfunde) waren bislang nur 14 in die Zeit bis und mit Tiberius zu datieren¹⁶. Die drei neuen Münzen bedeuten also eine deutliche Vermehrung des frühen Bestands.

Die genannten Münzen des Tiberius könnten darauf hinweisen, dass hier ein Vorgängerbau lag, auch wenn er durch die Ausgrabungen nicht gefasst werden konnte¹⁷. Wir bezeichnen diese hypothetische erste Phase als Phase M1. Die Errichtung des steinernen Tempels – nach der Mitte des 2. Jh.? – und die anschließende Nutzung nennen wir dementsprechend Phase M2.

Die vier Münzen aus dem 3. Viertel des 3. Jh. stammen zwar aus umgelagerten Schichten, dürften aber darauf hinweisen, dass dieses Gelände bis in diese Zeit begangen bzw. der Tempel möglicherweise bis dahin genutzt wurde¹⁸. Die ebenfalls in umgelagerten Schichten gefundene TS-Schüssel FK 64 deutet wohl darauf hin, dass die Begehung bzw. Benutzung des Tempels sogar bis ins 4. Jh. reichte (Abb. 117, vgl. Kap. V.2.2.3). Wir fassen diese Phase unter M3 zusammen.

Der erwähnte Kiesweg, die einzige weitere römische Struktur ausserhalb des Tempels, enthält leider nur wenig Keramik (FK 21) des 2. oder 3. Jh. und lässt sich damit der Phase M2 zuweisen.

2 Vorstadtstrasse 44–52: An die Hofmauer gebautes Nebengebäude N

2.1 Einleitung

Die Überbauung des Grundstücks Vorstadtstrasse 44–52¹⁹ bietet erstmals die Gelegenheit, römische Gebäude westlich des Reppischknies zu untersuchen (Abb. 1, Nr. 2, 8).

2.2 Die Schichtabfolge im Überblick

Über dem gelben, sterilen Sand des gewachsenen Bodens (Pos. 4) liegen der fossile Humus (Pos. 48) sowie das verschwemmte, bronzezeitliche Niveau Pos. 47 (Abb. 9²⁰, vgl. Kap. II.2.3). Darüber befindet sich ein römisches Schichtpaket aus graubraunem Silt mit prähistorischen und einzelnen römischen Funden (Pos. 46). Die Mauern des römischen Steingebäudes sind darin eingetieft. Im 2. Jh. wurde ausserhalb des Gebäudes die Planie Pos. 33 abgelagert und im Innern der Graben Pos. 53 ausgehoben. Darin kann eine reiche Schichtabfolge festgestellt werden. Da im Gebäudeinnern die Brandschicht des Abgangs (Pos. 54) direkt auf der frühen Planie Pos. 46 ruht, nehmen wir an, dass hier ein Teil der Schichten fehlt.

Die römischen Befunde – Gebäude N und die damit in Verband stehende Hofmauer – sind nur wenig überdeckt, sodass die Versturzschichten infolge der neuzeitlichen Eingriffe nicht mehr überall intakt sind oder sogar ganz fehlen (Abb. 9–10). So liegt im Südosten, direkt neben dem inzwischen abgebrochenen Bauernhaus, der moderne Kiesplatz Pos. 8 unmittelbar auf dem Ziegelversturz Pos. 27 (vgl. Abb. 9). Im Bereich der anzunehmenden Portikus im Nordosten fehlen alle römischen Schichten.

Über den römischen Befunden und Schichten liegt in der Regel die dünne Mischschicht Pos. 2, die römische, aber auch moderne Funde enthält, zuoberst schliesslich der Humus (Pos. 1).



Abb. 8. Gebäude N. Das Grabungsgelände im Schnee Anfang April 2004. Ansicht aus Westen.

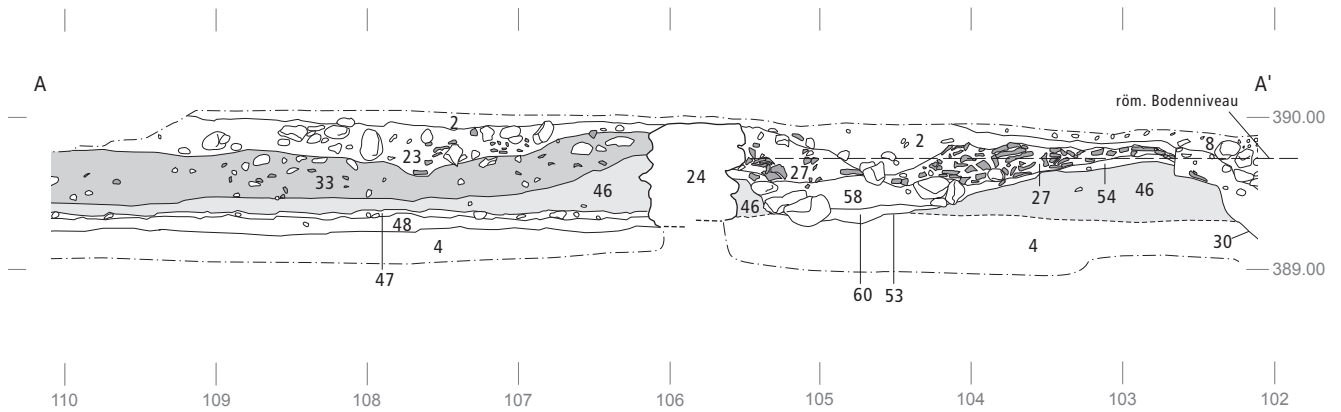


Abb. 9. Gebäude N. Nordostprofil (für die Lage vgl. Abb. 11). Rechts der Gebäudemauer Pos. 24 das Gebäudeinnere mit dem Graben Pos. 53, links der Aussenbereich. M. 1:50.



Abb. 10. Gebäude N. Das oberste römische Niveau. Rechts die Hofmauer Pos. 19, in der Bildmitte die noch in Betrieb stehende Telefonleitung. Im Hintergrund das heutige Aussenniveau. Ansicht aus Nordwesten.

2.3 Die prähistorischen Befunde und Funde

Die römische Planie Pos. 46 mit prähistorischer und vereinzelt römischer Keramik überdeckt ein nur stellenweise fassbares prähistorisches Niveau, das aus kleinen Kiesel, durch Hitze gesprungenen Steinen sowie einzelnen prähistorischen Scherben besteht (Pos. 47). Es ist zu vermuten, dass es sich dabei um ein verschwemmtes bronzezeitliches Niveau handelt (Abb. 9). Es liegt auf einem graubraunen Siltpaket (Pos. 48), das wir als einen vor der Bronzezeit entstandenen fossilen Humus interpretieren. Das bronzezeitliche Niveau scheint sich über eine grössere Fläche ausgedehnt zu haben, konnte es doch im Rahmen der abschliessenden Baubegleitung ganz im Südwesten der Baugrube auf einer Länge von mehreren Metern im Profil gefasst werden. Auch im nordwestlichen Baugrubenprofil ist die Schicht vorhanden (s. unten).

Der wichtigste prähistorische Befund innerhalb des Grabungsperimeters liegt unmittelbar neben dem römischen

Gebäude: eine flache, mit Hitzesteinen und bronzezeitlicher Keramik verfüllte Mulde (Pos. 70; Abb. 11–13). Die in der Regel in kleine Stücke zersprungenen Steine weisen mehrheitlich Hitzespuren auf. Es könnte sich demnach um die Reste einer Brandgrube handeln.

Eine zweite Grube haben wir anlässlich der Baubegleitung im nordwestlichen Baugrubenprofil festgestellt (Pos. 114). Sie liegt etwa 20 m von der genannten Brandgrube Pos. 70 entfernt in unmittelbarer Nachbarschaft zu einer Parzelle an der Vorstadtstrasse 32, wo 1985 Reste einer spätbronzezeitlichen Siedlung aufgedeckt worden sind²¹. Die nur vereinzelt auftretenden bronzezeitlichen Befunde beim Gebäude N zeigen, dass wir uns hier bereits an der Peripherie der Siedlung befinden.

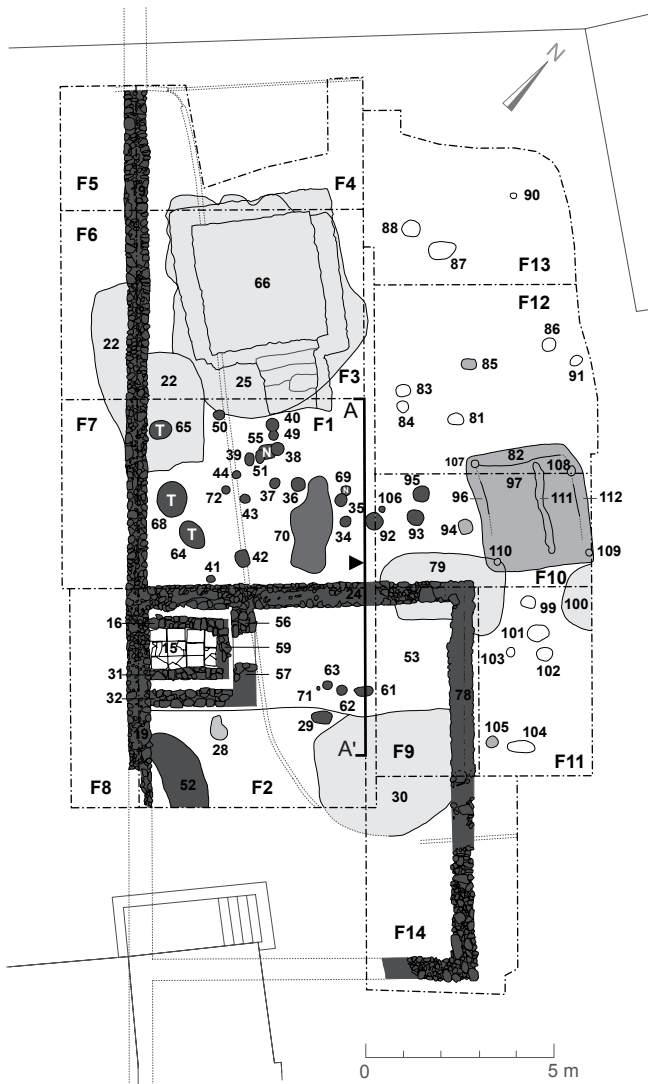
2.4 Phase N1: Errichtung des Gebäudes und der Hofmauer (nach der Mitte des 1. Jh.)

2.4.1 Schichten

Über dem gewachsenen Boden Pos. 4, dem fossilen Humus Pos. 48 und dem bronzezeitlichen Niveau Pos. 47 (Abb. 9) liegt das römische Schichtpaket Pos. 46. Weil die Gebäudemauern (u.a. Pos. 24) in das Schichtpaket Pos. 46 eingetieft sind, muss dieses vor der Errichtung des römischen Steingebäudes hier abgelagert worden sein. Dass Pos. 46 erst nach der Errichtung der Mauern abgelagert wurde, ist sicher auszuschliessen, weil man die Fundamente sonst hätte freistehend aufmauern müssen.

OK von Schicht Pos. 46 muss sich demnach das erste Gehniveau zum römischen Steingebäude befunden haben. Ein eigentlicher Gehhorizont kann allerdings weder inner- noch ausserhalb des Baus festgestellt werden. Zudem lassen sich – abgesehen von den Gebäudemauern – keine Befunde fassen, die sicher von diesem Horizont aus abgetieft wurden. Dies kann nur bedeuten, dass der Bereich nordwestlich des Gebäudes im späteren 1. Jh. ungenutzt blieb.

Weshalb vor Baubeginn eine Planie eingebracht wurde, lässt sich nicht ermitteln. Es ist aber nicht ausgeschlossen,



| | | | | |
|---|-------------|---|---------------|-------------------|
| T | Tierskelett | N | Neonaten-Grab | |
| ■ | Römisch | ■ | Prähistorisch | ■ Frühmittelalter |
| ■ | Modern | □ | Unbestimmt | |

Abb. 11. Gebäude N und Umgebung. Plan (alle Phasen). Die im Text erwähnten Suchschnitte sind nicht eingezeichnet, da sie weiter südöstlich liegen. M. 1:200.

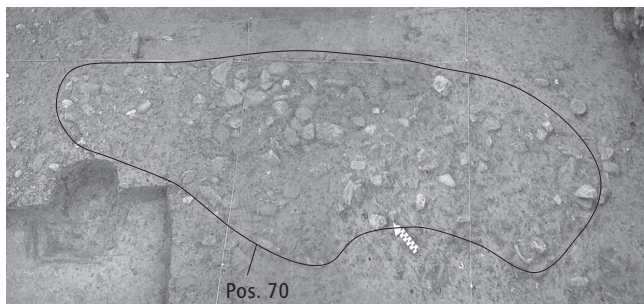


Abb. 12. Umgebung Gebäude N. Die bronzezeitliche Grube Pos. 70, Bild zusammengesetzt aus mehreren Einzelaufnahmen. Ganz rechts die römische Gebäudemauer. Ansicht aus Südwesten.

dass hier die Reste eines sonst nicht nachgewiesenen hölzernen Vorgängerbaus ausplaniert wurden. Weil die Planie Pos. 46 älter ist als das Steingebäude, kann sie nicht mit der Planie Pos. 44 an der Neumattstrasse verglichen werden, denn jene wurde nach der Errichtung der Steingebäude abgelagert (vgl. Kap. II.3.2).

Da charakteristische Funde aus der Planie Pos. 46 fehlen, lässt sich die Errichtung des Steingebäudes nicht datieren (s. unten Kap. II.2.4.3). Aufgrund der allgemeinen Entwicklung der Gutshofanlage ist es aber vermutlich nach der Mitte des 1. Jh. gebaut worden.

2.4.2 Strukturen

Das Gebäude N

Das $9,2 \times 10,6$ m messende römische Gebäude N ist unterschiedlich gut erhalten (Abb. 11, 14)²². Seine Nordostmauer (Pos. 78) ist durch neuzeitliche Eingriffe stellenweise tiefgreifend gestört. Aufgehendes Mauerwerk kann nirgends mehr beobachtet werden. Deutlich besser erhalten sind die nordwestliche und die südwestliche Mauer (Pos. 24, 19, Hofmauer), bei denen aufgehendes Mauerwerk partiell nachgewiesen werden kann. Die Südecke des Gebäudes ist durch den Bau des neuzeitlichen Hauses leider komplett zerstört worden (Abb. 11). Auch die durch das gesamte Grabungsgelände ziehende moderne Leitung stört die römischen Befunde (Abb. 10, 14).

Zur Lage von Gebäude N ist festzuhalten, dass der Bau gegenüber den bisherigen Vermutungen von Christa Ebnöther deutlich versetzt liegt. Darauf wird unten zurückzukommen sein (vgl. Kap. V.1.2.1).

Die Hofmauer

Die mit Gebäude N im Verband gebaute Hofmauer Pos. 19 reicht vom Gebäude aus gemessen noch 13 m nach Nordwesten und durchläuft damit die gesamte untersuchte Parzelle (Abb. 14). Der anzunehmende, von Gebäude N in Richtung Reppisch laufende Abschnitt der Hofmauer lässt sich hingegen weder in den vor der Grabung angelegten Handschnitten noch in den im Anschluss an den Hausabbruch durchgeführten Baggerschnitten nachweisen. Wie der Reppischdurchfluss in römischer Zeit aussah, wird in Kap. V.1.4 genauer untersucht.

Die neuesten Ausgrabungen bestätigen die postulierte Ausrichtung der Hofmauer, die bei den Gebäuden C und D gefasst worden ist und die von Christa Ebnöther bis jenseits der Reppisch verlängert wurde.

2.4.3 Datierung der Phase N1

Die Schicht Pos. 46 (Phase N1), die vor der Errichtung des Steinbaus eingebracht wurde, enthält neben prähistorischen nur einzelne römische Funde. An bestimmaren



Abb. 13. Eine Auswahl an Keramik aus der bronzezeitlichen Grube Pos. 70 neben Gebäude N.

römischen Scherben liegt einzig das Randstück eines grossen, grob gemagerten Topfs mit gerilltem Trichterrand vor, der ins frühere 1. Jh. datiert werden kann²³. Bei der Randscherbe eines Drag. 42-Schälchens aus dem 2. Jh. dürfte es sich um einen grabungsbedingten «Irrläufer» handeln²⁴. Das gleiche gilt auch für die BS einer Reibschüssel aus dem gleichen Komplex. Die Phase N1 lässt sich demnach zeitlich nicht fixieren.

2.5 Phase N2: Erste Benutzung des Gebäudes (nach der Mitte des 1. Jh. bis um 200 n.Chr.)

2.5.1 Schichten

Innerhalb des Gebäudes

Im Innern des Gebäudes sind keine intakten Schichten aus der 2. Hälfte des 1. und der 1. Hälfte des 2. Jh. vorhanden. Dies, weil im 2. Jh. im Nordwesten der Graben Pos. 53 ausgehoben wurde, was alle früheren Befunde zerstörte. Auch im Bereich südöstlich des Grabens müssen Schichten entfernt worden sein, da der Dachversturz Pos. 27 des Gebäudeabgangs direkt auf der Planie Pos. 46 der Phase N1 aufliegt. Die Schichtabfolge im Gebäude ist zudem durch grossflächige moderne Störungen stark beeinträchtigt.

Auf der Sohle des Grabens Pos. 53 kann eine dunkle Ablagerung (Pos. 60) festgestellt werden. Über ihr liegt eine Schicht mit vielen Bollen- und Bruchsteinen sowie grösseren Mörtel- und Ziegelstücken (Abb. 9, 15, Pos. 58). Es handelt sich dabei vermutlich um Mauersteine von der inneren Schale der Nordwestmauer des Gebäudes (Pos. 24). Wie stark die Mauer ausgebrochen ist, zeigt sich besonders deutlich im Bereich der Räucheranlage, bei deren Errichtung die fehlende, abgestürzte Steinreihe behelfsmässig neu verlegt wurde (Pos. 74, vgl. Abb. 16 rechts aussen)²⁵.



Abb. 14. Gebäude N. Übersicht. In der Bildmitte die Hofmauer (Pfeil), links davon Gebäude N mit der teilweise abgebauten Räucheranlage in der Ecke. Im Vordergrund der neuzeitliche Keller. Ansicht aus Nordwesten.

Ausserhalb des Gebäudes

Über der nach der Mitte des 1. Jh. eingebrachten Schicht Pos. 46 der Phase N1 liegt ausserhalb von Gebäude N eine humos-graue Siltschicht mit Mörtel- und Ziegelstücken (Pos. 33; Abb. 9)²⁶. Es handelt sich dabei um eine römische Planie²⁷ aus dem mittleren 2. Jh. in die alle hier festgestellten Strukturen – auch die Pfostengruben (vgl. unten) – eingetieft sind.

Im Nordosten des Steingebäudes, im Bereich der zu vermutenden Portikus, ist die Planie Pos. 33 nicht vorhanden. Da auch der üblicherweise gekieste Vorplatz bzw. die zum Gebäude führende Strasse fehlen und von der Gebäudemauer nur noch die Fundamente erhalten sind, muss davon ausgegangen werden, dass hier alle römischen Schichten entfernt worden sind.

2.5.2 Strukturen im Gebäude

Der Graben Pos. 53

Im Nordwesten des Steingebäudes ist im 2. Jh. der rund 2,6 m breite Graben Pos. 53 ausgehoben worden. Seine Sohle liegt stellenweise bis zu 0,2 m unter der UK der parallel verlaufenden nordwestlichen Gebäudemauer Pos. 24 (Abb. 9, 15). Es kann sich dabei aus zweierlei Gründen nicht um Schichtsenkungen nach der Errichtung des Baus handeln: Zum einen liegt der Graben nur im Innern des Gebäudes und endet bei den Mauern, zum andern hat sich die Gebäudemauer, neben welcher der Graben verläuft, nicht abgesenkt, zudem zieht die Grabenwandung entlang der Mauer wieder an²⁸ (vgl. Abb. 9). Man kann also zweifelsfrei sagen, dass der Graben ausgehoben worden ist, als das Gebäude bereits stand. Diese Massnahme wirkte sich auf die Statik des Gebäudes verheerend aus und führte zu einem massiven Ausbruch der inneren Mauerschale (vgl. oben).



Abb. 15. Gebäude N. Der Graben Pos. 53 im Nordwesten des Gebäudes mit der geschnittenen Räucheranlage. Ansicht aus Nordosten.



Abb. 16. Gebäude N. Die in der Gebäudeecke eingebaute Räucheranlage (Phase N4). Unten die Einfeuerungsstelle, darüber der U-förmig nach hinten führende Kanal. In der Bildmitte die mit Ziegelplatten ausgelegte Kammer. Aufsicht.

Weitere Strukturen im Gebäudeinnern

Im Innern des Gebäudes lassen sich, abgesehen vom Graben Pos. 53, wegen der zahlreichen neuzeitlichen Eingriffe nur wenige intakte Befunde feststellen.

Im Bereich der südöstlichen Grabenkante kann eine Reihe von Pfostengruben beobachtet werden, die etwa parallel zum Graben verläuft, jedoch keine sinnvolle Abfolge zeigt (Abb. 11, Pos. 61, 62, 63, 71, 76²⁹). Alle diese Strukturen sind in Schicht Pos. 46 (Phase N1) eingetieft und werden vom Ziegelversturz der Phase N3 überlagert. Die Pfostenstellungen können nicht genauer datiert werden³⁰.

Eine kleine, ovale Grube (Abb. 11, Pos. 29) ist durch eine moderne Störung weitgehend gestört. Die noch intakte Verfüllung enthält Material aus dem frühen 2. Jh.³¹



Abb. 17. Umgebung Gebäude N. Das Tierskelett Pos. 68. Ansicht aus Nordosten.

2.5.3 Befunde ausserhalb des Gebäudes

Nordöstlich von Gebäude N lassen sich im untersuchten, 3 m breiten Streifen weder Hinweise auf eine Portikus³² noch Spuren eines Kieswegs oder eines Vorplatzes finden, wie sie in Dietikon sonst üblich sind. Die hier angetroffenen Pfostengruben Pos. 99 und 101–105 können in der Regel keiner Phase zugeordnet werden (vgl. dazu Kap. III.2.2.).

Nordwestlich des Gebäudes sind hingegen mehrere römische Pfostengruben³³ nachweisbar (Abb. 11). Sie sind in Pos. 33 (Phase N2) eingetieft und vom – wohl teilweise umgelagerten – Versturz Pos. 23 (Phase N5) überlagert. Die Pfosten können zu keinem sinnvollen Grundriss ergänzt werden.

Neben diesen Pfostengruben liegen ausserhalb des Gebäudes auch zwei Gräber von Kleinstkindern (Pos. 55, 69) sowie drei Tierskelette (Pos. 64, 65, 68; Abb. 17). Die beiden Kinderbestattungen Pos. 55 und 69 weisen, anders als in Dietikon sonst üblich (vgl. Kap. III.3), keinen direkten Bezug zu den umliegenden Mauern oder den Gebäude-

ecken auf (Abb. 11)³⁴. Beide Gräber sind in Pos. 33 (Phase N2) eingetieft und vom Versturz Pos. 23 (Phase N5) überlagert. Eine Grabgrube ist bei der Bestattung Pos. 55 nicht zu erkennen. Der Kopf des Neugeborenen scheint auf einen Keilstein der Pfostengrube Pos. 38 (Phase N2) gelegt worden zu sein, d.h., dass das Kind hier bestattet wurde, als der Pfosten bereits stand³⁵. Bei Grab Pos. 69 ist ebenfalls keine Grube feststellbar. Die Bestattung wird von der Pfostengrube Pos. 35 (Phase N2) angeschnitten, sodass sie vermutlich noch ins 2. Jh. gehört. Das Kind Pos. 69 starb während oder kurz nach der Geburt, das Individuum Pos. 55 hingegen im Alter von ein oder zwei Monaten³⁶.

Die erwähnten Tierskelette befinden sich im Winkel zwischen der westlichen Gebäudeecke und der Hofmauer bzw. in der Nähe der Hofmauer (Abb. 11)³⁷. Das Skelett Pos. 64 ist in Pos. 33 (Phase N2) eingetieft und vom Steinversturz Pos. 23 überdeckt; die Umrisse der ovalen Grube sind kaum auszumachen. Unmittelbar daneben liegt das

Tierskelett Pos. 68 (Abb. 17). Das dritte Tierskelett Pos. 65 ist etwas von den beiden anderen entfernt in der Nähe der Hofmauer. Hier fehlt der Steinversturz Pos. 23 wegen der modernen Störung Pos. 22. Die Datierung in die römische Zeit ist bei diesem Skelett daher nicht gesichert.

Wie eine Vorbestimmung ergeben hat³⁸, handelt es sich bei den Tieren Pos. 68 (FK 56) und Pos. 65 (FK 38) um Kälber, bei Pos. 64 (FK 48) hingegen um einen Hund.

2.5.4 Datierung der Phase N2

Die Benutzungsschicht Pos. 60 und der Teilversturz Pos. 58 im Graben Pos. 53

Die Benutzungsschicht Pos. 60 im Graben kann anhand der Funde nicht vom darüberliegenden Teilversturz der Gebäudemauer (Pos. 58) unterschieden werden³⁹. Es ist also anzunehmen, dass der Graben schon bald nach dem Ausheben mit Steinen des Mauerausbruchs verfüllt wurde.

Diese teilweise Verfüllung des Grabens Pos. 53 mit Steinen des Mauerausbruchs kann frühestens in die 2. Hälfte des 2. Jh. datiert werden. An bestimmbareren Funden zu erwähnen sind vier zusammengehörige Teile eines Drag. 31-Tellers (FK 25, 93 [Pos. 58] und 93 [Pos. 60]), eine im späteren 2. und frühen 3. Jh. beliebte Form. Hinzu kommen zwei Glanztonbecher mit Karniesrand (FK 25 und 68 [Pos. 58]) und schliesslich zwei Randscherben eines helltonigen Tellers mit Überzug (FK 25 [Pos. 58] und 27 [Pos. 60]), wie sie im 2. und der 1. Hälfte des 3. Jh. häufig verwendet wurden⁴⁰. Die Randscherbe einer Drack 19-Schüssel (FK 94), das Henkelfragment FK 94 (Pos. 60) sowie die Teile eines beigen Krugs (FK 68 [Pos. 58]) sind hingegen wahrscheinlich Altfunde aus dem 1. Jh.

Die Planie Pos. 33 ausserhalb des Gebäudes

Die leider nur wenigen Funde aus der Planie Pos. 33 sprechen für eine Datierung im mittleren 2. Jh.: Eine WS mit thronendem Jupiter (FK 11) stammt von einer Drag. 37-Schüssel, die in dieser Zeit entstanden sein dürfte. Eine Zuweisung zu einem bestimmten Töpfer ist nicht möglich. Das Motiv des thronenden Jupiters ist beispielsweise bei Verecundus aus Ittenweiler belegt⁴¹. Das Motiv ist in ähnlicher Weise aber auch bei mittellgallischen Töpfern aus dem 2. und 3. Viertel des 2. Jh. nachgewiesen⁴².

Die restlichen datierbaren Funde aus dieser Planie gehören ebenfalls ins 2. Jh. Zu nennen sind die RS einer Drack 21-Schüssel (FK 11) sowie die WS eines Schulterbeckers mit aufgelegten vertikalen Tonfäden, wie wir sie etwa in Oberwinterthur ZH oder Baden AG in zeitgleichen Schichten finden⁴³. Die helltonige Schüssel mit schmalen Horizontalrand weist einen matten Überzug auf und dürfte – wie ihre Verwandten mit Goldglimmerüberzug – in der ersten Hälfte des 2. Jh. entstanden sein⁴⁴. Einen Goldglimmerüberzug zeigt die RS eines kugeligen Topfs (FK 76)⁴⁵ sowie die orangetonige Schüssel (FK 85), für die sich keine

genauen Parallelen anführen liessen. Die RS eines grautonigen Topfs (FK 11) lässt sich nicht datieren; die RS einer Amphore (FK 100) nicht einmal genauer ansprechen⁴⁶. Die beiden Fragmente von Lavezgefässen (FK 76) schliesslich sind ebenfalls nicht näher einzuordnen, widersprechen der vorgeschlagenen Datierung ins 2. Jh. aber nicht⁴⁷. Die RS eines in Dietikon typischen Kochtopfs⁴⁸ (FK 76) gehört hingegen ganz klar ins 3. Jh. Sie ist jedoch von der Schicht zu trennen⁴⁹ und gehört vermutlich zum darüberliegenden Steinversturz Pos. 23 (Phase N5), der sich ins mittlere(?) 3. Jh. datieren lässt.

2.6 Phase N3: Dachversturz infolge eines Brandes (1. Hälfte 3. Jh.?)

2.6.1 Schichten

Innerhalb des Gebäudes

Der Dachversturz von Bau N (Pos. 27) ist innerhalb des Gebäudes mehrheitlich intakt. Stellenweise fehlt der darüberliegende Steinversturz Pos. 23 (Phase N5), sodass über dem Ziegelversturz direkt die modernen Schichten liegen (Pos. 2 und 8; vgl. Abb. 9). Der aus kleinfragmentierten Ziegelstücken bestehende, kompakte und planierte Dachversturz Pos. 27 sank im Nordwestteil des Gebäudes in den Graben Pos. 53, der mit den Ziegeln grob ausplaniert wurde (Abb. 15). Der Ziegelschutt liegt hier über den Steinen des Mauerausbruchs Pos. 58 der Phase N2.

Unter dem Dachversturz – partiell auch zwischen den Ziegeln – können Holzkohlekonzentrationen beobachtet werden, die teils Flecken, teils grössere zusammenhängende Partien bilden und von Brettern oder Balken stammen dürften (Pos. 54). Daraus schliessen wir, dass Gebäude N durch einen Brand zerstört wurde und nicht infolge des erwähnten Mauerausbruchs einstürzte.

Leider konnten weder aus der Brandschicht Pos. 54 noch aus dem Ziegelversturz Pos. 27 Funde geborgen werden⁵⁰, sodass das Brandereignis nicht datiert werden kann. Aufgrund der obigen Datierung der Verfüllung des Grabens ist allerdings davon auszugehen, dass der Brand frühestens im späten 2. Jh. stattfand. Möglicherweise ist das Ereignis sogar erst um die Mitte des 3. Jh. anzusetzen, in eine Zeit, in der in sehr vielen Gebäuden in der *pars rustica* Brandschichten oder -spuren festzustellen sind⁵¹.

Ausserhalb des Gebäudes

Im Nordwesten des Gebäudes konzentrieren sich die Versturzschichten Pos. 23/27 auf einen Streifen von 3 bis max. 4 m Breite. Der Versturz liegt auf der Planie Pos. 33 der Phase N2. Weiter vom Gebäude entfernt sind keine Versturzschichten mehr vorhanden; die moderne Deckschicht Pos. 2 liegt dort direkt auf der römischen Planie Pos. 33, was eine stratigraphische Zuweisung der Strukturen in diesem Bereich unmöglich macht.



Abb. 18. Gebäude N. Ansicht des Steinversturzes (Phase N5). Im Vordergrund die Gebäudemauer Pos. 24, rechts die Gebäude-/Hofmauer Pos. 19. In der Gebäudeecke die bereits bei der Sondierung angeschnittene Räucheranlage. Ansicht aus Norden.



Abb. 19. Gebäude N. Detail der Räucheranlage. Im Vordergrund die Ziegelplatten im Zentrum der Kammer (Pos. 15), dahinter das nordwestliche Trennmäuerchen Pos. 16 mit den drei Durchlässen aus Rundziegeln. Ansicht aus Süden.

Der Versturz ausserhalb des Gebäudes ist nicht mehr überall intakt, da er teils durch spätere Eingriffe gestört, teils durch Überschwemmungen überprägt und umgelagert wurde. Diese Umlagerung zeigte sich etwa darin, dass die Ziegel des Dachversturzes Pos. 27 mit dem darüberliegenden Steinversturz Pos. 23 (Phase N5) vermischt sind.

2.7 Phase N4: Einbau einer Räucheranlage über dem Ziegelversturz Pos. 27 (1. Hälfte 3. Jh.?)

2.7.1 Schichten

Über den im Graben Pos. 53 ausplanierten Ziegeln des Dachversturzes (Pos. 27) wurde ein Räucherofen errichtet, wobei man den neben dem Ofen liegenden, ausgeebneten Ziegelschutt vermutlich als Gelniveau nutzte (Abb. 15).

Die Mauern des Steingebäudes scheinen beim Brand mehrheitlich intakt geblieben zu sein.

Die entscheidende Frage ist nun, ob das Gebäude nach dem Brand wieder komplett aufgebaut wurde oder ob man den Räucherofen in der Ecke einer «Brandruine» errichtete. Wir vermuten, dass das Gebäude N nach dem Brand (in der 1. Hälfte des 3. Jh.?) nicht wieder mit einem Ziegeldach versehen wurde. Dafür lassen sich zwei Argumente anführen: Erstens macht die Flickstelle (Pos. 74) an der inneren Schale der Nordwestmauer, die in den Bau der Räucheranlage integriert wurde, einen sehr provisorischen Eindruck⁵² (Abb. 16) und man darf vermuten, dass mit dieser behelfsmässigen Reparatur der weitere Ausbruch der Mauerschale nicht verhindert wurde. Damit war die Stabilität der Gebäudemauer nicht garantiert. Zweitens – und dies ist das stärkere Argument – kann über dem Dachversturz Pos. 27, auf dem die Räucheranlage gebaut wurde, keine zweite Ziegelschicht beobachtet werden – alle festgestellten Ziegel gehören zum Versturz der Phase N3.

Auch wenn eine notdürftige Wiederinstandstellung des Gebäudes und ein Dach aus vergänglichem Material nicht vollends ausgeschlossen werden können, gehen wir davon aus, dass das Gebäude nach dem Brand nur noch partiell genutzt wurde, indem man in der Gebäudeecke eine Räucheranlage betrieb.

2.7.2 Strukturen: Die Räucheranlage

Die Räucheranlage, die bereits bei den Sondierungen angeschnitten worden ist⁵³, ist mit Steinen des Mauerversturzes Pos. 23 der Phase N5 verfüllt (Abb. 18). Es handelt sich um eine quadratische Struktur von ca. 2,7 × 2,6 m mit sehr interessanten Konstruktionsdetails.

Die Räucheranlage wurde von Nordosten her beheizt, wie die Brandrötung zwischen den seitlichen Mauerstirnen zeigt (Abb. 11, 16; Pos. 56, 57). Von hier wurden die Rauchgase über zwei seitliche Kanäle nach links und rechts und von dort nach hinten geführt, wo die Kanäle an der Gebäudemauer Pos. 19 enden. Der eine Kanal ist durch die Gebäudemauer (Pos. 24) bzw. die Steine der Flickstelle im Bereich des Mauerausbruchs (Pos. 74) begrenzt sowie durch das parallel dazu laufende Trennmäuerchen Pos. 16. Der andere Kanal besteht aus zwei parallelen Mauern südöstlich davon (Abb. 11, Pos. 31, 32). Die lichte Weite der beiden Rauchkanäle misst knapp 30 cm.

Die rund 50 cm breite und noch maximal zwei Steinlagen hoch erhaltene Aussenwand im Südosten ist ohne Mörtel aufgebaut worden. Von den beiden inneren, rund 30 cm breiten Mäuerchen (Pos. 16, 31) sind maximal drei Steinlagen erhalten (Abb. 19). Sie bestehen aus sekundär verwendeten Tuffsteinen, die mit Lehm verfestigt waren. In der untersten Lage verbaute man im Bereich der Einfeuerung Kalksteine, wohl weil diese der Hitze besser widerstehen. In der obersten Lage können mehrere Durchlässe in den schmalen Mauern beobachtet werden. Diese Öffnungen bestehen jeweils aus zwei gegenständigen Rundziegeln, die ursprünglich Röhren bildeten⁵⁴ (Abb. 19). Es ist daher

anzunehmen, dass die Gase von der Einfeuerungsstelle her über den U-förmigen Rauchkanal nach hinten geführt wurden und von dort durch die Durchlässe ins Zentrum der Anlage. Dieses ist 1,75 m lang, rund 1 m breit und mit umgedrehten Ziegelplatten ausgelegt und zwar in der Art, dass auf einer Länge von drei Ziegeln jeweils drei Platten nebeneinander liegen (Abb. 16). Zwei querliegende Ziegel bilden den Abschluss auf der Seite der Einfeuerung⁵⁵. Die leider durch einen späteren Eingriff teilweise zerstörte Ziegellage weist keinerlei Brandverfärbungen auf.

Der Räucherofen aus Dietikon lässt sich dem Typ 2C von G. Dreibusch zuweisen. Dieser Typ zeichnet sich dadurch aus, dass die Rauchgase von seitlichen Kanälen über mehrere Öffnungen ins Innere geleitet werden⁵⁶.

In Dietikon selbst ist dieser Typus bereits belegt. Bei Anlage 3 ausserhalb von Gebäude C sind die Trennmäuerchen mit den Durchlässen durch stehende Rundziegel ersetzt worden; die Rauchgasführung ist mit unserem Beispiel identisch⁵⁷. Auch bei Ofen 3 ist das Zentrum mit Ziegeln ausgelegt. Das gleiche gilt für die Anlage in Gebäude B mit dem gleichen Aufbau⁵⁸. Christa Ebnöther hat 1995 die schweizerischen Parallelen zu ihren Öfen zusammengestellt⁵⁹.

Eine vergleichbare, ebenfalls sehr gut erhaltene Räucheranlage fand sich 1997 in Obersiggenthal-Kirchdorf AG⁶⁰. Auch wenn diese Parallele keine Ziegelplatten im Innern aufweist, mehr Durchlässe besitzt und die Einfeuerungsöffnung seitlich mit Sandsteinplatten begrenzt ist, entspricht diese Konstruktion weitgehend der Anlage in Gebäude N. Die Konstruktion von Obersiggenthal-Kirchdorf wurde wie unser Beispiel in einem Nebengebäude errichtet und zwar ebenfalls in einer bestehenden Gebäudeecke. Auffallend ist zudem, dass das «Fumarium», wie es in der Fundmeldung bezeichnet wird, errichtet wurde, nachdem das Gebäude in der 1. Hälfte des 3. Jh. abgebrannt war. Für den Bau der Konstruktion in der 2. Hälfte des 3. oder zu Beginn des 4. Jh. wurde der Brandschutt offenbar teilweise weggeräumt⁶¹ – Ähnliches lässt sich, wie gesagt, auch bei Gebäude N in Dietikon beobachten.

Wie der Oberbau dieser Anlagen vom Typ 2C nach Dreibusch ausgesehen hat, wissen wir nicht genau. Wichtig für die Rekonstruktion ist die Beobachtung, dass sich in Obersiggenthal-Kirchdorf, Dietikon und Seeb in den Rauchkanälen Ziegelplatten befinden, welche diese einst abdeckten⁶². Dass der Oberbau der Räucheranlage auch die mit den Ziegeln abgedeckten seitlichen Kanäle mit eingeschlossen hat, ist dabei zu vermuten. Dafür spricht einerseits, dass im Gebäude N in Dietikon die frei stehende äussere Mauer der Anlage (Pos. 32) massiver gebaut ist als die Innenmauern. Auch ist nicht einzusehen, weshalb die Räucheranlage in die Gebäudeecke gesetzt wurde, wenn doch nur das Zentrum (die eigentliche Räucherkammer) hochgezogen gewesen wäre, während die seitlichen Kanäle nur 40–50 cm hoch waren. Wir nehmen daher an, dass die Räucheranlage aus einem Aufbau bestand, der auch die seitlichen Kanäle mit einschloss⁶³.

Die Rauchzuführung über die seitlichen Kanäle und die Durchlässe hatte vermutlich zwei Gründe: zum einen

konnte der Rauch auf dem zurückgelegten Weg etwas abkühlen, zum anderen wurde durch die verwinkelte Rauchgasführung vermieden, dass Funken einen allfälligen hölzernen Unterbau entzündeten⁶⁴.

Die Errichtung des Ofens in Phase N4 kann leider ebenso wenig datiert werden wie der darunterliegende Ziegelversturz der Phase N3 (s. oben). Die RS eines verbrannten Drag. 32-Tellers (FK 14), die aus der Füllung der aufgegebenen Räucheranlage (Pos. 17) stammt, bietet nur einen ungenauen *terminus ante quem*.

Wir haben die Konstruktion bisher konsequent als Räucheranlage angesprochen. Diese Deutung lässt sich letztlich aber nicht beweisen, da sich bisher keine griffigen Kriterien anführen lassen, um eine Räucher- von einer Darranlage zu unterscheiden. Je nach Bearbeiter/-in werden diese Konstruktionen als Räucheröfen oder Darren bezeichnet.

Man kann allerdings festhalten, dass das Trocknen von Getreide, Gemüse und dergleichen möglichst grosse Flächen benötigt, um das Darrgut darauf auszulegen. Nun haben die Untersuchungen von M.N. Filgis gezeigt, dass mit Holzrosten zu rechnen ist, auf denen das zu trocknende Gut verteilt wurde⁶⁵. Die These von G. Dreibusch, dass mit einem Bodenbelag versehene Anlagen wie beispielsweise jene in Dietikon als Räucheröfen anzusprechen seien⁶⁶, trifft sicher nicht immer zu, wie bereits Christa Ebnöther zeigte⁶⁷.

Das Problem bei der Ansprache dieser Konstruktionen besteht einerseits darin, dass sowohl Fleisch und Wurstwaren (= Räucheranlage) als auch Getreide, Flachs, Gemüse oder Früchte (= Darre) dem Rauch des Feuers ausgesetzt sein konnten⁶⁸. Daher hilft die Unterscheidung in «Kammern mit Rauch» bzw. «Kammern ohne Rauch» bei der Identifikation nicht weiter. Ebenso wenig können die verwendeten Temperaturen Hilfe leisten, da sowohl bei den Darren als auch bei den Räucheranlagen niedrige wie hohe Temperaturen eingesetzt wurden⁶⁹.

Trotz der genannten Unsicherheiten möchten wir an der Interpretation der Konstruktion in Gebäude N als Räucheranlage festhalten⁷⁰. Um die Frage Räucheranlage oder Darre zu klären, ist das Material aus dem Innenraum archäobotanisch untersucht worden. Zwar sind in der Probe einige Getreidereste (Weizen, Hirse) beobachtet worden⁷¹, allerdings in zu geringen Anteilen, um daraus auf eine Darre zu schliessen. Es gilt allerdings zu beachten, dass sich die Körner nur dann erhalten hätten, wenn sie verkohlt gewesen wären, was bei einem normal ablaufenden Darrprozess natürlich vermieden wurde.

2.8 Phase N5: Der Mauerversturz Pos. 23 (3. Viertel des 3. Jh.?)

2.8.1 Schichten

Die Gebäudemauern sind erst nach der Aufgabe der Räucheranlage eingestürzt, davon zeugt der Steinversturz Pos. 23 über und neben der Räucheranlage. Zwischen dem Ziegelversturz Pos. 27 (Phase N3) und dem Steinversturz

Pos. 23 sind stellenweise Linsen mit kleinteiligem Mörtel-schutt zu erkennen (Pos. 26).

Wir gehen davon aus, dass zwischen der Aufgabe des Ofens und dem Verfall der Gebäudemauern ein nicht allzu grosser Zeitraum lag, denn sonst hätte sich zwischen dem geplanten Ziegelversturz, der als Gehniveau zur Räucher-anlage diente, und dem Steinversturz eine humose Zwi-schenschicht abgelagert.

Aussen war der Versturz Pos. 23 sicher partiell umge-lagert (vgl. Kap. II.2.6). Teile davon liegen auch über dem frühmittelalterlichen Grubenhaus (vgl. Kap. III.2.2). Un-mittelbar nordöstlich der Hofmauer, in den Feldern 5 und 6, befindet sich ein Teil des Steinversturzes der Hofmauer aber sicher noch *in situ* (Abb. 11)⁷².

2.8.2 Datierung der Phase N5

Der Mauerversturz Pos. 23 im und in der unmittelbaren Umgebung des Gebäudes lässt sich zeitlich nicht genauer einordnen⁷³. Er muss über die Verfüllung des Grabens Pos. 53 datiert werden: Wenn wir diese ins späte 2. Jh. setzen und den Brand in der 1. Hälfte des 3. Jh. postulieren, dann müssen die Aufgabe der Räucheranlage und der Zerfall der Mauern nach diesem Zeitpunkt stattgefunden haben. Eine Datierung der endgültigen Aufgabe des Gebäudes im 3. Viertel des 3. Jh. ist – in Analogie zu vielen anderen Bauten des Gutshofs⁷⁴ – möglich, letztlich jedoch nicht zu beweisen.

2.9 Phase N6: Nutzung bis ins mittlere 4. Jh.

Die WS einer TS-Schüssel Chenet 320 mit Eierstabdekor aus den neuzeitlichen Deckschichten (Abb. 116) lässt ver-muten, dass das Gelände um Gebäude N im mittleren 4. Jh. in irgendeiner Form genutzt wurde. Befunde aus dieser Zeit können allerdings nicht nachgewiesen werden.

2.10 Die nachrömische Nutzung des Geländes: Frühmittelalterliches Grubenhaus und neuzeitlicher Keller

Unmittelbar neben der Nordecke des römischen Gebäu-des haben wir den Rest eines frühmittelalterlichen Grubenhauses gefasst (Abb. 11, Pos. 97). Im näheren Umfeld davon können verschiedene Pfostengruben beobachtet werden, die mindestens teilweise in den selben Zeitraum gehören dürften. Auf diese Befunde und Funde wird in Kap. III.2.2 näher eingegangen.

Nordwestlich des römischen Gebäudes befindet sich ein neuzeitlicher Keller mit einer etwas andere Ausrichtung als jenes (Abb. 11, 14, Pos. 66). Von Südosten her erschloss eine Treppe, von der drei Stufen nachgewiesen sind, den Raum mit einem Innenmass von etwa 3,15 × 3,3 m. Auf der sogenannten Wettingerkarte (1666) ist hier noch kein Gebäude eingezeichnet, möglicherweise aber auf der

Wild-Karte (um 1850). Es ist anzunehmen, dass der Keller im späteren 17. oder im 18. Jh. angelegt wurde. Die Fun-de aus der Kellerverfüllung deuten darauf hin, dass er im späteren 19. Jh. aufgegeben wurde.

3 Neumattstrasse 11, 13, 15. An die Hofmauer gebaute Gebäude F, O und P

3.1 Einleitung

In den Jahren 2004 bis 2006 musste im Bereich der nord-östlichen Hofmauer des Gutshofs eine rund 3500 m² grosse Fläche archäologisch untersucht werden (Abb. 1, Nr. 3). Bei den Ausgrabungen haben wir zwei neue, an die Hofmauer angeschlossene Steingebäude freigelegt (Ge-bäude O und P, Abb. 1, 20) und untersuchten ganz im Südosten der Grabungsfläche das letzte Viertel des bereits 1986 angeschnittenen Baus F⁷⁵. Beim Gebäude P ist schon im Jahr 2000 eine kleine Testfläche angelegt worden, um den Schichtaufbau für die Planung der weiteren Ausgra-bungen abzuklären⁷⁶.

Die komplexe Baugeschichte der Steingebäude wird im Folgenden nur in groben Zügen skizziert (Abb. 21). Ein spezielles Augenmerk gilt dabei einerseits den frühesten Komplexen inner- und ausserhalb der Steinbauten, ande-rerseits den Abgangsschichten. Die einzelnen Nutzungs- und Umbauphasen in den Gebäuden werden dagegen nur summarisch besprochen. Zudem wird auf einzelne Punkte, die uns wichtig erschienen, näher eingegangen, so etwa auf das Verhältnis der Schwellenhöhe zu den ältesten Niveaus im Innern der Gebäude.

3.2 Die Schichtabfolge im Überblick

Im Gegensatz zu den Untersuchungen an der Vorstadtstrasse 44–52 können in diesem Areal keine prähistorischen



Abb. 20. Neumattstr. 11, 13, 15. Flugaufnahme. Gebäude P, O und F. Rechts unten die Neumattstr. mit den inzwischen abgebrochenen Häusern Neumattstr. 11, 13 und 15. Ansicht aus Westen.

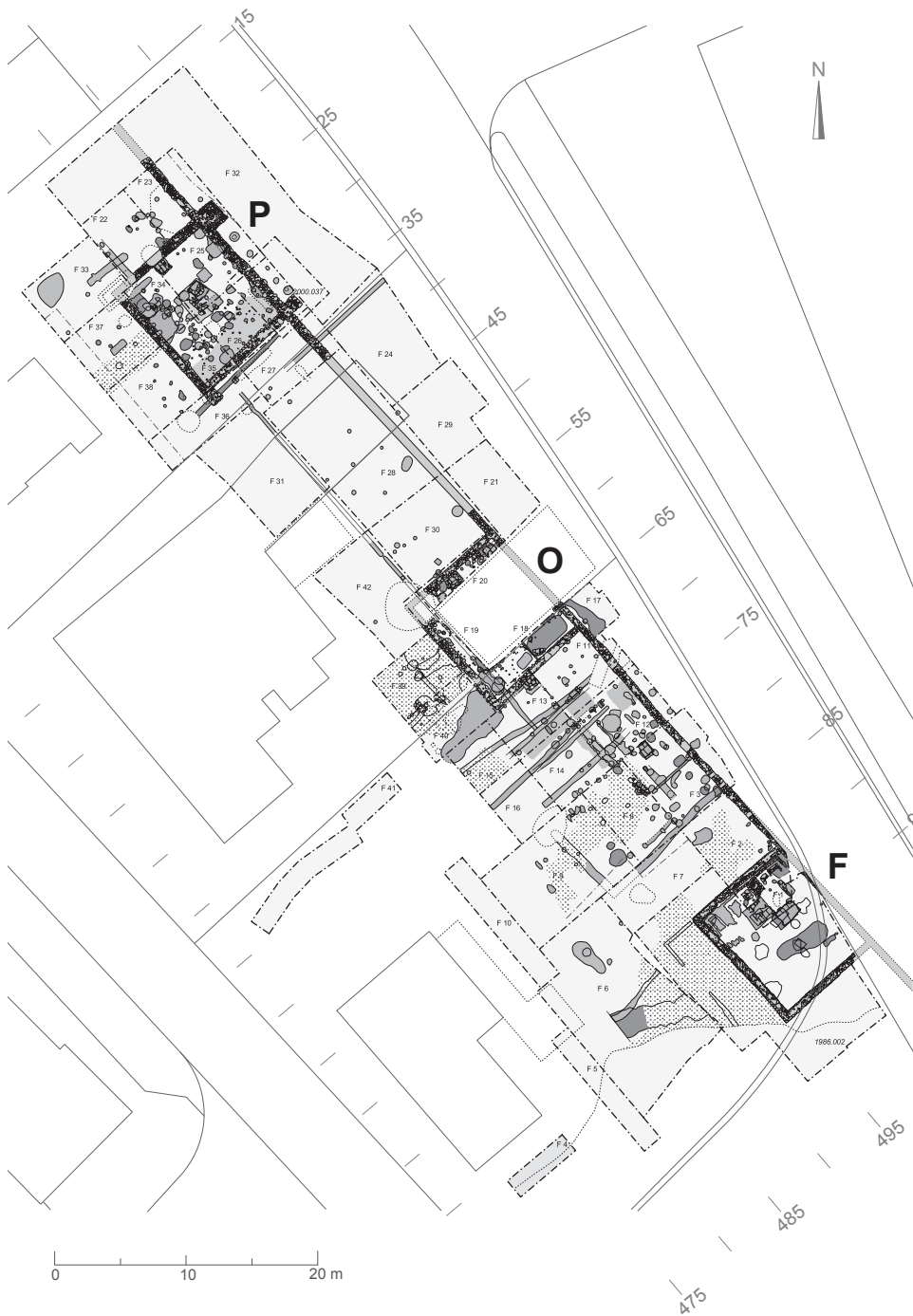


Abb. 21. Neumattstr. 11, 13, 15. Gebäude F, O und P. Plan (alle Phasen). M. 1:550.

Schichten beobachtet werden, auch wenn einzelne Silices und Scherben dieser Epoche zuzuweisen sind⁷⁷. Über dem gewachsenen Boden Pos. 30 liegen direkt die römischen Befunde⁷⁸.

Grundsätzlich kann zwischen einer Holz- und einer Steinbauperiode unterschieden werden. Die siltige, praktisch fundleere Schwemmschicht Pos. 62/220 trennt die Holzbauperiode von der darüberliegenden Steinbauperiode (Abb. 31, 72, Tab. 1)⁷⁹. Die OK dieser Schwemmschicht bildet im Innern der Steingebäude das erste Gelniveau. Ausserhalb der Steinbauten liegt über dieser Schicht Pos. 62/220 die mehr als 0,4 m mächtige Planie Pos. 44/532/604,

die nach dem Bau der Gebäude und der Hofmauer eingebracht wurde. Diese Schicht, die das Aussenniveau deutlich an hob, findet sich auch ausserhalb der Hofmauer, nicht aber im Innern der Gebäude. Stellenweise kann darunter eine graue Siltschicht (Pos. 45/455/573/618; Abb. 72; Tab. 2) beobachtet werden, die als Trampel-/Bauniveau der Errichtung der Steinbauten zu interpretieren ist.

Über den Schichten, die in Zusammenhang mit dem Abgang der Steingebäude zu sehen sind, liegen in der Regel nur noch die Mischschichten Pos. 2 und 198 sowie der Humus Pos. 1.

3.3 Die Holzbauperiode

Weil die Holzbauperiode in Kap. III.1 detailliert vorgelegt wird, kann sich die Besprechung an dieser Stelle auf eine knappe Zusammenfassung der Resultate beschränken. Praktisch alle holzbauezeitlichen Befunde stellen wir ausserhalb der späteren Steingebäude fest, mit Ausnahme von Bau O mit Resten der holzbauezeitlichen Benutzungsschicht in den Profilen – nicht aber in der Fläche (Pos. 221, Abb. 31; vgl. dazu Kap. III.1.2). Im Bereich der Südecke zeigt sich im Profil beispielsweise die Fortsetzung des mehrheitlich ausserhalb des Steingebäudes liegenden Balkenrähchens Pos. 275 (vgl. Abb. 74).

Im Gebäude F haben wir die Untersuchung nach dem Abtragen des steinbauezeitlichen Bauniveaus (Pos. 29, vgl. Kap. II.3.4.2) abgebrochen⁸⁰. Dies, weil sich hier einerseits in den Profilen keine holzbauezeitlichen Strukturen abzeichnen⁸¹, andererseits weil im direkten Umfeld des Gebäudes keine Holzbaubefunde vorkommen.

Im Innern von Bau P haben wir vereinzelte Funde aus der 1. Hälfte des 1. Jh. angetroffen, die vermutlich durch Eingriffe in die holzbauezeitlichen Schichten in spätere Kontexte gelangt sind⁸². Zu solchen frühen Funden zählen unter anderem die BS eines vermutlich italischen TS-Gefässes (FK 503), die RS eines Tellers Haltern 2/Conspectus 18 (FK 533) sowie die Fragmente einer verbrannten Tonne mit Schlickrauhung (FK 642)⁸³. Hinzu kommt die RS eines seltenen Streifenmosaikglases aus einem «frühen» Pfahlloch⁸⁴.

Innerhalb der Holzbauperiode lässt sich aufgrund der allgemeinen Entwicklung des frühen römischen Holzbaus eine ältere Phase mit Pfosten- von einer jüngeren mit Ständerbauten unterscheiden⁸⁵.

Es kann grundsätzlich festgehalten werden, dass die Gebäude der beiden Holzbauphasen bereits gleich ausgerichtet waren wie die späteren Steinbauten (Abb. 74–75). Die Pfostengruben lassen gewisse Konzentrationen erkennen, sodass möglicherweise drei Gebäudestandorte gefasst werden können, wobei der mittlere Bau vor allem anhand der Feuerstelle Pos. 387 zu rekonstruieren ist (Abb. 71). Eine Hofbegrenzung war in der Holzbauperiode noch nicht vorhanden. Einzelne Gräbchen der jüngeren Holzbauphase laufen zudem deutlich über die spätere, steingebaute Hofmauer hinaus, sodass davon ausgegangen werden muss, dass die Anlage in dieser Zeit anders organisiert war als in der Steinbauperiode.

Die vereinzelten augusteischen und augusteisch-tiberischen Funde (vgl. Kap. III.1.5) dürften darauf hinweisen, dass die Holzbauperiode um 30 n.Chr. einsetzte. Weil in den holzbauezeitlichen Befunden keine neronisch-flavischen oder rein flavischen Funde auftreten, endete die Holzbauperiode wohl um die Mitte des 1. Jh. Wenn wir diesen Zeitraum von 30–50 n.Chr. auf die beiden Phasen verteilen, dann könnten die Pfostenbauten in die frühen 30er-Jahre, die Ständerbauten hingegen in die 40er-Jahre des 1. Jh. datiert werden. Weil die Steinbauten erst in flavischer Zeit errichtet wurden (vgl. Kap. II.3.4), stellt sich die Frage, ob es in diesem Aral zu einem Siedlungsunterbruch kam. Darauf könnte die siltige Schwemmschicht Pos. 62/220 hinweisen (vgl. dazu Kap. III.1.5).

3.4 Die Steinbauperiode

Die ersten Steinbauten, die auf die holzbauezeitlichen Befunde folgten, können vor allem über die Funde aus der oben erwähnten Planie Pos. 44 (Abb. 72; Tab. 3) datiert werden. Die Planie ist wegen ihrer Mächtigkeit von stellenweise über 0,4 m maschinell abgetragen und darauf die Funde aus dem Abraum herausgelesen worden. Über das Fundmaterial sind spätere, nicht erkannte Eingriffe feststellbar, die sich über einzelne Fragmente von rätischen Reibschüsseln, Glanztonbechern und anderen Typen ins 2. und 3. Jh. datieren lassen.

Die Planie Pos. 44 selbst lässt sich klar der flavischen Zeit zuweisen⁸⁶. Besonders wichtig für die zeitliche Einordnung der Schicht sind die Formen Drag. 22 und Drag. 35/36, die beide erst ab der flavischen Zeit vermehrt auftreten. Belegt sind weiter Drag. 27⁸⁷, Drag. 29 und frühe Drag. 37 sowie Knorr 78, weiter Drack 19 und 21. Hinzu kommen Krüge mit getrepptem Rand und eine Amphore Dressel 28 (FK 101). Die vereinzelt vorkommenden Fragmente von helltonigen Schälchen/Bechern mit Griesbewurf lassen sich ebenfalls in diese Zeit setzen. Das Fragment eines Zirkusbeckers (FK 326) gehört sicher auch in diesen Zeitraum, stammt aber aus einem späteren Kontext⁸⁸ (Abb. 36).

3.4.1 Gebäude F: Einleitung

Nachdem von Gebäude F bereits 1986 etwa drei Viertel der Innenfläche untersucht worden waren, konnte 2004 der Rest ausgegraben werden. Dabei haben wir wie schon in den 1980er-Jahren eine komplexe Stratigraphie festgestellt (Tab. 4). Diese lässt sich vor allem an den übereinanderliegenden Feuerstellen ablesen. Weil Christa Ebnöther die Schichtabfolge detailliert vorlegte⁸⁹, beschränken wir uns auf ein paar wenige ergänzende Bemerkungen.

3.4.2 Phase F1: Errichtung des Gebäudes (flavisch)

Im Innern des Gebäudes liegt an einer Stelle unter dem ältesten Gelniveau eine Linse mit grösseren Steinabschlägen (Pos. 29), die wir im Zusammenhang mit der Errichtung des Gebäudes sehen und als Bauniveau interpretieren⁹⁰.

Aussen stösst die Planie Pos. 44 an die Nordwestmauer von Gebäude F, im Innern des Baus fehlt die Schicht dagegen⁹¹. Damit ist klar, dass die Planie eingebracht wurde, als der Bau bereits stand. Wie in Kap. II.3.4 erläutert, ist diese Ausgleichsschicht in die flavische Zeit zu datieren. Damit muss Bau F, wie die Gebäude O und P, in die selbe Zeit gehören. Christa Ebnöther hat die Errichtung hingegen bereits um die Mitte des 1. Jh. angesetzt. Wie ist diese Abweichung in der Datierung zu erklären? Wie Christa Ebnöther selbst bemerkte, ist die Dauer ihrer Phase F1 allein durch die untere Verfüllung aus Grube 4 datiert, die ins 3. Viertel des 1. Jh. gehört⁹². Gleichzeitig mit dem Anlegen der Grube 4 wurden die älteren Gruben 1 bis 3 verfüllt. Interessant



Abb. 22. Gebäude F. Die Ofenanlage Pos. 8 der Phase F2. Die Rückwand besteht aus einer der Gebäudemauer vorgelagerten Steinreihe. Ansicht aus Südwesten.

ist nun, dass in den Verfüllungen der Gruben 1 bis 3, die in Phase F1 (Errichtung des Gebäudes) gehören, Drag. 35 und südgallische Drag. 37 zu finden sind. Ist das Gebäude F damit also doch eher flavisch? Eine endgültige Klärung der Datierungsfrage liesse sich vermutlich nur über ein detailliertes Aufrollen der Befunde und Funde gewinnen.

3.4.3 Phase F2: Benutzung des Gebäudes (flavisch – nach 270 n.Chr.)

Das unterste Gelniveau im neu untersuchten Bereich liegt auf dem oben erwähnten Bauniveau Pos. 29 und besteht aus gelbem, sterilem Silt (Pos. 26)⁹³. Darauf befindet sich die älteste Benutzungsschicht (Pos. 23), ein humoser, grauer Silt mit nur wenigen Funden⁹⁴. Ebnöther hat diese Schicht, die mit der von ihr erkannten Benutzungsschicht I 3.01 und I 3.02 Raum 1 identisch ist, ins mittlere 3. Jh. datiert⁹⁵. Zur Benutzungsschicht zählen diverse Pfostengruben (Pos. 31, 33, 34, 36, 38) sowie die kleine Grube Pos. 37.

Über dem ersten Benutzungshorizont Pos. 23 liegen die Siltplanie Pos. 19⁹⁶ und der Kies Pos. 14, der ganz im Osten des Feldes allerdings fehlt. Dieser Kies bildet das Gelniveau zu den Öfen Pos. 8⁹⁷ (Abb. 22). Bei diesen handelt es sich um den Rest der bereits 1986 angeschnittenen Ofenanlagen, nach Christa Ebnöther möglicherweise ein Dörröfen⁹⁸. Die neuen Untersuchungen haben gezeigt,

dass diese leider nur schlecht erhaltene Konstruktion bis zur hinteren Gebäudeecke läuft, also die gesamte Nordwestseite des Baus umfasst (Abb. 22). Es ist zu vermuten, dass an die beiden bisher bekannten Öfen mit U-förmigem Rauchkanal noch drei weitere anschlossen. Ihr genaues Aussehen kann wegen der schlechten Erhaltung allerdings nicht mehr rekonstruiert werden. Zu den Öfen gehören vermutlich die Feuerstellen Pos. 17 und 18⁹⁹.

Wie Christa Ebnöther kommen auch wir aufgrund der angetroffenen Schichtverhältnisse zum Schluss, dass das Gebäude nach der Aufgabe der Öfen bis zur Zerstörung weiter genutzt wurde, was die Feuerstellen Pos. 9, 10 und 16 belegen¹⁰⁰.

Weil Christa Ebnöther die Baugeschichte des Vorplatzes von Gebäude F bereits detailliert vorgelegt hat, wird hier auf eine erneute Beschreibung verzichtet¹⁰¹.

3.4.4 Phase F3: Zerstörung des Gebäudes (nach 270 n.Chr.)

Die Aufgabe der Feuerstellen Pos. 9, 10 und 16 – und gleichzeitig des ganzen Gebäudes – kann aufgrund von Münzen des Gallienus und Aurelian (M16 und M18; Tab. 14) frühestens in die siebziger Jahre des 3. Jh. datiert werden¹⁰². Weiteres Fundmaterial aus den Versturzsichten (Pos. 3, 5, 15; vgl. Tab. 4) ist sehr spärlich und hilft bei der Datierung nicht weiter¹⁰³.

Christa Ebnöther hat die These geäußert, dass Gebäude F bis ins frühe 4. Jh. genutzt wurde¹⁰⁴. Es ist jedoch anzumerken, dass die ins 4. Jh. datierten Kleinfunde (beinerne Haarnadel, Fingerring) sowie die constantinischen Münzen alle ausserhalb des Gebäudes gefunden worden sind und zwar in Schicht V 4.12¹⁰⁵. Auch wenn andere Erklärungen möglich sind, halten wir es doch für wahrscheinlich, dass Gebäude F im letzten Viertel des 3. Jh. verlassen wurde und die Funde aus dem 4. Jh. im Vorplatzbereich zufällige Verlustfunde sind¹⁰⁶.

3.4.5 Gebäude O: Einleitung

Der bisher noch nie angeschnittene Bau O steht rund 22,4 m von den Nachbargebäuden F und P entfernt. Die Einrichtung einer Autoverladerampe hat das Innere des Gebäudes leider weitgehend zerstört (Abb. 23). Da dieser Einbau genau in der Mitte des römischen Gebäudes liegt, sind zumindest die Schichtanschlüsse erhalten geblieben (Tab. 5)¹⁰⁷. Ein weiterer moderner Eingriff zerstörte die Westecke des Gebäudes.

3.4.6 Phase O1: Errichtung des Gebäudes (flavisch)

Innenbereich

In der NE-Ecke des Gebäudes ist das Kieselniveau (Pos. 213) zu erkennen, das von Pos. 255, vermutlich dem



Abb. 23. Gebäude O. Das Profil in Feld 18 nach Entfernung der Auto-Verladerampe. Ganz links die zerstörte Hof-/Gebäudemauer Pos. 7, daneben der Mörtelboden Pos. 200 über der Mulde Pos. 257. Ansicht aus Norden.



Abb. 24. Gebäude O. Vorplatz. Der Kieskoffer Pos. 633 der Phase O1. Ganz links die Gebäudemauer Pos. 179, etwas rechts der Bildmitte die parallel zur Blickrichtung verlaufende Steinreihe, die den Portikusbereich vom Weg getrennt haben dürfte. Ansicht aus Nordwesten.

Aushub für die Grube Pos. 257 (vgl. Kap. II.3.4.7), überdeckt wird. Wir gehen davon aus, dass es sich dabei um den Bauhorizont zum Steingebäude handelt. Weil Funde fehlen, lässt sich das Kieselniveau allerdings nicht datieren.

Aussenbereich

Auf dem weitgehend sterilen Schwemmsediment Pos. 62/220, das die Befunde der Holzbauperiode überdeckt, liegt die graue Siltschicht Pos. 618 mit einigen dazugehörigen Strukturen¹⁰⁸. Es handelt sich dabei um das auch anderswo feststellbare Trampelniveau Pos. 45/455/573/618, das als Bauhorizont in Zusammenhang mit der Errichtung der Steingebäude zu interpretieren ist (vgl. dazu detailliert Kap. III.1.2). Im Bereich der Gebäudemauern scheint die Schicht zu fehlen; dort liegt auf der Schwemmschicht Pos. 62/220 direkt das aus einer mörteligen Schicht mit Steinabschlägen bestehende Bauniveau Pos. 169, das auf den Fundamentabsatz zieht.

Dieses Trampelniveau Pos. 618 kann mit guten Argumenten in die flavische Zeit datiert werden. An charakte-

ristischen Funden zu nennen sind die Formen Hofheim 12 (FK 732), Drag. 33 (FK 707), Drag. 15 (FK 732), Déchelette 67 (FK 732) sowie möglicherweise Drag. 30. An TS-Imitationen sind die Formen Drack 3 und 19 belegt (FK 732), an engobierter Keramik einheimischer Prägung die Form Drack 21 (FK 732) und vermutlich auch Drack 22 (FK 707). Festzuhalten ist, dass alle Stücke der beiden letztgenannten Gattungen grautonig sind. Dies lässt tendenziell auf eine Datierung ab flavischer Zeit schliessen¹⁰⁹. Damals kamen auch die Becher mit Barbotinepunkten (FK 732) und vertikalen Barbotinestreifen (FK 732) sowie Gefässe mit Goldglimmerüberzug (FK 734) auf. Die aus diesem Kontext stammende Münze des Claudius (M23; Tab. 14) kann durchaus noch in flavischer Zeit zirkuliert sein. Weil die Münze in Zweitverwendung als Anhänger diente, ist ein zeitlicher Abstand anzunehmen¹¹⁰. Der Komplex lässt sich insgesamt gut mit Fundmaterial der Phase 4 in Gebäude C vergleichen¹¹¹. Eine passende Parallele bietet aber auch FK 169 von Baden-Du Parc (1. Steinbauperiode, 3. Phase)¹¹².

Über Pos. 618 kann in der Gebäudeachse eine Steinpackung (Pos. 645) beobachtet werden, die ihrerseits teilweise von einer Planie aus umgedrehten Leistenziegeln überdeckt wird (Pos. 640). Steinpackung und Planie bilden den Unterbau für den ersten Kiesplatz (Pos. 633). Dieser ist rund 3 m breit und führt daran anschliessend als rund 2,2–2,5 m breiter Weg vom Gebäude weg (Pos. 631). Eine bauliche Trennung von Vorplatz und Weg haben wir während der Grabung nicht festgestellt. Die Auswertung des Befunds hat dann aber gezeigt, dass hier möglicherweise doch eine Abgrenzung in Form einer teilweise erhaltenen Steinreihe vorliegt (Abb. 24)¹¹³. Es ist daher durchaus anzunehmen, dass bereits in dieser Phase eine Portikus existierte.

Die erwähnte Steinpackung (Pos. 645) und die Planie aus Leistenziegeln (Pos. 640) liefern nur wenige Funde, die sich zudem von der Zusammensetzung her nicht von jenen aus der darunterliegenden Schicht Pos. 618 unterscheiden. Als Einzelfund zu erwähnen ist ein halbiertes republikanischer As (M22; Tab. 14) aus Pos. 640. Das Material, das

dem ersten Kiesplatz (Pos. 633) selbst zugewiesen werden kann, ist mit 20 Gefässscherben leider ebenfalls äusserst spärlich. Der Kiesplatz Pos. 633 dürfte aber in die Bauzeit gehören und damit vermutlich in flavischer Zeit angelegt worden sein.

3.4.7 Phase O2: Erste Benutzung des Gebäudes (flavisch bis Ende 2. Jh.)

Innenbereich – Schichten

Wie wir unten zeigen, wurde im späten 2. Jh. (Phase O3) das Innenniveau von Gebäude O abgesenkt, sodass sich die älteste Benutzungsschicht Pos. 212 nur im Bereich der Mulde Pos. 257 erhalten hat und auch dort nur in Flecken.

An datierbarem Material aus der Benutzungsschicht Pos. 212 sind eine frühe Drag. 37-Schüssel sowie eine grautonige Knickwandschüssel Drack 20 (beide FK 356) zu nennen. Diese Datierung deckt sich mit den Funden aus den zugehörigen Strukturen (s. unten).

Die aus späteren Kontexten stammenden Fragmente von helltonigen Gefässen mit Goldglimmerüberzug (FK 370, 393, 409, 686)¹¹⁴, die grautonigen Becher mit Barbotinestreifen (FK 359), einzelne Drag. 18-Teller (FK 364, 343)¹¹⁵ sowie frühe Drag. 37-Schüsseln (FK 364) sind wohl mit der sonst nicht nachweisbaren Nutzung des Gebäudes bis ins späte 2. Jh. zu verbinden.

Innenbereich – Strukturen

Im Bereich der 3,5 m × 1,5 m grossen Mulde Pos. 257, in der die älteste Benutzungsschicht Pos. 212 teilweise

erhalten ist, können einzelne Pfostengruben und diverse Staketenlöcher beobachtet werden. Auch wenn ein Teil dieser Befunde erst nach dem Abtragen der Schicht Pos. 212 sichtbar wurde, gehen wir davon aus, dass die Benutzungsschicht zu diesen Strukturen gehört. Eine Vielzahl von Staketenlöchern umfasst den Randbereich der Mulde (Abb. 25).

Eine zweite Gruppe von Staketenlöchern südwestlich davon umgibt die Grube Pos. 267 (Abb. 25–26). Aus der Tatsache, dass diese Befunde unter der Benutzungsschicht Pos. 210 (Phase O3) liegen, schliessen wir, dass diese Staketen ebenfalls in die Frühphase gehören. Weil die Staketen auf die Grube Pos. 267 Bezug nehmen, muss auch sie in die Frühzeit datieren. Wie die Funde aus der Verfüllung zeigen, ist die Grube bis ins späte 2. Jh. genutzt worden.

Eine Pfostenreihe an der nordwestlichen Grabungskante von Feld 18 verläuft parallel zur Gebäudemauer Pos. 134 und begrenzt die Mulde Pos. 257 (Abb. 25). Es dürfte sich dabei um eine Raumunterteilung handeln.

Die Mulde Pos. 257 wurde wohl für die Lagerung verderblicher Ware («Kühlkeller») verwendet¹¹⁶. Es ist anzunehmen, dass der Keller (mit einem Bretterboden?) abgedeckt war; möglicherweise steht die erwähnte Pfostenreihe im Zusammenhang damit. Bei der anderen Grube, Struktur Pos. 267, handelt es sich vermutlich um eine Vorratsgrube mit einem Flechtwerkwändchen als Einfassung.

Die Pfostengruben und Staketenlöcher in Feld 18 liefern nur wenig Material. Neben Schüsseln der Formen Drack 19 und 22B¹¹⁷ kommen an bestimmbar Scherben nur noch die RS eines Kochtopfs vor (FK 378). Damit kann vorsichtig eine Datierung in die 2. Hälfte des 1. Jh. vorgeschlagen werden. Dazu passt die Münze des Vespasian (M26; Tab. 14) aus dem Jahr 71 aus dem Staketenloch Pos. 321¹¹⁸. Die ältesten Befunde in Gebäude O dürften demnach in die

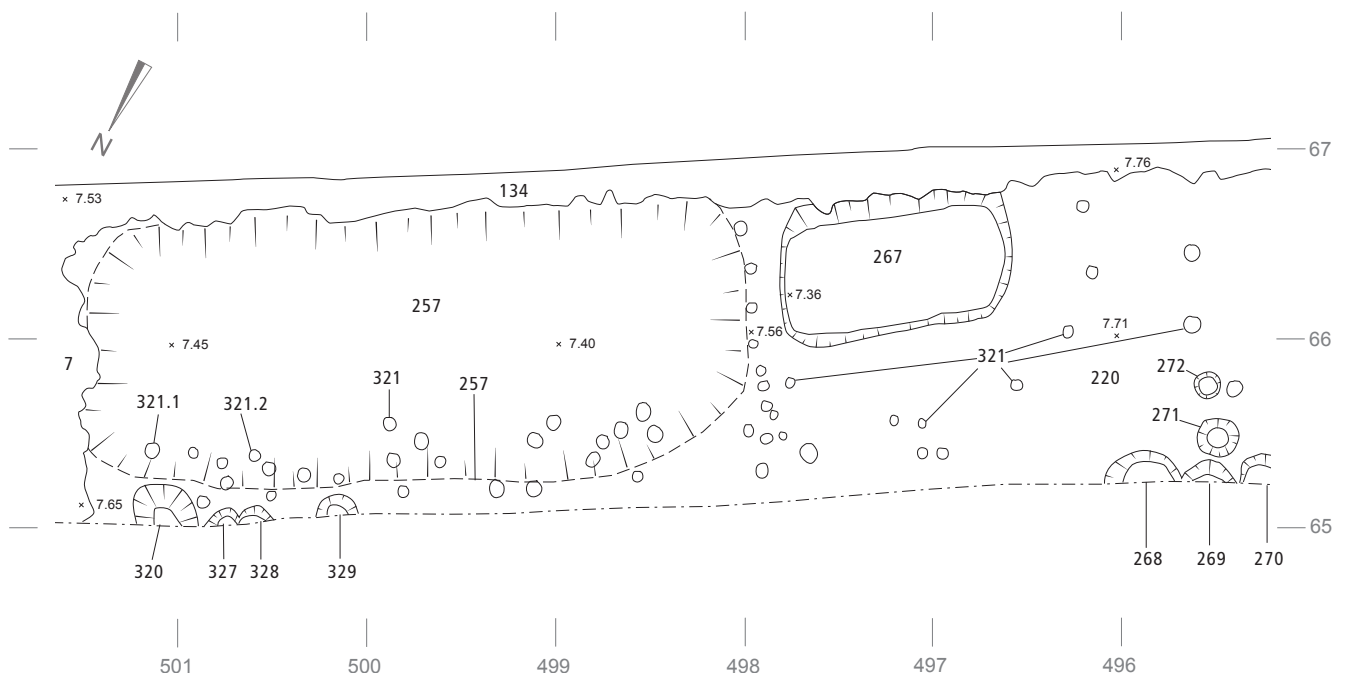


Abb. 25. Gebäude O. Die frühesten Befunde (Phase O2) im südöstlichen Gebäudestreifen (Feld 18). Alle Strukturen sind in Pos. 220 eingetieft. M. 1:40.



Abb. 26. Gebäude O. Die Staketenlöcher der Phase O2 im Bereich der Grube Pos. 267 im südöstlichen Gebäudestreifen (Feld 18). Ansicht aus Südosten.

flavische Zeit zurückgehen und bestätigen damit die vorgeschlagene Datierung für die Errichtung der Bauten (vgl. dazu Kap. II.3.4).

In den Feldern 18 und 19 können ebenfalls diverse kleine Gruben, Pfostengruben und Staketenlöcher unter der Benutzungsschicht Pos. 210/218 des späten 2. Jh. beobachtet werden. Es handelt sich dabei um Strukturen, die ebenfalls zur frühen Nutzung gehören, deren zugehörige Schichten aber im späten 2. Jh. abgetragen worden sind (vgl. Kap. II.3.4.8). Diese Befunde können ebenfalls ins letzte Drittel des 1. Jh. datiert werden. Entscheidend für die Datierung sind insbesondere die RS einer verbrannten, frühen Drag. 37-Schüssel (FK 410) sowie die RS einer Amphore (FK 407), die – falls die Bestimmung als Form Gaulois 4 zutrifft – nach der Mitte des 1. Jh. zu datieren wäre¹¹⁹. An weiteren charakteristischen Formen zu nennen sind ein Teller Drag. 18 (FK 406), eine Schüssel Drag. 29 (FK 406), ein TS-Becher mit Barbotineauflage (FK 406) sowie zwei grautonige Drack 19-Schüsseln (FK 406, 414).

Im dritten Streifen innerhalb des Gebäudes (Feld 20) sind die Verhältnisse unklar, da sich die Schichten dort weniger gut trennen lassen.

Aussenbereich

Der Kiesweg Pos. 631 aus der Bauzeit (Phase O1) scheint einmal erneuert worden zu sein. Auffallend ist, dass sowohl der erste als auch der später erhöhte Wegkoffer nicht rechtwinklig zum Gebäude verlaufen sondern schräg dazu (Abb. 1). Dies zeigt das südliche Baugrubenprofil, in welchem der Kiesweg zur Gebäudeachse deutlich verschoben liegt¹²⁰. Dieser Zugang zu einem Nebengebäude an der Hofmauer ist damit der erste, der nachweislich von den beobachteten Achsen im Gutshofareal abweicht¹²¹.

Die über dem ersten Kiesplatz Pos. 633 liegende lokale Ausbesserung im Bereich des Gebäudeeingangs (Pos. 635)

lässt sich von den Funden her nicht vom ersten Kiesplatz absetzen und kann ins spätere 1. Jh. datiert werden. Typische Formen aus Pos. 635 sind die Drag. 18, Drag. 30 und wohl auch Drag. 15 (FK 731); vermutlich ist zudem Drag. 35/36 vertreten (FK 731). Weiter sind die Typen Drack 19 und Drack 21 belegt, letztere in zwei grauen und einer helltonigen Variante (FK 731). Die Münze des Claudius (M24; Tab. 14) ist stark abgegriffen und dürfte demnach lange in Umlauf gewesen sein, bevor sie in den Boden gelangte.

Um oder kurz vor der Mitte des 2. Jh. ist ein neuer Kiesplatz (Pos. 630) eingebracht worden. Er liegt auf einem mächtigen Koffer, der das Aussenniveau deutlich anhebt (vgl. Tab. 6). Als Aufkofferung dienten die Ziegelplanie Pos. 632 (FK 729), die nur lokal nachweisbare Sandlinse Pos. 634 (FK 733) sowie der Mörtelschutt Pos. 614 (FK 711, 727).

Das Gräbchen Pos. 617 begrenzt den darüberliegenden, neuen Kiesplatz Pos. 630 im Nordosten. Der Abstand dieses Gräbchens von der Gebäudemauer misst ca. 2,7 m, sodass anzunehmen ist, dass hier die Portikus endet. Ausserhalb des Gräbchens fand sich die Kiesschicht Pos. 613, die auf der Ziegelschuttplanie Pos. 594 ruht¹²². Aufgrund seiner Ausdehnung ist dieser Kies nicht als Weg, sondern als Platz vor der Portikus anzusprechen¹²³.

Der Platz Pos. 613, der gleichzeitig mit dem innerhalb der Portikus liegenden Kies Pos. 630 in Gebrauch war, kann um die Mitte des 2. Jh. datiert werden. An charakteristischen Funden seien nur zwei Fragmente einer Schüssel Drag. 38 genannt (FK 709, 715) – eine Form, die um die Mitte des 2. Jh. einsetzte.

Die Funde aus der Ziegelplanie Pos. 594 bestätigen diese Datierung. Typisch für diese Zeitstufe ist der relativ hohe Anteil an Gefässen mit Goldglimmerüberzug. Speziell erwähnt sei auch die grautonige Randscherbe eines Tellers (FK 747), der auf der leicht gewölbten Oberseite ein Ratterblechdekor zwischen zwei Rillen zeigt. Das Stück erinnert formal an Teller Drag. 36, findet dort allerdings keine genauen Parallelen. Der Teller lässt sich jedoch mit Gefässen aus Laufenburg (D) verbinden, die bisweilen ein ähnliches Dekor zeigen und ins fortgeschrittene 1. und ins 2. Jh. gehören¹²⁴. Erwähnenswert ist schliesslich ein Kochtopf aus ziegelrotem Ton (FK 747), der formal an die sogenannten Militärkochtöpfe erinnert¹²⁵.

Ein Topf aus schwarzem, relativ feinem Ton mit einer horizontalen Wellenlinie auf dem Gefässkörper (FK 747; Abb. 27) kann zeitlich nicht sicher eingeordnet werden, da für dieses Stück keine Parallelen vorliegen. Das horizontale Wellenband findet sich auch auf Töpfen aus Laufen-Müschhag BL; sie zeigen allerdings einen scharfkantig nach aussen gebogenen Rand¹²⁶. Gemäss S. Martin-Kilcher kommt dieses Wellendekor erst ab der 1. Hälfte des 3. Jh. vor, und erst nach der Mitte des 3. Jh. ist ein «richtiger Aufschwung» zu beobachten¹²⁷. Wollen wir dieses spezielle Stück nicht als grabungsbedingten «Irrläufer» ausscheiden, dann muss es zusammen mit dem restlichen Material aus der Ziegelplanie Pos. 594 noch ins mittlere 2. Jh. gehören¹²⁸.

Die im Portikusbereich unter dem Kiesplatz Pos. 630 liegenden Ausgleichsschichten Pos. 614, 632 und 634 sind



Abb. 27. Gebäude O. Randscherbe eines Topfs mit horizontalem Wellenband (FK 747).



Abb. 28. Gebäude O. Knickwandschüssel mit aussen mit einem Schwamm aufgetragenen Überzug (FK 724, 727, 729, 731).

gleichzeitig mit der Ziegelplanie Pos. 594 abgelagert worden. Neben den bereits in den darunterliegenden Schichten vorgefundenen Formen Drag. 18, 30, 33, 35/36 (FK 729, 733) ist in diesen Kontexten auch der Typus Drag. 37 belegt (FK 727, 729, 733 – fünf Ex.). Charakteristisch sind weiter die Gefäße mit Goldglimmerüberzug, darunter Teller (FK 729), Schüsseln mit Horizontalrand (FK 733), Schüsseln mit gekehltem Horizontalrand (FK 729) sowie kugelige Gefäße (FK 733)¹²⁹. Hinzu kommen mehrere Wandfragmente von Gefäßen mit Goldglimmerüberzug, die sich aber nicht genauer ansprechen lassen (FK 729, 733).

Speziell erwähnt sei die Knickwandschüssel FK 729¹³⁰, die aussen einen mit einem Schwamm aufgetragenen orangen Überzug aufweist (Abb. 28). Diese Dekoration erinnert an Gefäße mit sogenannt geflammtem Überzug, die jedoch meist ein regelmässigeres Muster tragen¹³¹. Die Schüssel dürfte im späten 1. oder zu Beginn des 2. Jh. entstanden sein.

In Buchs konnte im Seitenflügel des Hauptgebäudes ein Inventar geborgen werden, das sich durchaus mit dem Material aus den Planien unter dem Kiesplatz Pos. 630 vergleichen lässt. B. Horisberger hat das Buchser Ensemble ins 2. Viertel des 2. Jh. datiert¹³². Neben der dort angeführten Parallele Baden-Du Parc (1. Steinbauperiode, 4. Phase) ist der bereits oben für den Bauhorizont Pos. 618 herangezogene Vergleich zu nennen¹³³. Man kann zusammenfassend diese Planien – und damit auch den Kiesplatz Pos. 630 – ins 2. Viertel des 2. Jh. datieren, evtl. sogar erst um die Jahrhundertmitte¹³⁴. Demnach ist der innerhalb der Portikus liegende Kiesplatz Pos. 630 gleichzeitig mit dem ausserhalb liegenden Kiesplatz Pos. 613 angelegt worden.

Das Anheben des Niveaus durch die Ausgleichsschichten Pos. 614, 632 und 634 bedingte die Erhöhung der Türschwelle. Die OK der unmittelbar vor dem Eingang abgelagerten Mörtelschutt-Schicht (Pos. 614) liegt dabei etwa auf der Höhe der Ziegellage in der Schwellenerhöhung, also nur knapp unter dem Schwellenniveau (s. unten).

Die höher gelegte Schwelle in Mauer Pos. 179

Weil das Aussenniveau des Gebäudes mit dem neuen Kiesplatz Pos. 630 um die Mitte des 2. Jh. deutlich angehoben wurde, musste die Schwelle des Eingangs höher gelegt werden (Pos. 254)¹³⁵. Davon zeugt eine Ziegellage, auf der sich die gemörtelte Steinlage der Schwelle befindet (Abb. 29). Die Ziegel sind Teil eines rund 2,2 m¹³⁶ breiten, etwa in der Gebäudeachse liegenden Mauerstücks (Pos. 254)¹³⁷, das sich sowohl in der Mauertechnik als auch in der abweichenden Flucht deutlich von der restlichen Gebäudemauer Pos. 179 unterscheidet (Abb. 29–30). Das neue Schwellenniveau liegt vermutlich auf den erwähnten Steinen und nicht auf den Ziegeln, die wohl nur dazu dienten, die aufsteigende Feuchtigkeit abzuhalten.

Wie wir unten zeigen, wurde im späten 2. Jh. (Phase O3) das Innenniveau des Gebäudes merklich abgesenkt. Auffällig ist, dass diese Abtiefung später stattfand als die Schwellenerhöhung. Damit wurde bewusst ein Absatz in Kauf genommen, womit das Innere des Raums nur noch über einen Tritt erreichbar war: Die erwähnte Steinlage der Schwelle liegt rund 0,4–0,5 m¹³⁸ höher als die OK des Schwemmsediments Pos. 62/220 (vgl. Kap. II.3.4.6), auf der sich die Benutzungsschicht des späten 2. Jh. befand.

Es ist also festzuhalten, dass die im Vergleich zur (angehobenen) Schwelle deutlich tiefer liegenden Benutzungsschichten im Gebäudeinnern das Ergebnis von späteren Baumassnahmen sind, nämlich der Erhöhung der Schwelle und der Abtiefung des Innenraums. Für Bau O ist damit auszuschliessen, dass die Schwelle hier ursprünglich höher lag als das Innenniveau. Bei anderen Gebäuden scheint dies hingegen durchaus wahrscheinlich (vgl. Kap. II.3.4.13, V.1.2.2).



Abb. 29. Gebäude O. Der Gebäudezugang. Links des Meterstabs die Ziegellage unter der obersten erhaltenen Steinreihe. Gestrichelt angegeben ist das Benutzungsniveau Pos. 210/218 (Phase O3), durchgezogen der Bereich der erhöhten Türschwelle Pos. 254. Ansicht aus Nordosten.

3.4.8 Phase O3: Benutzung des Gebäudes im späten 2. Jh.

Innenbereich

Im späten 2. Jh. wurde das Innenniveau von Bau O abgesenkt und alle früheren Schichten abgetragen – mit Ausnahme der oben erwähnten Benutzungsschicht Pos. 212 in der Mulde Pos. 257. Das über den Befunden der Holzbauperiode liegende Schwemmsediment Pos. 62/220 bildete das neue Gelniveau (Abb. 31, vgl. Kap. II.3.4.6, III.1.2). Gleichzeitig wurde die Mulde Pos. 257 mit Bollen- und Bruchsteinen aufgefüllt (Pos. 258; Abb. 32) und dort der Kies Pos. 211 als Gelniveau eingebracht, von dem sich allerdings nur im Randbereich des ehemaligen «Kühlkellers» Reste finden. Auf dem aus Pos. 62/220 bzw. 211 bestehenden Gelniveau lagerte sich im späten 2. Jh. die Benutzungsschicht Pos. 210/218 ab¹³⁹.

Die Datierung dieser Benutzung ins späte 2. Jh. lässt sich relativ breit abstützen. Dafür besonders wichtig ist eine Reliefschüssel des Verecundus, die aussen den rückläufigen Stempel des Töpfers trägt (FK 343). Die anderen Funde aus Schicht Pos. 210/218 schliessen zeitlich daran an. Charakteristische Formen sind ein Drag. 35/36-Schälchen/Teller (FK 343), das Kragefragment einer Drag. 38-Schüssel (FK 334) sowie die Teller Drag. 32 (FK 393, 686, 409), die erst nach der Mitte des 2. Jh. auf dem Markt erschienen. Weiter belegt sind Glanztonbecher (Niederbieber 32, FK 334, 348, 686) und Becher mit Karniesrand FK 334, 343, 348, 686), wie sie in Komplexen des 2. und 3. Jh. immer wieder vorkommen. Die RS eines Glanztonbechers mit zwei feinen Rillen auf der Schulter trug auf dem unteren, nicht erhaltenen Bereich wohl ein Glasschliffdekor (FK 343, 348, 365)¹⁴⁰. Als Dekorelemente auf den Glanztonbechern sind Barbotineblätter¹⁴¹, Ratterblech und vereinzelt Schuppenverzierung nachgewiesen. Mehrfach belegt sind



Abb. 30. Gebäude O. Zwischen den Strichen der Gebäudezugang mit der aus der Mauerflucht verschobenen Türsetzung Pos. 254. Ansicht aus Nordwesten.

Fragmente von Faltenbechern (FK 348, 686). Wichtig für die Chronologie sind schliesslich verschiedene Fragmente eines steilwandigen, halslosen Bechers der Form Niederbieber 31¹⁴². Der orangerote, im Kern teilweise graue, sehr hart gebrannte Ton weist beidseitig einen sehr guten schwarzen, metallisch glänzenden Überzug auf¹⁴³. Nach F. Oelmann wurde diese Form seit 180/190 n.Chr. hergestellt¹⁴⁴. Auch die helltonige Schüssel mit Überzug und zweifach gerilltem Rand (FK 402) passt gut in diesen Zeitraum¹⁴⁵. Vereinzelt sind zudem auch rätische Reibschüsseln nachgewiesen (FK 344, 686).

Die Benutzungsschicht Pos. 210/218 in Gebäude O kann daher mit guten Argumenten ins späte 2. Jh. datiert werden, möglicherweise in die Zeit um 200 n.Chr.¹⁴⁶ Bestätigt wird diese Datierung durch Funde aus Kontexten, die unter der Benutzungsschicht Pos. 210/218 gelegen haben und damit einen *terminus post quem* liefern. Zu nennen sind beispielsweise die Fragmente einer Drag. 37-Schüssel (FK 364; Pos. 315¹⁴⁷), die in das Umfeld von Verecundus/Cibus gehört und damit ebenfalls ins spätere 2. Jh. zu datieren ist¹⁴⁸. Bei den Glanztongefässen sind Becher mit Karniesrand (FK 367, Pos. 243) und Faltenbecher (FK 364, Pos. 315) nachgewiesen.

Aussenbereich – Schichten

In der 2. Hälfte des 2., vielleicht auch erst im 3. Jh., wurde ein dritter Kiesplatz (Pos. 592) eingebracht, der nicht nur

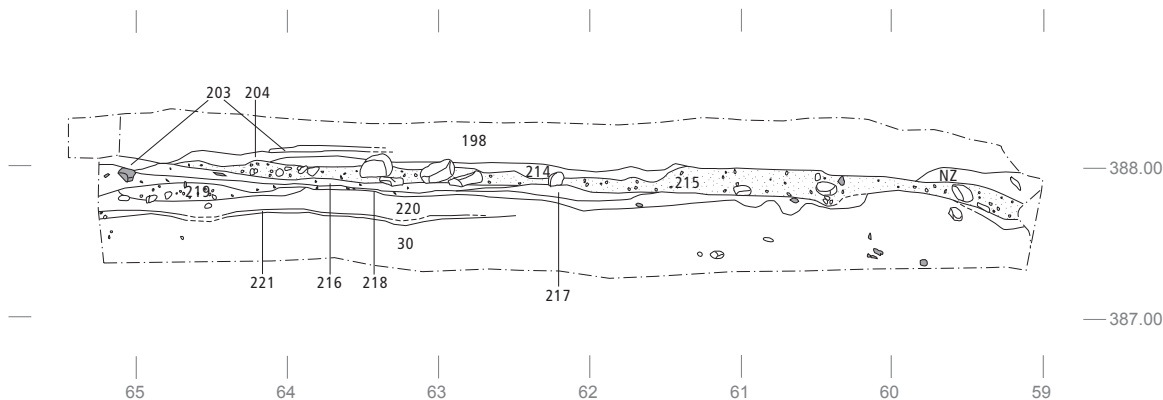


Abb. 31. Gebäude O. Südwestprofil bei Achse 494.50, Lfm. 59–65 (vgl. Abb. 21). M. 1:50.



Abb. 32. Gebäude O. Die mit Bollen- und Bruchsteinen (Pos. 258) verfüllte Mulde Pos. 257 sowie der Kies Pos. 211 (Phase O3). Ansicht aus Nordosten.

den Portikusbereich umfasst, sondern die gesamte Breite der Grabungsfläche¹⁴⁹. In den Kies Pos. 592 eingebettet können einzelne Steine (Pos. 601, 602) beobachtet werden, die als Auflager für die Pfosten der Portikus gedient haben dürften¹⁵⁰.

Aus dem Kies Pos. 592 stammen unter anderem die RS eines Drag. 32-Tellers (FK 695), die RS eines Bechers Niederbieber 32, mehrere Wandscherben von Glanztonbechern mit Ratterblech- und Glasschliffdekor (FK 695) sowie eine rätsche Reibschüssel (FK 695). Nicht ganz klar ist die Interpretation von Fragmenten eines grautonigen Glanz-

tonbechers Niederbieber 33 (FK 673), die im Kontext eines im Kies eingebetteten Steins (Pos. 601) zum Vorschein kamen. Handelt es sich bei dieser als Auflager für einen Portikuspfeiler zu interpretierenden Struktur Pos. 601 nicht um eine Erneuerung, dann ist der Kiesplatz Pos. 592 sogar erst im mittleren 3. Jh. angelegt worden. Dafür könnte auch die im Kies Pos. 592 gefundene RS einer Kochschüssel aus dem 3. Jh. (FK 695) sprechen¹⁵¹.

Aussenbereich – Strukturen

Nordwestlich des Gebäudeeingangs ist die flache Grube Pos. 598 zu beobachten, die den obersten Kies Pos. 592 durchschlägt und damit wohl ins 3. Jh. gehört¹⁵². Die Füllung enthält neben Bruch- und Bollensteinen auch Ziegelstücke, etwas Keramik und viel Holzkohle sowie diverse Eisengegenstände¹⁵³. Neben Nägeln, einer Kette und einer Sichel ist vor allem die Schneckenpfanne FK 675 zu erwähnen – eine in der Schweiz bisher kaum bekannte Fundgattung (Abb. 33)¹⁵⁴.

3.4.9 Phase O4: Benutzung des Gebäudes im mittleren 3. Jh.

Der Mörtelboden mit Unterkofferung

In der Ostecke des Gebäudes wurde im mittleren 3. Jh. der Mörtelboden Pos. 200 eingebracht (Abb. 34)¹⁵⁵. Die Oberfläche des weissen Bodens ist fast vollständig abgeplatzt und insgesamt nicht sehr gut erhalten. Im Südwesten begrenzt die Flechtwerkwand Pos. 223 den Mörtelboden (Abb. 35). Das Wändchen war verputzt, wie die noch *in situ* angetroffene Partie zeigt. Die Flechtwerkwand ruhte vermutlich auf einem Schwellbalken, von dem nur noch ein 0,2 m breites Gräbchen zu fassen ist.

Am Südwestende des Mörtelbodens Pos. 200, nahe der Flechtwerkwand, haben wir eine Feuerstelle gefunden, die aus Teilen von Suspensurplatten und vereinzelt Ziegelstücken besteht (Pos. 225; Abb. 34). Die leider nicht mehr



Abb. 33. Gebäude O. Eiserne Schneckenpfanne (FK 675).

intakte Struktur liegt an der südöstlichen Gebäudemauer, allerdings schräg dazu, sodass wir ursprünglich angenommen haben, dass sie später eingebaut worden ist. Beim Abbau der rund 0,9 m langen und mind. 0,45 m breiten Feuerstelle hat sich dann allerdings gezeigt, dass die Steine der Unterkofferung des Mörtelbodens hier eine gerade Linie bilden und die Ziegelplatten daran anschließen. Die Feuerstelle muss demnach zusammen mit dem Mörtelboden angelegt worden sein, auch wenn die schräge Ausrichtung erstaunen mag¹⁵⁶.

Der Mörtelboden liegt auf mehreren Planien und nicht nur auf einem einfachen Steinkoffer. Dieser Unterbau ruht direkt auf der Benutzungsschicht Pos. 210/218 der Phase O3. Er besteht aus einer Schicht aus Mörtelbrocken, Ziegeln und Tuffsteinen, die wir als Abbruchschicht interpretieren (Pos. 208), und der darüberliegenden Bollensteinlage Pos. 207. Darüber folgt die Siltplanie Pos. 206, die als Ausgleichsschicht für den darüberliegenden Steinkoffer des Mörtelbodens Pos. 200 diente. Insgesamt liegt der neue Boden ca. 0,5 m über dem früheren Gelniveau. Aus der Tatsache, dass sowohl der Mörtelboden als auch die darunterliegenden Schichten Pos. 206–208 durch die Flechtwerkwand Pos. 223 begrenzt werden und sich im Koffer keine Benutzungsschichten nachweisen lassen, muss geschlossen werden, dass die ganze Aufkofferung inklusive Mörtelboden in einem Zug erfolgte.

Signifikante Funde aus dem Koffer lassen sich leider keine anführen. Es sei allerdings auf das Fragment eines Zirkusbechers aus dem 1. Jh. hingewiesen, ein in einem Gutshof seltenes Objekt¹⁵⁷ (Abb. 36).

Der Lehm Boden Pos. 205/214

Südwestlich des Mörtelbodens war gleichzeitig mit diesem ein gelber, sandiger Silt (Pos. 205) eingebracht worden, den wir als Lehm Boden deuten. Er ruht wie die Unterkofferung des Mörtelbodens direkt auf der Benutzungsschicht Pos. 210/218 der Phase O3. Der Lehm Boden liegt rund



Abb. 34. Gebäude O. Mörtelboden Pos. 200 mit schräg liegender Feuerstelle Pos. 225 (Bildmitte). Phase O4. Im Vordergrund die Gebäude-/Hofmauer Pos. 7. Ansicht aus Nordosten.



Abb. 35. Gebäude O. Das Lehmflechtwändchen Pos. 223, das den links anschließenden Mörtelboden Pos. 200 begrenzt (Phase O4). Ansicht aus Westen.

0,2 m tiefer als der Mörtelboden, sodass sich bei der Flechtwerkwand Pos. 223 ein Absatz befunden haben muss. Unter dem Lehm Boden Pos. 205 ist stellenweise ein grauer, fleckiger Silt (Pos. 209) festzustellen, möglicherweise ein älterer Boden.

Der Lehm Boden Pos. 205 ist auch in den Feldern 19 und 20 zu finden, er wird dort allerdings als Pos. 214 bezeichnet.

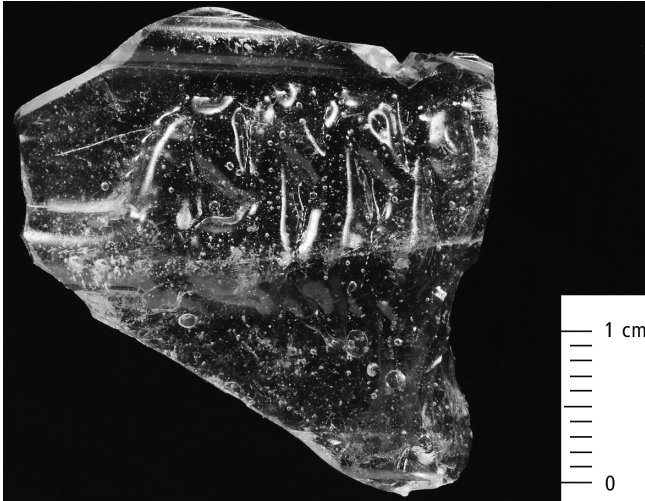


Abb. 36. Gebäude O. Fragment eines Zirkusbechers (FK 326).



Abb. 37. Gebäude O. Helvetische Drag. 37-Schüssel (FK 423).

net. Während er in Feld 20 – wie Pos. 205 in Feld 18 – direkt auf der Benutzung Pos. 218 liegt (vgl. Tab. 5), gibt es in Feld 19 mehrere Zwischenschichten (vgl. Abb. 31; Pos. 215, 216¹⁵⁸, 217). Einen wichtigen Anhaltspunkt für die Datierung dieser Schichten bietet eine Drag. 37-Schüssel helvetischer Produktion (Nordostgruppe) aus der lehmigen Planie Pos. 216 (Abb. 37)¹⁵⁹.

Der Lehm Boden Pos. 205/214 kann wegen der Verbindung mit der Ofenanlage Pos. 229/237 (s. unten) frühestens ins mittlere 3. Jh. gehören. Der Sesterz des Marcus Aurelius für Commodus (M30; Tab. 14) aus Pos. 214 ist stark abgegriffen, was auf eine lange Zirkulation hindeutet.

Die Ofenanlagen Pos. 229 und 240 und die Feuerstelle Pos. 224

Im Nordwestbereich von Bau O befinden sich zwei Ofenanlagen aus dem mittleren 3. Jh., nämlich zwei sich entsprechende Konstruktionen mit jeweils einer Feuerstelle vor



Abb. 38. Gebäude O. Ansicht der Ofenanlagen Pos. 240/246 (im Vordergrund) und Pos. 229/237 (im Hintergrund). In der Bildmitte die Herdstelle Pos. 224 (Phase O4). Ansicht aus Südwesten.

einer rechteckigen Steinsetzung (Abb. 38)¹⁶⁰. Es dürfte sich dabei um Räucheranlagen handeln. Eine detaillierte Rekonstruktion ist wegen der insgesamt schlechten Erhaltung der Strukturen nicht möglich¹⁶¹.

In Verbindung mit dem Ofen Pos. 229 und der davor liegenden Feuerstelle Pos. 237 zu sehen ist eine ungefähr rechteckige Lehm packung (Pos. 236), um die der mutmassliche Heizkanal herumläuft. Aus dem gelben Lehm Pos. 236 stammt ein Sesterz des Philippus I (M31; Tab. 14). Die Konstruktion gehört damit frühestens ins mittlere 3. Jh. Weil der Lehm Boden Pos. 205/214 vermutlich das Gehniveau zum Ofen Pos. 229/237 bildete, datiert er wohl ebenfalls in die Mitte des 3. Jh.

Unmittelbar neben dem Räucherofen Pos. 229/237 ist ein bemerkenswertes Einzelobjekt zum Vorschein gekommen, der «Glatzkopf mit Peniskappe», wie ihn die Presse bezeichnet hat¹⁶². Es dürfte sich dabei um einen bronzenen Jochaufsatz handeln (Abb. 39). Neben dem Phallus auf dem kahlen Schädel trägt die kleine Büste auf dem Hinterkopf ein Haarbüschel, einen sog. Cirrus. Diese in der Schweiz bisher kaum belegten Büsten wurden früher als Isispriester bezeichnet, stellen jedoch vermutlich Athleten dar. Leider ist die Schichtzugehörigkeit dieses Ausnahmefunds nicht ganz klar – aufgrund der Stratigraphie kann er aber frühestens ins späte 2. Jh. gehören: Entweder wurde die Büste im Zusammenhang mit der Errichtung der erwähnten Ofenanlage Pos. 229/237 hier deponiert, oder

aber sie gehört zur darunterliegenden Benutzungsablage-
rung Pos. 210/218 aus Phase O3.

Nach der Aufgabe der beiden Räuheranlagen wurde in
der Mitte der Nordwestmauer des Gebäudes eine Feuer-
stelle eingerichtet (Pos. 224; Abb. 38, 40)¹⁶³. Diese besteht
wie üblich aus Leistenziegeln und Stücken von solchen;
daneben sind ein einzelner Stein sowie Fragmente von
glatten Kalkstein- und Marmorplatten verbaut worden¹⁶⁴.
Stehende Bruch- und Bollensteine fassen die Feuerstelle
ausser ein¹⁶⁵.

3.4.10 Phase O5: Letzte Benutzung und Zerstörung im 3. Viertel des 3. Jh.

Innenbereich

Der Mörtelboden Pos. 200 wurde zusammen mit dem
Lehmboden Pos. 205/214 bis zur Zerstörung des Gebäu-
des durch ein Feuer genutzt. Die Benutzungsablage-
rung Pos. 199 über dem Mörtelboden ist identisch mit der
Benutzung Pos. 204 über dem Lehmboden Pos. 205. In
Feld 20 wird diese Schicht unter Pos. 230 zusammen-
gefasst.

Über der Benutzungsschicht Pos. 204 können in den
Feldern 18 und 19 einzelne Brandlinsen beobachtet wer-
den (Pos. 203, vgl. Abb. 31). Im Bereich der Flechtwerk-
wand Pos. 223 liegt zudem verbrannter Hüttenlehm
(Pos. 201), der zweifellos vom abgebrannten Wändchen
Pos. 223 stammt. Über den spätesten Benutzungsablage-
rungen Pos. 199/204/230 bzw. den Brandlinsen Pos. 203
ist in Feld 18 schliesslich der Ziegelversturz des Dachs zu
erkennen (Tab. 5).

Die Funde aus der Benutzungsschicht Pos. 199/204/230
lassen sich vielfach an Scherben aus den darüberliegenden
Brandlinsen Pos. 203 anpassen. Bei den Objekten aus der
Benutzungsschicht handelt es sich also ganz offensichtlich
um das Inventar des Gebäudes zur Zeit der Brandzerstö-
rung im 3. Viertel des 3. Jh. Die charakteristischen Funde
für die Datierung dieser Phase sind die für Dietikon typi-
schen Kochtöpfe mit kurzem, gedrungenen Hals, wie sie
in der 2. Hälfte des 3. Jh. vorkommen¹⁶⁶. Aus einem der
Brandflecken Pos. 203 stammt zudem ein Kochteller mit
spezieller Randgestaltung, die sich mit einem Stück aus
Dietikon vergleichen lässt, das «frühestens ins 3. Viertel
des 3. Jh.» datiert werden kann¹⁶⁷.

Für eine Datierung der letzten Benutzungsschicht und
des Brandes ins fortgeschrittene 3. Jh. spricht auch das
Auftreten von Glanztonbechern Niederbieber 33¹⁶⁸ (zwei
Expl. FK 281, je eines FK 283, 299). Der Rest der Funde
aus der Benutzungs- und Brandschicht entspricht hinge-
gen weitgehend dem Fundmaterial aus dem darunterlie-
genden Lehmboden Pos. 205/214. Hier zeigt sich einmal
mehr die Schwierigkeit, Material aus dem mittleren 3. Jh.
von solchem aus dem 3. Viertel des 3. Jh. zu unterschei-
den. Charakteristische Formen, die diese Differenzierung
ermöglichen, lassen sich nur ganz wenige anführen – u.a.
eben die Kochtöpfe mit gedrungenem Hals.



Abb. 39. Gebäude O. Bronzener Jochaufsatz in Form eines Athleten
mit Phallus auf dem kahlen Schädel und sog. Cirrus am Hinterkopf
(FK 303). Höhe 5,1 cm.

Die drei Sesterze aus der Benutzungsschicht Pos. 199/
204/230 (M27–29; Tab. 14) stammen aus dem 2. Jh. und
können die Datierung damit nicht präzisieren. Speziell
erwähnt seien das kleine Fragment eines helltonigen Ge-
sichtstopfs (FK 281), von dem sich ein Teil der Augenbraue
und des Auges erhalten haben, sowie ein seltenes Deckel-
fragment (FK 291) aus grob gemagertem Ton (Abb. 41).

Aufgrund der oben genannten Funde lassen sich die
letzte Benutzung und die Zerstörung von Gebäude O ins
3. Viertel des 3. Jh. datieren, möglicherweise sogar erst ins
letzte Viertel. Die spätesten Elemente sind die erwähnten
Kochtöpfe mit gedrungenem Hals sowie der speziell ge-
formte Kochteller FK 287. Die Zerstörung von Gebäude O
lässt sich in Dietikon unter anderem mit der Benutzungs-
phase 3 in Gebäude A parallelisieren, die nach 270 n.Chr.
datiert wurde¹⁶⁹, weiter mit Schicht I 3.11 in Gebäude B,
die nach der Mitte des 3. Jh. abgelagert wurde¹⁷⁰. Das
Material ist aber auch zeitgleich mit den Funden aus der
Brandschicht in Gebäude B von Strickhof/Mur in Zürich-
Oberstrass¹⁷¹. Jener Komplex, der durch einen Antonini-
an des Aurelianus ins letzte Viertel des 3. Jh. datiert ist,
enthielt allerdings keine Kochtöpfe mit kurzem Hals.

Aussenbereich

Über dem letzten Kiesplatz Pos. 592 ist ein kleinteiliger
und daher vermutlich planierter Ziegelversturz (Pos. 591)



Abb. 40. Gebäude O. Die Herdstelle Pos. 224 der Phase O4. Ansicht aus Südosten.



Abb. 41. Gebäude O. Fragment eines grobkeramischen Deckels (FK 291).

zu beobachten. Das Material daraus lässt sich mehrheitlich ins mittlere 3. Jh. datieren. Es finden sich allerdings ganz vereinzelt auch Scherben, die ins späte 3. oder gar ins 4. Jh. gehören können. Zu nennen ist insbesondere die RS eines Honigtopfs mit einem markanten Deckelaufleger. Die RS von zwei zylindrischen, steilwandigen Gefässen (FK 672) könnten zwar ins mittlere 3. Jh. gehören¹⁷², eine spätere Zeitstellung ist aber nicht auszuschließen. Hinzu kommen schliesslich zwei RS eines Topfs (FK 672/688), der Parallelen im Fundmaterial der spätesten Nutzung des Holzgebäudes zwischen Gebäude F und O findet¹⁷³. Dieser Topf dürfte daher ebenfalls ins 3. Viertel des 3. Jh. gehören.

3.4.11 Gebäude P: Einleitung

Bau P ist das nordwestlichste Gebäude im Grabungssperimeter. Der Abstand zu den benachbarten Gebäuden O und B misst jeweils etwa 22,4 m. Neuzeitliche Eingriffe haben die Westecke von Bau P komplett zerstört (Abb. 42). Ein Teil des Gebäudes ist anhand einer kleinen Testfläche bereits im Jahr 2000 untersucht worden¹⁷⁴ (Abb. 42).

3.4.12 Phase P1: Errichtung des Gebäudes (flavisch)

Innenbereich

Entlang der Südostmauer Pos. 363 ist eine Sequenz von Pfostengruben aus der Bauzeit zu erkennen (Abb. 42)¹⁷⁵. Weil diese unmittelbar neben der inneren Mauerschale liegen, dürften sie von Stützen eines Gerüsts stammen, das beim Bau des Gebäudes verwendet wurde. Schichten aus der Bauzeit des Steingebäudes lassen sich im Innern – im Gegensatz zum Aussenbereich – nicht feststellen.

Aussenbereich

Im Vorplatzbereich des Gebäudes sind diverse Pfostengruben fassbar (Pos. 578–585, 605–606; Abb. 42). Die Pfosten Pos. 578, 579, 580, 582 und 584, die in einem Abstand von ca. 1,3 m parallel zur Südwestmauer des Gebäudes verlaufen, bilden eine schöne Sequenz. Sie gehören sicher nicht zu einer vorgelagerten, schmalen Portikus, da die Pfostengrube Pos. 579 unter dem ersten Kiesweg Pos. 454/514 liegt¹⁷⁶. Zudem werden die Strukturen von der Benutzungsschicht Pos. 503 überlagert, die zum ersten Kiesweg gehört (s. Kap. II.3.4.13). Die Pfostenreihe ist daher im Zusammenhang mit dem Bau des Steingebäudes zu sehen¹⁷⁷. Eine Deutung ist nicht möglich, eine Interpretation als Baugerüst aufgrund der Distanz eher auszuschließen. Die anderen festgestellten Pfostengruben im Vorplatzbereich (Pos. 581, 583, 585, 605, 606) stammen ebenfalls aus der Bauzeit des Steingebäudes.

Zu diesen Strukturen gehört eine gräuliche Siltschicht (Pos. 455/573), die wir als Trampelniveau im Zusammenhang mit der Errichtung des Steingebäudes interpretieren¹⁷⁸. Wie beim Bau O befindet sie sich auf dem weitgehend sterilen Schwemmsediment Pos. 62. Auf diesem gräulichen Silt liegt unmittelbar neben der Gebäudemauer eine kiesige Linse, die auf den Fundamentabsatz und die zugehörige Mörtelbraue zieht und als Rest des Bauniveaus anzusprechen ist (Pos. 586; Abb. 43).

Das Material aus dem Trampelniveau Pos. 455/573¹⁷⁹ lässt sich von der Zusammensetzung her nicht von den Funden aus der Holzbauperiode unterscheiden. An Formen sind belegt: je eine RS Drag. 15/17 und Drag. 16 (beide FK 643), zwei Fragmente von nicht näher bestimmbar TS-Tellern (FK 643), ein grautoniger Teller Drack 3 (FK 643) sowie eine grautonige Schüssel Drack 21 (FK 689). Erwähnenswert sind weiter die beiden Fragmente von pompe-

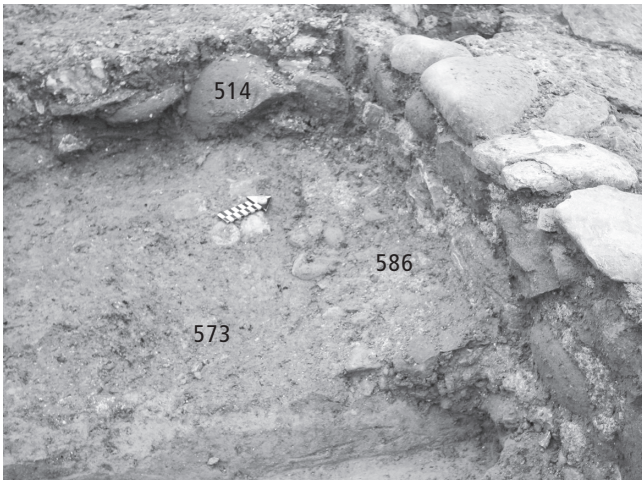


Abb. 43. Gebäude P. Das auf den Fundamentabsatz des Gebäudes ziehende Bauniveau Pos. 586 unter dem (teilweise abgetragenen) ersten Kiesweg Pos. 514. Unter dem Bauhorizont das Trampelniveau Pos. 573. Ansicht aus Südosten.

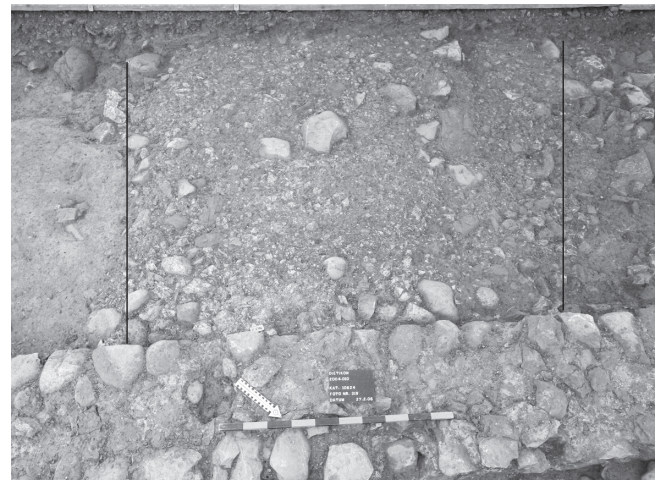


Abb. 45. Gebäude P. Der auf das Gebäude zuführende Weg Pos. 454/514 (Phase P1). Ansicht aus Nordosten.



Abb. 44. Gebäude P. Grautonige, beim Brand vermutlich zu hoch erhitzte Reibschüssel (FK 643).

auch hier – wie etwa beim Gebäude D¹⁸⁶ – das Ausseniveau tiefer liegt als die Schwelle. Das erste Innenniveau von Bau P jedenfalls liegt 0,3–0,4 m tiefer als die erhaltene Mauerkrone (vgl. Kap. II.3.4.13).

Der Kiesweg Pos. 454/514 enthält leider kaum Material (Tab. 7). Der Unterbau ist diesbezüglich etwas ergiebiger: Neben der BS eines TS-Tellers (Drag. 18?) mit einem Stempel des Aquitanus¹⁸⁷ (FK 682) haben wir daraus zwei grautonige Schüsseln Drack 20 (FK 607, 682), zwei RS von Krügen mit glattem Kragenrand (FK 607, 682) sowie einen relativ hohen Anteil an helltonigen Krugscherben mit grauem Kern bzw. uneinheitlichem Brand geborgen. Eine präzise Datierung ist mit diesen Stücken nicht möglich – aufgrund der allgemeinen Baugeschichte möchten wir den ersten, zum Steingebäude führenden Kiesweg aber in die flavische Zeit setzen.

3.4.13 Phase P2: Benutzung des Gebäudes (flavisch bis Mitte 2. Jh.)

Innenbereich – Schichten

Die unterste Benutzungsschicht Pos. 396 im Gebäude liegt rund 0,3–0,4 m tiefer als die erhaltene Mauerkrone im Bereich der Schwelle¹⁸⁸ und ca. 0,2 m unterhalb der Fundamentkante (Abb. 47). Es ist daher davon auszugehen, dass das Innere des Baus nur über einen Tritt zu erreichen war (vgl. dazu Kap. V.1.2.2).

Die 0,1 bis maximal 0,2 m dicke Benutzungsschicht enthält Material, das sich in den Zeitraum von der 2. Hälfte des 1. bis nach der Mitte des 2. Jh. datieren lässt und damit einen längeren Schichtbildungsprozess widerspiegelt¹⁸⁹. Gelniveaus innerhalb dieses humos-grauen, gelbfleckigen Siltpakets sind nicht festzustellen. Aufgrund der Schichtmächtigkeit und der Datierungsspanne der Funde ist durchaus wahrscheinlich, dass hier mehrere Geh-/Benutzungsniveaus vorliegen und nicht ein einziges, kontinuierlich abgelagertes Paket. Dies würde auch erklären, weshalb die zur Benutzungsschicht Pos. 396 gehörige Feuerstelle Pos. 458 sowie die anderen frühesten Strukturen erst nach dem Abtragen der Schicht zum Vorschein gekommen sind

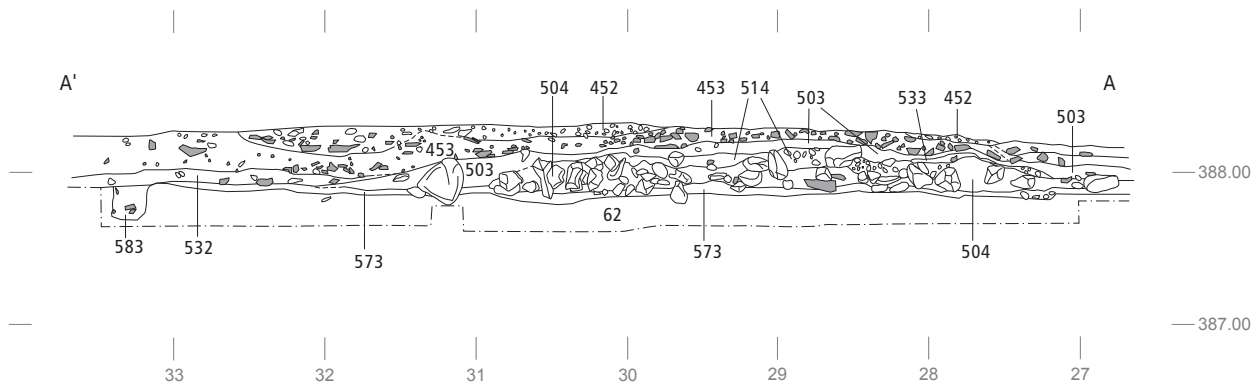


Abb. 46. Gebäude P. Profil A-A' im Vorplatzbereich (Achse 489, zur Lage des Profils vgl. Abb. 42). M. 1:50.

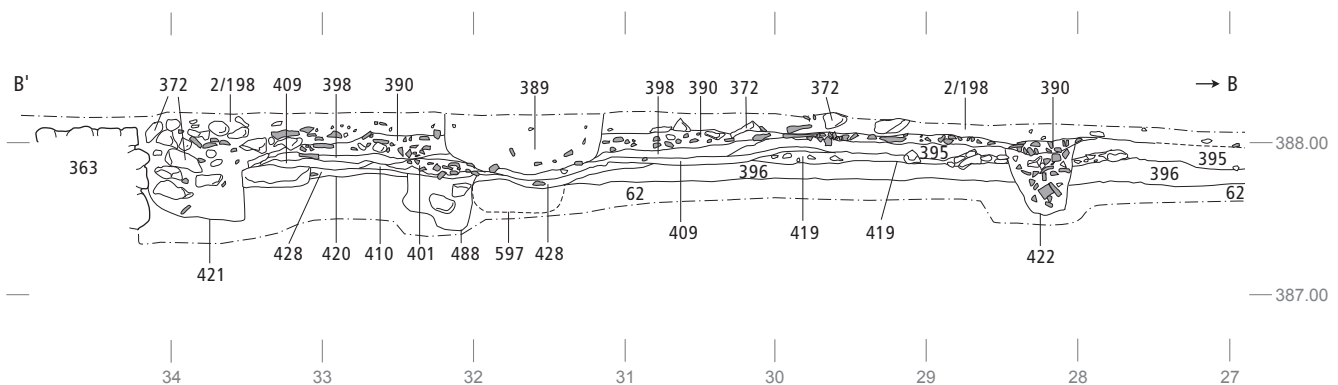


Abb. 47. Gebäude P. Profil B-B' im Innern von Gebäude P (zur Lage des Profils vgl. Abb. 42). Von Mauer Pos. 363 ist noch eine Lage des aufgehenden Mauerwerks erhalten. M. 1:50.

(s. unten). Man darf vermuten, dass die genannten Befunde zu einer ersten, nur im Fundmaterial fassbaren Benutzungsschicht des späteren 1. Jh. gehören.

Nennenswerte Funde aus der Benutzungsschicht Pos. 396 sind der Teller Drag. 15/17 (FK 533), eine Form, die in Augst bis in Phase 10 vorkommt¹⁹⁰, grautonige Schultertöpfe (FK 533), Kochtöpfe mit Kammstrich (FK 642) sowie andere Kochkeramik-Typen (FK 533, 642). Alle diese Formen dürften noch ins 1. Jh. gehören. Charakteristische Typen des späteren 1. und 2. Jh. sind zwei Fragmente von Drag. 35/36 (FK 533), verschiedene Glanztongefäße – so ein Schuppenbecher mit Karniesrand und mattem, braunem Überzug (FK 533) sowie mehrere Fragmente mit Ratterblechdekor (FK 503, 533) oder Griesbewurf (FK 503, 642). Die Fragmente von Glanztongefäßen mit Ratterblechdekor und glänzendem Überzug sind wohl die jüngsten Funde des Komplexes; sie sprechen dafür, dass die Benutzungsschicht Pos. 396 bis nach der Mitte des 2. Jh. abgelagert wurde.

Die Fragmente eines grautonigen Faltenbeckers (FK 503) sowie einer Schüssel mit zweifach gerilltem Horizontalrand¹⁹¹ (FK 503) sind vermutlich von der Schicht zu trennen. Sie sind wohl zur unmittelbar darüberliegenden

Schicht Pos. 395 zu zählen und dürften, wie die Anpassungen zeigen, aus der Kontaktzone der beiden Schichten stammen¹⁹².

Innenbereich – Strukturen

Zur ersten Nutzungsphase des Gebäudes gehört neben diversen Pfostengruben und Staketenlöchern die weitgehend zerstörte Feuerstelle Pos. 458¹⁹³ im nördlichen Bereich¹⁹⁴ (Abb. 42). Erhalten ist davon nur noch eine Ansammlung von kleinen, teilweise hitzegeeröteten Kieseln und verbrannten Lehmstückchen; das Umgebungsmaterial ist durch Brandrötung verfärbt. Die frühesten Pfostengruben und Staketenlöcher, die hier nicht weiter besprochen werden, liefern kein datierbares Material.

Aussenbereich – Ziegelplanie, Kiesweg und zugehörige Benutzung

Auf dem Kiesweg Pos. 454/514 aus der Bauzeit (Phase P1) liegt die Benutzungsschicht Pos. 503 (Abb. 46 und Tab. 7) aus dem späteren 1. Jh.¹⁹⁵ An TS-Formen sind nachgewie-

sen: Drag. 15/17 (FK 683), Drag. 18 (FK 600, 606, 683 mind. 1 Expl.), Drag. 29 (FK 600, 683 mind. 1 Expl.), Drag. 37 (FK 683 mind. 1 Expl.) sowie verschiedene TS-Fragmente, die nicht genauer bestimmt werden können (FK 683). An TS-Imitationen ist eine grautonige Drack 19-Schüssel nachgewiesen (FK 600). Weiter sind mehrere hell- und grautonige Schüsseln Drack 20–22 (FK 600, 606, 683) sowie ein Glanztonbecher mit Griesbewurf (FK 683) belegt. Hinzu kommen die Mündung eines Einhenkelkrugs mit Wulstlippe (FK 600) und mehrere grautonige Schulterbecher/-töpfe (FK 600, 683). Rund die Hälfte aller helltonigen Krugscherben zeigt einen grauen Kern.

Die Benutzungsschicht Pos. 503 aus dem fortgeschrittenen 1. Jh. wird von einer Planie aus kleinteiligem, kompaktem Ziegelschutt überlagert (Pos. 453; Abb. 46). Diese bildet den Unterbau¹⁹⁶ für den mindestens 5,5 m breiten Kiesplatz Pos. 452, der im Südosten etwa in der Flucht der südöstlichen Gebäudemauer endet¹⁹⁷. Im nordwestlichen Bereich kann hingegen kein Kies beobachtet werden (Abb. 46, Grenze ca. bei Lfm. 30). Es muss offen bleiben, ob hier kein Kies vorhanden war, oder ob sich dieser nur nicht erhalten hat. Dies ist durchaus denkbar, bildet der Kiesplatz Pos. 452 doch die oberste erhaltene römische Schicht; darüber sind nur noch die neuzeitlichen Auffüllschichten Pos. 2/198 zu beobachten.

Der als Unterbau für den Kiesweg Pos. 452 verwendete Ziegelschutt Pos. 453 dürfte im mittleren 2. Jh. eingebracht worden sein. An Glanztongefässen sind mindestens zwei Becher mit einem matten Überzug belegt, einer mit einem stark ausbiegenden Rand¹⁹⁸, der andere aussen mit Griesbewurf (FK 591). Wichtig für die Datierung sind aber die Gefässe mit Goldglimmerüberzug: eine Schüssel mit Horizontalrand (FK 578), ein Teller (FK 585) sowie mindestens zwei kugelige Töpfe (FK 578 und 585)¹⁹⁹. Hinzu kommen weitere, nicht genauer zuweisbare Wandfragmente²⁰⁰ (FK 578, 585, 586, 666). Belegt ist zudem eine Schüssel mit Wandleiste (FK 578), die einen orangebraunen, matten Überzug trägt. Auch wenn die Form vor allem seit dem späteren 2. Jh. beliebt ist²⁰¹, findet sie sich vereinzelt auch schon in Kontexten um 100 n.Chr.²⁰² Charakteristisch sind schliesslich auch die RS und WS eines brauntönen Topfs mit Steilrand (FK 578 und 585), der aussen unterhalb des Schulterknicks Barbotinepunkte zeigt, sowie die WS eines Schultertopfs mit vertikalen Barbotinestreifen (FK 591).

Die Ziegelschuttplanie Pos. 453 lässt sich daher mit guten Argumenten ins mittlere 2. Jh. datieren. Auffällig ist die Verwandtschaft dieser Funde mit jenen aus der untersten Benutzungsschicht innerhalb des Gebäudes (Pos. 396). Es ist durchaus möglich, dass Material aus dem Innern von Gebäude P hier abgelagert wurde, und zwar aus dem Bereich im Südosten des Baus, wo nach der Mitte des 2. Jh. eine Absenkung stattfand und die Benutzungsschicht Pos. 396 abgetragen wurde (vgl. Kap. II.3.4.15).

Weil die Planie Pos. 453 als Unterbau für den Kiesplatz Pos. 452 zu interpretieren ist, muss auch dieser ins mittlere 2. Jh. gehören. Offenbar wurde der Kieskoffer um 200 n.Chr. einmal ausgebessert (vgl. Kap. II.3.4.18).

Aussenbereich – Ein mögliches Traufgräbchen

Südöstlich des Gebäudes liegt ein parallel zur Gebäudemauer verlaufendes, ca. 0,3 m breites Gräbchen mit diffusen Konturen (Pos. 368; Abb. 42) in einem Abstand zur Mauer von rund 0,35 m. Das Gräbchen führt ohne Gefälle über die Südecke des Gebäudes hinaus weiter nach Südwesten, wo es bei einer neuzeitlichen Störung endet.

Sollte es sich bei diesem Befund um ein Traufgräbchen handeln, hätte dies einen grossen Einfluss auf die Rekonstruktion des Daches. Dies wäre ein Beweis dafür, dass die Gebäude ein rechtwinklig zur Hofmauer verlaufendes Satteldach hätten²⁰³. Ungeklärt ist bei dieser Interpretation allerdings die erwähnte Tatsache, dass das Gräbchen über die Gebäudecke hinaus in den Bereich der zu erwartenden Portikus läuft. Da das Dach des Laubengangs mit Gewissheit als gegen das Hofinnere geneigtes Pultdach zu ergänzen ist und wir vor der Portikus kein Traufgräbchen vorgefunden haben, kann ausgeschlossen werden, dass das Wasser von dort auf die Seite und dann mit dem erwähnten Gräbchen abgeleitet wurde. Die Interpretation als Traufgräbchen lässt sich damit leider nicht schlüssig beweisen.

Das vermeintliche Traufgräbchen Pos. 368 lässt sich zeitlich nicht genauer einordnen. Die Struktur ist eingetieft in die Schicht Pos. 532, die wir mit der Planie Pos. 44 gleichsetzen (vgl. Kap. II.3.2), die unmittelbar nach der Errichtung der Steinbauten eingebracht worden ist. Nicht nur die Tatsache, dass die Struktur vom Pfeiler Pos. 489 überlagert wird, sondern auch die Funde in der Verfüllung des Gräbchens deuten darauf hin, dass es bereits im 1. Jh. wieder verfüllt worden ist²⁰⁴.

3.4.14 Phase P3: Einbau der Feuerstelle Pos. 402 und der Konstruktion Pos. 419 (Mitte 2. Jh.?)

Vermutlich um die Mitte des 2. Jh. wurde unmittelbar neben ihrer Vorgängerin Pos. 458 (Phase P2) die rechteckige Feuerstelle Pos. 402 angelegt. Sie weist einen Kieselkoffer auf, der mit gelbem Lehm bedeckt ist (Abb. 48). In unmittelbarer Nähe davon, gegen das Zentrum des Gebäudes hin, liegt eine offensichtlich mehrfach erneuerte Konstruktion (Pos. 419; Abb. 47), die vermutlich als Rest einer weitgehend zerstörten, freistehenden Räucheranlage gedeutet werden kann²⁰⁵. Beide Strukturen sind in die Benutzungsschicht Pos. 396 eingetieft und von der Benutzung Pos. 395 (Phase P6) aus der 1. Hälfte des 3. Jh. überlagert (zu Pos. 419 vgl. Abb. 47). Die postulierte Räucheranlage Pos. 419 wird zudem vom Lehmboden Pos. 409 aus dem 3. Viertel des 2. Jh. (Phase P5) überdeckt.

3.4.15 Phase P4: Abtiefen eines Innenbereichs im Südosten und anschliessende Benutzung (3. Viertel 2. Jh.?)

Im fortgeschrittenen 2. Jh. ist der südöstliche Bereich des Gebäudes bis in die Schwemmschicht Pos. 62/220 hinun-



Abb. 48. Gebäude P. Die rechteckige Feuerstelle Pos. 402 der Phase P3. Ansicht aus Osten.

ter abgetieft (Pos. 420) und dabei die Benutzungsschicht Pos. 396 der Phase P2 auf einer Breite von 2–3 m abgetragen worden (Abb. 42, 47).

Es ist anzunehmen, dass hier ein Raum abgetrennt war, auch wenn sich keine klare bauliche Abgrenzung fassen lässt. Da sich die Stratigraphie im Nordwestteil durchwegs von jener im Streifen im Südosten unterscheidet, hat diese Zweiteilung des Gebäudes vermutlich bis zur Zerstörung bestanden (Abb. 47). Die im Befund nicht nachweisbare Trennwand scheint im Lauf der Zeit etwa 1 m nach Nordwesten verschoben worden zu sein (bis etwa Lfm. 30, vgl. Abb. 47).

Die Stratigraphie im tiefer liegenden Bereich im Südosten ist folgende: Zuerst befindet sich die Benutzungsschicht Pos. 428, darüber die Brandschicht Pos. 410 und die Ziegelplanie Pos. 401 (vgl. Phase P5) sowie weitere Schichten, auf die unten noch zurückzukommen sein wird (vgl. dazu Tab. 8). Die zeitliche Einordnung dieser Bauphase ergibt sich aus der Tatsache, dass die Abtiefung die Benutzung Pos. 396 der Phase P2 entfernt hat und somit nach der Mitte des 2. Jh. erfolgt sein muss. Weil die in der Abtiefung liegende Brandschicht Pos. 410 und die Ziegelplanie Pos. 401 ins spätere 2. Jh. gehören (s. unten), könnte dieser Eingriff ins 3. Viertel des 2. Jh. datiert werden. Die wenigen datierbaren Funde aus der Benutzung Pos. 428 widersprechen dieser Datierung nicht. Interessant sind die verkohlten, durch den Brand konservierten Getreidekörner aus dieser Benutzungsschicht, vermutlich ein verbrannter Getreidevorrat (vgl. Kap. II.3.4.17).

3.4.16 Phase P5: Brandereignis und Lehmbofen Pos. 409 (3. Viertel 2. Jh.)

Wie gesagt, haben wir im Bereich der Abtiefung (Pos. 420) im Südosten über der Benutzung Pos. 428 die Brandschicht Pos. 410 festgestellt, die neben viel Holzkohle eine grosse

Menge verkohltes Getreide enthält. Die botanischen Proben sind der Brandschicht zugewiesen worden, gehören aber ganz klar zur Benutzungsschicht Pos. 428. Marlu Kühn vom IPNA in Basel hat das Material ausgewertet (vgl. Kap. II.3.4.17 und Tab. 9).

Weil ein Teil der Scherben aus dem Ziegelschutt Pos. 401²⁰⁶ Brandspuren aufweist, darf angenommen werden, dass die Ziegel zur Brandschicht Pos. 410 gehören und nicht etwa als Planie von aussen eingebracht wurden. Weder die Ziegel- noch die Brandschicht nehmen den gesamten Bereich der Abtiefung ein, auch lässt sich keine Brandrötung auf dem Boden feststellen. Wie man sich dieses offenbar begrenzte Brandereignis vorzustellen hat, muss vorerst offen bleiben – möglich wäre eine Teilerstörung des Gebäudes.

Der aus der Ziegelschicht Pos. 401 stammende Sesterz des Marc Aurel (M33; Tab. 14) datiert die Ziegelschicht – und damit das Brandereignis – frühestens ins 3. Viertel des 2. Jh. Die Keramik gehört in die 2. Hälfte des 2. oder ins beginnende 3. Jh. und widerspricht der Datierung durch die Münze damit nicht. Charakteristische Keramikformen sind eine Schüssel Drag. 38 (FK 492), ein Glanztonbecher mit Glasschliff (FK 492) sowie eine rätsche Reibschüssel (FK 492).

Nach dem (Teil?-)Brand wurde der Ziegelschutt ausplaniert und darüber der Lehmbofen Pos. 409 eingebracht. Zu diesem neuen Gelniveau gehört die Feuerstelle Pos. 430. Der Lehmbofen überdeckt auch einen Teil der in Phase P3 errichteten Räucheranlage Pos. 419 (Abb. 47).

3.4.17 Untersuchung eines Getreidefunds aus der Brandschicht Pos. 410 (Marlu Kühn)

Einleitung

Nach der Voruntersuchung von vier Proben durch Christoph Brombacher²⁰⁷ im Dezember 2008 ist entschieden worden, die reichhaltigste Probe durch Marlu Kühn vom IPNA detailliert analysieren zu lassen. Die Probe FK 491 stammt aus der Holzkohleschicht mit verbrannten Getreidekörnern (Pos. 410); es handelt sich um eine mutmassliche Nutzungsablagung auf der Sohle einer flachen, muldenartigen Abtiefung (vgl. Kap. II.3.4.16). Im Vordergrund stand die Frage nach den im Gutshof produzierten Getreidearten und dem potenziellen Standort der Äcker²⁰⁸.

Material und Methoden

Die Probe DINM 491 besteht aus 7 l Erdmaterial. Ihre Aufbereitung erfolgte gemäss der im IPNA gebräuchlichen Methode mit Hilfe der Halbflotation. Die organischen Teile der Probe wurden in drei Fraktionen aufgetrennt (4 mm, 1 mm, 0,35 mm). Der sehr hohe organische Anteil der Probe konnte aus Zeitgründen nicht vollumfänglich untersucht werden, so wurde aus der 1 mm- und der 0,35 mm-Fraktion je eine Stichprobe ausgelesen. Da die 1 mm-Frak-

tion praktisch zu 100% aus Getreidekörnern (*Hordeum vulgare*) besteht, wurden nur ganze Stücke ausgelesen bzw. gezählt. Alle ausgelesenen Reste wurden auf das Gesamtvolumen der Fraktion hochgerechnet und addiert²⁰⁹. Die Nomenklatur der wissenschaftlichen Pflanzennamen folgt Aeschmann/Heitz 2005.

Die Konzentration bzw. die Anzahl Pflanzenteile pro Liter Sediment gibt Hinweise auf die Reichhaltigkeit der Probe(n)²¹⁰. Die Unterteilung der bestimmten Pflanzenarten erfolgt in Kultur- und Wildpflanzen. Die Kulturpflanzen werden entsprechend ihrer Verwendbarkeit für den Menschen gruppiert, die Wildpflanzenarten den von ihnen bevorzugten Standorttypen zugeordnet. Alle nur bis zur Gattung oder Familie bestimmten Diasporen werden in der Kategorie «Sonstige» zusammengefasst²¹¹.

Ergebnisse und Diskussion

Alle Diasporen sind verkohlt erhalten. Die 4 mm-Fraktion wird von Holzkohlen dominiert, in der 1 mm- und der 0,35 mm-Fraktion überwiegen Getreidekörner bzw. amorphe Objekte²¹². Da in den amorphen Objekten einzelne Gersten- und Weizenkörner wie auch Linsensamen zu erkennen sind, könnte es sich um die verkohlten Reste einer Mahlzeit (möglicherweise eines Breis oder Eintopfs) handeln.

Die Konzentration an Pflanzenresten ist mit 4200 Stück pro Liter sehr hoch; das Überwiegen von gut erhaltenen Getreidekörnern spricht für einen verkohlten Getreidevorrat. Die zahlenmässig häufigste Getreideart im Fundgut ist die Gerste, das Vorhandensein von «Krümmlingen» spricht für Mehrzeilige Gerste (*Hordeum vulgare*)²¹³. Weiterhin wurden Dinkel (*Triticum spelta*), Roggen (*Secale cereale*), Nacktweizen (*Triticum nudum*), Emmer (*Triticum dicoccon*) und auch Einkorn (*Triticum monococcum*) nachgewiesen²¹⁴.

Gerste wird in der Regel als Sommergetreide angebaut; bei Dinkel, Roggen und Nacktweizen handelt es sich um Wintergetreide. Emmer und Einkorn können als Winterwie auch als Sommerfrucht gepflanzt worden sein. Gerste war – neben Dinkel (und der hier nicht nachgewiesenen Rispenhirse *Panicum miliaceum*) – die wichtigste Getreideart während der Römerzeit. Emmer wird ebenfalls regelmässig, jedoch nur in kleineren Mengen nachgewiesen. Saatweizen scheint lokal (Raum Basel) von Bedeutung gewesen zu sein. Roggen und Einkorn wurden bisher nur selten bestimmt; bei den meisten Funden dieser Arten scheint es sich um Unkräuter zu handeln, die auf den Feldern mit anderen Getreiden wuchsen und geerntet wurden. Von Roggen ist ein Vorratsfund aus Augst bekannt²¹⁵. Bei den nachgewiesenen Haferkörnern und Hafergrannen (*Avena*) handelt es sich wohl um solche von wildem Hafer, da nur Blütenbasen von Flughäfer (*Avena fatua*) bestimmt werden konnten. Nachweise von Saathafer in römischen Fundstellen sind rar, einzig im Gutshof von Neftenbach wurde eine grössere Zahl bestimmt²¹⁶. Die Gartenerbse (*Pisum sativum*) und auch die Walnuss (*Juglans regia*) sind regelmässig verwendete Nahrungspflanzen in der Römerzeit.

Die geringe Zahl an Dreschresten zeigt, dass es sich um gut gereinigte, zum Verzehr bereite Getreidekörner handelt. Darauf deuten auch die Unkrautfunde hin; bei allen Nachweisen handelt es sich um grosssamige bzw. -früchtige Arten, deren Diasporen sich nur schwer entfernen lassen.

Alle Unkräuter und Ruderalpflanzen sprechen für den Anbau von Getreide auf nährstoffhaltigen bis übermässig nährstoffreichen Böden von durchschnittlicher, gleichbleibender Feuchtigkeit und neutraler bis leicht basischer Bodenreaktion²¹⁷. Einzig der Ampferblättrige Knöterich (*Polygonum lapathifolium*) und der Feigenblättrige Gänsefuss (*Chenopodium ficifolium*) kommen auf Böden mit erhöhter Feuchte vor. Derartig tiefgründige, normal durchlässige Böden, die für uneingeschränkte Fruchtfolge bzw. Getreidebau sehr gut geeignet sind, sind in nächster Umgebung der Fundstelle zu finden²¹⁸. In geringer Distanz zur Limmat können diese Böden mehr oder minder stark vom Grundwasser beeinflusst sein und eine erhöhte Bodenfeuchtigkeit aufweisen. Jedoch treten Standorte mit erhöhter Bodenfeuchtigkeit auch sehr lokal und kleinflächig auf, z.B. wegen einer stärkeren Kompaktierung des Bodens. Die Zusammensetzung des Unkrautspektrums spiegelt die lokale Getreideproduktion ausgezeichnet wider.

3.4.18 Phase P6: Letzte Benutzung (1. Hälfte 3. Jh.)

Innenbereich

Im Innern des Gebäudes befinden sich unter dem planierten Ziegelversturz des Gebäudeabgangs (Pos. 390) zwei humose Schichten, die sich nur durch den unterschiedlichen Holzkohlanteil unterscheiden (Pos. 395, 398). Dieser ist bei Pos. 398 deutlich höher. Während sich Pos. 398 nur im Bereich der Abtiefung im Südosten ausdehnt, liegt Pos. 395 im restlichen Innenbereich. Möglicherweise lässt sich diese Trennung durch die bei Phase P4 erwähnte Raumunterteilung erklären. Das Verhältnis der beiden als Benutzungsablagerungen zu interpretierenden Schichten zueinander ist unklar. Gemäss Profil Abb. 47 befindet sich Pos. 398 über Pos. 395. Weil beide Schichten unter der Ziegelplanie Pos. 390 und in verschiedenen Raumteilen liegen, möchten wir sie als zeitgleich ansehen²¹⁹. Während sich die Schicht Pos. 395 nicht genauer als in die 1. Hälfte des 3. Jh. datieren lässt, bietet die Münze des Gordianus III (M35; Tab. 14) einen guten *terminus post quem* für Pos. 398. Stimmt die oben geäusserte Verbindung der beiden Benutzungsschichten, dann ist die letzte Benutzung in Gebäude P im mittleren 3. Jh. anzusetzen.

An die Nordwestmauer des Baus angebaut findet sich die Feuerstelle Pos. 375. Die quadratische, rund 1 × 1 m messende Feuerungsfläche ist aus Hypokaustpfeilerplatten und umgedrehten Leistenziegeln aufgebaut worden und von Bruchsteinen eingefasst. Diese späteste Feuerstelle in Bau P ist in die Benutzungsschicht Pos. 395 eingetieft und wird von der nachrömischen Mischschicht Pos. 198 überlagert – der Ziegelversturz Pos. 390 ist hier nicht zu beob-

achten. Obwohl die Datierung der Struktur nicht gesichert ist, dürfte sie in die letzte Benutzungsphase des Gebäudes gehören.

Aussenbereich

Der in Phase P2 angelegte Kiesplatz Pos. 452 wurde vermutlich um 200 n.Chr. einmal erneuert. Neben Material aus der 1. Hälfte des 2. Jh.²²⁰ enthält der Kies auch relativ viele Funde aus dem späten 2. und der 1. Hälfte des 3. Jh. An charakteristischen Funden sind das Schälchen Drag. 33 (FK 665) sowie der Teller Curle 23 (FK 665) belegt, der seit der Mitte des 2. Jh. verwendet wurde. Hinzu kommen mehrere Fragmente von Glanztonbechern Niederbieber 32 (FK 697), eine helltonige Schüssel mit Überzug und zweifach gerilltem Rand (FK 665)²²¹, eine rätische Reibschüssel (FK 528) sowie ein Kochtopf (FK 697), wie er in Dietikon im 3. Jh. üblich war²²². Die postulierte Erneuerung lässt sich stratigraphisch nicht fassen.

Die über dem erneuerten Kiesplatz anzunehmende Benutzungsschicht ist nicht erhalten, da sie – wie die mit dem Gebäudeabgang in Verbindung stehenden Schichten – später entfernt worden ist (s. unten Phase P7).

3.4.19 Phase P7: Zerstörung (Mitte 3. Jh.)

Innenbereich – Ziegelversturz

Über der spätesten Benutzungsschicht Pos. 395/398 aus dem mittleren 3. Jh. (Phase P5) findet sich der Dachversturz Pos. 390, der aufgrund der Kleinteiligkeit vermutlich ausplanziert worden ist.

Ein grosser Teil der Keramik aus diesem Ziegelversturz weist Brandspuren auf. Ausser den wenigen, nicht genauer datierbaren TS-Fragmenten findet sich etwas Glanztonkeramik: Neben einem Becher Niederbieber 32 (FK 468) auch die WS eines Faltenbeckers (FK 468), die evtl. der Form Niederbieber 33²²³ entspricht. Hinzu kommen ein oder zwei rätische Reibschüsseln (FK 468). An Kochkeramik sind mindestens zwei Teller²²⁴ und je zwei gedrehte²²⁵ bzw. handgemachte Schüsseln belegt, weiter mindestens drei Kochtöpfe der in Dietikon bekannten Form (FK 468, 579), alle noch nicht mit dem verkürzten Hals, wie er nach der Mitte des 3. Jh. üblich war²²⁶. Erwähnt seien ferner zwei Lavegefässe: eine Schüssel, die aussen die üblichen konzentrischen Rillen aufweist²²⁷ (FK 579), sowie ein steilwandiger Topf (FK 469)²²⁸. Bei den Metallfunden sei hier nur auf ein bemerkenswertes Einzelobjekt hingewiesen: eine kleine bronzenen Minervastatue (Abb. 49).

Innenbereich – Steinversturz Pos. 372

Der Rest des Steinversturzes Pos. 372 über den planierten Dachziegeln Pos. 390 ist mindestens teilweise modern



Abb. 49. Gebäude P. Kleine Minervastatue (FK 465) aus dem planierten Ziegelversturz Pos. 390 (Phase P6). Höhe 6,4 cm.

gestört, wie die drei zwischen den Steinen gefundenen glasierten Fragmente zeigen.

Beim Abtragen dieses Versturzes haben wir drei schuppenartig liegende Steinreihen mit einer Ziegellage dazwischen beobachtet (Pos. 393; Abb. 50). Sie liegen leicht schräg in Bezug zu den Gebäudemauern. Da die Steinreihen auf dem Ziegelschutt Pos. 390 aufliegen, gehen wir davon aus, dass es sich um ein verstütztes Mauerstück mit einer Ziegellage handelt.

Aus dem Steinversturz Pos. 372 sind an römischer Keramik neben einigen wenig aussagekräftigen TS-Fragmenten mehrere Glanztonbecher Niederbieber 32 belegt (FK 467, 588), weiter Teile eines Schuppenbeckers und zwei Faltenbecher (FK 467, 588). Zudem sind zwei Kochtöpfe (FK 467, 658) nachgewiesen, beide noch nicht mit verkürztem Hals. Hinzu kommen zwei Teile einer rätischen Reibschüssel (FK 467) sowie drei Bodenfragmente eines Lavekopfs (FK 467).

Das Fehlen von Kochtöpfen mit gedrungenem Hals spricht dafür, dass die Zerstörung des Gebäudes nur wenig nach der Mitte des 3. Jh. erfolgt sein kann. Bei der im Jahr 2000 angelegten kleinen Testfläche konnte OK des kleinteiligen Ziegelversturzes Pos. 13, der unserer Pos. 390 entspricht, eine Münze aus dem mittleren 4. Jh. geborgen werden (M36; Tab. 14)²²⁹. Eine Durchsicht der dazugehörigen Keramik hat allerdings keine weiteren Funde aus dieser Zeit geliefert. Wir vermuten daher, dass die Münze bei einer sporadischen Begehung des Geländes verloren ging



Abb. 50. Gebäude P. Das verstürzte Mauerstück Pos. 393 zum Versturz Pos. 372 (Phase P6). Ansicht aus Nordosten.

und daraus keine Nutzung des Baus bis ins 4. Jh. abgeleitet werden kann (vgl. dazu Kap. V.2.2.2).

Aussenbereich

Die über dem Kieskoffer Pos. 452 (Phasen P2/6) liegende Benutzungsablagerung und die zum Gebäudeabgang gehörigen Schichten sind nicht erhalten (vgl. oben und Tab. 7). Über dem Kies liegen direkt die modernen Deckschichten, die maschinell abgetragen worden sind. Weil die spätesten Schichten im Portikusbereich fehlen, lässt sich der Gebäudeabgang hier nicht fassen. Es ist jedoch zu vermuten, dass der Vorplatzbereich in Analogie zum Innenraum kurz nach der Mitte des 3. Jh. aufgegeben bzw. zerstört wurde.

3.4.20 Der Gebäudezugang

Die genaue Lage und die Breite des Eingangs von Gebäude P können nicht bestimmt werden, da die Erhaltung der Mauer keine Aussage zulässt. Im Bereich des vermuteten Eingangs kann man auf der erhaltenen Mauerkrone die Pfostenstellung Pos. 493 beobachten. Eine Interpretation als Türpfosten ist aber eher auszuschliessen, da dieser ziemlich genau in der Gebäudeachse liegen würde. Dass die Türe nach Nordwesten verschoben ist, kann ausgeschlossen werden, da der Kiesweg Pos. 454/514 (Phase P1) annähernd auf die Gebäudeachse zuläuft²³⁰.

Im südöstlichen Bereich der Mauer sind auf der erhaltenen Mauerkrone ausserdem zwei brandgerötete Flecken festzustellen²³¹. Es ist zu vermuten, dass diese drei Befunde in die Zeit nach der Zerstörung von Gebäude P gehören, als die Mauern bis auf das erwähnte Niveau eingestürzt bzw. abgetragen waren und die Mauerkrone offen lag (vgl. III.2.3.4)²³².

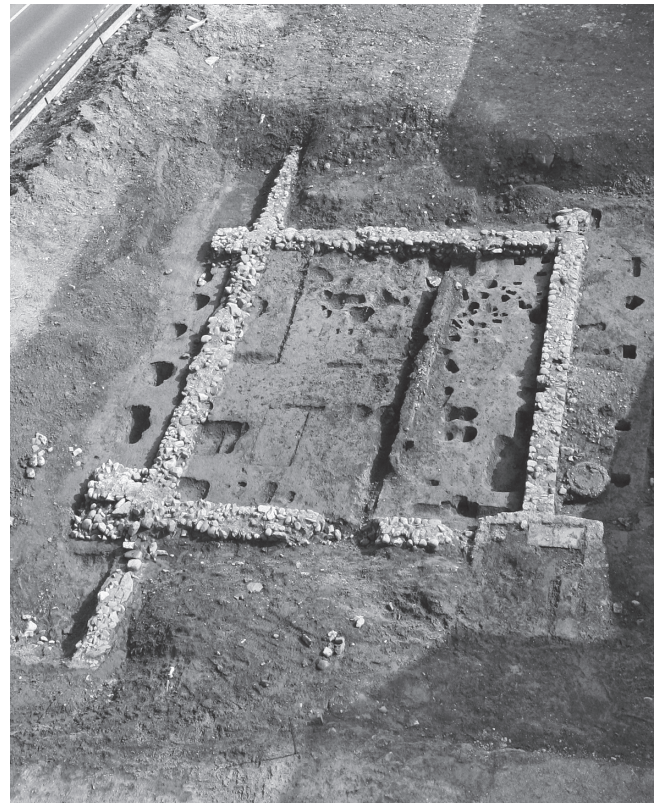


Abb. 51. Gebäude P mit den Eckverstärkungen. Links die Hofmauer Pos. 7. Ansicht aus Westen.

3.4.21 Nicht genauer datierbare bauliche Massnahmen

Massive Pfeiler als Eckverstärkungen

An alle drei erhaltenen Ecken von Bau P sind massive Pfeiler angebaut, die nicht zum ursprünglichen Gebäude gehören (Abb. 42, 51). Der Pfeiler Pos. 364, der bereits im Jahr 2000 aufgedeckt worden ist, misst $1,05 \times 0,95$ m und ist ausserhalb der Hofmauer an die Ostecke angebaut. Sein aus vier Lagen bestehendes, ungemörteltes Fundament reicht tiefer als die Gebäudedecke. Mit etwa $1,15 \times 1,05$ m ist der Anbau Pos. 489 an der Südecke des Gebäudes nur wenig grösser als jener an der Ostecke. Mächtiger ist hingegen der Pfeiler an der Nordecke (Pos. 235), er misst etwa $1,50 \times 1,90$ m. Das Fundament besteht aus drei bis vier Lagen ungemörtelten Bollensteinen.

Wie hoch diese drei Pfeiler ursprünglich waren, lässt sich nicht mehr ermitteln. Gegen eine Deutung als Podest für irgendwelche Aufbauten spricht die Tatsache, dass sich die beiden Pfeiler Pos. 235 und 364 ausserhalb der Hofmauer befinden und damit nicht genutzt werden konnten. Aufgrund der äusserst massiven Bauweise ist eher anzunehmen, dass es sich um Eckverstärkungen handelt, die wegen dem instabilen Untergrund angebracht worden sind. Weil von den aufgehenden Mauern des Baus nur noch eine bis maximal zwei Steinlagen erhalten sind, können Senkungen allerdings kaum belegt werden. Eine auf diesem Niveau

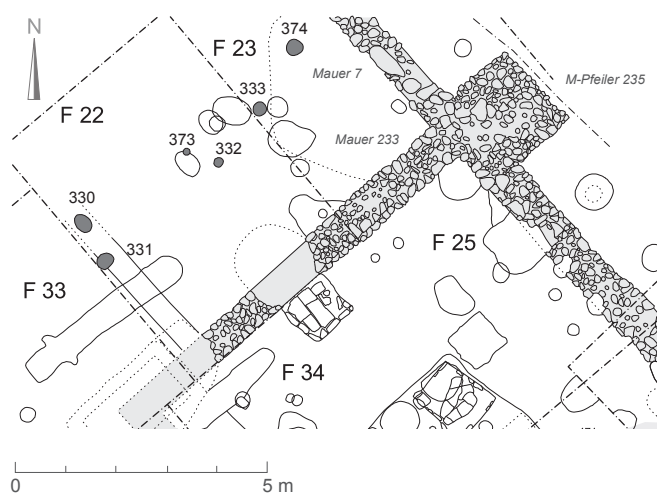


Abb. 52. Die Pfostengruben Pos. 330–333, 373, 374 nordwestlich von Gebäude P. M. 1:150.

nicht nachweisbare Verschiebung von nur 5 Grad würde bei einer angenommenen Gebäudehöhe von 3 m ein Kippen der Mauer um 25 cm bewirkt haben. Während beim Gebäude P selbst also keine Hinweise auf Schichtsenkungen zu erkennen sind, ist beim Bau F in der nördlichen Ecke ein Riss festzustellen (Abb. 114), der auf Senkungen hinweist. Und auch beim Gebäude L konnte Christa Ebnöther einen unstablen Baugrund beobachten, der dort ebenfalls eine Eckverstärkung notwendig machte²³³.

Die Pfostengruben nordwestlich von Gebäude P

Nordwestlich des Gebäudes befinden sich mehrere Pfostengruben, die in die Planie Pos. 44 eingetieft und vom Ziegelversturz Pos. 231 (s. unten) überlagert sind. Von den fünf Pfosten (Pos. 330–333, 373, 374; Abb. 52) liegen drei in einer Flucht parallel zur Gebäudemauer (Pos. 330, 373, 374). Der Abstand zum Gebäude beträgt dabei ca. 3 m, der Abstand der Pfostengruben untereinander 2,6 bzw. 3 m. Die beiden Pfostengruben Pos. 331 und 332 liegen ebenfalls parallel zur Gebäudemauer, allerdings in einem Abstand von rund 2,4 m. Die beiden Pfosten sind ca. 3 m voneinander entfernt. Die beiden Pfostenreihen dürften von seitlichen Anbauten stammen, möglicherweise von einem Laubengang. Die Pfostengrube Pos. 333 lässt sich keiner der beiden genannten Reihen zuordnen und steht isoliert da.

Die sechs Pfostengruben lassen sich nur schwer datieren, da nur deren drei überhaupt Fundmaterial geliefert haben. Aus der Verfüllung von Grube Pos. 333 stammt das Stück einer gesägten Juramarmorplatte (FK 405), die als Keilstein verwendet wurde. Aus Grube Pos. 330 ist ausser zwei helltonigen WS von Gebrauchskeramik nur noch die RS eines Schulterbechers oder -topfs geborgen worden, der grob in die 2. Hälfte des 1. bis ins mittlere 2. Jh. datiert werden kann. Aus der Pfostengrube Pos. 331 stammt



Abb. 54. Der planierte Ziegelversturz Pos. 28 zwischen den Gebäuden F und O (Feld 3). Im Hintergrund die Hofmauer Pos. 7. Ansicht aus Südwesten.

vergleichsweise viel Keramik (FK 434). Neben relativ zahlreichen Funden aus dem 1. und dem frühen 2. Jh. (TS, TS-Imitationen, Grobkeramik etc.) sind zwei Fragmente eines Glanztongefässes mit Barbotineaufgaben zu nennen, was die Pfostengrube frühestens in die zweite Hälfte des 2. Jh. datiert. Wenn die Pfosten Pos. 331 und 332 wie vermutet zusammengehören, stammen demnach beide aus dieser Zeit.

Weil das Material aus der Pfostengrube Pos. 330 älter ist, kann möglicherweise eine Abfolge der Anbauten rekonstruiert werden: Ein erster, nicht genauer datierbarer Anbau (Pfostengruben Pos. 330, 373, 374) wurde nach der Mitte des 2. Jh. erneuert (Pos. 331, 332). Wie eingangs erwähnt, lag über den Pfostengruben der aus unterschiedlich grossen Fragmenten bestehende Ziegelversturz Pos. 231. Es ist nicht ganz klar, ob die Ziegel vom Dach des Gebäudes oder vom seitlichen Anbau stammen.

3.4.22 Das ziegelgedeckte Holzgebäude zwischen den Bauten F und O

Der einräumige Bau (nach der Mitte des 2. Jh.)

Zwischen den Gebäuden F und O lässt sich ein zweiphasiger Holzbau fassen, von dem unter anderem rechtwinklig aufeinander zulaufende Balkengräben erhalten sind (Abb. 53). Dieses Holzgebäude war in der 2. Phase (s. unten) wohl mit Ziegeln gedeckt. Dafür spricht die mehr oder weniger kompakte Ziegelschicht Pos. 28, die insgesamt eine Fläche von über 120 m² einnimmt (Abb. 54) und die erwähnten Strukturen mehrheitlich überdeckt²³⁴. Auch wenn die Ziegel aufgrund der Kleinteiligkeit vermutlich *in situ* befinden, gehen wir davon aus, dass sie sich *in situ* befinden. Dieser zweite Bau ist durch einen Brand zerstört worden, wie die Dachziegel mit Brandspuren, die verbrannten Holzstücke und die Holzkohle unter

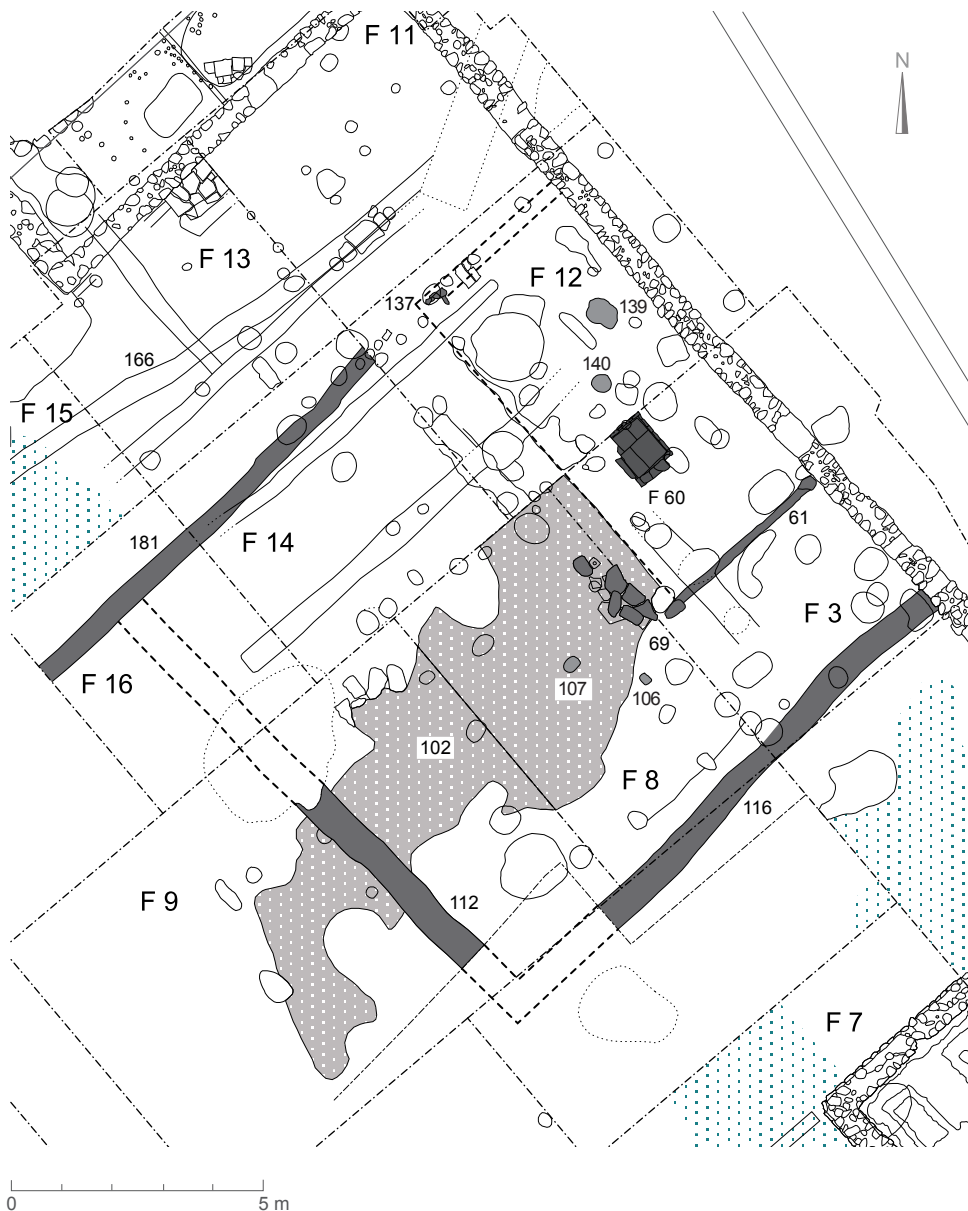


Abb. 53. Der zweiphasige Holzbau zwischen den Gebäuden F und O mit Zugangsweg Pos. 102. M. 1:150.

den Ziegeln zeigen²³⁵. Eine solch grossflächige und dichte Bebauung zwischen den Steingebäuden ist in Dietikon bisher völlig neu.

Der freigelegte Holzbau ist sicher zweiphasig (Abb. 53, 55)²³⁶. Von einem ersten, einräumigen Gebäude, das sich im Nordosten an die Hofmauer anlehnt, lässt sich mit einiger Sicherheit die Südostbegrenzung in Form eines Balkengrabens fassen (Pos. 61; Abb. 53, 55, 56). Die Südwestbegrenzung dieses ersten Baus wurde mehrfach erneuert. Dafür sprechen die übereinanderliegenden Steinplatten Pos. 69 im Bereich der südwestlichen Wand (Abb. 53, 56). Zur Zeit der Zerstörung des Gebäudes lag neben diesen Steinplatten eine Kiesschicht (Pos. 70) mit einer absolut geraden Kante im Nordosten (Abb. 57). Vermutlich wurde der Kies hier von einem Schwellbalken begrenzt, der die Südwestwand des Baus trug (Abb. 55). Die Nordostbe-

grenzung dürfte wie erwähnt aus der Hofmauer bestehen. Die nordwestliche Begrenzung des Baus ist nicht sicher zu fassen, sie liegt aber wahrscheinlich im Bereich der Pfostenstellung Pos. 137 (Abb. 53). Der Raum hätte damit eine Breite von knapp 4 m bei einer Länge von vermutlich etwa 7,5 m.

Im Bereich der erwähnten Steinplatten Pos. 69 lag vermutlich auch der Eingang. Dafür spricht neben den mehrfach erneuerten Platten und dem darauf zuführenden Kiesweg, auf den unten zurückzukommen wird, auch ein neben den Steinplatten gefundener Tuffblock mit Vertiefung²³⁷ (Abb. 58), der vermutlich zur Aufnahme der Türangel diente.

Südwestlich dieses postulierten Eingangs, also ausserhalb des ersten Gebäudes, liegt eine reiche Schichtabfolge vor: Über der in flavischer Zeit eingebrachten Planie Pos.



Abb. 55. Ziegelgedeckter Holzbau zwischen den Gebäuden F und O. Der erste Raum um die Herdstelle Pos. 60. Die rekonstruierten Wände sind grau hinterlegt. M. 1:40.

44 (vgl. Kap. II.3.2) befinden sich einzelne Kieslinsen und flache Steine, die ein erstes Aussenniveau zum erwähnten einräumigen Gebäude bilden (Pos. 128). Darüber folgt eine stellenweise bis zu 10 cm mächtige Schuttschicht aus grösseren Terrazzobrocken (Pos. 97). Diese Planie wird im Zentrum vom Kiesweg Pos. 102 überlagert, der gegen Süden ausläuft und bogenförmig vom Gebäude weggeführt (Abb. 53, 59). Darin eingebettet sind auch die oben erwähnten Sandsteinplatten beim Eingang (Pos. 69). Zoberst, und damit unmittelbar unter dem planierten Ziegelversturz Pos. 28, liegt ein dritter Kies (Pos. 96), der sich durch seinen hohen humosen Anteil vom darunterliegenden Kies Pos. 102 absetzt. Es handelt sich dabei um eine lokale Erneuerung des älteren Kieswegs Pos. 102. Gleichzeitig dürfte beim Eingang auch der bereits erwähnte Kies Pos. 70 eingebracht worden sein.

Wann das erste Holzgebäude errichtet wurde, bleibt leider weitgehend offen. Die Benutzungs-/Brandschicht Pos. 57/78, die wir unten besprechen, gehört jedenfalls

zur zweiten Nutzungsphase des Gebäudes. Die Datierung der ersten Phase muss daher über den Kiesweg Pos. 102 und die darunterliegenden Schichten erfolgen. Dieser auf den ersten Bau zuführende Weg überlagert wie gesagt die Schicht Pos. 128, die das erste Aussenniveau zum Gebäude bildet. Folgende bestimmbar Formen aus dieser Schicht (FK 181) sind zu nennen: die RS eines Tellers Curle 15, die WS einer wohl mittelgalischen Drag. 37-Schüssel, die RS eines Bechers Niederbieber 32 mit Barbotineblättern sowie zwei RS einer steilwandigen Kochschüssel. Der Glanztonbecher dürfte das jüngste Element dieses Ensembles darstellen. Das Aussenniveau zum ersten Holzbau ist wohl nach der Mitte des 2. Jh. zu datieren, möglicherweise auch erst zu Beginn des 3. Jh. Der darüberliegende Kiesweg Pos. 102 kann aufgrund eines Denars von Severus Alexander (M21; Tab. 14) frühestens im 2. Viertel des 3. Jh. angelegt worden sein, sodass eine Nutzung des ersten Gebäudes bis in diese Zeit belegt ist.



Abb. 56. Ziegelgedeckter Holzbau zwischen den Gebäuden F und O. Benutzungsniveau Pos. 57/78 mit Herdstelle Pos. 60. Ansicht aus Südwesten.



Abb. 57. Ziegelgedeckter Holzbau zwischen den Gebäuden F und O. Unten die Herdstelle Pos. 60. Rechts davon die Kante des Kieses Pos. 70 mit dem Auflagestein der Raumecke. Im Hintergrund, in der Flucht des Zeltes, der Balkengraben Pos. 116. Ansicht aus Norden.

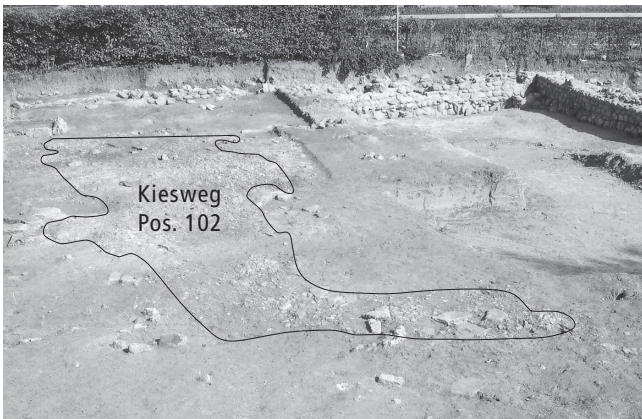


Abb. 59. Der zum älteren Holzgebäude zwischen den Gebäuden F und O führende Kiesweg Pos. 102. Ansicht aus Südwesten.

Der Erweiterungsbau (nach der Mitte des 3. Jh.)

Im mittleren 3. Jh. wurde das erste, einräumige Gebäude deutlich vergrößert und in einen annähernd quadratischen Bau integriert. Von dieser Erweiterung zeugen die beiden Gräben Pos. 112 und Pos. 116 (Abb. 53). Diese als Balkengräben anzusprechenden Strukturen laufen rechtwinklig aufeinander zu – die Ecke selbst ist nicht erhalten. Im Nordosten begrenzt die Hofmauer den Erweiterungsbau (Abb. 53 und 57)²³⁸, womit das neue Gebäude rund 11 m lang war.

Im Osten ist in den Feldern 14 und 16 der Balkengraben Pos. 181 (Abb. 53) festzustellen, der von der stratigraphischen Lage her zu den beiden erwähnten Gräben gehören dürfte²³⁹. Er reicht im Südwesten jedoch über die Flucht von Pos. 112 hinaus²⁴⁰. Daraus ergibt sich eine Gebäudebreite von rund 10 m – der erweiterte Holzbau war damit annähernd quadratisch²⁴¹. Die bei diesen Dimensionen an-

zunehmenden Innenstützen können nicht nachgewiesen werden.

Nordwestlich des Grabens Pos. 181 findet sich ein weiterer Graben, der auf einer Länge von rund 12 m verfolgt werden kann (Pos. 166; Abb. 53). Da ihn jedoch die Kiesplanie Pos. 191 überdeckt, kann er nicht zur gleichen Nutzungsphase gehören und steht damit sicher nicht mit dem Erweiterungsbau in Verbindung.

Die erwähnten Gräben sind alle in die Planie Pos. 44 eingetieft. Der Graben Pos. 112 schneidet zudem den oben erwähnten Kiesweg Pos. 102 (Abb. 53). Weil der Weg aufgrund der oben erwähnten Münze des Severus Alexander (M21; Tab. 14) frühestens im 2. Viertel des 3. Jh. angelegt wurde und über dem Kies Pos. 102 noch eine Wegerneuerung zu erkennen ist (Pos. 96, vgl. oben), ist der Erweiterungsbau erst nach der Mitte des 3. Jh. errichtet worden.

Die Befunde im Innern des zweiten Holzgebäudes

Die einzige Struktur, die zum Zeitpunkt der Zerstörung sicher in Betrieb war, ist die aufwendig angelegte Feuerstelle Pos. 60 (Abb. 53, 55, 60), eine Konstruktion aus Suspensura- und Hypokaustpfeilerplatten mit einer Feuerungsfläche von 0,8 × 0,95 m. Sie ist mit Stücken stehender Suspensurplatten eingefasst sowie mit einer stark brandgeröteten Sandsteinplatte im Südwesten und einem grossen Kalkstein im Südosten. Letzterer überragt die Feuerungsfläche um rund 0,15 m, die übrigen Umfassungssteine und -ziegel um 0,1 m.

Die Grube Pos. 49, der zweite sicher fassbare Befund im Rauminnern, war hingegen vermutlich bereits verfüllt, als das Gebäude durch einen Brand zerstört wurde (Abb. 61). Entlang der Grubenwandung und auf der Sohle dieser Struktur liegen viele Holzkohlestücke; im Süden und vor allem im Südwesten zeigt die Wandung Spuren von Hit-



Abb. 58. Ziegelgedeckter Holzbau zwischen den Gebäuden F und O. Tuffblock mit Vertiefung (Türangel-Stein?) aus dem Bereich des Zugangs im Südwesten (FK 144).

zeewirkung. Die Funktion dieser $0,5 \times 0,75$ m grossen, gut $0,2$ m tiefen Grube kann nicht bestimmt werden. Die Füllung aus kleinteiligen Ziegelstücken²⁴² enthält abgesehen von etwas Metall und kleinen, verbrannten Knochenfragmenten nur noch die mit einem Ratterblech verzierte Wandscherbe eines Glanztonbechers (FK 136) und ist damit frühestens in die 2. Hälfte des 2. Jh. zu datieren. Somit ist durchaus möglich, dass Pos. 49 noch zum ersten Holzgebäude gehört. Die unter dem planierten Ziegelversturz Pos. 28 angetroffenen Pfostengruben Pos. 106, 107, 139 und 140 (Abb. 53) lassen sich hingegen sicher der zweiten Nutzungsphase zuweisen.

Die Benutzungs-/Brandschicht (Pos. 57/78) und der Ziegelversturz Pos. 28

Die Benutzungs-/Brandschicht (Pos. 57/78) ist vor allem in Feld 3 erkennbar²⁴³, wobei zu erwähnen ist, dass sie nordwestlich des Balkengrübchens Pos. 61, d.h. im Bereich des integrierten älteren Baus, deutlich umfangreicher ist als südöstlich davon (Abb. 53, 55)²⁴⁴.



Abb. 60. Die Herdstelle Pos. 60 im ziegelgedeckten Holzgebäude. Aufsicht.

Während der Ausgrabung ist zwischen der Benutzungs-/Brandschicht Pos. 57/78 und dem planierten Ziegelversturz Pos. 28 unterschieden worden. Die Funde aus dem Ziegelversturz zählen sicher zur Benutzungs-/Brandschicht, ist doch das Dach infolge eines Feuers eingestürzt und hat so die Funde der letzten Benutzung unter den Ziegeln konserviert. Es erstaunt daher nicht, dass ein guter Teil der Keramik aus dem Ziegelversturz Brandspuren aufweist. Aus dem Ziegelversturz Pos. 28 selbst konnten relativ viele Funde geborgen werden²⁴⁵. Während der Grabung wurden auch die FK 279 und 281 zum Ziegelversturz Pos. 28 gezählt; wir haben sie nun jedoch ausgeschieden, weil sie im – oder in unmittelbarer Nähe zum – Gebäude O gefunden wurden und daher zum Dachversturz des Steingebäudes gehören.

Weil die Funde der letzten Nutzungsphase einen interessanten und chronologisch gut eingrenzbaaren Komplex bilden, sollen sie im Folgenden etwas detaillierter vorgestellt werden. Die Funktion einer ganz erhaltenen, *in situ* angetroffenen, ebenerdig versenkten TS-Schüssel mit Ratterblechdekor (FK 73; Abb. 55, 62) kann nicht geklärt werden²⁴⁶. Neben dieser Schüssel sind folgende Funde der Benutzungsschicht zuzuweisen: Neben einigen Drag. 37-Schüsseln mit Reliefdekor (FK 142, 148, 187, 231, 256) findet sich ein verwandtes Stück mit Ratterblechband (FK 256). Mehrfach belegt sind Schüsseln Drag. 37 helvetischer Produktion. Bei einer schliesst oben an Stelle des Eierstabs ein Blattstab ab²⁴⁷. Weitere Schüsseln aus helvetischen Werkstätten stammen aus FK 141/142, 231, 236 und wohl auch aus FK 148 und 256.

An TS-Tellern nachgewiesen sind die Formen Drag. 18/31 (FK 99, 142, 148, 256 [2 Expl.]), Drag. 32 (FK 128, 248 [2 Expl.], 184 [3 Expl., eines anpassend an FK 231], 236, 256 [2 Expl.], 257), Curle 23 (FK 187, 231, 256) und Curle 15 (FK 187). Die Schüssel Drag. 38 ist einmal belegt (FK 148). Bei den Schälchen sind die Formen Drag. 40 (FK 187) und Drag. 33 (FK 256) ebenfalls je einmal vertreten.



Abb. 61. Die Feuergrube Pos. 49 im ziegelgedeckten Holzgebäude. Ansicht aus Nordosten.

Bei den TS-Reibschüsseln sind Drag. 43 (FK 256) und Drag. 45 (FK 231) belegt. Hinzukommen zwei Wandfragmente, die nicht genauer zugewiesen werden können (FK 148, 184).

Bei den Glanztongefäßen sind neben einem Becher mit Karniesrand (FK 257) ausschliesslich die Formen Niederbieber 32 (FK 99, 148 [2 Expl.], 231 [2 Expl.], 257) und Niederbieber 33 (FK 142, 148 [2 Expl.], 184 [2 Expl.], 187, 236, 256 [2 Expl.]) belegt, letztere alle grautonig²⁴⁸. Speziell erwähnt seien grautonige RS mit fünf Rillen in Randnähe, die einem Becher Niederbieber 33 zugewiesen werden können (FK 99 – ein zugehöriges Stück aus FK 236) sowie die RS eines Glanztongefäßes mit Ratterblechdekor, bei dem es sich um einen Deckel handeln dürfte (FK 99).

Bei der helltonigen Gebrauchskeramik dominieren Schüsseln mit zweifach, ausnahmsweise dreifach, gerilltem Rand und Überzug im Innern²⁴⁹ (FK 61, 142, 187, 231 [2 Expl.], 236, 256 [3 Expl.]) sowie Teller mit leicht einwärts gebogenem Rand und Überzug im Innern²⁵⁰ (FK 61, 103, 141, 142 [5 Expl.], 148 [3 Expl.], 184, 187, 231, 236, 257). Aufgrund der charakteristischen Henkel gehören wahrscheinlich auch einzelne Honigtöpfe zum Ensemble (FK 61, 184, 187, 236).

Bei der grautonigen Gebrauchskeramik, die gegenüber der helltonigen deutlich seltener vorkommt, sind sowohl geschlossene Gefässe (Tonnen/Flaschen: FK 61, 148, 231,



Abb. 62. Die mit einem Ratterblechband verzierte TS-Schüssel (FK 73) aus der Benutzungsschicht im ziegelgedeckten Holzgebäude (zur Fundlage vgl. Abb. 55).



— 1 cm
— 0

Abb. 63. Kochtopf (FK 184) aus der Benutzungsschicht im ziegelgedeckten Holzgebäude.

326, 256, 257) als auch offene Formen (FK 184, 187, 231, 256) nachgewiesen. Die Reibschüsseln sind bis auf wenige Ausnahmen rätisch (FK 61, 128, 142, 148 [2 Expl.], 184 [mind. 4 Expl.], 231, 256 [2–3 Expl.], 257). Andere Reibschüsseln, oftmals mit schlecht vermengtem Ton («Schlieren»), sind dagegen selten (FK 142, anpassend an FK 184, FK 256, 257).

Bei der Kochkeramik sind Teller (FK 142, 148 [2 Expl.]), Schüsseln (FK 184 [2 Expl.], 187, 231, 236, 257) und Töpfe belegt²⁵¹. Die für Dietikon typischen Kochtöpfe zeigen mehrheitlich einen gelängten Hals ohne massiv gestaltete, plumpe Wandung (FK 231, 236, 256, 257). Andere haben zwar einen gelängten Hals, hingegen eine massive Wandung (FK 256). Ein Exemplar weist den für das spätere 3. Jh. charakteristischen kurzen Hals auf (FK 256)²⁵².

Für die Datierung der letzten Benutzung von Bedeutung ist ein Kochtopf mit trichterförmigem Rand (FK 184; Abb. 63)²⁵³. Aus Dietikon können hierfür einige Parallelen angeführt werden, die in den Details jedoch voneinander abweichen²⁵⁴. Allen diesen Vergleichsstücken ist gemeinsam, dass sie ins 3. Viertel oder gegen das Ende des 3. Jh. gehören. Der Benutzungsschicht lassen sich schliesslich verschiedene kugelige Töpfe mit unterschiedlich gebildetem Trichterrand zuweisen (FK 187 [2 Expl.], 256).

Auffallend ist die relativ hohe Zahl an Lavezgefässen. Belegt sind ein Deckel (FK 61), mehrere Schüsseln (FK 142, 187, 236) sowie ein unbestimmbares Fragment (FK 257).

Neben zwei Schminkepaletten (FK 61, 187) und zwei Spielsteinen (FK 61) sind auch diverse Glasfragmente aus der Benutzungsschicht belegt. Hinzu kommen ein Teil einer Suspensura-Platte (FK 77), einzelne Tubulifragmente (FK 148, 256), mehrere Terrazzomörtel-Brocken (FK 77, 236) sowie einzelne Fragmente von steinernen Verkleidungsplatten (FK 142, 184, 187) und diverse Knochen. Nachgewiesen sind schliesslich verkohlte Fragmente von Geweih und eine verbrannte Holzscheibe (FK 82).

Das Keramikensemble lässt sich insgesamt sehr gut mit Material der 3. Benutzungsschicht in Gebäude A in Dietikon vergleichen, die aufgrund von Münzbeifunden ab dem 3. Viertel des 3. Jh. datiert werden kann²⁵⁵. Christa Ebnöther charakterisierte diese Phase durch einen höheren Anteil an grautonigen Glanztonbechern, das Auftreten offener Schalen in Glanztontechnik und gedrungener Kochtöpfe mit langem Hals²⁵⁶. Die Benutzungsschicht aus dem erweiterten Holzgebäude kann also mit guten Argumenten ins 3. Viertel des 3. Jh. datiert werden. Der Bau fiel demnach bereits rund eine Generation nach seiner Errichtung einem Brand zum Opfer.

Die Metallfunde aus der Nutzungs-/Brandschicht (Pos. 57/78) und dem Ziegelversturz Pos. 28

Aus der durch den Ziegelversturz konservierten Benutzungsschicht stammt neben den oben erwähnten Funden auch ein reiches Ensemble an Metallobjekten (vgl. Tab. 10a–b). Die Bronzebleche mit umgelegtem Rand (FK 233) dürften von einem Gefäss stammen; das gleiche gilt vermutlich auch für die runde, im Zentrum gelochte Scheibe (Gefässfuss?, FK 62). Weiter ist ein sehr dekoratives Schlossblech mit «Vorrizung» belegt (FK 64).

Bei der Bronzenadel mit konisch-rundem Kopf und verziertem Schaft (FK 102) dürfte es sich um eine Haarnadel handeln, was evtl. auch für den Nadelkopf (FK 92) gilt. Zweimal sind Fingerringe belegt, einer aus Bronze, der andere möglicherweise aus Silber. Beim bronzenen Exemplar ist der kleine Stein leider verloren (FK 232), beim anderen die figürlich verzierte Glaspaste erhalten (FK 96). Der gebogene Bronzedraht FK 80 mit teilweise flachem Querschnitt könnte von einem Fibelbügel stammen.

Zu erwähnen ist weiter ein seltener Riemenbeschlag mit scheibenförmigem Oberteil (FK 92; Abb. 64), der

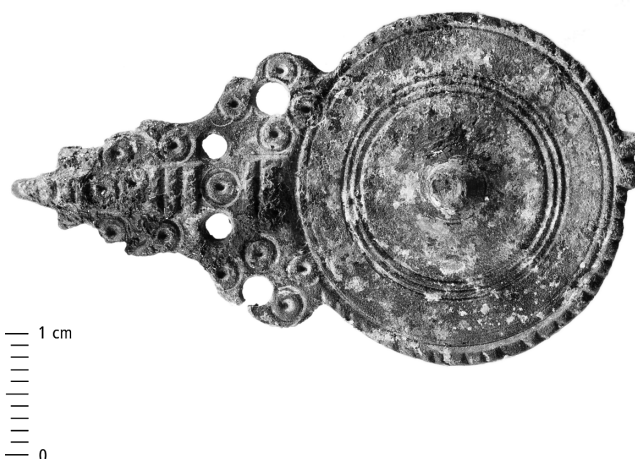


Abb. 64. Riemenbeschlag mit scheibenförmigem Oberteil (FK 92) aus der Benutzungsschicht im ziegelgedeckten Holzgebäude.

zum Zaumzeug gehören dürfte²⁵⁷. Die beiden Zügführungsringe (FK 188, 234) sind Teile von Zuggeschirr, was vermutlich ebenso für die Bronzescheibe mit Eisendorn (FK 237) gilt. Hinzu kommen sehr viele Blechstücke mit Nägeln und Nagellöchern, die als Beschläge angesprochen werden können (FK 61, 91, 92); dazu dürften auch die vielen kleinen Nägel gehören (FK 61, 89, 91, 92). Erwähnt seien schliesslich ein Bronze Griff mit verkohltem Holz (FK 74) sowie diverse Blechteile.

An eisernen Werkzeugen (vgl. Tab. 10b) wurden ein kleiner Hammer (FK 80), ein Tüllenmeissel (FK 235), ein möglicher Ambosseinsatz (FK 61), ein löffelartiges Objekt mit Teilen der Tüllenfassung (FK 64) sowie eine Nadel oder Aale (FK 142) gefunden. Bei den landwirtschaftlichen Geräten sind ein Sichelteil mit Befestigungsnagel (FK 72) sowie zwei nicht näher bestimmbare Wagenbestandteile (FK 187) zu nennen. Folgende Küchengerätschaften sind unter anderem nachgewiesen: eine grosse Schöpfkelle (FK 72), ein tordierter Stab mit gabelförmigem Ende (FK 142), der vermutlich als Kesselfleischhaken zu interpretieren ist, weiter ein Teil einer 8-förmigen Talglampe (FK 187) sowie ein Grillrost oder Topfuntersatz (FK 75). Während Scharniere nur einmal belegt sind (FK 99), kommen Schlossteile mehrfach vor: ein Schiebeschlüssel (FK 71), ein Schlossriegel (FK 186) sowie das zu einer Truhe gehörige Schlossblech (FK 71).

Etwa 1 m von der erwähnten Herdstelle Pos. 60 entfernt ist ausserdem ein grosses Eisendepot aufgedeckt worden, das fast ausschliesslich aus Nägeln, Blechstücken und dergleichen besteht (Abb. 55, Pos. 71)²⁵⁸. Weil die Feuerstelle Pos. 60 und der erwähnte Eisenschrott auf Schmiedetätigkeiten hinwies, ist die Benutzungsschicht Pos. 57/78 aus dem Umfeld der Feuerstelle geschlämmt und das Material auf Hammerschlag hin untersucht worden²⁵⁹. Leider hat man keinen solchen gefunden, bzw. nur geringste Mengen davon, sodass eine Schmiedetätigkeit wohl ausgeschlossen werden kann.

4 Marktplatz, Gebäude E: Ein Wohngebäude?

4.1 Einleitung

Im Zuge der Neugestaltung des Marktplatzes ist unter anderem der bestehende Notausgang der Tiefgarage nach Süden verlegt worden. So hat sich die Möglichkeit geboten, das Mitte der 1980er-Jahre angeschnittene Gebäude E weiter zu verfolgen²⁶⁰. Damals beobachtete man eine rund 25 m lange, parallel zur Hofbegrenzung verlaufende Mauer samt Ansätzen von zwei Quermauern²⁶¹.

Im Vorfeld der archäologischen Untersuchung sind auf dem Marktplatz Bodenradarmessungen durchgeführt und dabei drei mutmasslich römische Mauern identifiziert worden²⁶². Einzelne haben sich bei der anschliessenden Ausgrabung tatsächlich als römische Mauern erwiesen, andere hingegen als moderne Leitungen (Abb. 65).

4.2 Die Schichtabfolge im Überblick

Zu Beginn der archäologischen Untersuchung sind die obersten 0,8 m, ein moderner Kieskoffer, maschinell abgetragen und anschliessend die Befunde in Handarbeit freigelegt worden (Abb. 115).

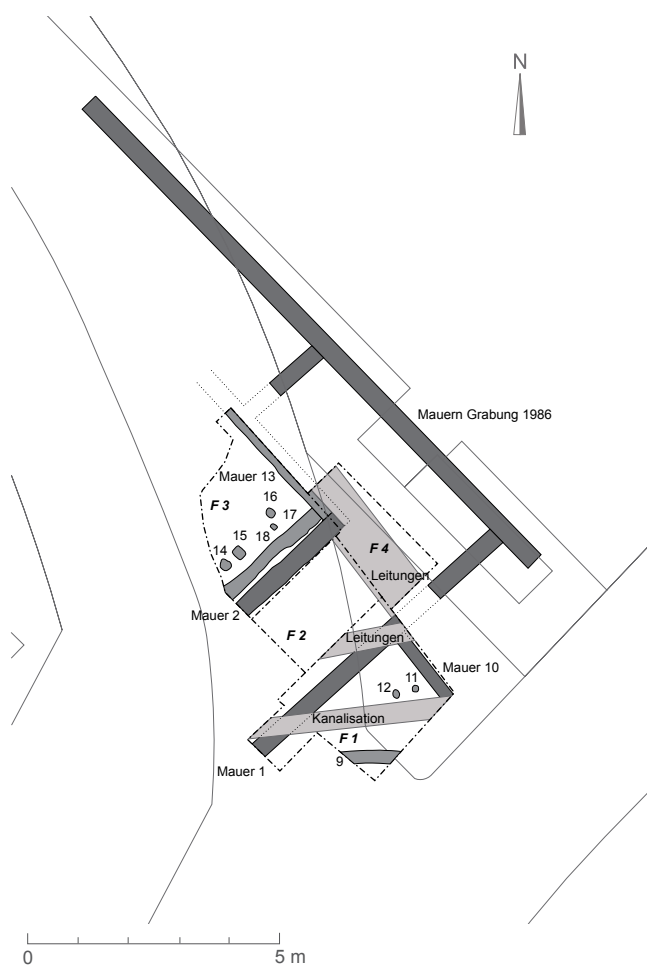


Abb. 65. Gebäude E. Plan. M. 1:150.

Die neuzeitlichen Eingriffe reichen tief hinunter, sodass von den Mauern in der Regel nur die Fundamente erhalten sind. Ganz im Norden der Grabungsfläche können direkt unter dem modernen Bodenbelag drei Steinlagen des aufgehenden Mauerwerks festgestellt werden (Abb. 66). In diesem Bereich ist also eine bessere Erhaltung zu erwarten als in der untersuchten Fläche.

Während die Eingriffe im Bereich zwischen den beiden genannten Mauern (= Feld 2, vgl. Abb. 65) bis in den gewachsenen Boden hinunter reichen, können nordwestlich und südöstlich davon letzte römische Schichtreste beobachtet werden, die jedoch durch spätere Eingriffe ebenfalls gestört sind. Im Nordwesten liegt in Feld 3 unter einer Schicht mit Tuff- und Mörtelstückchen²⁶³ eine Brandschicht mit Holzkohle (Pos. 8). Sie tritt abgesehen von einzelnen Flecken nur in einem parallel zur Mauer verlaufenden Gräbchen in Erscheinung (Abb. 65, Pos. 18; Abb. 66, 115).

Bei den Schichtresten im Südosten in Feld 1 handelt es sich um eine rund 0,25 m dicke, humos-siltige Schicht mit Ziegelstücken (Pos. 3), vermutlich eine modern überprägte römische Planie.

Zwischen dem bestehenden Notausgang der Tiefgarage und der modernen Leitung lässt sich auf einer kleinen Fläche ein intaktes Schichtpaket mit klein fragmentierten Ziegeln und viel Holzkohle beobachten (Pos. 4). Es handelt sich dabei zweifelsfrei um die Fortsetzung der 1986 angetroffenen Brandschicht²⁶⁴. Darin ist eine gut erhaltene Schminkpalette gefunden worden (Abb. 67).

4.3 Das Gebäude E

Die 1986 beobachtete NW-SE-verlaufende Mauer liegt ausserhalb des Grabungsperimeters, ebenso die davon abgehende nordwestliche Quermauer (Abb. 65). Hingegen konnte im Jahr 2004 die Fortsetzung der südwestlichen Quermauer gefasst werden (= Mauer Pos. 1). Sie verläuft nicht schräg, wie bisher angenommen, sondern geht etwa rechtwinklig von der langen Mauer ab. Diese Quermauer erstreckt sich über die gesamte Grabungsfläche: Sie konnte auf einer Länge von ca. 12,5 m (von der 1986 festgestellten Längsmauer aus gemessen) verfolgt werden, bevor sie im Südwesten im Profil verschwindet.

Knapp 4 m nordwestlich der ersten befindet sich parallel dazu eine zweite Mauer (Pos. 2), die im Nordosten eine Ecke bildet und dann nach Nordwesten läuft (Pos. 13; Abb. 65). Davon ist nur die innere Ecke erhalten, die äussere Ecke und die äussere Schale von Mauer Pos. 13 hat der Einbau der modernen Leitung zerstört. Da 1986 an dieser Stelle in der Längsmauer keine Quermauer beobachtet worden ist, nehmen wir an, dass Mauer Pos. 2 nicht über diese Ecke hinausläuft.

Südöstlich der Quermauer Pos. 1 liegt ein nicht ganz rechtwinklig dazu verlaufender Graben, der auf einer Länge von rund 1 m eine kompakte Steinlage enthält (Abb. 65, Pos. 10; Abb. 68)²⁶⁵. Möglicherweise handelt es sich dabei um letzte Reste einer weiteren Mauer. Dieser Bereich



Abb. 66. Gebäude E. Das Mauerfundament Pos. 2, links davon das Gräbchen Pos. 18 mit der Holzkohleschicht Pos. 8. Im Hintergrund das Mauerfundament Pos. 13 mit dem aufgehenden Mauerstück ganz links. Ansicht aus Süden.



Abb. 68. Gebäude E. Das Gräbchen Pos. 18 mit der Holzkohleschicht Pos. 8, dahinter die Mauerfundamente Pos. 2 und 1, links das Fundament Pos. 13. Im Hintergrund die in Blickrichtung verlaufende Steinlage Pos. 10. Ansicht aus Westen.

ist während der Ausgrabung 1986 vorsichtig als «Ausseniveau zum Gebäude» bezeichnet worden²⁶⁶.

Unmittelbar nordwestlich von Mauer Pos. 2 verläuft der bereits erwähnte Graben Pos. 18, der bei Mauer Pos. 13 endet und auf dessen Sohle sich die Reste einer Brandschicht befinden. Ferner sind einzelne Pfostengruben

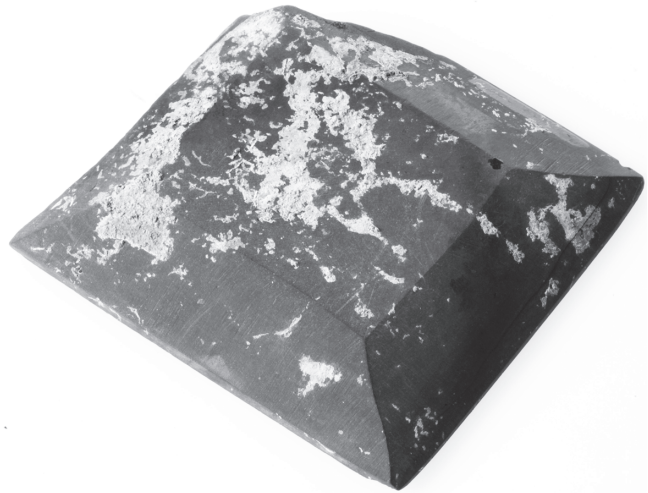


Abb. 67. Gebäude E. Die Schminkpalette (FK 1) aus der Brandschicht Pos. 4.

nordwestlich von Mauer Pos. 2 bzw. südöstlich von Mauer Pos. 1 zu nennen (Abb. 65). Ganz im Südosten liegt ausserdem ein schräg zu den Mauern verlaufender, rund 0,6 m breiter, wenig tiefer Graben (Pos. 9), dessen römische Zeitstellung allerdings nicht gesichert ist²⁶⁷.

4.4 Deutung der Baureste und Datierung

Infolge der tiefgreifenden Störungen und des nur kleinen Grabungsausschnitts ist die Interpretation der Befunde nicht ganz einfach. Dem Gebäude E kam vermutlich eine wichtige Bedeutung am Übergang von der *pars urbana* in die *pars rustica* zu.

Nach den neuen Untersuchungen lässt sich festhalten, dass die Hofmauer, die Christa Ebnöther in der Verlängerung von Gebäude C und D postulierte, hier sicher nicht den vermuteten Verlauf aufweist²⁶⁸. Wir kommen daher zum Schluss, dass die 1986 beobachtete Längsmauer die eigentliche Hofbegrenzung darstellt (Abb. 1,4). Damit muss das mindestens 12,5 m tiefe Gebäude E aussen an die Hofmauer angeschlossen haben.

Bau E setzt sich vermutlich nach Westen fort. Dies zeigen alte Fundmeldungen von Karl Heid, die Christa Ebnöther in ihrer Publikation ausgewertet hat²⁶⁹. Da diese Informationen für das Gesamtverständnis des Gebäudes wichtig sind, seien die Fakten hier nochmals kurz erwähnt. In den 1930er- und 1950er-Jahren fand Karl Heid «unmittelbar westlich» der 1986 beobachteten Mauern römische Fundamente. Auch sei dort eine Brandschicht vorhanden gewesen. In der Dokumentation ist von zwei, in einem Abstand von 3,5 m Nord-Süd-verlaufenden Fundamenten die Rede. Ausserdem wurde festgehalten, dass sich über dieser Zerstörungsschicht «eine Steinlage mit Kalkeinsatz» befand – nach Ebnöther möglicherweise ein Mörtelboden. Auch wenn sich zwischen diesen früher beobachteten Befunden und den 1986 bzw. 2004 freigelegten Mauern

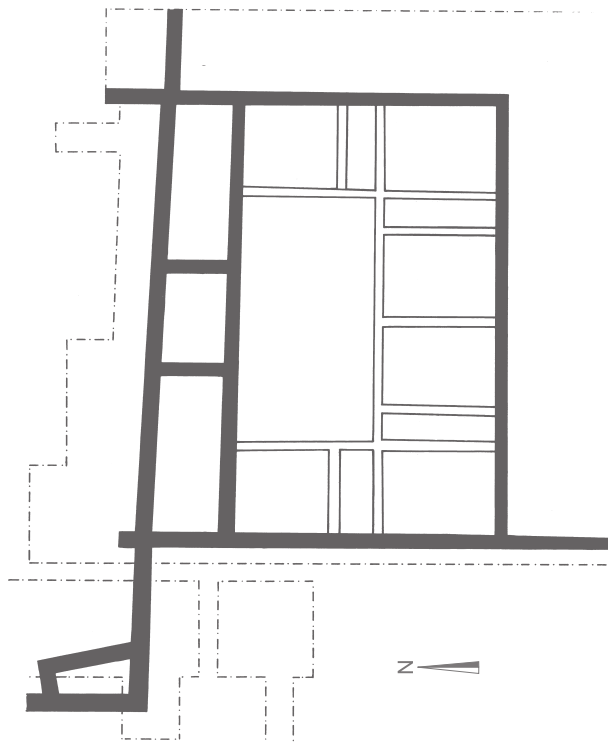


Abb. 69. Neftenbach. Gebäude 24 (Stbll.2). M. 1:400.

kein unmittelbarer Bezug herstellen lässt, ist doch anzunehmen, dass diese Strukturen zusammengehören und einen grösseren Grundriss repräsentieren.

Die Mauern Pos. 2 und 13 dürften einen grösseren Zentralraum umschlossen haben, der aussen von kleineren, etwas über 3,5 m tiefen Räumen umgeben war²⁷⁰. Wenn es sich beim parallel zu Mauer Pos. 2 laufenden Graben Pos. 18 um einen Traufgraben handelt, ist davon auszugehen, dass das Zentrum des Gebäudes nicht überdacht war und sich die postulierten Räume damit um einen offenen Hof gruppierten, eine Anordnung die am ehesten einen Wohnbau vermuten lässt.

Als Parallele zu einem solchen Gebäudekomplex kann Bau 24B in Neftenbach angeführt werden, der ebenfalls am Übergang der *pars urbana* zur *pars rustica* lag (Abb. 69)²⁷¹. Dort befand sich in diesem Bereich ebenfalls ein Rücksprung in der Hofmauer. Das Gebäude lag in Neftenbach allerdings im Innern der Hofbegrenzung, während es in Dietikon nach aussen gerichtet war (Abb. 1,4). Der Rücksprung der Hofmauer, eine Verschmälerung der Anlage also, könnte in Analogie zu Neftenbach darauf hindeuten, dass auch hier der Übergang von *pars urbana* zu *pars rustica* lag, auch wenn dieser nicht aus einer Trennmauer bestand sondern vermutlich aus der Reppisch²⁷².

Da bei der Ausgrabung kaum noch intakte Schichten angetroffen worden sind, ist nur wenig Fundmaterial geborgen worden. Die vereinzelt Funde aus dem 1. Jh. aus der Planie Pos. 3 (FK 2) deuten unserer Ansicht nach darauf hin, dass das Gebäude Teil des «Grundplans» war, der nach der Mitte des 1. Jh. ausgeführt wurde. Dies wider-

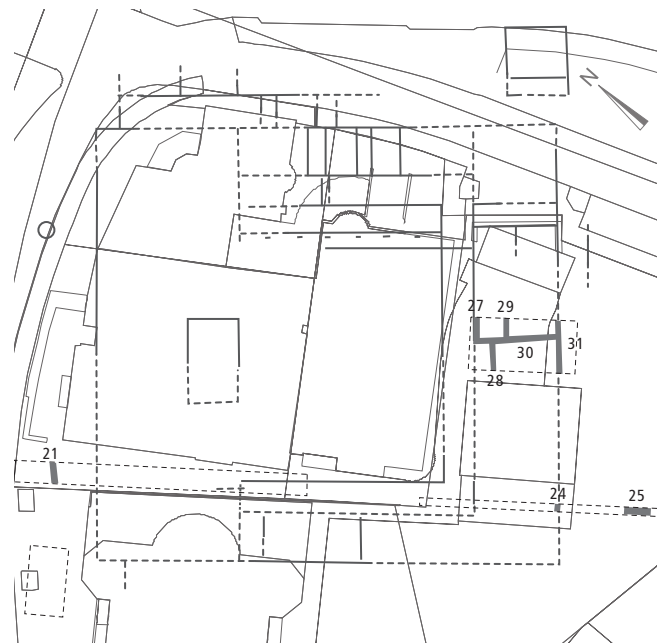


Abb. 70. Dietikon, Kirchgarten St. Agatha. Resultate der Untersuchungen mit dem Georadar (Mauern 21, 24, 25, 27–31), aufgetragen auf dem Plan der Villa (gestrichelt). M. 1:1000.

spricht der Annahme von Christa Ebnöther, die Gebäude E erst im frühen 3. Jh. ansetzte²⁷³.

5 Kirchplatz, Kirchgarten: Das Herrenhaus

5.1 Die geophysikalischen Messungen aus dem Jahr 2004

Im Vorfeld der Neugestaltung des Marktplatzes ist nicht nur dieses Areal sondern auch der Kirchplatz und der Kirchgarten mit Georadarmessungen nach allfälligen römischen Gebäudemauern abgesucht worden. Tatsächlich hat J. Leckebusch einzelne Mauern festgestellt, die römisch sein könnten, da sie sich nahtlos in den Grundriss des Herrenhauses einfügen lassen (Abb. 70): Im Bereich des rückwärtigen Haupttrakts hat er vermutlich die Fortsetzungen der Mauern M 3b und M 4b nach Christa Ebnöther gefasst (Abb. 70, M 27 und 31)²⁷⁴. Hinzu kommt eine Trennmauer (Abb. 70, M 29), die im Gegensatz zum publizierten Plan nicht in der Mitte zwischen den beiden erwähnten Mauern liegt, sondern nach Nordwesten verschoben ist, sodass ein breiterer und ein schmalerer Raum entstehen²⁷⁵. Ob dieser Unterschied auf einem Fehler bei der Einmessung basiert oder den tatsächlichen Sachverhalt wiedergibt, muss unbeantwortet bleiben.

Bei den Georadarmessungen liess sich zudem ein Raumabschluss feststellen (Abb. 70, M 30). Von dort geht eine im Vergleich zu Mauer 27/Ebnöther Mauer M 3b zurückgesetzte Mauer nach Südwesten ab (Abb. 70, M 28). Im

Südwesten ist früher in einem kleinen Schnitt allerdings die Fortsetzung von Mauer M 3b beobachtet worden. Wie die unterschiedlichen Fluchten zu erklären sind, müsste genauer untersucht werden. Die bei den Messungen angezeigte Mauer im Südwesten, nahe der Ecke des Haupttrakts, dürfte hingegen die Fortsetzung von Ebnöthers Mauer M 4b sein (Abb. 70, M 24).

Die durch die Radarmessungen gefassten Mauerstücke M 25 (Abb. 70) südöstlich des Herrenhauses sowie M 21 nordwestlich davon müssten durch Grabungen bestätigt werden. Sie lassen sich nicht direkt in den Plan der Villa einfügen und würden den Grundriss beträchtlich vergrössern.

5.2 Die archäologischen Untersuchungen

Während die Georadarmessungen das Bild des Herrenhauses ergänzten, brachten die Bodeneingriffe keine neuen Erkenntnisse²⁷⁶. Die Erdarbeiten im Bereich des Kirchgartens sind ohne Resultate geblieben, da die Eingriffe zu wenig tief waren, um die archäologische Substanz überhaupt zu tangieren. Von der Erneuerung der Stützmauer hinter der Kirchenapsis entlang des Weges zum Pfarrhaus erhofften wir uns einen durchlaufenden Profilaufschluss. Da unmittelbar hinter dieser Mauer jedoch eine Elektroleitung verlegt worden war und diese bestehen blieb, wurden unsere Hoffnungen leider nicht erfüllt. Römische Schichten konnten auch hier nicht beobachtet werden.

Bereits im Jahr 2002 ist im Kirchgarten eine frühmittelalterliche Bestattung aufgedeckt worden, auf die in Kap. III.2 genauer eingegangen wird.

In Zusammenhang mit der Neugestaltung des Zugangs zum Messeraum und der Einrichtung einer behindertengerechten Toilette auf der Nordwestseite der Kirche sind in der kleinen Fläche nur neuzeitliche Auffüllungen beobachtet worden²⁷⁷.

Im Verlauf der Neugestaltung des Kirchplatzes sind auch diverse Leitungen neu verlegt worden. Leider ist die Kantonsarchäologie darüber nicht genügend gut informiert worden: Bei einem zufälligen Baustellenbesuch musste Rolf Gamper Ende April 2005 einen weitgehend zerstörten Kalkbrennofen feststellen. Der geschätzte Umfang des Ofens misst 2 m. Die nur noch aus zwei Steinlagen bestehende Wandung ist stark brandgerötet. In der Verfüllung der Anlage befindet sich brandgeröteter, verbrannter Lehm. Die Sohle ist hart gebrannt, darunter liegt eine dünne Sandschicht, das Material unter dieser hatte sich schwarz verfärbt. Auf der Sohle und entlang der Wandung ist eine dicke Kalkkruste feststellbar.

Da eine Kiesschicht, die wir als römisch ansehen, unter der Konstruktion durchzieht und vom Ofen noch durch eine schwach humos-tonige Schicht getrennt wird, dürfte die Anlage mittelalterlich sein und möglicherweise zu einem früheren Kirchenbau gehören²⁷⁸.

6 Beobachtungen und Untersuchungen ohne Befunde

Da auch Negativbefunde etwas zum Verständnis der Gutshofanlage beitragen können, seien sie im Folgenden kurz zusammengefasst (Abb. 1,6–11).

Die Untersuchungen an der Austrasse 55–57²⁷⁹ sollten Informationen über die Innenbebauung des Hofareals liefern, wie sie etwa durch die Gebäude H und J belegt ist (Abb. 1,6). Ausserdem befand sich die Grabungsfläche in der Verlängerung des postulierten nördlichen Wegs, der von der Hofmauer im Nordwesten zum Herrenhaus führte²⁸⁰. Wegen der tief greifenden Störungen konnten jedoch keine römischen Befunde beobachtet werden.

Das 2004 überbaute Gelände an der Vorstadtstrasse 17, 19²⁸¹ liegt rund 40 m nordwestlich der postulierten Hofmauer (Abb. 1,7). Weil die Deutung dieser 1933 beobachteten Mauer als Hofbegrenzung nicht vollkommen gesichert ist²⁸², entschlossen wir uns für eine Sondierung. Dabei konnte weder die Hofmauer, noch eine Erschliessungsstrasse oder Gräber aufgedeckt werden.

Auch an der Austrasse/Unteren Reppischstrasse²⁸³ schnitten die Sondierungen keinerlei römischen Befunde an (Abb. 1,8); die vereinzelt angetroffenen römischen Ziegelstücke waren sicher umgelagert. Ohne Resultate blieben auch die Beobachtungen unmittelbar östlich der Reppisch, die das Gutshofareal durchschneidet. Dies gilt sowohl für die 1996²⁸⁴ als auch die 1999 durchgeführten Sondierungen. War man nach den Sondierungen von 1999 an der Unteren Reppischstrasse 7, 9 (Abb. 1,10) noch davon ausgegangen, dass aufgrund von Leistenziegeln und der angetroffenen Kiesschicht, die als Teil einer möglichen Strasse oder eines Platzes interpretiert wurde, in unmittelbarer Nähe ein römisches Gebäude stand²⁸⁵, war nach der Aushubbegleitung im Jahr 2001 klar, dass die Ziegel durch die Reppisch hier an einer Kiesbank abgelagert wurden²⁸⁶. Umgelagert sind auch die vereinzelt an der Unteren Reppischstrasse 17 (Abb. 1,11). Die Reppisch hat offensichtlich die hier vermuteten römischen Befunde komplett aberodiert; verschwemmte Ziegel konnten bis in eine Tiefe von knapp 3 m beobachtet werden!²⁸⁷

III Detailuntersuchungen

1 Die frühen Holzbauten an der Neumattstrasse 11, 13, 15

1.1 Einleitung

Bei den 2004–2006 durchgeführten Ausgrabungen im Bereich der nordöstlichen Hofmauer (Abb. 1,3) sind ausser den erwarteten Steinbauten erstmals in Dietikon grossflächig Holzbaubefunde aufgedeckt worden, die sich wahrscheinlich zwei Phasen zuweisen lassen. Diese Strukturen liegen in einem Areal von knapp 70 m Länge und 20 m Breite, wobei eine Konzentration südöstlich von Gebäude



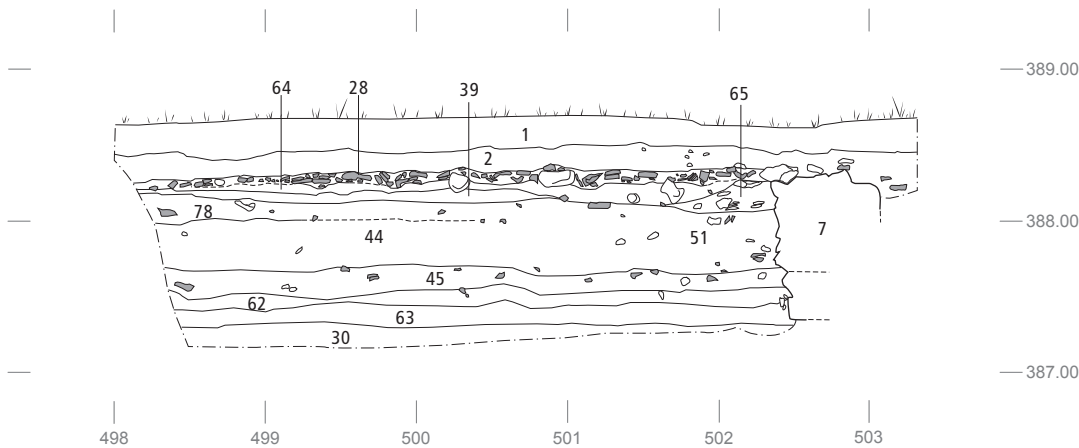


Abb. 72. Neumattstr. 11, 13, 15. Nordwestprofil bei Achse 84.00, Lfm. 498–503 (vgl. Abb. 71). Rechts die Hofmauer Pos. 7. M. 1:50.

O zu beobachten ist (Abb. 71). Gegen Südosten dünnen die Holzbaubefunde deutlich aus. Im Nordwesten laufen sie über die Grabungsfläche hinaus – eine Ausdehnung der Untersuchungen in dieser Richtung ist nicht möglich gewesen, weil die Strukturen ausserhalb des Grabungssperimeters liegen.

1.2 Schichtaufbau

Die Holzbaustrukturen lassen sich stratigraphisch recht einfach isolieren (Abb. 72). Der Schichtaufbau präsentiert sich in der Regel so: Die Holzbaubefunde sind in ein vorrömisches Schwemmsediment (Pos. 30) eingetieft, das einige wenige, möglicherweise bronzezeitliche Funde enthält. Über den Holzbaubefunden, die sich aufgrund ihrer humos-grauen oder grau-siltigen Verfüllung vom Umgebungsmaterial abheben, lässt sich stellenweise eine Benutzungsschicht aus einem grauen, teilweise mit grösseren Holzkohle-Stückchen durchsetzten Silt feststellen (Abb. 72, Pos. 63; Tab. 11a). Von dieser Schicht sind allerdings nur noch einzelne Flecken fassbar. Die Benutzungsschicht Pos. 63 lässt sich vor allem ausserhalb der späteren Steingebäude beobachten, in Resten jedoch auch im Innern von Gebäude O, allerdings nicht als durchgehendes Stratum (Abb. 31, Pos. 221; vgl. oben Kap. II.3.3)²⁸⁸. Wo die Benutzungsschicht fehlt, liegt die Siltschicht Pos. 220 (= Pos. 62) direkt auf dem vorrömischen Schwemmsediment Pos. 30.

Über den Holzbaubefunden und der dazugehörigen Benutzungsschicht befindet sich eine rund 10 cm dicke Schicht aus praktisch sterilem Silt, welche die Befunde der Holzbauperiode von denjenigen der folgenden Steinbauperiode trennt (Pos. 62; Tab. 1). Sind weder Holzbaubefun-

de noch Benutzungsschicht vorhanden, liegt die Siltschicht Pos. 62 direkt auf dem vorrömischen Schwemmsediment Pos. 30, wobei die beiden Straten kaum voneinander zu unterscheiden sind. Weil eine Planie als Vorbereitung für die nachfolgenden Steinbauten keinen Sinn macht, dürfte es sich bei der Siltschicht Pos. 62 um ein Sediment handeln, das hier von der Reppisch im Zuge einer Überschwemmung abgelagert wurde.

In den Feldern 8 und 14 lässt sich stellenweise ein grauer, kiesiger Lehm (Pos. 194) zwischen den Pos. 30 und 62 beobachten, der als natürliches Schwemmsediment anzusprechen ist. In Feld 10 kann ein steriler, sandiger Kies (Pos. 95) zwischen den beiden Straten festgestellt werden. Die beiden Ablagerungen Pos. 95 und 194 sind vermutlich identisch, sodass angenommen werden kann, dass die kiesige Schicht zungenförmig in die Felder 8 und 14 hineinreicht und sich mindestens bis Feld 10 erstreckt, wo sie im Südwestprofil zu beobachten ist. Dort wo der Kies/Lehm Pos. 95/194 auftritt, sind die Holzbaubefunde darin eingetieft und die Oberfläche ist als Gelniveau genutzt worden.

In einzelnen Arealen ist über Pos. 62 eine humos-graue Zwischenschicht von etwa 10 cm Mächtigkeit zu fassen (Abb. 72, Pos. 45; Tab. 2). Sie korrespondiert beim Bau F mit dem Fundamentabsatz von Mauer Pos. 6. Im Vorplatzbereich von Gebäude P, in den Feldern 36, 37 und 38, liegt über Pos. 62 eine mehr oder weniger stark mit Holzkohlestückchen durchsetzte graue Siltschicht (Pos. 455/573, vgl. oben Kap. II.3.2, II.3.4.12). Dieses Stratum ist mit grösster Wahrscheinlichkeit mit der erwähnten Pos. 45 in den Feldern 2 und 3 identisch. Das gleiche gilt auch für die vor dem Gebäude O liegende graue Siltschicht Pos. 618 (Tab. 2).

Bei der grauen Siltschicht Pos. 45/455/573/618 handelt es sich vermutlich um ein Trampelniveau im Zusammenhang mit der Errichtung der Steinbauten²⁸⁹. Die ursprünglich von uns favorisierte Interpretation dieser Schicht als fossilen Humus, der sich nach dem Abgang der Holzgebäude über der Schwemmschicht Pos. 62 bildete, ist aufgrund der kurzen Zeitdauer zwischen dem Abgang der Holzgebäude und der Errichtung der Steinbauten wohl auszuschliessen.

Abb. 71. Neumattstr. 11, 13, 15. Gesamtplan mit allen Holzbaubefunden, hinterlegt mit den späteren Steinbauten. Grau angegeben die Standorte der drei rekonstruierten Pfostenbauten. Der mittlere Pfostenbau wurde vor allem aufgrund der Feuerstelle Pos. 387 ermittelt. M. 1:400.



Abb. 73. Neumattstr. 11, 13, 15. Holzbaubefunde südöstlich von Gebäude O. Rechts das ausgenommene Gräbchen Pos. 276, daneben die Pfostenreihe Pos. 336; im Vordergrund, rechtwinklig dazu, das noch mit grauem Silt verfüllte Gräbchen Pos. 275. Ansicht aus Südwesten.

Über dem sterilen Schwemmsediment Pos. 62, bzw. über der erwähnten Zwischenschicht Pos. 45/455/573/618, liegt eine mächtige Schicht aus grau-gelbem Silt, die unter anderem auch grössere Ziegelstücke enthält (Abb. 72; Pos. 44²⁹⁰). Im Westen der Grabung, in den Feldern 36, 37 und 38, wird diese Schicht als Pos. 532 bezeichnet (vgl. Kap. II.3.4.13), in Feld 40 als Pos. 604 (Tab. 3). Die Genese dieser Schicht war während der Ausgrabung lange Zeit unklar. Die darauf in die Wege geleitete geologisch-bodenkundliche Untersuchung hat ergeben, dass es sich eher um eine Planie als um ein natürliches Schwemmsediment handelt²⁹¹.

Die stellenweise mehr als 40 cm dicke Ausgleichsschicht Pos. 44 schliesst an die Mauern der Steingebäude an und findet sich nur ausserhalb der Bauten. Die Planie ist also offensichtlich erst eingebracht worden, nachdem die Steingebäude errichtet worden waren.

1.3 Die Befunde

Mit Ausnahme von vereinzelt Gruben, zwei Feuerstellen sowie einer Feuergrube handelt es sich bei den angetroffenen Befunden um Pfostengruben und Gräbchen, die wohl als Balkengräbchen anzusprechen sind (Abb. 71, 73, Tab. 11b).

Grundsätzlich beschränken sich die Holzbaubefunde fast ausschliesslich auf den Bereich zwischen der späteren

Hofmauer und den Steingebäuden. Besonders dicht sind die Strukturen südöstlich von Bau O, gegen Gebäude F hin dünner sie deutlich aus. Im Innern von Bau O konnten einige wenige Befunde beobachtet werden, ebenso bei Bau P (Abb. 74–75). Diese Verteilung ist sicher nicht auf eine unterschiedliche Erhaltung zurückzuführen, da die Schwemmschicht Pos. 62 alle Befunde der Holzbauperiode überdeckt und sie damit vor späteren Eingriffen geschützt hat.

Die Holzbaubefunde sind mit grösster Wahrscheinlichkeit zweiphasig, auch wenn sich kaum Überschneidungen fassen lassen. Die einzelnen Pfostengruben in Balkengräbchen²⁹² sprechen eher für eine Mischbauweise denn für Überlagerungen²⁹³.

Aufgrund des Spurenbilds ist davon auszugehen, dass es sich bei diesen Gebäuden um Pfosten- und um Ständerbauten handelt. Auch wenn sich in den zürcherischen Gutshöfen bisher nur in einem einzigen Fall eine Ablösung von Pfostenbauten durch Ständerbauten nachweisen liess (vgl. unten Kap. III.1.8.1), zeigen die Beobachtungen im Vicus *Vitudurum*-Oberwinterthur, dass hier vermutlich eine allgemeine Entwicklung des frühen römischen Holzbaus vorliegt (vgl. Kap. III.1.8.1). Als Arbeitshypothese sei daher in den Raum gestellt, dass auch an der Neumattstrasse 11, 13, 15 die Pfostenbauten älter sind als Ständerbauten. Diese Ablösung lässt sich über das Fundmaterial allerdings nicht bewiesen.

1.3.1 Pfostengruben

Von den rund 80 Pfostengruben können leider nur die wenigsten in einen sinnvollen Zusammenhang gebracht werden. Aus diesen lassen sich einzelne Fluchten eruieren, ganze Gebäudegrundrisse dagegen sind nur ansatzweise rekonstruierbar.

Sicher zusammengehörig ist die Pfostenreihe Pos. 262, 263, 388 und Pos. 380, 508–512, 445²⁹⁴, die ca. 0,8 m ausserhalb der späteren Hofmauer und parallel dazu verläuft (Abb. 74–76). Eine gezielte Untersuchung in diesem Bereich hat keine weiteren Pfosten hervorgebracht, damit ist auszuschliessen, dass diese Pfostenreihe durchläuft und so während der Holzbauperiode allenfalls eine Abgrenzung dargestellt hätte. In der Pfostengrube Pos. 262 ist das Mühlsteinfragment Kat. 43 gefunden worden.

Eine zweite Pfostenreihe liess sich südöstlich von Bau O fassen (Abb. 74; Pos. 336²⁹⁵). Die parallel zur Ostwand des späteren Gebäudes verlaufende Reihe besteht aus fünf Pfostenlöchern mit Durchmesser von 12–15 cm und Abständen von 1,2–1,4 m. Eine weitere, allerdings weniger deutliche Pfostenabfolge lässt sich etwa 8 m südöstlich der eben beschriebenen feststellen²⁹⁶ (Abb. 74).

Abb. 74. Neumattstr. 11, 13, 15. Holzbaubefunde. Detailplan des Südostteils. M. 1: 200.





Die restlichen Sequenzen sind allesamt weniger deutlich fassbar und bestehen teilweise nur aus drei Pfosten. Aus den klar feststellbaren Reihungen und dem «allgemeinen Erscheinungsbild» kann jedoch erschlossen werden, dass die Pfostenbauten gleich orientiert sind wie die späteren Steinbauten.

1.3.2 Gräbchen

Die Gräbchen können fast im gesamten Grabungssperimeter nachgewiesen werden, sie kommen wie die Pfostengruben südöstlich des mittleren Steingebäudes besonders gehäuft vor (Abb. 71; 74–75).

Wie die Pfostenstellungen nehmen auch die Gräben die Orientierung der späteren Steinbauten vorweg. Die Strukturen stehen rechtwinklig zueinander, eine Schnittstelle kann aber nur in einem Fall beobachtet werden (Pos. 275/276; Abb. 73–74, Feld 13). Das Gräbchen Pos. 275 kann – mit Unterbrüchen im Steingebäude O – auf einer Länge von über 17 m verfolgt werden (Abb. 74–75). Sieht man im Gräbchen Pos. 416 in den Feldern 42, 31 und 36 die Fortsetzung von Pos. 275, dann misst die Länge über 34 m. Rechnet man das kurze Stück nordwestlich von Gebäude P auch noch hinzu (Pos. 487; Abb. 75, Feld 22), dann ist das Gräbchen gesamthaft sogar 49 m lang. Ob es sich um ein und dieselbe Struktur handelt, muss aufgrund der Lücken letztlich offen bleiben. Nordwestlich von Gebäude O, in Feld 42, scheint sich allerdings ein Unterbruch abzuzeichnen (Abb. 74–75).

Die einzigen zu Pos. 275/416/487 parallelen Gräbchen sind die Strukturen Pos. 264 und 316 in den Feldern 3 und 12. Bei Pos. 264 sind zwei Gruben in den Graben eingetieft (Abb. 74), möglicherweise Reste einer Gebäudewand in Mischbauweise oder ein Graben mit Pflanzlöchern. Das zweite parallele, nur gut 1 m lange Gräbchen (Pos. 316) liegt zwischen der Feuerstelle Pos. 304 und der späteren Hofmauer.

Die restlichen Gräbchen verlaufen rechtwinklig zu den eben besprochenen und sind SW-NE-orientiert. Vor allem die drei Gräbchen Pos. 276, 283 und 285 östlich und südöstlich von Gebäude O fallen auf (Abb. 73–74): Die maximale Länge dieser Strukturen misst knapp 9 m, der Abstand 2,2–2,3 m. Die Sohle ist entweder flach oder leicht gerundet. Unmittelbar neben der Ostmauer von Gebäude O befindet sich ein kurzes Stück eines dazu parallelen Gräbchens (Pos. 337; Feld 13) rund 0,3 m neben der oben erwähnten Pfostenreihe Pos. 336 (Abb. 74).

Südöstlich von Gebäude P liegt ein Gräbchen, das für die Interpretation der Organisation des Gutshofs während der Holzbauperiode von besonderer Bedeutung ist (Abb. 75, Pos. 359; Felder 24, 27). Die auf einer Länge von ca. 9 m beobachtete Struktur läuft nämlich deutlich über die Flucht der späteren Hofmauer hinaus und verschwindet knapp



Abb. 76. Neumattstr. 11, 13, 15. Pfostenreihe Pos. 508–512 ausserhalb der späteren Hofmauer Pos. 7 (vgl. Abb. 75). Ansicht aus Südosten.

7 m ausserhalb der steingebauten Hofmauer im Grabungsprofil.

1.3.3 Feuerstellen

Neben den diversen Pfostengruben und Gräbchen sind auch zwei Feuerstellen (Pos. 304 und 387; Abb. 71) belegt, die für die Interpretation der Strukturen entscheidende Hinweise geben.

Die Feuerstelle Pos. 387 in Feld 28 liegt nahe der späteren Hofmauer. Sie besteht aus einem Unterbau aus kleinen Kieseln und einer Feuerfläche aus Lehm, von dem rot verbrannte Stückchen erhalten sind.

Die zweite Feuerstelle (Pos. 304; Feld 12) haben wir durchwühlt und zerstört vorgefunden. Sie liegt in einer flachen Mulde von ca. 1,4 m Durchmesser. Auch hier besteht der Unterbau aus Kieseln mit einer Feuerfläche aus Lehm. Die bei dieser Feuerstelle angetroffenen kleinen Ziegelstückchen könnten jedoch darauf hinweisen, dass ursprünglich eine Ziegelunterlage vorhanden war und der Lehm nur als Bettung für die Ziegel diente. Unmittelbar daran schliesst eine zweite flache Mulde an, die möglicherweise auch zur Feuerstelle gehört.

Abb. 75. Neumattstr. 11, 13, 15. Holzbaubefunde. Detailplan des Nordwestteils. M. 1: 200.



Abb. 77. Neumattstr. 11, 13, 15. Feuergrube Pos. 446. Ansicht aus Nordosten.

Aus der Benutzungsschicht Pos. 63 stammt ein Ziegelstück, eventuell von einer Suspensuraplatte, das Brandspuren aufweist und damit ursprünglich mit einer Feuerstelle in Verbindung gestanden haben könnte (Kat. 42, vgl. Taf. 2).

1.3.4 Die Feuergrube Pos. 446 – eine frühromische Struktur?

Ganz im Nordwesten des untersuchten Areals, in den Feldern 22 und 33, befindet sich eine längliche Grube von ca. 3,4 m Länge und 0,5–0,55 m Breite mit einer erhaltenen Tiefe von 0,3–0,35 m. Das hintere Ende ist leicht ausgerundet, die Wandung senkrecht abgestochen (Abb. 75, 77). Es fällt auf, dass die Wandung der Grube stark brandgerötet ist, die Sohle hingegen nicht.

Im südwestlichen Bereich sind zwei einander gegenüberliegende kleine Ausbuchtungen erkennbar²⁹⁷. Die Brandrötung der Wände zieht in diese hinein, sie müssen also zur Anlage gehören. Die Rötung spricht für eine grosse Hitzeentwicklung, weshalb die Ausbuchtungen möglicherweise als Abzugslöcher gedient haben.

Die Struktur ist sicher mehrphasig, wie die übereinanderliegenden Brandrötungen an der Wandung zeigen. Direkt auf der Sohle liegt eine Holzkohleschicht, die am östlichen Ende deutlich dicker ist, darauf liegen kleinere Bollen- und Bruchsteine in 2–3 Lagen (Abb. 78)²⁹⁸. Die Steine sind nicht



Abb. 78. Neumattstr. 11, 13, 15. Schnitt durch die Feuergrube Pos. 446, Südwestprofil. Die Steine im hinteren Bereich sind bereits ausgenommen.

speziell brandgerötet, weisen jedoch weisse Stellen auf, die vermutlich auf Hitzeeinwirkung zurückzuführen sind.

Die in den Boden eingelassene Grube und die in die Glut gelegten, geschichteten Steine waren sicher ein idealer Wärmespeicher. Als Hypothese sei in den Raum gestellt, dass die Konstruktion als Gargrube verwendet wurde. Eine Darre ist hingegen eher auszuschliessen: Wo und in welcher Art und Weise wäre bei dieser Deutung das Gut getrocknet worden? Es ist nämlich anzunehmen, dass – wenn überhaupt – nur die Feuergrube abgedeckt war. Aus dem Fehlen von verbranntem Lehm in der Verfüllung über den Steinen schliessen wir, dass keine feste Kuppel vorhanden war.

Eine römische Datierung der Feuergrube ist anzunehmen, letztlich aber nicht gänzlich gesichert. Die C14-Daten der beiden analysierten Proben liegen in einem Zeitraum, der von der Latènezeit bis in die augusteisch-tiberische Epoche reicht, sie helfen bei der zeitlichen Einordnung also nur bedingt weiter (Abb. 79)²⁹⁹. Immerhin lässt sich festhalten, dass Balkengraben Pos. 487, welcher der römischen Holzbauperiode zuzurechnen ist, die Struktur rechtwinklig schneidet – die Grube muss also älter sein als dieser Graben (Abb. 75). Wenn die Feuergrube tatsächlich in die römische Zeit gehört, wäre sie demnach in Verbindung mit den Pfostenbauten der 1. Holzbauphase zu sehen. Die Form der Anlage kann bei der Datierung leider nicht weiterhelfen, da weder aus der Latène- noch aus der römischen Zeit Parallelen bekannt sind.

1.3.5 Gruben

Die wenigen Grubenbefunde werden im Folgenden nicht weiter besprochen. Es sei einzig auf die Grube Pos. 90 in Feld 6 verwiesen, weil es sich dabei um den südwestlichsten Holzbaubefund in der untersuchten Fläche handelt (Abb. 74).

| Befund | Lab.-Nr. ETH (FK KA ZH) | C14 y BP (Material) | $\delta\text{-C13}$ (‰) | 1 σ (68,2%) Cal | | | Cal 2 σ (95,4%) | | |
|-----------------------|----------------------------|------------------------|-------------------------|--------------------------|--------------|--------------|----------------------------|--------------|-------------|
| | | | | Interval | Relat. p | p in % | Interval | Relat. p | p in % |
| Brandgrube (Pos. 446) | ETH-35818 (527) | 2100±50 (Hk) | -22,5±1,9 | 180–50 BC | 1 | 68,2 | 360–290 BC 230 BC–20 AD | 0,08 0,92 | 7,6 87,8 |
| Brandgrube (Pos. 446) | ETH-35819 (542) | 2155±50 (Hk) | -26,4±1,9 | 360–290 BC 240–110 BC | 0,37 0,63 | 25,4 42,8 | 370–50 BC | 1 | 95,4 |

Abb. 79. Neumattstr. 11, 13, 15. Kalibrierte C14-Daten der beiden Proben aus der Feuergrube Pos. 446.

1.3.6 Deutung der Reste

Trotz relativ vieler Strukturen ist eine Deutung der Befunde im Einzelnen schwierig. Bei der Interpretation kommt den Herdstellen Pos. 304 und 387 eine zentrale Rolle zu. Sie lassen den Schluss zu, dass mindestens ein Teil der Strukturen zu Wohngebäuden gehörte. Die Feuerstelle Pos. 387 in Feld 28 dürfte mit einem Pfostenbau zu verbinden sein, da in ihrer unmittelbaren Umgebung nur Pfostenstellungen belegt sind; diese lassen allerdings keinen kompletten Grundriss erkennen (Abb. 71). Aufgrund der Tatsache, dass die Feuerstelle Pos. 304 in Feld 12 durchwühlt und zerstört angetroffen worden ist, kann wohl geschlossen werden, dass diese ebenfalls zu den Pfostenbauten der 1. Holzbauphase gehört (Abb. 71).

Wie oben angetönt, können kaum Pfostenreihen und schon gar keine kompletten Grundrisse ausgemacht werden. Trotzdem erkennen wir drei Pfostenkonzentrationen, die – in Verbindung mit den beiden Feuerstellen Pos. 304 und 387 – auf drei parallel liegende, etwa gleich grosse Pfostenbauten hindeuten³⁰⁰ (Abb. 71). Die Abstände der so rekonstruierten Grundrisse messen 12 bzw. 14,5 m. Die rekonstruierten Gebäudeflächen umfassen um die 70 m², sie sind also etwas kleiner als die späteren Steinbauten.

Die vermutungsweise der 2. Holzbauphase zugewiesenen Gräbchen sind wohl mehrheitlich als Gräbchen von Schwellbalken zu deuten. Dafür spricht unter anderem die Gruppe der drei in einem Abstand von 2,2–2,3 m verlaufenden Gräbchen Pos. 276, 283 und 285 südöstlich von Gebäude O (Abb. 75; Felder 12–14). Vermutlich trugen die äusseren beiden Schwellbalken die Wände des Raums. Der mittlere Balkengraben dagegen hat kaum einen Schwellbalken für eine Wand aufgenommen, denn bei dieser Deutung wären zwei um 8 m lange, nur gut 2 m breite Räume zu rekonstruieren. Indessen ist es durchaus möglich, dass der mittlere Balkengraben zu einem Balkenunterzug für einen Bretterboden gehört. Der Abstand ist mit über 2 m allerdings sehr gross – meist liegt er deutlich darunter³⁰¹.

Unklar bleibt die Interpretation des Gräbchens Pos. 275, das mit der Verlängerung Pos. 416 und 487 knapp 50 m lang ist. Weil auf dieser Länge – mit Ausnahme von Pos. 359 in den Feldern 24 und 27 – kein Gräbchen von der Struktur abgeht, ist die Interpretation als Balkengraben wenig befriedigend³⁰². In Neftenbach wurden die teilweise über 100 m langen, doppelt geführten Gräben als Pflanzgräben für eine zweifache Hecke gedeutet, die den zwei-

ten holzgebauten Gutshof umschloss³⁰³. Diese Deutung ist für Dietikon auszuschliessen, da das erwähnte Gräbchen beim als Wand interpretierten Gräbchen Pos. 276 ansetzt und mit diesem eine Ecke bildet.

Weil wir in den Gräben keine Steine vorgefunden haben und kaum anzunehmen ist, dass solche entfernt worden sind, folgern wir, dass die Balken ohne Steinschiftung verlegt wurden.

1.4 Die Funde aus der Holzbauperiode

Für eine Grabung in einem römischen Gutshof liefern die Untersuchungen an der Neumattstrasse 11, 13, 15 relativ viele Funde aus der frühen Kaiserzeit. Insgesamt sind etwa 3,8 kg Keramik aus Kontexten der Holzbauperiode geborgen worden (Tab. 12; Taf. 1–2). Leider beschränkt sich die Anzahl der genauer datierbaren Stücke – wie meistens – nur auf wenige Objekte. Da sich das Material aus den Pfostengruben nicht von jenem aus den Balkengräbchen oder aus der Benutzungsschicht Pos. 63 unterscheiden lässt, haben wir darauf verzichtet, die Funde getrennt vorzulegen³⁰⁴.

Bei den Sigillaten lassen sich sowohl italische (Kat. 1³⁰⁵–2) als auch südgallische Produkte (Drag. 24, 27, 29; Kat 3–5) fassen. Bei den TS-Imitationen sind vereinzelt hell- bzw. grautonige Drack 18 und 19 belegt (Kat. 6–8); hinzu kommen vier Teller, ein Schälchen und eine Schüssel (alle ohne Kat.-Nr.). Das kleine Fragment eines feinen Bechers (Kat. 9) dürfte von einem glasierten Gefäss stammen³⁰⁶.

Die helltonige Gebrauchskeramik weist teilweise einen grauen Kern auf³⁰⁷. Der Krug Kat. 14 zeigt einen gerillten Kragenrand. Möglicherweise gehört der helltonige Teller mit Überzug und mandelförmigem Rand Kat. 10 noch in die augusteisch-tiberische Zeit³⁰⁸. In diese Zeit datiert vermutlich auch der roh getöpferte Teller Kat. 19. Die Form lässt sich am ehesten mit Gefässen aus dem augusteischen Töpferofen in *Vindonissa*³⁰⁹ vergleichen. Bei der grautonigen Gebrauchskeramik sind mehrere Töpfe mit horizontalem Kammstrich nachgewiesen (Kat. 24–27)³¹⁰.

Die Grobkeramik ist in der Regel grau oder braun, grob gemagert, vermutlich handgemacht und evtl. überdreht. Die Kochtöpfe zeigen eher Kammstrich als Kammgräbchen. Die Amphorenscherben stammen von vier Individuen, darunter eine Amphore Dressel 20 und eine Fischsaucenamphore von der iberischen Halbinsel (Kat. 35)³¹¹.

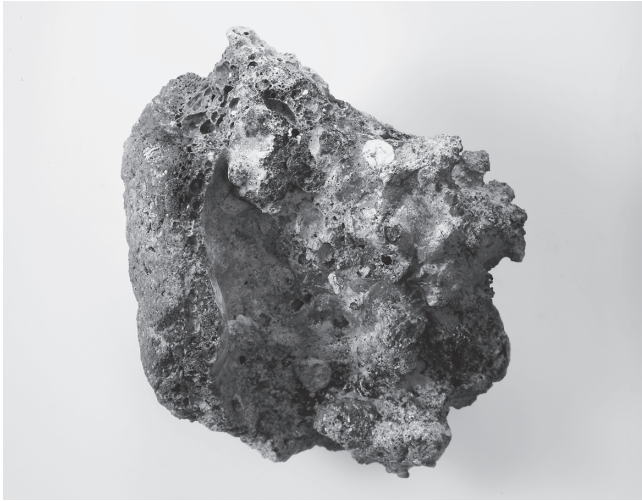


Abb. 80. Neumattstr. 11, 13, 15. Schlackestück mit anhaftender Ofenwand (FK 361).

Interessant ist ein ca. 9 × 11 cm grosses Stück Schlacke mit anhaftender Ofenwand, das aus der Verfüllung des Gräbchens Pos. 283 stammt (Abb. 80, FK 361). Damit lässt sich in diesem Bereich während der Holzbauperiode Handwerk nachweisen – ob Verarbeitung von Bronze, Eisen oder Glas müsste noch genauer untersucht werden.

1.5 Datierung und Folgerungen

Wir stellen fest, dass in den Befunden und Schichten der Holzbauperiode keine neronisch-flavischen oder gar rein flavischen Gefässtypen auftreten. Entscheidend für die Datierung der Holzbauperiode ist die Schüssel Drack 19 (Kat. 7–8), eine Form, die im Allgemeinen ab der claudischen Zeit datiert wird³¹². Die meisten anderen Funde lassen sich ebenfalls diesem Zeitraum zuordnen³¹³. Die Holzbauperiode lief damit bis mindestens in die 40er-Jahre des 1. Jh. Der genaue Endpunkt kann nicht bestimmt werden, den *terminus ante quem* setzt aber die Errichtung der Steinbauten in flavischer Zeit (vgl. Kap. II.3.4). Wie lange die durch das Schwemmsediment Pos. 62 angedeutete Zäsur dauerte, muss weitgehend offenbleiben; ein Siedlungsunterbruch von mehr als ein paar Jahren kann aber mit grösster Sicherheit ausgeschlossen werden³¹⁴. Wir gehen aus diesem Grund davon aus, dass die Holzbauten nicht nur bis in die claudische Zeit bestanden, wie aus dem Fundmaterial zu schliessen wäre, sondern bis weit nach der Mitte des 1. Jh.

Die vereinzelt augusteischen und augusteisch-tiberischen Funde dürften darauf hinweisen, dass die ersten Holzgebäude zu Beginn des 2. Viertels des 1. Jh. errichtet wurden³¹⁵. Wenn wir die für den Vicus *Vitudurum*-Oberwinterthur nachgewiesene – und für die Gutshöfe postulierte – Abfolge von Pfosten- zu Ständerbauten mit dem Fundmaterial von der Neumattstrasse korrelieren, dann sind die ältesten Funde mit den Pfostenbauten zu verbinden³¹⁶.

Die Verteilung der wenigen frühen Funde aus dem 1. Viertel des 1. Jh. lässt kein Muster erkennen: Die Fragmente von italischer Terra Sigillata (Kat. 2 und FK 341 ohne Kat.-Nr.) stammen aus der Benutzungsschicht Pos. 63. Kat. 1 gehört in den Kontext der Feuerstelle Pos. 304, die wir in Zusammenhang mit den Pfostenbauten der 1. Holzbauphase sehen. Der mit einem Überzug versehene Teller Kat. 10 stammt aus dem Graben mit Pos. 264, der vermutlich der 2. Holzbauphase zugehört. Der Teller mit niedrigem Standing Kat. 19 schliesslich kommt aus den Pfosten gruben Pos. 262 und 298 eines Pfostenbaus (vgl. Tab. 11b).

Bereits Christa Ebnöther hat italische Sigillaten (Services I und II) vorgelegt, die immer mit südgallischer Ware vergesellschaftet waren³¹⁷. Sie hält es für möglich, dass diese «frühen Einzelstücke» zu augusteischen Befunden in der *pars urbana* gehörten³¹⁸.

1.6 Die bisher bekannten Holzbaubefunde in Dietikon

Nachdem das Augenmerk bisher vor allem auf den neuen Ausgrabungen an der Neumattstrasse lag, sollen im Folgenden die gewonnenen Resultate in einen grösseren Zusammenhang gestellt und mit den bislang bekannten Befunden in Dietikon verglichen werden. Diese beschränken sich auf die *pars urbana*, die Gebäude C und F sowie einen Graben bei Gebäude K. Hinzu kommt eine Reihe von Einzelfunden, die in die 1. Hälfte des 1. Jh. datieren und die Ausdehnung des holzgebauten Gutshofs andeuten.

Südöstlich der späteren Villa haben wir zwei parallele, 0,7 m breite Fundamente beobachtet (Abb. 81, M 1 und M 2). Auf M 2 liegt gemörteltes, «aufgehendes Mauerwerk» von 0,4 m Breite. An Mauer M 2 stösst die Feuerstelle FST 1, eine verbrannte Siltlinse mit rund 0,3 m Durchmesser. Der Abstand zwischen den beiden Fundamenten misst 3,3 m. Christa Ebnöther interpretierte den dazwischen liegenden Streifen als überdachten Teil, als mögliche Portikus³¹⁹. Aufgrund der Feuerstellen und der angetroffenen Baukeramik vermutete sie, dass es sich dabei um ein Gebäude in Holzbauweise handelte, das jedoch mit Ziegeln gedeckt war³²⁰.

Rechtwinklig zu den beiden Fundamenten verlaufen im Innern des späteren Herrenhauses zwei unterschiedlich breite Gräben (Abb. 81, Graben 1 und 2). Bei beiden ist keine Interpretation möglich. Auffallend ist, dass diese Befunde – wie jene an der Neumattstrasse 11, 13, 15 – die Orientierung des späteren Steinbaus vorwegnehmen; die Ausrichtung der Gebäude stand zum Zeitpunkt des Grabenbaus also offenbar bereits fest³²¹.

Beim benachbarten Gebäude K ist mit Hilfe dreier Sondierschnitte ein 39 m langer, offener Graben aus der 1. Hälfte des 1. Jh. festgestellt worden³²². In der *pars rustica*, unter dem späteren Gebäude C, stand im 2. Viertel des 1. Jh. ein Gebäude von der Grösse des späteren Steinbaus (Abb. 82). Die ungefähren Dimensionen dieses frühen Wohnbaus lassen sich anhand der Ausdehnung der ältesten Benutzungsschicht sowie der Lage der Pfostennega-

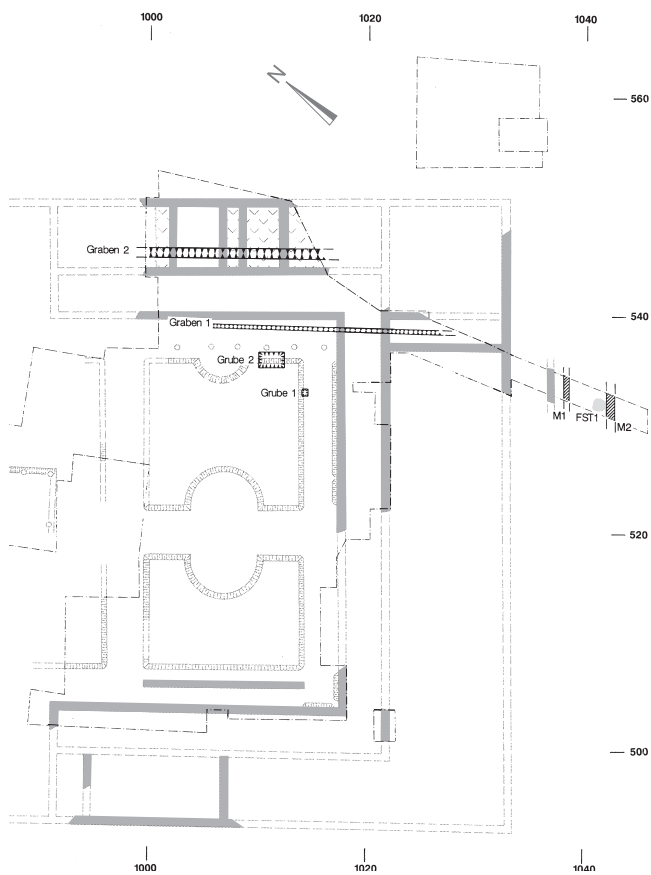


Abb. 81. Dietikon. Pars urbana (Ausschnitt) Holzbaubefunde. Schwarz: Befunde der Phase PU 1/1.1. M. 1:700.

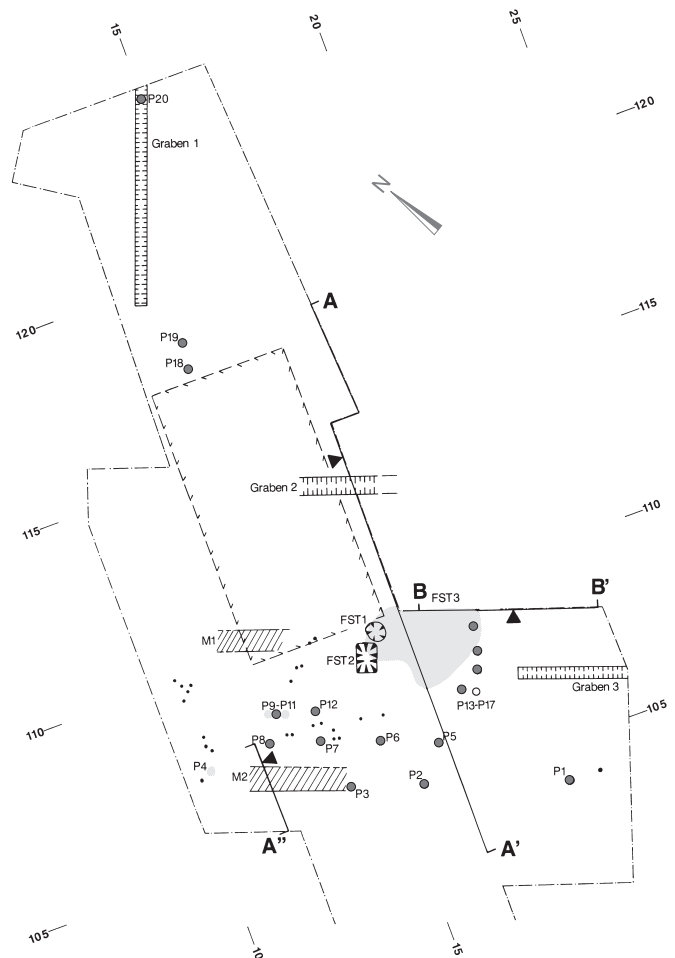


Abb. 82. Dietikon. Pars rustica. Gebäude C. Phasen C 1 (schwarz) und C 2 (grau). M. 1:200.

tive erschliessen. Zum Vorgängerbau gehören aber auch die Fundamentreste M 1 und M 2³²³. Wegen der Lage der Feuerstellen und der Fundamente hat Christa Ebnöther angenommen, dass dieser früheste Bau etwa an der gleichen Stelle stand³²⁴ und gleich gross war wie das nach der Mitte des 1. Jh. errichtete Steingebäude. Aufgrund von sich überlagernden Feuerstellen und Pfostenstellungen hat sie zudem vermutet, dass dieser Vorgängerbau unter dem späteren Gebäude C zwei Phasen aufwies.

In der unmittelbaren Umgebung dieses ersten Gebäudes befinden sich auch die Gräben 1 und 2, die rechtwinklig aufeinander zulaufen (Abb. 82). Christa Ebnöther hat eine Deutung der Gräben als Balkengräben eher ausgeschlossen und stattdessen einen Zaun als Arealbegrenzung postuliert³²⁵.

Bei der teilweisen Freilegung von Gebäude F sind 1986 nur örtlich fassbare Benutzungshorizonte beobachtet worden (Abb. 83, V 0.11). Da keine Strukturen zugewiesen werden konnten, ist Christa Ebnöther davon ausgegangen, dass es sich «um ein «vorsteinbauzeitliches» begangenes Gelände handelt, das kurz ... vor der Errichtung des Gebäudes geplant wurde»³²⁶. Über den genannten Niveaus liegt eine 0,1 bis 0,2 m dicke siltige Schicht. Damit ist dort grundsätzlich der gleiche Schichtaufbau fest-

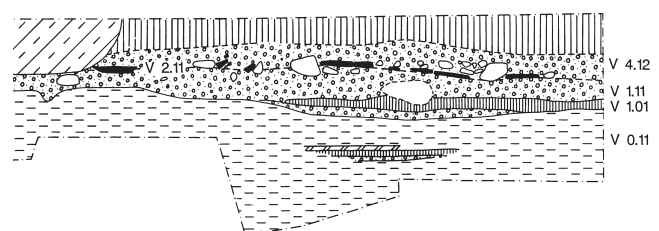


Abb. 83. Dietikon. Pars rustica. Südwestlich von Gebäude F. Südprofil. M. 1:50.

stellbar, wie er auch bei den 2004–2006 durchgeführten Untersuchungen beobachtet worden ist. Wir vermuten, dass es sich bei den erwähnten Benutzungshorizonten beim Gebäude F um die zu den Holzbauten gehörige Benutzungsschicht Pos. 63 handelt³²⁷. Die Gleichsetzung dieser früher erfassten Horizonte mit der Benutzungsschicht Pos. 63 wird durch die annähernd identischen Höhenkoten bestätigt.

Mit dieser knappen Zusammenfassung sind bereits alle bisher bekannten Befunde der Holzbauperiode in Dietikon vorgestellt. Darin zeigt sich, wie fragmentarisch die Holzbaubefunde in Dietikon bisher überliefert worden sind

bzw. wie dicht und weitläufig die Holzbaustrukturen an der Neumattstrasse liegen. Werfen wir im Folgenden einen Blick auf die frühen Holzbaubefunde in den anderen untersuchten Gutshöfen im Kanton Zürich.

1.7 Die holzgebauten Gutshöfe im Kanton Zürich – eine Zusammenfassung des Kenntnisstands

Wie in den anschliessenden Kapiteln gezeigt wird, setzten im Kanton Zürich die Holzbaubefunde in den Gutshöfen fast überall gleichzeitig ein: In Dietikon, Seeb und Neftenbach wurden die frühesten Holzbauten im 2. Viertel des 1. Jh. errichtet. Das gleiche gilt für Buchs, wo in der *pars rustica* kurz nach 20 n.Chr. ein erstes Grabensystem für die Entwässerung des Untergrunds angelegt wurde. Ins 2. Viertel des 1. Jh. dürfte auch der Pfostenbau in Oberweningen gehören. Die frühesten Holzbaubefunde in Wetzikon lassen sich um oder kurz nach der Mitte des 1. Jh. datieren.

Im Gegensatz zum Beginn der Holzbauten verlief die Ablösung durch Steinbauten sicher nicht überall synchron. So lässt sich etwa feststellen, dass in Neftenbach im dritten Viertel des 1. Jh. noch Holzbauten genutzt wurden, während man in Dietikon schon eine Generation früher zum Steinbau übergegangen war. In Wetzikon-Kempton scheint diese Ablösung sogar erst im 2. Jh. stattgefunden zu haben. Wenn wir im Folgenden von «Holzbauperiode» oder «holzgebauten Gutshöfen» und dergleichen sprechen, gilt es, diese zeitliche Bandbreite im Auge zu behalten.

1.7.1 Neftenbach

Die meisten Holzbaubefunde aus dem 1. Jh. lieferte im Kanton Zürich der Gutshof von Neftenbach, wo zwei Holzbauphasen unterschieden werden konnten³²⁸ (Abb. 84–85). Jürg Rychener hat trotz der unterschiedlichen Gestaltung der beiden holzgebauten Anlagen einige Gemeinsamkeiten festgestellt. So hat er die beiden Hauptgebäude – in der 1. Phase ein «Mehrzweckgebäude»³²⁹ (Wohn- und Wirtschaftsteil), in der 2. Phase ein eigentliches Herrenhaus – als «vollentwickelte Fachwerkbauten» charakterisiert. Vor diesen zentralen Gebäuden lag in beiden Phasen ein Kiesplatz. Bei den Nebengebäuden handelt es sich durchgehend um einfache Pfostenbauten³³⁰. Ausserdem gab es in beiden Phasen verschiedene Systeme der Wasserversorgung³³¹. Schliesslich ist festzuhalten, dass auch die weit vom Zentralgebäude entfernten Bauten der Holzbauperiode weitgehend in einem Raster lagen und ihre Ausrichtung von den Steinbauten später übernommen wurde.

Werfen wir einen etwas detaillierteren Blick auf die beiden Phasen in Neftenbach. Das zentrale Gebäude der 1. Holzbauphase, Bau 01A (Abb. 84), wurde in einer «ausgereiften Fachwerktechnik» errichtet. Die Schwellbalken ruhten direkt auf oder etwas im gewachsenen Boden. Die Stützpfeiler der Portikus fussten auf Schwellbalken, die auf Steinreihen auflagen. Die mit Lehm verstrichenen

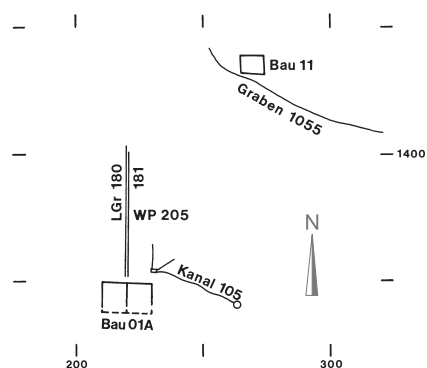


Abb. 84. Neftenbach. Erster holzgebauter Gutshof (30–50 n.Chr.). M. 1:3000.

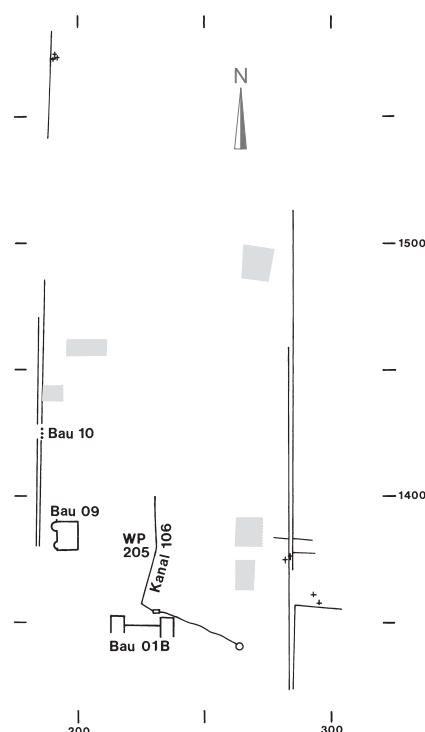


Abb. 85. Neftenbach. Zweiter holzgebauter Gutshof (50–85 n.Chr.). M. 1:3000.

Flechtwände waren verputzt und mindestens teilweise bemalt. Das im 2. Viertel des 1. Jh. errichtete Gebäude bestand aus zwei Räumen und einer L-förmigen Portikus. Weil keine Ziegel gefunden worden sind, ist zu Recht eine Deckung mit Schindeln vermutet worden. Kanal 105 gewährleistete die Wasserversorgung. Vor dem Gebäude befand sich eine mit Kies ausgelegte Fläche (WP 205). Zwei parallele Gräben, die sog. Langgräben 180/181, liefen etwa auf die Mitte des Gebäudes zu.

Nördlich von Bau 01A, in der späteren *pars rustica*, lag Gebäude 11, ein Pfostenbau mit leicht trapezförmigem Grundriss von 10 m Länge und 7,5 bzw. 8,5 m Breite

(Abb. 84). Der aufgrund der Innenpfosten kaum als Gehege zu interpretierende Bau besass Wände aus Fachwerk³³². An einer Stelle konnte der Rest eines Schwellbalkens festgestellt werden, «der zwischen Pfosten eingespannt war» (Graben 11.1). Der Graben 1055, der am Gebäude vorbei lief und darauf Rücksicht nahm, wurde als Rest einer gebogenen Teuchelleitung interpretiert (Abb. 84).

In der 2. Holzbauphase, die um 50 n.Chr. einsetzte und bis in die 80er-Jahre dauerte, kam eine Umfriedung der Anlage hinzu (Abb. 85). Sie bestand aus einer doppelt geführten Hecke, die ein Areal von mind. 262 × 102 m umschloss. Diese Einfassung war damit nur wenig kleiner als die spätere Begrenzung aus Stein.

Das Zentralgebäude, das Herrenhaus, wurde in der 2. Phase neu errichtet und bestand für die folgenden 30 Jahre aus einem Mitteltrakt mit seitlichen Risaliten (Abb. 85, Bau 01B). Die Bautechnik veränderte sich gegenüber dem Vorgängerbau nicht grundsätzlich. Es handelte sich wiederum um einen Fachwerkbau, dessen Schwellbalken teilweise direkt im Boden, teils auf Steinschiftungen, teils auf Fundamenten aus gemörtelten Steinen ruhten. Die Ostwand des Westrisaliten (HW 01B.6) fusste auf einem Unterbau aus Ziegeln³³³. Diese Fundamente wurden nur zum Ausnivellieren des Terrains verwendet und sind für J. Rychener kein Anzeichen einer Änderung der Bautechnik³³⁴.

Die Innenräume des Herrenhauses verfügten in der 2. Phase teilweise über Mörtelböden. Die Wände waren verputzt und zum Teil bemalt. Ob das Gebäude mit Ziegeln gedeckt war, liess sich nicht ermitteln. Der Zugang zum Herrenhaus erfolgte über einen breiten Kiesweg, unter dem Wasserleitungen aus Teucheln verliefen.

Während das Herrenhaus auch in der 2. Holzbauphase als Fachwerkbau errichtet wurde, entstand mit dem Badegebäude (Bau 09) der erste Steinbau³³⁵. Dessen Mauern ruhten auf einem Bollenstein-Fundament. Im Innern wurden die Räume mit Mörtelböden ausgestattet, ausgenommen Raum 09.3, dessen Boden aus einer Siltschicht bestand, die jedoch im Zuge einer späteren Umgestaltung einen Mörtelboden ersetzt haben könnte. Der Grund dafür, dass gerade das Badegebäude und nicht etwa das Herrenhaus als erster Bau aus Stein errichtet wurde, liegt wohl darin, dass hier infolge der Brandgefahr ein Steinbau als nötig erachtet wurde³³⁶.

Nördlich des Herrenhauses, teilweise im Bereich der späteren *pars rustica*, liessen sich in der 2. Holzbauphase verschiedene mögliche Gebäude in Pfostenbauweise ausmachen. Teilweise unter dem späteren, aus Stein errichteten Bau 25 liegend fand sich innerhalb der oben angesprochenen Pflanzgräben eine grosse Anzahl von Pfostenstellungen, die – in Verbindung mit einer Herdstelle – auf Gebäude schliessen lassen. Obwohl mehrere Reihen fassbar waren, liessen sich keine ganzen Grundrisse rekonstruieren. Aufgrund der Verteilung der Pfosten könnte es sich aber um zwei Gebäude gehandelt haben (Abb. 85)³³⁷.

Weiter im Norden, unmittelbar westlich des späteren Steinbaus 62, fand sich eine weitere Pfostenkonzentration, sodass hier wohl auch ein Gebäude stand – es war

das nördlichste des gesamten holzgebauten Gutshofs³³⁸. Östlich der späteren Steinbauten 42 und 45 liessen sich schliesslich eine Pfostenkonzentration sowie vereinzelte Gräben und Gruben beobachten, die von einem oder mehreren – gleichzeitig oder nacheinander errichteten – Gebäuden stammten³³⁹.

Es fällt auf, dass in Neftenbach kaum frühe Balkengräbchen festgestellt wurden. Vermutlich wurden hier die Pfostenbauten direkt von den Steingebäuden abgelöst; darauf wird in Kap. III.1.8.1 zurückzukommen sein.

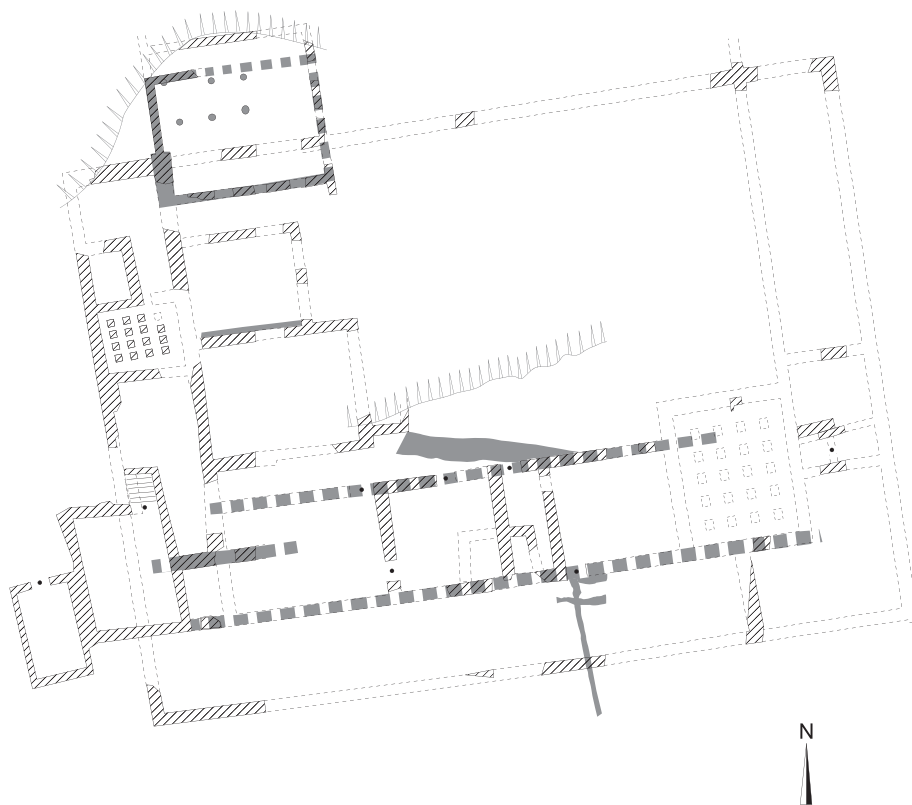
1.7.2 Buchs

Im Gutshof von Buchs konnten südlich der Portikusvilla (Gebäude A) mehrere Mauerzüge und Mörtelböden eines Gebäudes aus der Mitte des 1. Jh. gefasst werden³⁴⁰. Aufgrund der vorhandenen Dokumentation kann nicht mehr schlüssig entschieden werden, ob es sich dabei um ein Holzgebäude oder aber um die Reste eines weitgehend abgetragenen Steinbaus handelte.

Beat Horisberger hat postuliert, dass sich die gefassten Räume auf drei Seiten um einen Innenhof gruppierten. Es fällt auf, dass die Mauerkronen dieses Baus bei der Auffindung in der Regel alle auf dem Niveau der Mörtelböden lagen³⁴¹. Der Bearbeiter vermutet, dass die Mauern vor dem Bau der Portikusvilla im späteren 1. Jh. bis auf diese Kote abgetragen wurden. Er schliesst aber auch nicht aus, dass auf diesem Niveau die Schwellbalken eines Ständerbaus auflagen. Dafür könnte sprechen, dass die Kronen der Mauern um die Räume 41 und 42 eine «glatte Mörtelschicht» aufwiesen. Die These eines auf Mauersockeln ruhenden Fachwerkbaus wird durch den «hohen Tonanteil im Mörtel der claudischen Wandmalerei» gestützt³⁴². Ein Fachwerkbau kann also mindestens wahrscheinlich gemacht werden.

Stimmt diese These, haben wir ein kurz vor oder um die Mitte des 1. Jh. errichtetes Gebäude vor uns, dessen Schwellbalken auf gemörtelten Sockeln ruhten. Die Wände waren verputzt und mit Wandmalereien versehen³⁴³. Wie erwähnt, ist aber ein früher Steinbau nicht gänzlich auszuschliessen. Hierzu muss allerdings gesagt werden, dass mit einer Datierung um die Mitte des 1. Jh. ein ausserordentlich früher Steinbau vorliegen würde. Die Lage unter der späteren Portikusvilla, der Bautypus und die Ausstattung deuten darauf hin, dass es sich bei diesem Gebäude um ein repräsentatives Wohnhaus handelte.

Etwa eine Generation älter ist ein als Speicher gedeuteter Sechspfostenbau im Wirtschaftsteil der Gutshofanlage. Dieser Pfostenbau wurde in den späten 60er-Jahren des 1. Jh. durch einen Steinbau (Gebäude K) ersetzt³⁴⁴. Da jener den gleichen Standort aufwies wie der spätere Speicherbau, wurde vermutet, dass die Baulinien und die Standorte der wichtigsten Infrastrukturbauten bereits in dieser Zeit festgelegt waren. Östlich und südlich des Speicherbaus sind diverse Graben- und Kanalsysteme belegt, die der Entwässerung des Geländes dienten und deren früheste kurz nach 20 n.Chr. errichtet wurden³⁴⁵.



Legende

■ Holzbauphase (2. Hälfte 1. Jh. n. Chr.)

Abb. 86. Wetzikon-Kempton. Hauptgebäude. Dunkelgrau die zur Holzbauphase gezählten Strukturen.

1.7.3 Übrige Gutshöfe

Hinweise auf Holzbaubefunde aus dem 1. Jh. sind in anderen zürcherischen Gutshöfen im Vergleich mit Dietikon, Neftenbach und Buchs spärlich. In Seeb wurde von der ersten Bauphase, die Walter Drack spätestens ab 30 n. Chr. angesetzt hat, nur das Mauerstück M 1 im Bereich des späteren Westflügels gefasst. Hinzu kommt eine auf dem natürlichen Boden liegende Brandschicht. Darin fanden sich «Lehmbröckchen mit Ruteneindrücken». Dies lässt auf einen Fachwerkbau schliessen, der möglicherweise auf dem erwähnten Mauerstück auflag³⁴⁶. Dieses erste Gebäude wurde um die Mitte des 1. Jh. durch einen Steinbau ersetzt.

Vermutlich gleichzeitig mit dem Holzbau in Seeb ist in Oberwenigen die 1. Holzbauphase zu datieren³⁴⁷. Der zu dieser Phase gehörige Pfostenbau wurde um 20/30 n. Chr. errichtet. Dieses erste Gebäude wurde zu einem nicht genauer bestimmbareren Zeitpunkt von einem Ständerbau abgelöst, der um 75/85 n. Chr. durch einen Brand zerstört und von einer Planie überdeckt wurde. Darüber wurde ein quadratischer Pfostenbau errichtet, der sich nicht genauer datieren liess.

In Wetzikon sind im Bereich des steinernen Hauptgebäudes mehrere Holzbaubefunde aus dem 1. und frühen 2. Jh. nachgewiesen³⁴⁸. Florian Hoek hat eine Auswertung begonnen und einen auf diesen Vorarbeiten beruhenden Plan 2007 publiziert (Abb. 86)³⁴⁹. Eine Aufarbeitung des

Fundplatzes ist zurzeit im Gang; es kann allerdings schon jetzt gesagt werden, dass sich ein vom publizierten Plan etwas abweichendes Bild abzeichnet.

Im Südtrakt des späteren Steinbaus von Wetzikon konnte neben diversen Pfostengruben, die sich leider zu keinem sinnvollen Grundriss zusammenführen lassen, nur noch ein einzelner Balkengraben gefasst werden. Im späteren Westtrakt waren hingegen zwei Holzbauphasen zu ermitteln. Es dürfte sich dabei um ein zweiräumiges (1. Phase) bzw. ein dreiräumiges (2. Phase) Gebäude gehandelt haben. In beiden Phasen ruhte der hölzerne Aufbau (Ständerbau) auf niedrigen, ungemörtelten Steinsokkeln. Während das Gelniveau in der 1. Phase aus dem gewachsenen Boden bestand, wurden in der 2. Phase Lehm Böden mit Steinrollierungen eingebaut. Einzelne Wände waren verputzt und bemalt.

Weil die Funde aus der Holzbauperiode noch nicht detailliert ausgewertet sind, muss die Datierung noch als vorläufig gelten. Es scheint sich aber abzuzeichnen, dass der erste Ständerbau nach der Mitte des 1. Jh. errichtet wurde und die 2. Phase in flavische Zeit gehört. Bemerkenswert ist einerseits, dass die Ständerbauten in Wetzikon vermutlich bis ins 2. Jh. hinein verwendet wurden, andererseits, dass während der 1. Steinbauphase einzelne Räume weiterhin niedrige Steinsokkel mit hölzernen Aufbauten aufwiesen.

Wie die erwähnten Pfostengruben und der Balkengraben zeitlich zu diesen Befunden stehen, muss unbeantwortet bleiben. Den einzigen Hinweis auf deren Datierung

bietet die RS eines südgallischen Drag. 18-Tellers aus der Verfüllung des Balkengrabens. Dieser Einzelfund führte zur Annahme, dass der zugehörige Holzbau um die Mitte des 1. Jh. errichtet wurde³⁵⁰.

In den Jahren 2005/2006 konnten an der Kindergartenstrasse in Wetzikon, rund 50 m östlich des Hauptgebäudes³⁵¹, zwei «vor-steinbauzeitliche» Schichten beobachtet werden, die sich um die Mitte des 1. Jh. datieren lassen. Darin eingetieft waren verschiedene Pfostringruben, die allerdings keinen zusammenhängenden Grundriss bildeten. Ines Winet hält es für möglich, dass diese Befunde zu einer Holzbauperiode gehören, schliesst allerdings auch nicht aus, dass sie dem nachfolgenden Steinbau zuzuordnen sind³⁵².

1.8 Fazit zur Holzbautechnik in den Gutshöfen

1.8.1 Pfostring- und Ständerbau

Pfostringbauten sind in den holzgebauten Gutshöfen von Dietikon, Neftenbach, Buchs, Oberwenigen und Wetzikon belegt (vgl. Kap. III.1.6, III.1.7). Balkengrübchen von Ständerbauten kennen wir vorwiegend aus Dietikon, weiter aus Oberwenigen, Neftenbach und Wetzikon. Gebäude sowohl in Pfostring- als auch Ständerbautechnik sind bisher nur in Dietikon (Neumattstr. 11, 13, 15) und Oberwenigen sicher nachgewiesen³⁵³.

Im Vicus *Vitudurum*-Oberwinterthur – und dort insbesondere im Unteren Bühl, das vor wenigen Jahren detailliert vorgelegt worden ist³⁵⁴ – kann die Entwicklung des frühen römischen Holzbaus exemplarisch aufgezeigt werden. Dort lassen sich drei Konstruktionsweisen nachweisen: Pfostringbau, Ständerbau sowie Mischbauweise. Die Entwicklung lief dabei vom Pfostringbau über den Mischbau zum reinen Ständerbau. Seit dem Siedlungsbeginn in *Vitudurum*-Oberwinterthur, wenige Jahre nach Christi Geburt, kamen Pfostringbauten zur Ausführung. Ab dem 2. Viertel des 1. Jh. dominierte die Mischbauweise; die ersten reinen Ständerbauten setzten um die Mitte des 1. Jh. ein. Die Balken der Gebäudewände wurden anfangs ebenerdig verlegt oder wenig in den Untergrund eingetieft; stellenweise schiftete man sie mit Holzabschnitten und einzelnen Steinen. Später wurden die Schwellbalken auf einfache Steinfundamente oder versetzt angeordnete Steinbrocken gelegt. Massive, trocken gemauerte Steinreihen oder Sockelmauern verlegte man bis ins spätere 1. Jh. nur ausnahmsweise.

Der Übergang vom Pfostring- zum Ständerbau lässt sich nicht nur in *Vitudurum*-Oberwinterthur beobachten, sondern auch in anderen Siedlungen³⁵⁵. Es ist daher anzunehmen, dass sich diese technologische Entwicklung auch in den Gutshöfen abspielte³⁵⁶. Eine Abfolge der beiden Bautechniken lässt sich bei den zürcherischen Gutshöfen bisher aber erst in Oberwenigen nachweisen (vgl. Kap. III.1.7.3).

Die Tatsache, dass in Neftenbach um und nach der Mitte des 1. Jh. ausser einer «ausgereiften Fachwerktech-

nik» beim Zentralgebäude auch Pfostringbauten auftreten, scheint der These einer Entwicklung auf den ersten Blick zu widersprechen. Dem ist aber entgegenzuhalten, dass bei den Gutshöfen – wie bei den dorfähnlichen und kleinstädtischen Siedlungen³⁵⁷ – davon auszugehen ist, dass sich die technologische Entwicklung vom Pfostring- zum Ständerbau nicht überall gleichzeitig vollzog. Dies würde folglich bedeuten, dass die «Zwischenstufe» mit Ständerbauten in Neftenbach «ausgelassen» wurde und die Pfostringbauten direkt durch die Steingebäude ersetzt wurden. Genau hier liegt der Unterschied zu Dietikon: Während an der Neumattstrasse 11, 13, 15 in der Holzbauperiode sowohl Pfostring- als auch Ständerbauten nachgewiesen sind, fanden sich in Neftenbach bis zur Errichtung der Steinbauten nur Pfostringbauten, komplette Ständerbauten dagegen nicht. Das gleiche gilt für den Speicherbau in Buchs³⁵⁸.

1.8.2 Ausstattung

Wände

In Dietikon bestehen die Wände der Pfostring- und Ständerbauten vermutlich ausschliesslich aus Lehmflechtwerk. Daneben sind auch Mauerfundamente nachgewiesen und zwar sowohl in der *pars urbana* als auch beim Gebäude C. Die zugehörigen Bauten sind hypothetisch als Schwellenbauten auf Steinfundamenten rekonstruiert worden³⁵⁹.

In Neftenbach handelte es sich bei den beiden aufeinanderfolgenden Zentralgebäuden um Fachwerkbauten mit verputzten Wänden. Bau 11, ein Pfostringbau im Bereich der späteren *pars rustica*, zeigte eine Fachwerkwand³⁶⁰. Für Buchs lässt sich vermuten, dass die Wände im repräsentativen Wohnhaus auf Schwellbalken ruhten, die ihrerseits auf gemörtelten Fundamenten auflagen (vgl. Kap. III.1.7.2). Das Gleiche gilt für die beiden aufeinanderfolgenden Bauten in Wetzikon. In Seeb war das erste Gebäude im Bereich des späteren Herrenhauses ebenfalls ein Fachwerkbau³⁶¹. Wandmalereien in den Holzbauperioden sind für Dietikon, Neftenbach, Buchs und Wetzikon nachgewiesen.

Die Wände der frühen holzgebauten Gebäude in den Zürcher Gutshöfen bestanden also offensichtlich ausschliesslich aus Fachwerk. Die Schwellbalken wurden dabei entweder mit oder ohne Schiftung direkt auf den Untergrund gelegt, oder aber es wurden niedrige Steinsockel verwendet (Dietikon, Buchs, Wetzikon und wohl auch Seeb). Die «Fundamente» aus gemörtelten Steinen, die sich in Neftenbach im Herrenhaus der 2. Phase beobachten liessen, dienten dort offenbar weniger als Unterbau denn zum Ausnivellieren des Terrains. Die gemörtelten Unterbauten beim repräsentativen Wohngebäude in Buchs hingegen sind als wirkliche Fundamente anzusprechen (vgl. Kap. III.1.7.2). Weil Buchs die einzige sichere Fundstelle mit gemörteltem Unterbau darstellt, kann man sich fragen, ob dieser Aufwand dort getrieben wurde, weil die Architekten einen unstabilen Untergrund vorfanden³⁶² und die Fundamente mit der Mörtelbindung zu stabilisieren versuchten.

Auffallend ist, dass Steinschiftungen und einfache Mauersockel in Neftenbach, Buchs, Seeb und Wetzikon nur in den «repräsentativen Zentralgebäuden» auftraten. In Dietikon hingegen sind Mauerfundamente (Mauersockel?) auch bei Gebäude C im Wirtschaftsteil belegt.

Böden

In Dietikon liess sich in der *pars urbana* nur gerade ein Bodenniveau fassen, nämlich eine Lehmschicht zwischen den Mauern M 1 und M 2 (Abb. 81). Christa Ebnöther vermutete ein überdachtes Gehniveau. Bei den Holzbauten an der Neumattstrasse 11, 13, 15 in der *pars rustica* wurde der anstehende Kies und Silt als Gehniveau benutzt, für die 2. Holzbauphase kann ein Bretterboden als wahrscheinlich angesehen werden. Bei Gebäude C lässt sich kein Gehniveau beobachten.

In Neftenbach wurden in den Herrenhäusern der beiden Holzbauphasen, die den Zeitraum von etwa 30–80 n. Chr. abdecken, verschiedene Bodenniveaus beobachtet. Beim ersten Gebäude benutzte man in den beiden Kernräumen zuerst eine siltige Lehmplanie (Schicht 01A.10). In einem der Räume, Raum 01A.2, wurde später stellenweise ein sehr feiner Lehmestrich eingebracht (Schicht 01A.11)³⁶³. Die Portikus zeigte die gleiche siltige Lehmplanie wie die Kernräume.

In der 2. Holzbauphase sind in Neftenbach mehrfach Mörtelböden belegt. Im Mittelbau (Raum 01B.1) sind unterschiedliche Böden nachgewiesen: Im Südteil des Raums lag ein mit Mörtel verfestigter Kies (Schicht 01B.41), im Nordteil (Raum 01B.1a) hingegen diente eine Lehmplanie als Gehniveau (Schicht 01B.13). Diese verschiedenen Bodenbeschaffenheiten führten zur berechtigten Annahme, dass es sich beim Nordteil des Mittelbaus (Raum 01B.1a) um eine Portikus handelt, beim Südteil hingegen um einen Wohnraum³⁶⁴. Im Ostrisalit des Gebäudes, in Raum 01B.3, fand sich ein massiver Mörtelboden über einer Bollensteinunterlage³⁶⁵. Im dahinter liegenden Raum (Raum 01B.5) wurde ein grauer Mörtelboden auf einer Unterlage aus grobem Kies eingebracht (Schicht 01B.42). Im steinernen Badegebäude fanden sich mehrheitlich, wenn nicht sogar ausschliesslich, Mörtelböden.

In Buchs war das repräsentative Wohnhaus aus dem mittleren 1. Jh. ebenfalls mehrheitlich mit Mörtelböden ausgestattet (vgl. oben Kap. III.1.7.2). In Wetzikon wurde in der 1. Phase der gewachsene Boden als Gehniveau verwendet, in der 2. Phase hingegen Lehm Böden auf einer Steinrollierung³⁶⁶.

Zu den Böden lässt sich zusammenfassend also sagen, dass sich die bisher nachgewiesenen Mörtelböden (Neftenbach, Buchs) immer auf den Zentralbau bzw. das Badegebäude in Neftenbach beschränkten und dort bereits um oder kurz nach der Mitte des 1. Jh.³⁶⁷ auftraten. Es ist aber auch festzuhalten, dass in den Zentralgebäuden daneben auch einfache Lehm Böden vorkamen (Seeb, Dietikon, Neftenbach, Wetzikon). In den anderen Gebäuden wurde immer Kies, Silt oder Lehm als Gehniveau verwendet.

Feuerstellen

In Neftenbach wurden mehrere, der Holzbauperiode zugewiesene Herdstellen beobachtet. Jene in der Villa ist aufgrund der nachgewiesenen Umrandung vermutlich als «Rest eines Ofens mit halber Kuppel» zu interpretieren³⁶⁸. Es handelt sich dabei um eine nicht nur für Neftenbach einmalige Konstruktion. Die übrigen Herdstellen (Herdstellen 5000–5004) bestanden aus brandgeröteten Flecken, ein Unterbau wird nicht erwähnt³⁶⁹. Die Herdstellen wiesen einen runden, ovalen oder rechteckigen Grundriss auf. Die Ausdehnungen schwanken zwischen 0,4/0,45 m (Herdstelle 5003) und über 1,6 m (Herdstelle 5000). Interessant ist ein Befund südlich des späteren Baus 25. Hier lag in einer flachen, mit Silt und Sand verfüllten Senke eine Lage aus Leistenziegeln³⁷⁰. Leider konnte nur ein Viertel der Grube untersucht werden. Der Befund erinnerte den Bearbeiter an eine Herdstelle, auch wenn kaum Holzkohle gefunden wurde. J. Rychener hat die Struktur zu den frühen Befunden innerhalb der Holzbauperiode gezählt. Wenn die Deutung als Herdstelle zutrifft, dann haben wir hier einen frühen Beleg für die Verwendung von Ziegeln als Feuerfläche.

In Dietikon sind bisher ausser der Feuerstelle im Herrenhaus, die sich als verbrannter Silt abzeichnet, drei Feuerstellen unter dem späteren Gebäude C belegt³⁷¹. Während es sich bei den älteren beiden um senkrecht eingestochene Feuergruben von 10–15 cm Tiefe handelt, zeigt die jüngere eine unregelmässige Steinrollierung unter der brandgeröteten Lehm linse. Auch die beiden an der Neumattstrasse 11, 13, 15 festgestellten Feuerstellen Pos. 304 und 387 (Abb. 71) haben einen Unterbau aus kleinen Kiesel n.

In Oberwenigen wurde in Gebäude E hingegen eine Sandsteinplatte als Herdstelle verwendet; sie gehörte zum Ständerbau, der um 75/85 n. Chr. durch einen Brand zerstört wurde³⁷². Es handelt sich dabei um einen bisher singulären Befund.

Die erwähnten Beispiele zeigen, dass in den Holzgebauten Gutshöfen des 1. Jh. in der Regel einfache Feuerstellen in Betrieb standen, die aus einer Silt- oder Lehmfläche bestanden und bisweilen eine Steinrollierung aufwiesen. Dass bereits Ziegel als Unterlage verwendet wurden, könnte mit dem genannten Befund in Neftenbach sowie den erwähnten Ziegelfunden an der Neumattstrasse 11, 13, 15 angedeutet sein (vgl. Kap. III.1.3.3). Beide lassen sich um die Mitte des 1. Jh. datieren.

Auch im Westquartier von *Vitudurum*-Oberwinterthur bestanden die Feuerstellen bis um die Mitte des 1. Jh. überwiegend aus einer einfachen Lehmfläche. Von Beginn weg konnten sie mit einer Steinrollierung unterlegt sein. Die ersten Feuerstellen aus Tonplatten und Dachziegeln kamen dort wahrscheinlich seit den 40er-Jahren des 1. Jh. vor³⁷³. Man darf also davon ausgehen, dass die frühen Feuerstellen in den Gutshöfen und im Vicus *Vitudurum*-Oberwinterthur eine parallele Entwicklung durchmachten.

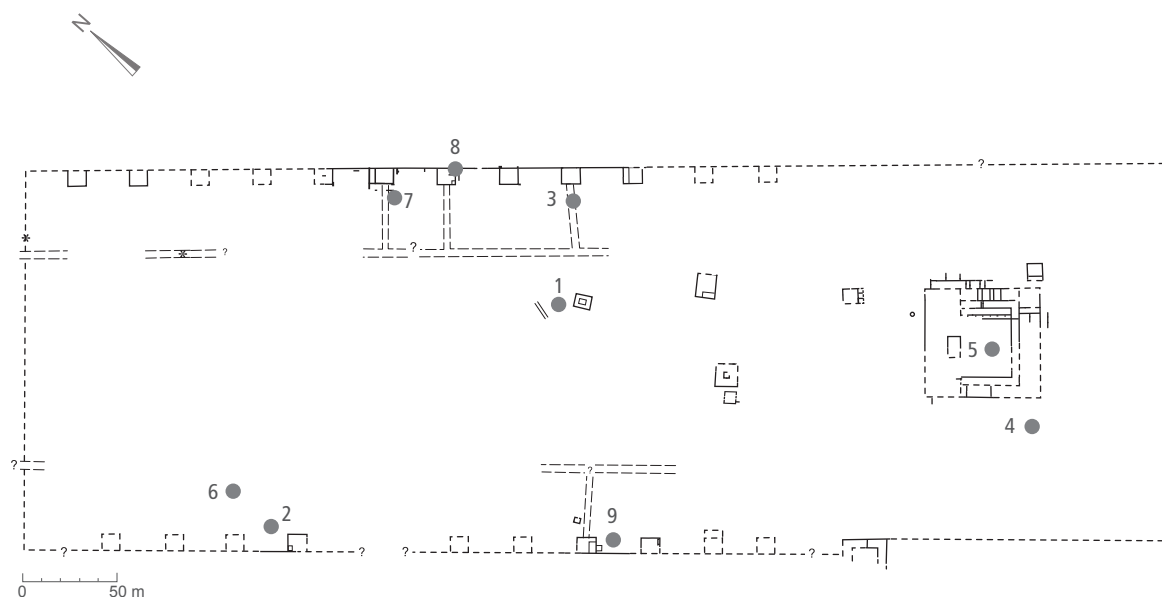


Abb. 87. Die in Dietikon im Bereich des Gutshofs bisher festgestellten frühmittelalterlichen Befunde und Funde: 1) Grubenhaus und Funde am Fischerweg 2–4 (frühmittelalterlich). 2) Grubenhaus und Funde an der Vorstadtstr. 44–52 (6./7. Jh.). 3) Kindergrab (frühmittelalterlich?) und Poliederkopfnadel (7. Jh.) an der Neumattstr. 11, 13, 15. 4) Männergrab an der Bahnhofstr. 8 (8./9. Jh.). 5) Grubenhäuser und Pfostenbauten im Bereich der ehemaligen Villa (ca. 8. Jh.). 6) Grubenhaus an der Vorstadtstr. 32 (frühmittelalterlich). 7) Keramikscherbe beim Bau A (6. Jh.?). 8) Drei Gräber beim Bau B (7. Jh.). 9) Webgewicht beim Bau C (Zürcherstr. 9–11; früh- oder hochmittelalterlich). M. 1:4000.

Dächer

Zur Art der Eindeckung der Gebäude in den holzgebauten Gutshöfen liegen kaum Hinweise vor. Weil in den Zerstörungsschichten des ersten Zentralgebäudes in Neftenbach keine Ziegel gefunden wurden, ist anzunehmen, dass es mit Schindeln gedeckt war³⁷⁴. Das Herrenhaus der 2. Phase (Bau 01B) hatte hingegen möglicherweise bereits ein Ziegeldach³⁷⁵. Das ganz aus Stein errichtete Badegebäude hingegen war sicher mit Ziegeln gedeckt. Auf die Vermutung, dass im Herrenhaus in Dietikon über der Portikus ein Ziegeldach lag, wurde bereits oben eingegangen (Kap. III.1.6). Die wenigen Ziegelstücke aus den Grabungen an der Neumattstrasse 11, 13, 15 reichen sicher nicht aus, um eine Deckung der dortigen Gebäude mit Ziegeln zu postulieren.

2 Die Nutzung des Gutshofareals vom 4. bis ins 7. Jh.

Im Folgenden sollen die seit der Publikation von Christa Ebnöther hinzugewonnenen Erkenntnisse zur Nutzung des Gutshofareals bis ins Frühmittelalter vorgestellt werden (Abb. 87)³⁷⁶. Für die bisher bekannten Befunde aus diesem Zeitraum sei auf die erwähnte Veröffentlichung Ebnöthers sowie eine 2002 erschienene Zusammenstellung von Renata Windler verwiesen³⁷⁷.

Im ausgehenden 3. Jh. waren die meisten Gebäude der Anlage von Dietikon zerstört, sodass der Gutshof als Produktionseinheit nicht mehr existierte. Man könnte die hier

diskutierte Periode daher auch als «nach-gutshofzeitlich» bezeichnen. Wir bewegen uns in einem Zeitraum, der die Nutzung und die Begehung des Gutshofgeländes von der 1. Hälfte des 4. bis ins 8./9. Jh. umfasst³⁷⁸.

Belegt sind aus dieser Zeit neu ein Pfostenbau und diverse Einzelbefunde an der Neumattstrasse, weiter je ein Grubenhaus am Fischerweg und an der Vorstadtstrasse sowie eine Bestattung im Bereich der ehemaligen römischen Villa.

2.1 Fischerweg 2–4. Ein weitgehend zerstörtes Grubenhaus und Einzelbefunde

Unmittelbar neben den Fundamenten des römischen Tempels (Gebäude M) haben wir eine unförmige Vertiefung von etwa 2,0 x 2,4 m gefasst (Pos. 54; Abb. 3, 87, 1, 88). Der südwestlichste Bereich der noch maximal 0,2 m eingetieften Struktur konnte leider nicht untersucht werden, sodass der Abschluss dort unklar ist. Die Füllung der Grube besteht aus grauem Silt und grossen, meisten stark brandgeröteten Bollen- und Sandsteinen. Diese Steine gehörten ursprünglich wohl nicht zur Struktur und wurden hier später abgelagert, um die flache Senke aufzufüllen.

Am östlichen Rand der Vertiefung brachte der abschliessende Baggerabtrag ein einzelnes Pfostenloch mit rund 0,25 m Durchmesser zum Vorschein (Abb. 3, Pos. 59). Wegen der Lage innerhalb der Struktur und der Tatsache, dass es erst nach dem Entfernen der Füllung sichtbar wurde, ist zu vermuten, dass es wohl zu dieser Struktur gehört. Auf der Sohle des Pfostenlochs liegt ein Ziegelstück



Abb. 88. Das mit Steinen verfüllte, weitgehend zerstörte Grubenhaus Pos. 54 neben dem Tempel M am Fischerweg 2–4 (Pos. 54). Ansicht aus Norden.



Abb. 89. Fischerweg 2–4. Silex (Trümmerstück mit Schlagspuren; FK 59).



Abb. 90. Fischerweg 2–4. Halbes tönernes Scheibenrad(?) mit Ritzlinien (FK 59, Kat. 46).

als Auflager. Aufgrund der Form der Struktur und der daraus geborgenen Objekte dürfte es sich um ein weitgehend zerstörtes Grubenhaus aus dem Frühmittelalter handeln.

Als wichtigste Funde aus der Verfüllung über dem Grubenhaus sind ein Lavezbecher³⁷⁹ (Kat. 44), ein frühmittelalterliches Webgewicht mit einem teilweise erhaltenen V-förmigen Stempel³⁸⁰ (Kat. 45) sowie ein Silex mit Schlagspuren³⁸¹ (Abb. 89; ohne Kat.-Nr.) zu erwähnen. Hinzu kommt etwa die Hälfte einer runden Tonscheibe mit dem Ansatz eines quadratischen Lochs im Zentrum (Kat. 46). Die Scheibe zeigt auf einer Seite eine Reihe von kurzen Ritzlinien (Abb. 90). Besonders interessant ist jedoch die Rille aussen am Rand, wo aufgrund des Spurenbilds eine Schnur durchgelaufen sein dürfte. Zwar ist eine Deutung der Tonscheibe als Webgewicht grundsätzlich möglich, doch wäre bei dieser Interpretation zu fragen, weshalb das Stück gelocht war, wenn die Scheibe doch mit der Schnurrille am Kettfaden befestigt war. Das viereckige Loch weist eher darauf hin, dass die Tonscheibe auf einer Art Achse fix montiert war, während in der Rille eine Schnur lief. Bei einer Interpretation als Schnurrolle lässt sich das Objekt nicht mit einem Gewichtswestuhl verbinden, da dieser keine Umlenkrollen oder dergleichen benötigte³⁸². Ähnliche Objekte sind auch aus Holz bekannt, wie Rudolf Fellmann kürzlich gezeigt hat; leider liess sich auch dort der Verwendungszweck noch nicht bestimmen³⁸³.

Neben diesem schlecht erhaltenen Grubenhaus konnte am Fischerweg noch eine Reihe von Funden aus dem 4. Jh. und dem Frühmittelalter geborgen werden. Ins 4. Jh. gehört die TS-Schüssel der Formengruppe Pfyn 14, Variante d³⁸⁴, bei der es sich um einen Streufund handelt (Kat. 49). Aus der Verfüllung der Pfostengrube Pos. 44 (vgl. Abb. 3) stammt ausser einem kleinen Stück verbranntem Hüttenlehm (ohne Kat.-Nr.) eine Wandscherbe (ohne Kat.-Nr.), vermutlich aus der Zeit nach dem 3. Jh.

Unmittelbar neben dem römischen Kiesweg (Pos. 19/21, vgl. Kap. II.1.4) befindet sich eine Steinkonzentration (Pos. 23), die eine sumpfige Mulde auffüllt. Aus der Verfüllung stammt ein Laveztopf (Kat. 47), der aufgrund der Kanneluren auf der Wandung frühmittelalterlich sein dürfte³⁸⁵. In verschiedenen Kontexten konnten in der Grabung am Fischerweg schliesslich weitere Teile von Webgewichten geborgen werden, leider alle aus umgelagerten Schichten (vgl. Kat. 48; weitere ohne Kat.-Nr.). Das gleiche gilt für einzelne, vermutlich frühmittelalterliche Gefässscherben (vgl. Katalog).

2.2 Vorstadtstrasse 44–52. Ein Grubenhaus und einzelne Pfostengruben

Unmittelbar neben der Nordecke des römischen Gebäudes N lässt sich ebenfalls ein frühmittelalterlicher Befund feststellen (Pos. 97³⁸⁶; Abb. 11, 87,2, 91), den eine Ansammlung von kleinen Bollensteinen (Pos. 80) überdeckt. Weil diese Steinkonzentration direkt unter dem Humus liegt, gehen wir davon aus, dass es sich hierbei um eine neu-

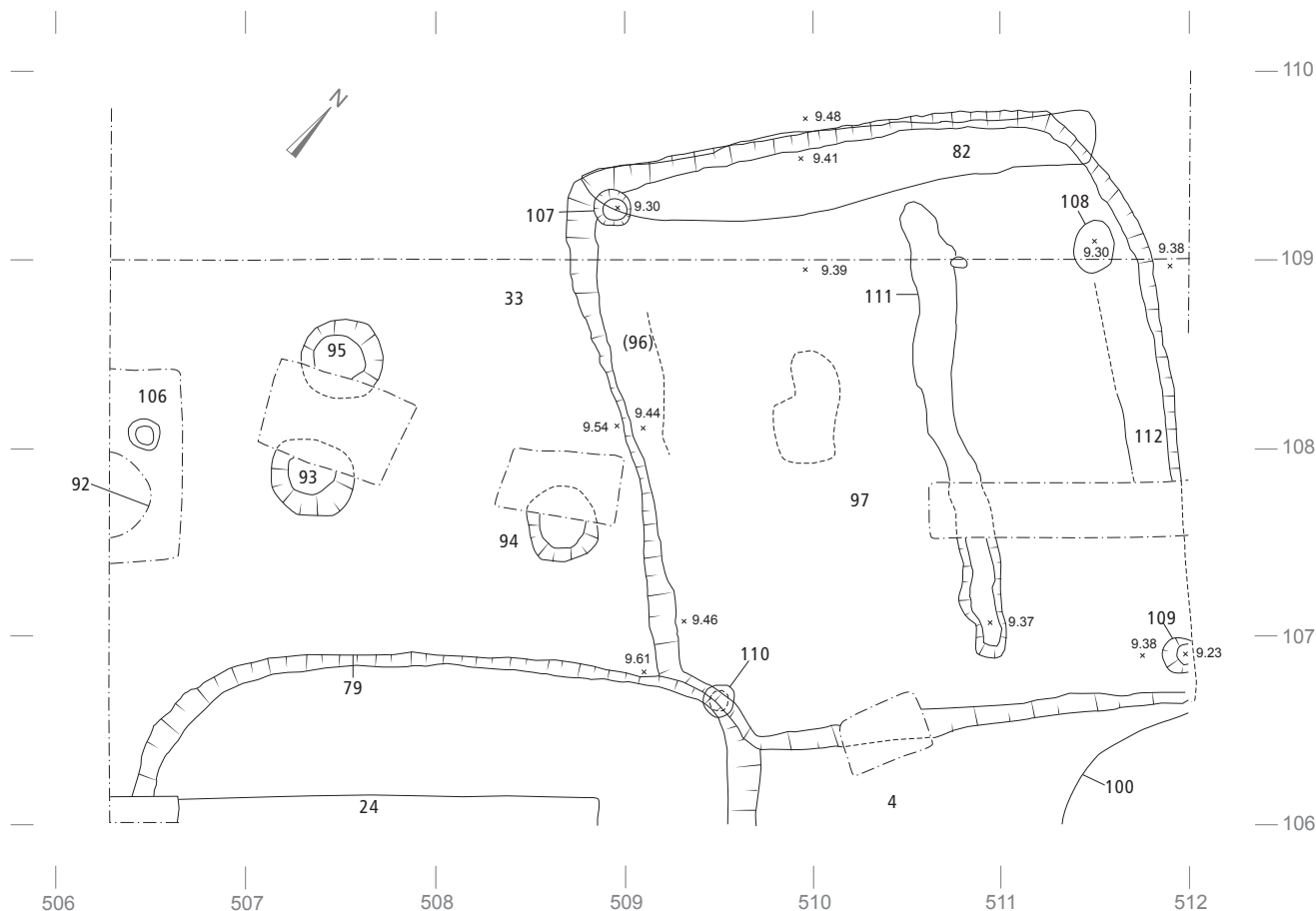


Abb. 91. Vorstadtstr. 44–52. Das frühmittelalterliche Grubenhaus Pos. 97. Plan. M. 1:40.

zeitliche Schicht handelt; Funde konnten allerdings keine geborgen werden.

Diese Ansammlung von kleinen Steinen liegt auf größeren Bollensteinen, die den frühmittelalterlichen Befund ebenfalls teilweise überlagern. Wir haben ursprünglich vermutet, dass es sich dabei um den intakten Steinversturz des römischen Gebäudes (Pos. 23) handelt, was sich dann aber als Irrtum erwies. Die Steine sind dafür nämlich zu wenig kompakt und mit Ziegeln des Dachversturzes durchmischt; zudem fehlt der Mörtel, der bei einem intakten Mauerversturz vorhanden sein müsste. Wir gehen daher davon aus, dass auch diese Bollensteine hier erst später abgelagert wurden, der Zeitpunkt dieser Ablagerung lässt sich aber nicht ermitteln.

Bei der Struktur unter den Bollensteinen handelt es sich um die Reste eines ca. 2,8 x 3,2 m grossen Grubenhauses mit leicht winkelschiefem Grundriss. Von diesem Gebäude mit einer ebenen Sohle ist nur noch der unterste Bereich erhalten – die maximale Eintiefung misst 0,15 m³⁸⁷ (Abb. 92). In drei der vier Ecken finden sich Pfostenlöcher mit Durchmesser von ca. 18 cm (Abb. 91, Pos. 107, 109, 110). Im Norden liegt das Pfostenloch Pos. 108 hingegen mindestens 0,5 m von der Ecke entfernt; in der Ecke selbst kann keine Pfostenstellung beobachtet werden. Im Nordwesten, Nordosten und Südwesten sind entlang der Gru-

benwandung flache Gräbchen zu erkennen (Abb. 91–92, Pos. 82, 96, 112). Etwas nordöstlich der Mittelachse des Grubenhauses liegt zudem ein ca. 0,2 m breites Gräbchen mit wenig klaren Konturen (Abb. 91, Pos. 111). Es dürfte sich dabei um ein (Balken-?)Gräbchen eines Vertikalwebstuhls handeln³⁸⁸.

Leider liegt nur wenig frühmittelalterliches Material vor³⁸⁹. Aus der Verfüllung des Grubenhauses stammen einige Keramikfragmente (FK 95; Kat. 50–52). Kat. 51 zählt zu den Töpfen mit «lèvre en bandeau», wobei der oxidierende Brand einer älteren Phase zuzuweisen ist als der reduzierende³⁹⁰. Parallelen finden sich in der Westschweiz, so in einem Komplex des 6./7. Jh. in Payerne VD³⁹¹. Produktionsstätten sind in der Umgebung von Lyon bekannt. Im Gräbchen Pos. 82 fand sich zudem etwas Hüttenlehm (FK 78, ohne Kat.-Nr.). Auch wenn die beiden eisernen Messerfragmente sowie das Bleiobjekt mit einem kleinen Haken nicht sicher frühmittelalterlich sind, haben wir sie aufgrund des Kontextes in den Katalog aufgenommen (Kat. 53–55). Die restlichen Funde aus der Verfüllung gehören alle in die römische Zeit, was bei einer im Frühmittelalter genutzten römischen Fundstelle nicht weiter erstaunt.

In der Umgebung des Grubenhauses befinden sich diverse Pfostengruben, die von der Stratigraphie her ebenfalls frühmittelalterlich sein können (Abb. 11 und 91)³⁹².



Abb. 92. Vorstadtstr. 44–52. Das frühmittelalterliche Grubenhaus Pos. 97. Ansicht aus Südosten.

Die meisten lassen sich nicht datieren, da sie kein Fundmaterial enthalten³⁹³; andere liefern nur römische Funde³⁹⁴. Frühmittelalterliches Material stammt aus den Pfostengruben Pos. 85 (FK 80), 94 (FK 91) und 105 (FK 98). FK 80 ist dabei der weitaus ergiebigste Komplex. Neben der RS eines Topfs (Kat. 56) stammen aus der Verfüllung der Pfostengrube Pos. 85 die Fragmente von mindestens zwei Webgewichten (Kat. 57 und ohne Kat.-Nr.), mehrere Stücke von verbranntem Hüttenlehm (ohne Kat.-Nr.) sowie verschiedene Tuffbrocken mit Brandspuren. Eines der beiden Webgewichte zeigt aussen als Dekor ein eingestochenes «Gabelmuster» (Abb. 93). Erhalten hat sich davon nur der Mantel, während sich der vermutlich weniger stark gebrannte Kern aufgelöst hat³⁹⁵.

In der Verfüllung des Pfostenlochs Pos. 94 haben wir diverse kleine Stücke gebrannten Kalks beobachtet, die evtl. von einem zerstörten Kalkestrich stammen (FK 91; ohne Kat.-Nr.). Aus der neuzeitlichen Deckschicht Pos. 2 stammen schliesslich die TS-Schüssel Chenet 320 mit Eierstabdekor (ohne Kat.-Nr., vgl. Abb. 116), die Schüssel Kat. 58 sowie zwei Teile eines zweireihigen Dreilagenkamms³⁹⁶ (Kat. 59).

Eine frühmittelalterliche Besiedlung an der Vorstadtstrasse 44–52 steht damit ausser Zweifel. In der Nachbarparzelle, an der Vorstadtstrasse 32, ist bereits 1985 ein «nachrömisches Grubenhaus», bestehend aus den Pfosten Pf 16–19, Pf 24 und 27, beobachtet worden³⁹⁷. Ob die beiden Grubenhäuser Teil der gleichen Siedlung sind, bleibt noch zu beantworten.

2.3 Neumattstrasse 11, 13, 15

2.3.1 Einleitung

Die Kenntnis von drei Gräbern aus dem 7. Jh., die 1984/85 beim Gebäude B aufgedeckt worden sind³⁹⁸, hat uns auf frühmittelalterliche Befunde sensibilisiert. Aus diesem Grund erfolgten die Arbeiten in der 1986 stehen gelassenen Restfläche im Gebäude F (Feld 1) von Anfang an



Abb. 93. Vorstadtstr. 44–52. Teile eines kugeligen Webgewichts, aussen mit eingestochenen «Gabelmuster» (FK 80, Kat. 57).



Abb. 94. Neumattstr. 11, 13, 15. Die in den Ziegelversturz Pos. 28 des Holzgebäudes eingetieften Pfostengruben Pos. 41 und 46–48. Ansicht aus Nordosten.

im Handabtrag. Weil wir hier allerdings keine frühmittelalterlichen Befunde oder Funde festgestellt haben, sind die Deckschichten in den anderen Feldern in der Folge mit dem Bagger entfernt worden. Die erwähnten Gräber beim Gebäude B sowie die während der Grabung in umgelagerten Schichten angetroffene Bronzenadel Kat. 76 (Abb. 97) lassen aber trotzdem eine Besiedlung des Areals im Frühmittelalter vermuten.

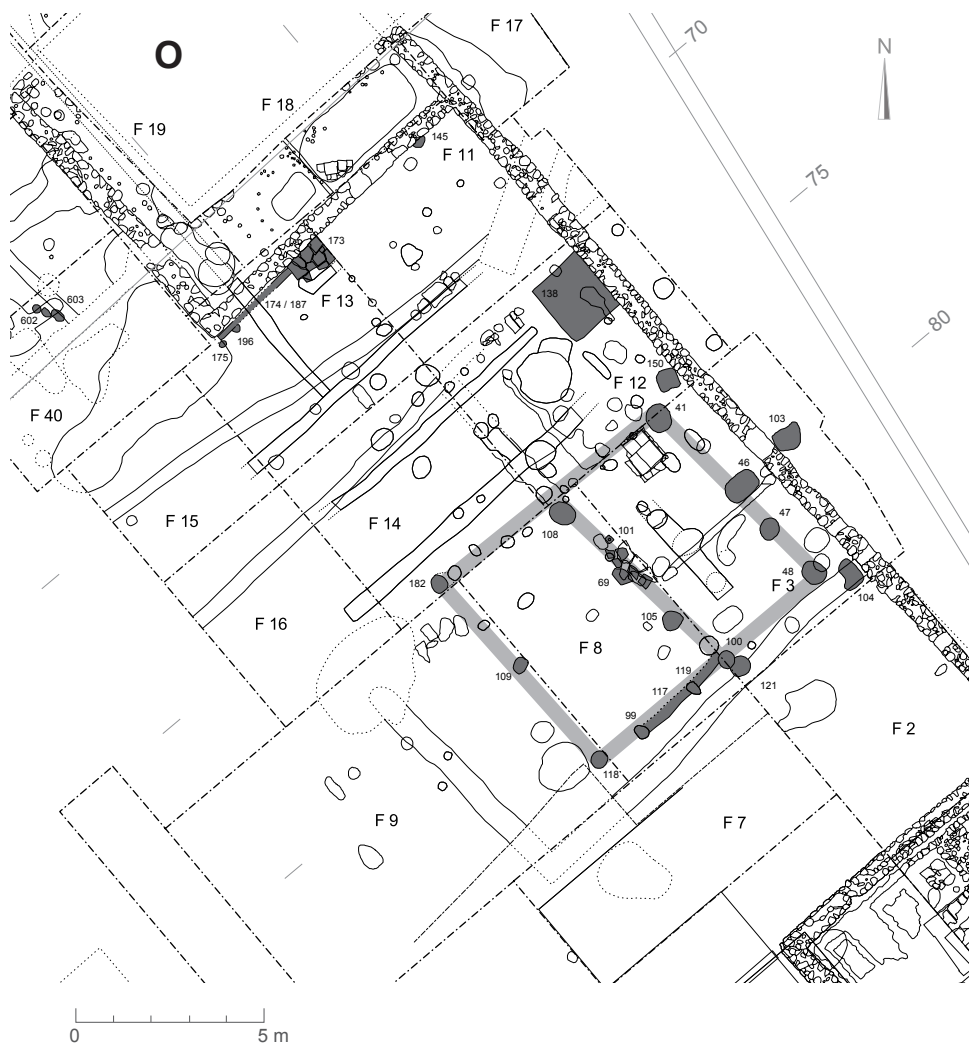


Abb. 95. Neumattstr. 11, 13, 15. Rekonstruierter Pfostenbau (1. Hälfte 4. Jh.?) und diverse spätrömische/ frühmittelalterliche Einzelbefunde zwischen den Steingebäuden F und O. M. 1:200.

2.3.2 Ein im frühen 4. Jh. (?) errichteter Pfostenbau

Im Bereich des abgebrannten Holzgebäudes zwischen den Gebäuden F und O sind mehrere Befunde fassbar, die den ausplanierten Ziegelversturz des Baus (Pos. 28, vgl. dazu Kap. II.3.4.22) durchschlagen und daher sicher nach dem späten 3. Jh. zu datieren sind (Abb. 94). Ausgehend von diesen Strukturen – es sind dies vor allem die in einer Flucht liegenden Pfostengruben Pos. 41, 46, 47, 48 (Abb. 94–95 und Befundkatalog im Anhang) – kann ein Gebäudegrundriss rekonstruiert werden. Der rund $6 \times 7,5$ m messende Bau setzt sich aus zwei etwa gleich grossen Räumen zusammen. Die Trennwand besteht aus der Pfostenreihe Pos. 100/121, 105 und 108 (Abb. 95). Auf dieser Flucht lagen auch die plattig verlegten Steine Pos. 69, die vermutlich zu einem Durchgang gehörten. Erwähnenswert ist das Gräbchen Pos. 117, das möglicherweise als Balkengraben zwischen zwei Wandpfosten anzusprechen ist (Abb. 95). Zum Gebäude gehörende Bodenniveaus oder Benutzungsschichten lassen sich nicht fassen.

Das beschriebene Gebäude lässt sich leider nicht mit Sicherheit datieren. Es ist allerdings anzunehmen, dass der

Pfostenbau nicht allzu lange nach der Zerstörung des früheren Holzgebäudes im späten 3. Jh. entstanden ist. Dafür spricht vor allem, dass die oben angeführten Steinplatten Pos. 69 im Durchgang des jüngeren Pfostenbaus vom Vorgängerbau übernommen wurden³⁹⁹. Zwischen dem Abgang des Vorgängers und dem Neubau konnte sich keine deckende Humusschicht bilden, sonst wären die Steinplatten nicht mehr sichtbar gewesen. Wir gehen aus diesem Grund davon aus, dass der Pfostenbau zu Beginn des 4. Jh. errichtet wurde.

Die Stratigraphie vermag diese These leider nicht zu stützen, da unmittelbar über den Befunden der humose, leicht sandige Silt Pos. 2 mit römischen, aber auch neuzeitlichen Funden liegt (vgl. Befundkatalog im Anhang). In dieser neuzeitlich durchmischten Schicht über dem Pfostenbau haben wir kein Fundmaterial⁴⁰⁰ geborgen, das eine Datierung ins beginnende 4. Jh. beweisen würde.

Ebenso wenig können die Funde aus den zum Pfostenbau gezählten Strukturen diese Datierung stützen. Zwar stammen mögliche spätantike oder frühmittelalterliche Funde aus den Pfostengruben Pos. 41 (FK 98; Kat. 60), Pos. 108 und 109 (FK 182 und 159; Kat. 61–62 und ohne

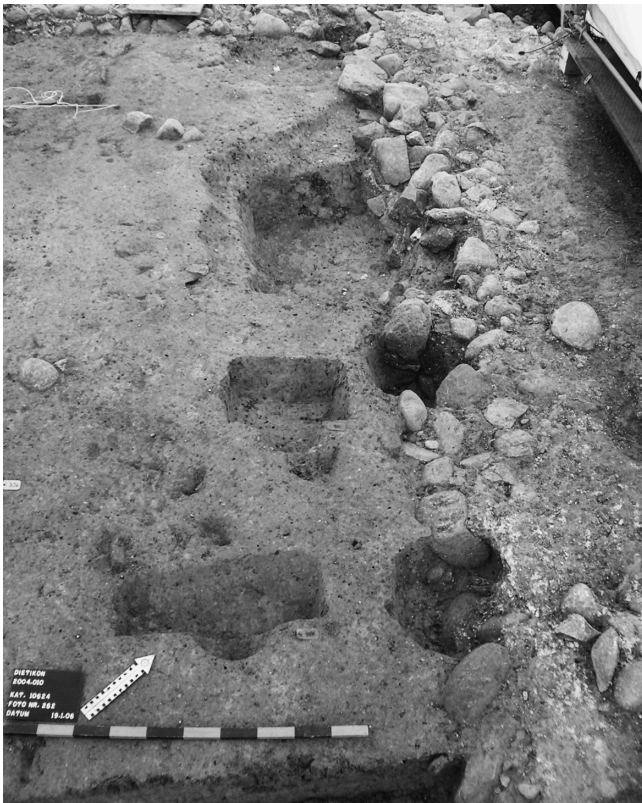


Abb. 96. Neumattstr. 11, 13, 15. Die in die Nordostmauer von Gebäude P eingreifenden Strukturen Pos. 377–379, 404, 417, 418 und 429. Ansicht aus Südosten.

Kat.-Nr.), doch lassen sich diese insgesamt vier Keramikfragmente und der Lavezdeckel Kat. 62 zeitlich nicht genauer einordnen. Die Datierung des Pfostenbaus ins frühe 4. Jh. beruht damit letztlich auf dem oben angeführten Argument der Nutzung von älteren Strukturen aus dem späten 3. Jh.

Abschliessend sei noch kurz auf eine grün glasierte Scherbe (FK 69) aus der zum Pfostenbau gezählten Grube Pos. 47 eingegangen. Wenn wir ausschliessen wollen, dass der Fund aus der darüberliegenden Mischschicht Pos. 2 stammt, sondern wirklich zur Füllung der Pfostengrube gehört, dann wäre diese Struktur vom Pfostenbau zu trennen und in die Neuzeit zu datieren. Dies hätte keinen direkten Einfluss auf das rekonstruierte Gebäude. Im Gegenteil: Ohne den Pfosten Pos. 47 würde die ungleichmässige Verteilung der Pfosten in der Nordostwand wegfallen (Abb. 95). Die Träger der Wand hätten in diesem Fall nur noch aus den drei Pfosten Pos. 41, 46 und 48 bestanden, die einen Abstand von jeweils ca. 3 m aufweisen. Diese Anordnung würde perfekt mit der gegenüberliegenden Pfostenstellung Pos. 182, 109, 118 übereinstimmen.

2.3.3 Weitere Befunde zwischen den Bauten F und O

Im näheren und weiteren Umfeld des postulierten Pfostenbaus können weitere Befunde beobachtet werden, die

aufgrund der Stratigraphie in die Zeit nach dem späten 3. Jh. gehören dürften (Abb. 95 und Befundkatalog im Anhang). Die meisten davon sind in die Planieschicht Pos. 44 eingetieft, andere in die Benutzungsablagerung Pos. 143, die südöstlich von Gebäude O, in den Feldern 11–16, liegt. Diese in mehreren Abstichen abgetragene, humos-graue Siltschicht lässt sich stratigraphisch nicht unterteilen und dürfte während der ganzen Benutzungszeit der Steinbauten als Aussenniveau gedient haben. Überdeckt sind die Befunde von der mit neuzeitlichen Funden durchsetzten Mischschicht Pos. 2, die auch den erwähnten Pfostenbau überlagert (vgl. Kap. III.2.3.2). Leider enthalten diese Strukturen nur wenig Fundmaterial. Von den zwölf Befunden liefern nur deren zwei überhaupt Funde, die zudem nicht datierbar sind (Pos. 138, 150; vgl. Befundkatalog im Anhang). Daher sind die Strukturen letztlich nicht datierbar.

Bei diesen Befunden handelt es sich meist um einzelne Pfosten (Abb. 95). An der Südostmauer von Gebäude O liegen ausserdem die Ziegelplatten Pos. 173, die in Zusammenhang mit einem aus stehenden Ziegeln gebildeten Kanälchen stehen dürften (Pos. 174, 187; Abb. 95). Der Zweck dieser Anlage ist unklar; wir vermuten eine weitgehend zerstörte Räucher- oder Darranlage, können diese These aber nicht weiter belegen.

2.3.4 Befunde in den Steingebäuden O und P

Eine Nutzung der Gebäude O und P nach der Zerstörung um bzw. nach der Mitte des 3. Jh. ist oben bereits kurz angetönt worden⁴⁰¹. Wir haben beim Gebäude P auf die Pfostenstellung Pos. 493 auf der erhaltenen Mauerkrone hingewiesen, die auf einen Eingriff nach dem Einsturz des Gebäudes hindeutet. Das gleiche dürfte auch für die beiden brandgeröteten Flecken gelten, die ebenfalls auf der erhaltenen Krone zu erkennen sind⁴⁰².

Im Bereich der Rückmauer von Gebäude P, die gleichzeitig auch die Hofmauer bildet, gibt es ausserdem verschiedene Pfostengruben, die mehr oder weniger stark in die Mauer eingreifen (Abb. 96 und Befundkatalog im Anhang). Es ist anzunehmen, dass diese Pfosten erst gestellt wurden, nachdem die Gebäudemauer nicht mehr intakt bzw. sogar komplett zerstört war, denn eine tragende Mauer wäre durch diese Eingriffe stark geschwächt worden und vermutlich sogar kollabiert. Wir sehen diese Pfostenstellungen – zusammen mit den erwähnten brandgeröteten Flecken auf der Mauerkrone – als Eingriffe nach der Zerstörung des Steingebäudes. An möglicherweise spätantiken oder frühmittelalterlichem Fundmaterial aus diesen Pfostengruben zu nennen sind der ungewöhnliche Henkelansatz Kat. 63⁴⁰³ sowie der Kochtopf Kat. 64, bei dem es sich um sandige Drehscheibenware handeln könnte (vgl. Kat. 70). Für beide lässt sich auf Anrieb aber keine Parallele finden.

Beim Gebäude O, das im dritten oder letzten Viertel des 3. Jh. zerstört worden ist, findet sich ein im Mörtelboden eingetieftes Pfostenloch (Pos. 226; Abb. 34 vorne rechts und Befundkatalog im Anhang). Da darüber keine Ziegel des Dachversturzes liegen, dürfte es sich dabei ebenfalls

um einen spätantiken oder frühmittelalterlichen Eingriff handeln; datierbares Material aus der Füllung fehlt.

2.3.5 Grube Pos. 238 und Kindergrab Pos. 232 beim Bau P

Die unmittelbar neben der Nordwestmauer von Gebäude P liegende Grube Pos. 238 durchschlägt den zum Gebäudeabgang gehörigen Ziegelversturz von Bau P, sodass sie nach der Mitte des 3. Jh. datiert werden kann.

Entscheidend für die Zeitstellung dieser Grube sind die über 100 Fragmente eines geschlossenen, möglicherweise frühmittelalterlichen Gefässes aus grauem, im Kern braunem, mehligem Ton (Kat. 65). Die Oberfläche fühlt sich aussen seifig an und ein Wandknick ist nicht festzustellen. Leider hat sich nur der flache Boden samt anschließender Wandpartien erhalten, während der Hals und die Mündung verloren sind. Festzuhalten sind zwei Details: Erstens findet sich auf der Schulter eine horizontale Leiste als Dekor, zweitens weisen einige der Scherben einen leicht schräg nach unten verlaufenden Glättstrich auf⁴⁰⁴. Von den rund 100 Wandscherben sind dies allerdings nur wenige, sodass wir annehmen, dass insgesamt nur ein oder zwei solcher Glättstriche vorhanden waren; ein diagonales Gittermuster ist sicher auszuschliessen. Der Ton macht eine frühmittelalterliche Datierung durchaus möglich, auch wenn für die Form keine Parallele beigebracht werden kann⁴⁰⁵.

Die Grube Pos. 238 stört ein älteres Kindergrab (Pos. 232; vgl. Kap. III.3.1 und Befundkatalog im Anhang). Eine ganz entscheidende Frage ist nun, ob das Gefäss – von dem rund die Hälfte vorhanden ist – zur Verfüllung der Grube Pos. 238 gehört, oder ob es ursprünglich als Grabbeigabe für das Kindergrab Pos. 232 diente. Das Gefäss wäre dann beim Anlegen der Grube in die Verfüllung derselben geraten. Wir haben auf eine C14-Analyse der Knochen verzichtet. Denn damit liesse sich zwar das ungefähre Alter der Bestattung bestimmen, doch wäre so noch kein Beweis für die Zugehörigkeit des Gefässes zum Grab erbracht⁴⁰⁶.

Das ausserhalb der Hofmauer liegende Kindergrab Pos. 202, dessen stratigraphische Zuweisung nicht ganz klar ist, könnte sowohl in die mittlere Kaiserzeit als auch in die Spätantike oder ins Frühmittelalter gehören (vgl. Kap. III.3.4.3).

2.3.6 Funde des 4. bis 7. Jh. in umgelagerten Schichten

Aufgrund der Tatsache, dass die mit neuzeitlichem Material durchsetzten Schichten Pos. 2 und 198 direkt auf den römischen Abgangsschichten liegen und sich keine Übergangshorizonte isolieren lassen, haben wir das gesamte Fundmaterial aus dieser Kontaktzone auf spätantike und frühmittelalterliche Funde hin untersucht. Gesichtet worden sind auch alle Funde aus dem Humus und den sicher neuzeitlichen Befunden sowie die Streufunde (Pos. 0)⁴⁰⁷.

Der Fund einer Bronzenadel mit Polyederkopf (Abb. 97; Kat. 76) in einer dieser mit neuzeitlichem Material durch-



Abb. 97. Neumattstr. 11, 13, 15. Bronzenadel mit Polyederkopf (FK 655, Kat. 76). Oberer Bereich.

mischten Schichten liess weitere frühmittelalterliche Funde erwarten. Leider haben sich unsere Hoffnungen nicht erfüllt: Mit Ausnahme der erwähnten Bronzenadel mit Polyederkopf und Kat. 70 ist kein sicher bestimmbares frühmittelalterliches Material nachweisbar⁴⁰⁸. Hingegen können mehrere ins 4. Jh. gehörige Funde ausgeschieden werden⁴⁰⁹. Am besten einzuordnen sind ein Teller Chenet 307 (Formengruppe Pfyn 7⁴¹⁰; Kat. 66) sowie eine Schüssel Chenet 325 (Formengruppe Pfyn 14, Variante d⁴¹¹; Kat. 67), bei der es sich um einen Streufund handelt. Bei beiden dürfte es sich um späte Produkte aus Rheinzabern und nicht um Argonnensigillata handeln. Hinzu kommt ein möglicher Honigtopf mit ausgeprägtem Deckelaufleger (Kat. 68), was auf eine Datierung im 4. Jh. hinweist⁴¹².

Bei den im Folgenden aufgeführten Objekten ist sowohl eine Datierung ins (spätere) 3. als auch ins 4. Jh. möglich. Da diese Funde mit einer Nutzung und Begehung des Areals im 4. Jh. zusammenhängen könnten, seien sie hier trotzdem speziell besprochen. Möglicherweise ins späte 3. Jh. – oder dann aber schon ins 4. Jh. – gehört ein Kochteller mit einem Rand, der von den sonst bekannten Formen des 3. Jh. abweicht⁴¹³ (Kat. 69).

Die Randscherbe Kat. 70 (FK 274) zeigt zwar einen ähnlichen Ton wie die bekannten Kochtöpfe des 3. Jh. aus Dietikon, sie ist vermutlich aber frühmittelalterlich. Als Parallele kann das Randfragment rauwandiger Drehscheibenware aus Winterthur, Technikumstrasse/Lagerhausstrasse angeführt werden⁴¹⁴. Unser Stück zeigt allerdings eine



Abb. 98. Neumattstr. 11, 13, 15. Topffragment mit Wellendekor (FK 667).

sandige Magerung, was für eine etwas jüngere Datierung – wohl ins fortgeschrittene 7. oder 8. Jh. – spricht⁴¹⁵.

Der Topf Kat. 71 (FK 669) ist vom Grundschemata her zwar zu den Kochtöpfen «Typ Dietikon» zu zählen⁴¹⁶, er weicht in der Randbildung jedoch davon ab. Da wir nicht wissen, ob es sich dabei bloss um eine Variante handelt, oder ob hier eine Weiterentwicklung dieses Typs vorliegt, muss die genaue Datierung offen bleiben⁴¹⁷. Die beiden Töpfe FK 274 und FK 669 können aufgrund fehlender Parallelen nicht genauer datiert werden⁴¹⁸.

Beim Deckelteil Kat. 72 handelt es sich um einen Streufund. Auffällig sind die auf einer Seite angebrachten unregelmässigen Ritzlinien⁴¹⁹, wie sie auch auf einem Deckel aus Gebäude F festgestellt worden sind. Jener Deckel ist in einer bis in die Mitte des 3. Jh. genutzten Schicht gefunden worden⁴²⁰. Aus einem nur wenig späteren Kontext in Gebäude B stammt ein Kochnapf mit kreuzweise angebrachten Ritzlinien im Innern⁴²¹. Man darf daher vermuten, dass diese Art Kochkeramik mit Ritzlinien zu versehen, um oder nach der Mitte des 3. Jh. aufkam. Ob und wie weit diese Sitte ins 4. Jh. hineinreichte, bleibt derzeit noch unbeantwortet.

Aus der Mischschicht Pos. 198 stammt die Wandscherbe eines grob gemagerten Topfs mit aussen zwei horizontalen Wellenlinien unter mindestens drei horizontalen Rillen (FK 667; Abb. 98). Dieses Dekor erinnert an frühmittelalterliche Gefässe, doch weicht der Ton davon ab⁴²². Zwei Scherben mit ähnlichem Dekor⁴²³, die aufgrund der Kontexte ins 2./3. Jh. gehören, könnten darauf hindeuten, dass auch das Stück FK 667 eher mittelkaiserzeitlich als frühmittelalterlich zu datieren ist.



Abb. 99. Bahnhofstr. 8. Die frühmittelalterliche Bestattung eines etwa 45-jährigen Mannes. Ansicht aus Nordosten.

Die etwa zur Hälfte erhaltene bikonisch-spindelförmige, blaue Glasperle (Kat. 73) haben wir anfangs für frühmittelalterlich gehalten⁴²⁴. Die Form ist jedoch auch in der mittleren Kaiserzeit und der Spätantike belegt⁴²⁵, weshalb eine Datierung ins Frühmittelalter nicht bewiesen ist.

Die beiden Fragmente von Lavezgefässen lassen sich vermutlich in die Spätantike bzw. ins Frühmittelalter datieren. Bei der RS eines Laveztellers (Kat. 74) sind aussen horizontale Kanneluren angebracht, was auf eine frühmittelalterliche Datierung hinweist. Beim Fragment Kat. 75, aufgrund der Ausrichtung eher ein Topf als ein Teller, sind aussen nur wenig tiefe, 3–4 mm breite Rillen («Kanneluren») erkennbar. Diese sind nicht immer gleich breit und erwecken einen etwas unregelmässigen Eindruck. Ein solches Dekor ist auch bei einigen spätantiken Gefässen aus Pfyon bekannt, weshalb eine Datierung im 4. Jh. anzunehmen ist⁴²⁶.

Der letzte Fund, der hier besprochen werden soll, ist zugleich auch der am besten datierbare. Es handelt sich dabei um die bereits erwähnte Bronzenadel Kat. 76 (Abb. 97). Auch wenn Polyederkopfnadeln mit Kreisäugenverzierung bereits im späteren 3. und 4. Jh. vorkommen⁴²⁷, lassen die Parallelen auf eine Datierung in die 1. Hälfte des 7. Jh. schliessen⁴²⁸. Der Fund ist damit etwas älter die Gräber beim Gebäude B⁴²⁹.

| Befund | Lab.-Nr. ETH | C14 y BP (Material) | δ-C13 (‰) | Cal 1 σ (68,2%) | | | Cal 2 σ (95,4%) | | |
|------------------|-----------------------|---------------------|-----------|--------------------------|--------------|-------------|--------------------------|--------------|-------------|
| | | | | Interval | Relat. p | p in % | Interval | Relat. p | p in % |
| Skelett (Pos. 4) | UZ-4802/ ETH-26081 | 1215±50 (Zahn) | -16,3±1,2 | 726–733 AD 771–889 AD | 0,04 0,96 | 2,7 65,5 | 687–897 AD 911–958 AD | 0,91 0,09 | 86,9 8,5 |

Abb. 100. Bahnhofstr. 8. Kalibrierte C14-Daten der frühmittelalterlichen Bestattung.

2.4 Bahnhofstrasse 8: Ein frühmittelalterliches Grab

In unmittelbarer Nähe zur Kirche St. Agatha, nur gerade 20 m südöstlich vom römischen Herrenhaus entfernt, ist 2002 eine frühmittelalterliche Bestattung freigelegt worden⁴³⁰ (Abb. 99). Die C14-Analyse eines Zahns ergibt, dass der Mann im 8. oder 9. Jh. verstorben ist⁴³¹ (Abb. 100). Archäologisch relevante Schichten können keine beobachtet werden, da das Terrain im Zuge des Bauprogramms nur gerade um 0,5 m abgesenkt wurde und bis in diese Tiefe alle Schichten gestört waren.

Bei der Bestattung handelt es sich um das Grab eines etwa 45-jährigen Mannes. Eine Stichwunde in der Bauchgegend verletzte nicht nur lebenswichtige Organe, sondern auch einen Brustwirbel. Vor seinem Tod dürfte der Verstorbene an verschiedenen Entzündungen gelitten haben. Zudem war einer der Eckzähne mit 3,9 cm übermässig lang und nach innen gebogen, was dem Mann zu Lebzeiten wohl «raubtierhafte Züge» verlieh.

3 Die Kindergräber an der Neumattstrasse 11, 13, 15 (Elisabeth Langenegger, Daniel Käch)

Bei den 2004–2006 durchgeführten Grabungen an der Neumattstrasse haben wir mehr als 20 Kinderbestattungen festgestellt (Abb. 101, Tab. 13)⁴³². Dieser deutliche Zuwachs an neuen Befunden hat uns bewogen, diese Gräber detaillierter vorzulegen, zumal die Dichte und die mehrheitlich gute Erhaltung verschiedene neue Beobachtungen ermöglichen.

3.1 Bestattungen ausserhalb der Gebäude

Das Kind Pos. 52 liegt mit dem Kopf an der Hofmauer, gut 2,5 m nordwestlich der Ecke von Gebäude F entfernt. Es handelt sich damit um die einzige Bestattung in einem grösseren Abstand zu einem der Gebäude. OK des Grabs findet sich ein Teil eines Leistenziegels als Abdeckung. Das Grab ist gestört, wie der verschobene Schädel zeigt; abgesehen von einzelnen fehlenden Schädel-, Finger und Fussknochen ist das Skelett aber vollständig. Die Körperlänge von 50 cm zeigt, dass das Kind um den Zeitpunkt der Geburt herum verstorben ist⁴³³. Die Bestattung ist in Pos. 51 eingetieft, die mit Pos. 44 korrespondiert⁴³⁴.

Unmittelbar in der Ecke zwischen der Hofmauer und der nordwestlichen Mauer von Gebäude F befinden sich vier Bestattungen auf einer Fläche von rund 0,6 × 0,6 m. Zuerst liegt das Skelett Pos. 54, das bis auf die Fussknochen vollständig ist. Das Verhältnis von Länge zu Breite am Basalknochen zeigt, dass es sich um eine Frühgeburt handelt⁴³⁵. Um den Schädel herum sind einzelne Knochen eines zweiten Neonaten zu erkennen, dessen Grab bei der Bestattung von Individuum Pos. 54 gestört wurde. Bezüglich der Schichtzugehörigkeit gilt das gleiche wie für Pos. 52.

Darunter befinden sich leicht versetzt die Bestattungen Pos. 66 und 67, die nebeneinander und parallel zueinander

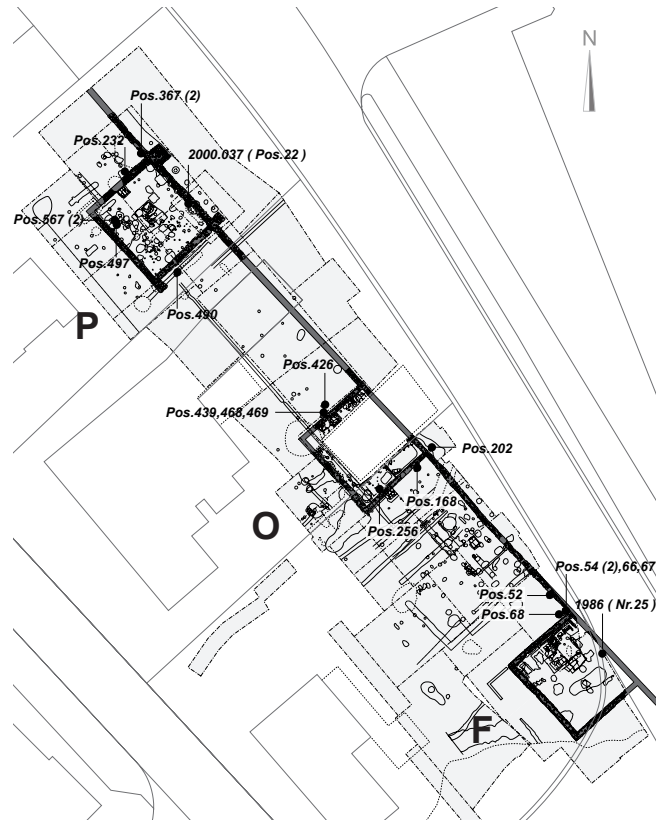


Abb. 101. Neumattstr. 11, 13, 15. Die Neonatenbestattungen (mit aufgenommen die in den Jahren 1986 und 2000 entdeckten Gräber; nicht kartiert Pos. 425). M. 1:800.

liegen (Abb. 102). Bei beiden ist der Kopf gegen die Guts-hofmauer hin gerichtet. Die Bestattung Pos. 54 stört das Grab Pos. 67; das gleiche gilt vermutlich für Pos. 66. Die verlagerten Knochen zeigen, dass sich diese Körper zum Zeitpunkt des Eingriffs nicht mehr im Sehnenverband befanden. Die beiden Neonaten lagen demnach schon mindestens ein Jahr in der Erde, als das Kind Pos. 54 begraben wurde. Die Skelette Pos. 66 und Pos. 67 befinden sich sehr eng beieinander, so als ob sie zusammen bestattet worden wären; wir werden unten darauf zurückkommen.

Beim Individuum Pos. 67 liegt der rechte Arm mehr oder weniger parallel zum Körper, der linke ist hingegen im rechten Winkel angewinkelt, d.h. der linke Unterarm liegt auf dem Brustkorb und die linke Hand auf dem rechten Oberarm. Die Beine wurden verschoben, als sich der Körper nicht mehr im Sehnenverband befand. Bis auf die Füsse sind alle Knochen vorhanden. Das Individuum Pos. 67 verstarb im Geburtsalter. Die Körperlänge und Messungen am Basalknochen zeigen, dass es sich beim Skelett Pos. 66 um eine Frühgeburt handelt. Wie Pos. 52 und 54 sind die Gräber Pos. 66 und 67 in die mörtelige Schicht Pos. 51 abgetieft und datieren damit frühestens ins letzte Viertel des 1. Jh. (vgl. oben).

Zwischen und teilweise auf den Skeletten Pos. 66 und 67 kann eine Ziegelplatte beobachtet werden. Diese gehört aber nicht zur ursprünglichen Bestattung der beiden Kinder, denn unter dem Ziegel sind deren Knochen ver-



Abb. 102. Neumattstr. 11, 13, 15. Die Neonatenbestattungen Pos. 66 (links) und 67 (rechts) nordwestlich von Gebäude F, dazwischen ein stehender Ziegel. Oben die Hofmauer Pos. 7, rechts die Gebäudemauer Pos. 6. Aufsicht.

mischt. Es ist daher anzunehmen, dass der Leistenziegel bei der (Nach-)Bestattung von Pos. 54 hier deponiert worden ist.

Etwas von diesen drei Bestattungen entfernt befindet sich ein weiteres Kindergrab (Pos. 68; Abb. 101). Das parallel zur nordwestlichen Gebäudemauer von Bau F liegende Skelett dieses im Geburtsalter verstorbenen Kindes ist durch einen späteren Eingriff stark gestört.

Entlang von Gebäude O, etwas mehr als 1,5 m von der Hofmauer entfernt, befindet sich die Bestattung Pos. 168, seitlich liegend mit angezogenen Beinen und Armen (Embryostellung). Eine Deckplatte ist nicht vorhanden und die Grabgrube in der darüberliegenden Benutzungsschicht Pos. 143 nicht sichtbar. Über dem Skelett liegt eine Tierrippe. Die Körperlänge von gut 53 cm und das Wachstum der Zahnkeime deuten darauf hin, dass das Kind die Geburt um ein bis zwei Wochen überlebte.

Nordwestlich von Gebäude O ist eine Reihe von nahe bei- bzw. übereinanderliegenden Bestattungen nachweisbar (Pos. 426, 439, 468, 469; Abb. 101, 103–104). Unmittelbar neben der Nordwestmauer von Gebäude O befinden sich die übereinanderliegenden Bestattungen Pos. 439, 468 und 469, alle mit der gleichen Ausrichtung. Das parallel zur Gebäudemauer liegende Grab Pos. 439 wurde mit einem Rundziegel abgedeckt, von dem bei der Freilegung nur noch eine Hälfte vorhanden gewesen ist. Die auf der Seite, mit dem Rücken zur Mauer liegende Frühgeburt⁴³⁶ zeigt eine Embryostellung mit leicht gestrecktem rechtem Arm. Der andere Arm liegt verkehrt herum, so dass hier



Abb. 103. Neumattstr. 11, 13, 15. Die Neonatenbestattungen Pos. 426 und 439 nordwestlich von Gebäude O. Unter der Ziegelplatte links aussen liegt Grab Pos. 469. Ansicht aus Nordosten.

von einer Störung ausgegangen werden muss. Genau unter dem Schädel des Kindes Pos. 439 liegt der Schädel von Individuum Pos. 468, das von der nachfolgenden Bestattung tangiert wird⁴³⁷. Dieses wohl auf dem Rücken bestattete Kind verstarb im Geburtsalter.

Noch älter ist das Grab des Individuums Pos. 469: Der Schädelbereich der Bestattung Pos. 468, die ihrerseits wie gesagt von Grab Pos. 439 überdeckt wird, liegt auf einer Ziegelplatte, die das Kindergrab Pos. 469 zudeckte. Dieses sich ebenfalls direkt an der Gebäudemauer befindende Grab ist im Vergleich zu den späteren Bestattungen Pos. 468 und Pos. 439 leicht nach Nordosten verschoben (Abb. 104). Das mit angezogenen Beinen und Armen auf seiner rechten Körperseite liegende Kind, ist jedoch gleich ausgerichtet wie die anderen beiden. Es handelt sich dabei um eine Frühgeburt. Der Deckziegel mit einem der seltenen DSP-Stempel liegt auf dem vorspringenden Mauerabsatz. Auf dem Niveau dieser Deckplatte gibt es in der Fläche noch weitere grosse Ziegelstücke, die aber vermutlich nicht zur Bestattung sondern zu einem Umbau des Steingebäudes gehören (Abb. 104).

Etwas abseits von diesen drei Gräbern befindet sich die Bestattung Pos. 426 (Abb. 103–104). Das ebenfalls in Embryostellung auf der rechten Seite liegende Kleinstkind verstarb – aufgrund der gemessenen Körperlänge – im Geburtsalter. Es wurde in einer Ziegelkiste beigesetzt. Über der Kiste sind Ziegelbruchstücke zu sehen, die von der Abdeckung stammen könnten. Aufgrund der stratigraphischen Lage dürfte es sich dabei um ein eher «spätes» Grab handeln; möglicherweise geht es zeitlich mit der Bestattung Pos. 439 zusammen, dem obersten der drei besprochenen Gräber Pos. 439, 468 und 469.

Nordwestlich von Bau P finden sich zwei Kinderbestattungen. Das unmittelbar an der Gebäudemauer liegende Grab Pos. 232 ist nicht mehr intakt und durch die Grube Pos. 238 gestört. Über die ursprüngliche Lage des Skeletts kann aus diesem Grund nichts mehr gesagt werden. Die



Abb. 104. Neumattstr. 11, 13, 15. Die Neonatenbestattungen Pos. 426, 439, 468 und 469 nordwestlich von Gebäude O. M. 1:40.

Messung an einem der Langknochen ergibt eine Körperlänge von 50–51 cm, was dem Geburtsalter entspricht. In der lockeren Füllung der Grube Pos. 238 haben wir zudem ein zerschlagenes Gefäß (Kat. 65) gefunden, das frühmittelalterlich sein könnte und möglicherweise mit der Kinderbestattung zu verbinden ist (vgl. Kap. III.2.3.4).

Nahe der Ecke zwischen der Gebäude- und der Hofmauer liegt eine sehr gut erhaltene Kinderbestattung (Pos. 367; Abb. 101). Die Körperlänge von 44–45 cm und das Verhältnis von Länge zu Breite am Basalknochen deuten auf eine Frühgeburt hin, bei der die inneren Organe noch nicht überlebensfähig ausgebildet waren. Das Skelett ruht auf der rechten Seite mit dem Rücken gegen die Mauer in typischer Embryostellung. Da die Grabgrube nur gerade 0,2 m lang ist, wurde die Frühgeburt vermutlich sehr «kompakt» bestattet (vgl. dazu unten Grab Pos. 202). Beim Skelett Pos. 367 haben wir zudem einige wenige Beinfragmente eines weiteren Individuums festgestellt, das wohl durch die jüngere Bestattung gestört wurde.

Völlig unerwartet ist ausserhalb der Gutshofmauer die Bestattung Pos. 202 zum Vorschein gekommen (Abb. 101). Wir vermuten aufgrund der Fundsituation – die Beine liegen auf dem Brustkorb und der linke Unterarm sehr eng auf dem Oberarm –, dass das Kind «kompakt» bestattet worden ist. Die Messungen am Basalknochen zeigen, dass innere Organe noch nicht lebensfähig entwickelt waren. Dieser Faktor, zusammen mit der unüblichen «kompakten» Deponierung des Kindes, spricht für eine Totgeburt, trotz der Körperlänge von 50–54 cm. Ein Rundziegel deckte das Grab zu. Das Skelett wurde zu einem späteren Zeitpunkt gestört. Nicht ganz geklärt ist, ob das Grab von dem in diesem Bereich stellenweise vorkommenden Dachversturz des Gebäudes überdeckt wird,

oder ob es diesen durchschlägt. Sollte letzteres der Fall sein, wäre die Bestattung in die Zeit nach dem Gebäudeabgang zu datieren, d.h. frühestens ins späte 3. Jh. Dazu würde passen, dass das Grab ausserhalb der Hofmauer liegt, die bei dessen Entstehung vermutlich nicht mehr intakt war.

Abgesehen von den genannten Gräbern finden sich verschiedentlich Hinweise auf weitere Bestattungen ausserhalb der Steingebäude. So ist in Feld 30, im gleichen Areal wie die oben erwähnten Bestattungen Pos. 439, 468 und 469, im ersten Abstich aus der Fläche das untere Ende eines linken Unterarms (Pos. 425) geborgen worden; mehr hat sich von diesem Skelett eines Neugeborenen nicht erhalten.

Nahe der südöstlichen Gebäudemauer von Bau P lassen sich vermutlich die Reste einer zweiten Bestattung in einer Ziegelkiste (Pos. 490) identifizieren. Erhalten ist davon nur noch ein flach mit den Leisten nach oben verlegter ganzer Ziegel und nordwestlich davon ein verbrannter stehender Ziegel. Von zwei weiteren möglichen Einfassungen sind nur noch die Leisten der Ziegel vorhanden. In der postulierten Kiste haben wir keinerlei Knochen gefunden.

3.2 Bestattungen in den Gebäuden

Im Gegensatz zu den Bestattungen ausserhalb der Gebäude können in den Bauten O und P selbst nur wenige Kindergräber beobachtet werden⁴³⁸. In Gebäude O ist ein 33–35 cm messendes Kind in Embryostellung, mit dem Rücken unmittelbar an der Gebäudemauer, bestattet worden. Es handelt sich um einen Fetus (Pos. 256). Vermutlich bettete man das Kind mit angezogenen Armen in Seitenlage entlang der Mauer ein.

In Gebäude P ist die Bestattung Pos. 567 in die Grabenfüllung Pos. 516 eingetieft, die ihrerseits von der Grube Pos. 497 angeschnitten wird. Deshalb sind der Schädel und alle Extremitäten vom Rumpf getrennt – die Beinknochen und zwei Schädelfragmente haben wir bis zu 0,3 m vom Rest der Bestattung entfernt gefunden. Wir vermuten aufgrund der noch *in situ* liegenden Knochen, dass das Kind in einer leicht seitlichen Lage mit angezogenen Armen und Beinen bestattet worden ist. Die Körperlänge von 55 cm und das Verhältnis von Länge zu Breite des Basalknochens zeugen von einem geburtsreifen Individuum, das aber nach wenigen Wochen verstorben sein muss.

An umgelagerten Knochen in den Gebäuden ist das Schienbein eines Fetus zu nennen (Pos. 567). Ausserdem ist das umgelagerte Skelett einer zweiten Frühgeburt oder eines sehr kleinen Neugeborenen gefunden worden⁴³⁹. Die Knochen liegen in der Füllung der oben erwähnten Grube Pos. 497. Es ist anzunehmen, dass die Grube das Grab stört.

3.3 Die früher beobachteten Kinderbestattungen an der Neumattstrasse

Im Innern von Gebäude F ist 1986 ein Neonatengrab angeschnitten worden, das möglicherweise bereits bei der

Errichtung des Gebäudes hier niedergelegt wurde⁴⁴⁰ (Abb. 101).

Im Jahr 2000 sind in der Testfläche im Innern von Gebäude P zwei Kinderskelette geborgen worden (Pos. 22)⁴⁴¹. Individuum 1 ist während oder kurz nach der Geburt gestorben, Individuum 2 hingegen im Alter von drei Monaten. Das Skelett von Kind 1 ist gestört, jenes von Kind 2 nur zu geringen Teilen erhalten. Die beiden Kinder wurden in einer Grube deponiert, die hergerichtet wurde, indem aus der obersten Fundamentlage der Mauer Steine herausgebrochen wurden, sodass eine Art Nische entstand. Da die Bestattungen gestört sind und die Grabgrube nur noch ca. 0,1 cm tief ist, vermuten wir, dass die Gräber bereits in römischer Zeit angeschnitten wurden und zwar möglicherweise im Zusammenhang mit dem Absenken des Innenniveaus⁴⁴².

3.4 Zusammenfassende Beobachtungen zu den Kindergräbern

In und um die drei Gebäude F, O und P an der Neumattstrasse sind über 20 Kindergräber entdeckt worden (Tab. 13)⁴⁴³. Die genaue Anzahl lässt sich nicht mehr ermitteln, da ausser den 19 sicheren Fällen noch vier Bestattungen hinzukommen, von denen nur einzelne Knochen vorliegen. Die Ziegelkiste Pos. 490 steht vermutlich für ein weiteres Kindergrab. Zählt man die Einzelknochen und die leere Ziegelkiste als eigenständige Bestattungen hinzu, dann sind im Areal insgesamt 24 Kindergräber nachgewiesen, was für Dietikon einem Zuwachs von knapp 100% gegenüber früheren Untersuchungen entspricht⁴⁴⁴. Davon wurden 17 Individuen ausserhalb der drei Gebäude bestattet und sieben im Innern.

Die meisten der bestatteten Kinder sind Frühgeburten oder aber im Geburtsalter verstorben. Nur wenige haben die Geburt um einige Wochen überlebt⁴⁴⁵. Das ältere der beiden in Gebäude P bestatteten Kinder (vgl. oben Pos. 22, Kap. III.3.3) verstarb im Alter von etwa drei Monaten; es ist damit das mit Abstand älteste Kleinstkind im untersuchten Gebiet⁴⁴⁶.

3.4.1 Lage, Grabform und Körperhaltung

Mit einer Ausnahme wurden alle Kindergräber unmittelbar neben den Gebäudemauern, in einem Abstand von weniger als 0,5 m angelegt (Tab. 13). Bei den im Jahr 2000 entdeckten Bestattungen im Innern von Gebäude P wurde sogar die oberste Fundamentlage der Mauer abgebrochen, um die Kinder in dieser Nische zu deponieren. Bei diesen «wandnahen» Bestattungen können drei Varianten unterschieden werden: 1) unmittelbar ausserhalb des Gebäudes, 2) nicht beim Gebäude selbst, aber an der Hofmauer, 3) im Innern des Gebäudes. Der grösste Teil davon befand sich ausserhalb der Gebäude, in deren unmittelbarem Umfeld (Abb. 101). Auf diese charakteristische Verteilung war schon früher hingewiesen worden⁴⁴⁷.

Die Lage an einer Wand wird oft mit einer Stelle bei *Fabius Planciades Fulgentius* verbunden, der in seinem um 500 n.Chr. entstandenen Werk «*Expositio sermonum antiquorum ad grammaticum Calcidium*» veraltete lateinische Wörter erklärt. Fulgentius berichtet nämlich unter dem Stichwort «*suggrundaria*» (Kap. 7), dass Kinder, die noch keine 40 Tage alt waren, früher unter dem Vordach des Hauses bestattet wurden⁴⁴⁸. Der Begriff dürfte von lat. *suggrunda/suggrundium* stammen, was mit Dachvorsprung oder Vordach übersetzt werden kann.

Ohne hier die ganze Thematik aufzurollen, sei nur darauf hingewiesen, dass auch im Mittelalter und der Neuzeit Kleinstkinder bisweilen unter der Dachtraufe von Gebäuden bestattet wurden⁴⁴⁹. Susi Ulrich-Bochsler hat sogar den Begriff des «Traufkindes» eingeführt. Auch wenn die Mehrzahl dieser Bestattungen unter den Vordächern von Kirchen lagen, sind sie auch bei profanen Bauten nachgewiesen. Die Lage unter den Dachtraufen von Wohnbauten wird damit erklärt, dass die Kinder dort von bösen Einflüssen geschützt seien⁴⁵⁰. Bei den Kirchen hingegen wird sie damit begründet, dass die Nähe nicht nur das (ungetaufte) Kind schütze sondern das herunterrinnende Wasser die Taufe der Kinder sozusagen nachhole⁴⁵¹.

Im Bereich der Vordächer sind in der Neuzeit aber nicht nur Kinder selbst bestattet worden, sondern auch die Nachgeburten⁴⁵². Zudem mussten im Kanton Uri «die Wöchnerinnen noch bis in die Mitte des 20. Jh. bis nach ihrem ersten Kirchenbesuch im Bereich der Dachtraufe» bleiben⁴⁵³. Die Dachtraufe bildete also in Zusammenhang mit der Geburt seit römischer Zeit offensichtlich eine wichtige Grenzlinie. Die innerhalb der römischen Gebäude liegenden Bestattungen dürften – analog zu den mittelalterlichen und neuzeitlichen Bestattungen – ebenfalls aus einem Schutzbedürfnis heraus hier angelegt worden sein.

Während die Nähe der Mauern für die Kinderbestattungen offenbar bestimmend war, sind an der Neumattstrasse nur wenige Gräber in Mauerecken beobachtet worden und zwar alle ausserhalb der Bauten (Abb. 101; Tab. 13).

Speziell sei hier nochmals auf das Grab Pos. 202 hingewiesen, das zwar bei Gebäude O liegt, allerdings jenseits der Hofmauer. Es ist dies die bisher einzige römische Bestattung in Dietikon ausserhalb des Gutshofareals⁴⁵⁴. Wir vermuten, dass das Kind dort bestattet wurde, als die Hofmauer bereits nicht mehr stand. Die nur lückenhaft erhaltene Stratigraphie lässt uns diesbezüglich leider im Unklaren (s. unten)⁴⁵⁵.

In der Regel waren die Kinder an der Neumattstrasse in einfachen Erdgruben bestattet. Zwei Grabgruben sind derart klein, dass angenommen werden muss, dass die Kinder «kompakt» bestattet wurden⁴⁵⁶. Bei einzelnen Beisetzungen bedeckte ein Ziegel das Grab – belegt sind zweimal Rund- (Pos. 202, 439) und zweimal Leistenziegel (Pos. 52, 469). In einem Fall wurde eine Kiste aus Leistenziegeln verwendet, worin man das Kind in Embryonalstellung bestattete⁴⁵⁷ (Abb. 103). Eine zweite, stark zerstörte solche Kiste enthält zwar keine Knochen, dürfte aber ebenfalls als Rest eines Grabs anzusprechen sein (Pos. 490).

Zur Lage der Körper ist zu sagen, dass wir die Kinder siebenmal in Embryostellung – seitlich liegend mit angezogenen Armen und Beinen – vorgefunden haben. Der Rücken war dabei der Mauer zugewandt. Es scheint, als wäre das Kind in den Schutz der Mauer gelegt worden. Die Lage auf der rechten Seite wurde dabei offenbar bevorzugt. Bestattungen in Rückenlage sind fünfmal belegt und damit etwas seltener als die Beisetzungen in Embryostellung⁴⁵⁸.

Sichere Beigaben lassen sich nicht anführen, auch wenn bei Grab Pos. 168 über der Bestattung eine Tierrippe lag. Nicht sicher zu einer Bestattung zugehörig ist ein Gefäss (Kat. 65, vgl. oben und Kap. III.2.3.5), das in einer Störung zusammen mit den Knochen des Kindes Pos. 232 geborgen worden ist.

3.4.2 Gab es Familienareale?

Die wohl 24 Gräber bei den Gebäuden F, O und P bedeuten für Dietikon wie gesagt eine Verdopplung der bisher bekannten Kinderbestattungen (Tab. 13). Auffallend ist zudem die Massierung der Befunde im hier untersuchten Gebiet. Sieht man einmal von den zehn, nur durch vereinzelt Knochen vertretenen Individuen in einer Planieschicht beim Gebäude C ab⁴⁵⁹, haben die bisher publizierten Gebäude maximal vier Bestattungen geliefert. Bei den Gebäuden F, O und P sind dagegen jeweils mindestens sieben Bestattungen nachgewiesen. Es ist anzunehmen, dass diese Verteilung auf unterschiedlichen Grabungsmethoden beruht, denn dort wo maschinell abgetieft wird, ist es praktisch unmöglich, eine Kinderbestattung zu erkennen.

Die grosse Zahl der Gräber in und bei den Gebäuden F, O und P mag auf den ersten Blick erstaunen. Im Verhältnis zu einer Belegungszeit von 200 Jahren, von der Errichtung der Steinbauten in flavischer Zeit (vgl. Kap. II.3.3) bis in die 2. Hälfte des 3. Jh., relativiert sich die Zahl allerdings deutlich: In diesem Zeitraum können zehn Generationen hier gelebt haben. Wenn wir nun einmal annehmen, dass sich jeweils zwei Familien⁴⁶⁰ ein Gebäude teilten, dann lebten in den Bauten F, O und P während der 200 Jahre schätzungsweise 60 Familien. Dies wiederum würde – rein statistisch gesehen – bedeuten, dass etwa ein Kleinstkind pro drei Familien verstarb⁴⁶¹.

Gerade die am selben Ort liegenden Bestattungen lassen an dieser zeitlichen Verteilung aber zweifeln und die These von «Familienarealen» aufkommen. Die besten Beispiele hierfür bieten die Bestattungen bei den Gebäuden F und O. In der Ecke zwischen Gebäude- und Hofmauer wurden beim Bau F, wie oben gezeigt, vier Kinder auf einer Fläche von rund 0,6 × 0,6 m bestattet (2 Individuen Pos. 54, je eines Pos. 66 und 67). Das jüngste Grab Pos. 54 hat die ältere, leicht versetzte Bestattung Pos. 67 dabei teilweise zerstört⁴⁶². Besonders interessant ist das Verhältnis von Grab Pos. 66 zu Pos. 67. Ein aufgestellter Ziegel trennte die beiden Individuen. Dieser ist aber erst deponiert worden, als die jüngere Bestattung Pos. 54 hier niedergelegt wurde, denn unter dem Ziegel haben wir vermischte Knochen von beiden Individuen gefunden. Falls die These

stimmt, dass die beiden unmittelbar nebeneinander liegenden Kinder Pos. 66 und 67 zusammen bestattet wurden, könnte dies bedeuten, dass es sich um Zwillinge handelte. Das postulierte unterschiedliche Sterbealter – Frühgeburt (Pos. 66) und Geburtsalter (Pos. 67) – spricht jedenfalls nicht unbedingt gegen eine solche These, da das Alter aufgrund der Messung der Körperlänge bestimmt worden ist.

Könnte man bei diesem Beispiel noch anführen, dass verschiedene Familien ihre verstorbenen Kinder in den gut wieder auffindbaren Mauerecken beigesetzt hätten, ist dies im Fall der drei Bestattungen nordwestlich von Gebäude O sicher auszuschliessen. Hier sind drei übereinanderliegende Bestattungen zu beobachten (Pos. 439, 468, 469; Abb. 104). Über einem ersten, mit einem Ziegel abgedeckten Grab folgt leicht versetzt ein zweites. Interessant ist nun, dass der Schädel des jüngsten Grabs genau über demjenigen des mittleren liegt. Dies kann kein Zufall sein. Man muss gewusst haben, dass hier bereits ein Kind bestattet worden war. Hierin erkennen wir den eindeutigen Beweis für einen Bestattungsplatz ein- und derselben Familie. Wenn diese den Standort der früher verstorbenen Kinder wiederfinden wollte, musste aber eine Grabmarkierung vorhanden sein⁴⁶³. Denn nicht einmal die eigene Familie hätte ohne eine solche die frühere Bestattung wiedergefunden – diese Gräber lagen ja «frei» neben der rund 9 m langen Gebäudemauer.

3.4.3 Die zeitliche Verteilung

Die kaum vorhandene Stratigraphie ausserhalb der Gebäude lässt leider meist keine konkreten Antworten zur Frage nach der zeitlichen Verteilung der Kindergräber zu. Die beobachteten Störungen einzelner Bestattungen durch jüngere Gräber lassen zwar eine Abfolge erkennen, die absolut-chronologisch aber keine Hilfe bietet. Das Problem der stratigraphischen Zuweisung besteht neben der lückenhaften Schichterhaltung auch darin, dass die Grabgrube – wenn keine Ziegelabdeckung vorliegt – gar nicht oder nur sehr schwer auszumachen ist. Das Grab wird erst als solches erkannt, wenn man auf die Knochen stösst.

Die älteste Bestattung ist vermutlich jene, die 1986 im Innern von Bau F gefunden worden ist – sie stammt möglicherweise noch aus der Bauzeit des Gebäudes, datiert also um oder nach der Mitte des 1. Jh. (s. oben). Ins spätere 1. oder ins 2. Jh. gehören wohl die beiden im Jahr 2000 erfassten Gräber in Gebäude P (Pos. 22)⁴⁶⁴. Das Grab Pos. 256 in Gebäude O kann hingegen relativ genau eingeordnet werden, denn es ist in die Benutzungsschicht Pos. 210/218 eingetieft, die ins späte 2. Jh. gehört. Überdeckt ist diese Bestattung vom Lehmboden Pos. 205, der im mittleren 3. Jh. angelegt wurde. Das Grab kann also in die 1. Hälfte des 3. Jh. datiert werden. Ins späte 2. oder in die 1. Hälfte des 3. Jh. gehören wahrscheinlich die Gräber Pos. 426, 439 und 490⁴⁶⁵. Die Bestattung Pos. 202 wurde möglicherweise erst nach der Zerstörung der Hofmauer angelegt⁴⁶⁶. Die postulierte frühmittelalterliche Datierung von Grab Pos. 232 müsste durch eine C14-Analyse bestä-

tigt werden. Die restlichen Bestattungen lassen sich zeitlich nicht genauer zuweisen, gehören aber sicher in den Zeitraum vom späten 1. bis in die 2. Hälfte des 3. Jh.

IV Die Fundmünzen der archäologischen Untersuchungen der Jahre 2000 bis 2006 (Luisa Bertolaccini)

1 Einleitung

Bei den Sondierungen und Ausgrabungen zwischen 2000 und 2006 sind insgesamt 37 numismatische Objekte zum Vorschein gekommen⁴⁶⁷. Es handelt sich dabei um 34 Fundmünzen, die einen Zeitraum von der römischen Republik bis zur Mitte des 4. Jh. abdecken. Eine weitere Münze datiert ins Jahr 1950, während zwei Rechenpfennige aus dem 16. respektive dem 18. Jh. stammen. 32 dieser numismatischen Objekte lassen sich genauer bestimmen, bei fünf Stücken ist die zweifelsfreie Zuweisung an einen Prägeherr oder eine Epoche nicht möglich bzw. nicht ganz gesichert. Bei drei Objekten handelt es sich um Imitationen.

Die Fundmünzen der früheren Ausgrabungen (1984–1990) und die daraus resultierende Münzreihe sowie die Altfunde hat seinerzeit Bettina Hedinger publiziert und numismatisch kommentiert⁴⁶⁸.

Bevor wir die eingehendere Analyse der neu geborgenen Münzen beginnen, sollen die einzelnen Fundorte aufgelistet werden (Abb. 113). Die Fundmünzen stammen:

- aus der Umgebung von Gebäude M, d.h. aus dem Umkreis des 1953 ausgegrabenen Tempels⁴⁶⁹
- aus Bau F⁴⁷⁰
- aus der Umgebung von Bau F
- aus Bau O
- aus der Umgebung von Bau O und F
- aus dem Vorplatz zu Bau O
- aus Bau P
- aus der Umgebung von Bau P
- aus der Umgebung von Bau N

Die Gebäude F, O und P liegen alle an der nordöstlichen Umfassungsmauer, während Bau N im südwestlichen Teil der Anlage situiert ist und dort ebenfalls an die Begrenzungsmauer anschliesst. Alle Bauten gehören zur *pars rustica* des Gutshofs.

| Fundort | Prägeherr/Hersteller | Nominal | Prägestätte | Datierung | Bemerkungen | Kat.-Nr. |
|------------------------|-----------------------------|---------------|-------------|-----------|------------------|----------|
| Umgebung von Gebäude M | Tiberius für Divus Augustus | As | Roma | 22/23 | – | M1 |
| | Tiberius für Divus Augustus | As | Roma | 22/23 | Feilspuren | M2 |
| | Tiberius für Divus Augustus | As | Roma | 22/23 | – | M3 |
| | Trajanus | As | Roma | 103–117 | Einhiebe auf Vs. | M4 |
| | Severus Alexander | Dupondius | Roma | 223 | – | M5 |
| | Gallienus | Antoninianus | unbestimmt | 260–268 | – | M6 |
| | Gallienus | Antoninianus | unbestimmt | 260–268 | – | M7 |
| | Postumus | Antoninianus | unbestimmt | 260–261 | – | M8 |
| | Tacitus | Antoninianus | Roma | 275–276 | – | M9 |
| | unbestimmt | Antoninianus | unbestimmt | 3. Jh. | – | M10 |
| | Anonym | Rechenpfennig | Nürnberg | 1500–1585 | – | M11 |
| | J. A. Dorn | Rechenpfennig | Nürnberg | 1768–1783 | – | M12 |

Abb. 105. Zusammenstellung der Prägungen aus der Umgebung von Bau M.

| Fundort | Prägeherr | Nominal | Prägestätte | Datierung | Bemerkungen | Kat.-Nr. |
|------------------------|-----------------------------------|--------------------|-------------|-----------|-------------|----------|
| Umgebung von Gebäude N | Marcus Aurelius für Lucius Verus? | Dupondius oder As? | Roma | 163–164? | halbiert | M13 |
| | BRD | Pfennig | Hamburg | 1950 | Streufund | M14 |

Abb. 106. Zusammenstellung der Prägungen aus der Umgebung von Bau N.

| Fundort | Prägeherr | Nominal | Prägestätte | Datierung | Bemerkungen | Kat.-Nr. |
|-----------|------------|--------------|-------------|-----------|----------------------------------|----------|
| Gebäude F | Caius | Quadrans | Roma | 39 | gelocht | M15 |
| | Gallienus | Antoninianus | Roma | 260–268 | gelocht? leichte Brandspuren? | M16 |
| | Gallienus | Antoninianus | unbestimmt | 260–268 | verbrannt? verbogen | M17 |
| | Aurelianus | Antoninianus | Mediolanum | 270–275 | leichte Brandspuren? | M18 |

Abb. 107. Zusammenstellung der Prägungen aus Bau F.

Zu den Gebäuden M und F sind einige Prägungen vorhanden, die bereits während der Grabungskampagnen des 20. Jh. geborgen wurden. Diese älteren Funde werden ebenfalls in die Auswertung mit einbezogen.

Wie aus dem Katalog und aus Tab. 14 hervorgeht, ist eine eindeutige Häufung bei den Fundstücken aus dem 3. Jh. feststellbar. Zu den frühen Stücken gehören nebst einem vielleicht republikanischen As (M22) vorwiegend Prägungen aus der ersten Hälfte des 1. Jh. n.Chr. (M1–M3, M15, M19–M20, M23–M25, M32). Aus dem 2. Jh. stammen – ausser je einem unter Trajanus (98–117; M4) und unter Hadrianus (117–138; M27) geprägten Stück – fünf Münzen (M13, M28–M30, M33), die den Antoninen zugeschrieben werden können. 13 Fundstücke, d.h. gut 35% der Gesamtmenge, lassen sich dem 3. Jh. zuweisen.

2 Die Fundmünzen nach Fundort gegliedert

2.1 Die Funde aus der Umgebung von Gebäude M («Tempel 1953»)

Die 1953 geborgenen Funde aus dem Tempel stammen offenbar aus dem innersten Teil des Gebäudes. Ein As des Nerva (96–98) und ein Antoninian des Valerianus (253–260) kamen augenscheinlich bei der Reinigung des Kalkbodens in diesem innersten Teil zu Tage. Ein As des Marcus Aurelius (161–180) befand sich laut den Ausführungen im Grabungstagebuch unterhalb dieses Kalkbodens⁴⁷¹. Die Keramikfunde aus den Untersuchungen von 1953 verweisen auf eine Nutzung des Gebäudes bis eventuell nach der Mitte des 3. Jh. Abgesehen von den beiden Rechenpfennigen aus dem 16. bzw. 18. Jh. (M11–M12) unterstützen die neu geborgenen Münzen aus der Umgebung von Gebäude M diese Interpretation, selbst wenn sie aus umgelagerten Schichten stammen. Wie der Tabelle Abb. 105 zu entnehmen ist, gehört die Hälfte der zwölf neu geborgenen Fundstücke in das 3. Jh. Die Mehrheit der geborgenen Funde ist in der Prägestätte Rom hergestellt worden.

Das 1. Jh. war bisher mit einer Prägung des Nerva vertreten. Nun zeigt sich, dass durch den Fund der drei Asse des Tiberius (14–37) vom Typ Providentia (M1–M3) in der Umgebung von Bau M Stücke nachgewiesen sind, die in der ersten Hälfte des Jahrhunderts hergestellt wurden.

Das Problem mit der Prägung des Nerva liegt vor allem in ihrem Fundort begründet. Sollten die Angaben aus dem Grabungstagebuch tatsächlich zutreffen, haben wir auf dem Kalkboden im Innern des Gebäudes ein Stück aus dem ausgehenden 1. Jh., während sich unter demselben Boden ein Gepräge aus der zweiten Hälfte des 2. Jh. befand. In der Auswertung von 1995 wurde dieser Umstand nicht genauer erläutert, wohl aufgrund der zum Teil mangelhaften Dokumentation der Ausgrabung von 1953. Dennoch besteht hier ein Widerspruch, der, im Moment zumindest, nicht aufgelöst werden kann.

2.2 Die Funde aus der Umgebung von Gebäude N

In der Umgebung von Gebäude N ist eine halbierte Aes-Prägung (M13) aus dem 2. Jh. auszumachen (Abb. 106). Die Halbierung ist insofern erstaunlich, als sich dieses Phänomen vorwiegend auf die erste Hälfte des 1. Jh. beschränkt. Nur ganz vereinzelt sind spätere Münzen aus unedlem Metall geteilt worden⁴⁷². Die Münze stammt aus dem frühmittelalterlichen Grubenhaus Pos. 97, ist also sicher umgelagert⁴⁷³. Beim Pfennig aus der Mitte des 20. Jh. (M14) handelt es sich um einen Streufund.

2.3 Die Funde aus dem Gebäude F

Bei Gebäude F lässt sich eine Betonung des 3. Jh. und zwar wiederum der zweiten Hälfte des Jahrhunderts feststellen (Abb. 107). Erstaunlich ist vielleicht die Präsenz eines Quadrans des Gaius (M15), sind doch die Quadranten nördlich der Alpen eher selten im Fundgut anzutreffen. Dies ist auf die unbedeutende Rolle zurückzuführen, die das Nominal im Geldumlauf dieser Region spielte⁴⁷⁴.

2.4 Die Funde aus der Umgebung von Gebäude F bzw. von Gebäude F oder O

In der Umgebung von Gebäude F zeigt sich durch den Nemausus-As der I. Serie (M19) wiederum die Präsenz einer Prägung aus dem 1. Jh. Gemäss den Analysen des Geldumlaufs konnte dieser Typ durchaus in der ganzen

| Fundort | Prägeherr | Nominal | Prägestätte | Datierung | Bemerkungen | Kat.-Nr. |
|--------------------------|-----------------------------------|---------|-------------|-------------|--------------------------|----------|
| Umgebung von Gebäude F | Augustus für Augustus und Agrippa | As | Nemausus | 12–8 v.Chr. | – | M19 |
| Umgebung von Gebäude F/O | Nero? | As | Roma? | 64–68 | geloht, Einhiebe auf Rs. | M20 |
| | Severus Alexander | Denar | Roma | 227 | verbrannt | M21 |

Abb. 108. Zusammenstellung der Prägungen aus der Umgebung der Gebäude F und O.

| Fundort | Prägeherr | Nominal | Prägestätte | Datierung | Bemerkungen | Kat.-Nr. |
|-----------|-------------------------------------|-----------|-------------|-----------|----------------------|----------|
| Gebäude O | Claudius | As | Roma | 41–54 | Brandspuren | M25 |
| | Vespasianus | Dupondius | Lugdunum | 71 | – | M26 |
| | Hadrianus | Sesterz | Roma | 117–138 | verbrannt | M27 |
| | Antoninus Pius? | Sesterz | Roma | 138–161 | verbrannt | M28 |
| | Marcus Aurelius für Faustina II | Sesterz | Roma | 161–176 | leichte Brandspuren? | M29 |
| | Marcus Aurelius für Commodus Caesar | Sesterz | Roma | 179 | – | M30 |
| | Philippis I Arabs | Sesterz | Roma | 244–249 | – | M31 |

Abb. 109. Zusammenstellung der Prägungen aus Bau O.

| Fundort | Prägeherr | Nominal | Prägestätte | Datierung | Bemerkungen | Kat.-Nr. |
|------------------------|----------------|---------|-------------|------------------|--|----------|
| Vorplatz von Gebäude O | Rom, Republik? | As? | Roma | 2.–1. Jh. v.Chr. | halbiert; verbrannt? | M22 |
| | (Claudius) | As | (Roma) | (41–50/54) | Imitation; geloht, Öse und Kettenglieder vorhanden | M23 |
| | (Claudius) | As | (Roma) | (41–50/54) | Imitation | M24 |
| Umgebung von Gebäude O | (Augustus) | As | (Lugdunum) | (7–3 v.Chr.) | Imitation | M32 |

Abb. 110. Zusammenstellung der Prägungen aus der Umgebung von Bau O.

| Fundort | Prägeherr | Nominal | Prägestätte | Datierung | Bemerkungen | Kat.-Nr. |
|------------------------|---------------------------------------|---------|-------------|-----------|---------------------|----------|
| Gebäude P | Marcus Aurelius | Sesterz | Roma | 170–171 | Drehspuren auf Rs.? | M33 |
| | Gordianus III. | Sesterz | Roma | 240–244 | verbrannt | M34 |
| | Gordianus III. | Sesterz | Roma | 240–244 | – | M35 |
| | Constantinus I. für Constantinssöhne? | Aes 4 | unbestimmt | um 330? | aus Sondierung | M36 |
| Umgebung von Gebäude P | Gordianus III. | Sesterz | Roma | 238–239 | Brandspuren | M37 |

Abb. 111. Zusammenstellung der Fundmünzen aus und um Bau P.

ersten Hälfte des 1. Jh. n.Chr. zirkuliert haben. Zudem gehört der einzige geborgene Denar in diesen Kontext. Erneut fällt auf, dass zwei der drei Münzen in der Prägestätte Rom hergestellt wurden (Abb. 108).

2.5 Die Funde aus Gebäude O

Vier der sieben aus Gebäude O geborgenen Münzen sind dem 2. Jh. zuzuschreiben (M27–M30). Zwei Exemplare vertreten das 1. Jh. (M25–M26), während ein Stück (M31) in die erste Hälfte des 3. Jh. zu datieren ist (Abb. 109). Erneut überwiegt Rom als Prägestätte.

2.6 Die Funde vom Vorplatz und aus der Umgebung von Gebäude O

Auf dem Vorplatz von Bau O finden sich nur Funde aus der frühen Kaiserzeit (Abb. 110). Der vielleicht republikanische As (M22) ist sehr schlecht bestimmbar, passt aber von der Umlaufzeit her ebenfalls in die erste Hälfte des 1. Jh. n.Chr. Interessant ist zudem, dass es sich bei drei von vier geborgenen Münzen (M23, M24, M32) um Imitationen handelt. Sowohl die in der Umgebung von Gebäude O geborgene Imitation eines augusteischen Lugdunum-Asses der ersten Serie (M32), als auch die beiden Imitationen der claudischen Minerva-Asse (M23, M24) gehören zu jenen Typen aus der julisch-claudischen Zeit, die sehr häufig nachgeahmt wurden und in unserer Region zirkulierten.

2.7 Die Funde aus dem Gebäude P bzw. aus dessen Umgebung

In Gebäude P und dessen unmittelbarem Umfeld wiederholen sich zwei bereits beobachtete Eigenheiten dieser Neufunde: Einerseits ist die Mehrheit der geborgenen Fundstücke dem 3. Jh. (M34, M35, M37) zuzuordnen, andererseits stammen diese meist aus der Prägestätte Rom (Abb. 111).

3 Nominalstruktur

Wie nicht anders zu erwarten, handelt es sich bei den Prägungen aus der Republik bzw. dem 1. Jh. mit Ausnahme eines Quadrans (M15) vorwiegend um Asse (M1–M3, M19–M20, M22–M25, M32).

Im 2. Jh. überwiegen Sesterze (M27–M30, M33), was ebenfalls dem gängigen Bild entspricht. Auffallend ist höchstens die grosse Präsenz von späten Sesterzen und Antoninianen, wobei die Antoniniane erwartungsgemäss vor allem in der zweiten Hälfte des 3. Jh. anzusiedeln sind, da sie ab diesem Zeitpunkt den Geldumlauf dominierten. Dennoch zirkulierten die Sesterze in der zweiten Hälfte des Jahrhunderts sicher noch⁴⁷⁵. Wie bereits in der Aus-

wertung von 1995 angemerkt⁴⁷⁶, könnte dies auf eine Korrelation bzw. Wertberichtigung hindeuten, bei der im 3. Jh. das Verhältnis zwischen Sesterzen und Antoninianen neu definiert wurde, womit erstere ein wichtiger Bestandteil des Geldumlaufs blieben. Zudem ist in dieser Zeit mit einem Mangel an Aes-Münzen zu rechnen, was ein weiterer Grund für die lange Umlaufzeit der Stücke sein kann⁴⁷⁷.

Die Funde aus den Untersuchungen der Jahre 1984–1990 zeigen eine deutliche Häufung von Antoninianen. Die Prägungen aus dem 3. Jh. machen dort rund 69% der gesamten Fundmenge aus; bei den neuen Funden beträgt ihr Anteil nur ca. 22%.

4 Prägeherrschaften und Prägestätten

Wie aus der Zusammenstellung in Tab. 14 hervorgeht, sind seit dem Jahr 2000 vorwiegend Gepräge aus der Münzstätte Rom geborgen worden. 54% der Fundstücke können zweifelsfrei diesem Prägeort zugewiesen werden. Für das 2. Jh. ist dies nicht weiter überraschend, jedoch scheint sich dieser Trend im 3. Jh. fortzusetzen. Selbstverständlich überwiegen für das 3. Jh. denn auch Prägeherren des Zentralreichs. Werden die Münzen aus den früheren Ausgrabungen (1984–1990) hinzugenommen, ändert sich aber dieses Bild. Zwar lassen sich bei diesen Funden ebenfalls 55% der Stücke mit Bestimmtheit der Münzstätte Rom zuweisen, doch verteilen sich die restlichen 45% sowohl auf Herstellungsorte im Osten des Imperiums als auch auf jene des Gallischen Sonderreichs. Zudem lassen sich für die Stücke aus dem Zentralreich verschiedene Prägestätten ausmachen.

Dasselbe gilt für die Prägeherren, die sowohl dem Zentralreich als auch dem Gallischen Sonderreich zuzurechnen sind⁴⁷⁸. Die Dominanz der Prägestätte Rom bei diesen Funden lässt sich mit der doch grossen Anzahl (18%) an Stücken aus dem 2. Jh. erklären, die fast ausschliesslich in der Hauptstadt geprägt wurden. Hinzu kommen die umfangreichen Funde an Antoninianen, von denen etwa 38% wiederum auf Rom entfallen.

Bei den neuen Funden beläuft sich der Anteil der Prägungen aus dem 2. Jh. auf ca. 19%, was trotz ihrer geringeren Anzahl in etwa dem Prozentsatz der 1995 vorgelegten Fundmünzen entspricht.

Im Lauf der jüngeren archäologischen Untersuchungen sind weit weniger Antoniniane geborgen worden. Dabei ist allerdings anzumerken, dass sich nur drei Stücke überhaupt einer Prägestätte zuweisen lassen, zwei davon jener von Rom. Die herausragende Vertretung dieser Münzstätte bei den hier behandelten Funden beruht auf der Tatsache, dass eine grosse Menge an Münzen vorhanden ist, für die wegen ihrer Zeitstellung im Grunde nur Rom als Herstellungsort in Frage kommt. Dies zeigt auf, wie irreführend zuweilen Resultate sein können, die auf kleinen Stückzahlen bzw. beschränkten Datenmengen basieren. Rein zufällige Konzentrationen können in diesen Fällen das Gesamtbild erheblich verfälschen.

5 Imitationen

Wie bereits im Fundaufkommen aus den archäologischen Ausgrabungen der Jahre 1984–1990 sind erneut Imitationen vertreten. Diese beschränken sich nun auf die frühe Kaiserzeit und namentlich auf die Massenemissionen des Augustus (M32) und vor allem des Claudius (M23–M24). Es fällt auf, dass von den fünf Stück, die sich der ersten Hälfte des 1. Jh. zuschreiben lassen, deren drei Imitationen sind.

Anders als bei den älteren Funden lassen sich in diesem Bestand keine Nachahmungen von Münzen aus dem 3. Jh. feststellen⁴⁷⁹. Hybride Prägungen oder solche mit Gegenstempel sind ebenfalls nicht vorhanden.

6 Halbierungen

Nebst dem As (M22), der aufgrund der Beschaffenheit des Schrötlings wahrscheinlich in die Zeit der Republik datiert, ist auch ein Sesterz aus dem 2. Jh. (M13) halbiert. Anders als noch in der Auswertung von 1995 vermerkt, kann nun auch für Dietikon ein solches Exemplar angeführt werden⁴⁸⁰.

Einige Halbierungen dieses Nominals wurden bereits auf dem Üetliberg bei Zürich geborgen⁴⁸¹. Halbierte Sesterze dieser Zeitstellung kommen in Fundzusammenhängen der Ostschweiz, wenn auch in geringer Zahl, immer wieder vor. Einerseits ist eine Erklärung für dieses späte Wiederaufleben der Teilung von Münzen vermutlich – wie übrigens auch im 1. Jh. – in einer Unterversorgung mit Prägungen aus unedlem Metall zu suchen. Andererseits kann diese Kleingeldknappheit womöglich auf den gestiegenen Wert der Sesterze zurückgeführt werden. Wie Untersuchungen von Hortfunden im Zentrum des Kaiserreichs und an seiner nördlichen Peripherie gezeigt haben⁴⁸², wurden ab Trajanus (98–117) zahlreiche Horte angelegt, die ausschliesslich Münzen aus unedlem Metall enthielten. Eine der Thesen lautet denn auch, dass diese einen weitaus sichereren Wert dargestellt hätten als die laufend abgewerteten Silbermünzen und diese Aes-Prägungen deshalb dem Umlauf entnommen wurden. Dieser Umstand könnte die bereits eingeschränkte Versorgung durch die Prägestätten verschlimmert und die Knappheit an Aes-Münzen weiter verschärft haben.

7 Münzen mit Brandspuren

Elf der geborgenen Stücke oder knapp 30% der Münzfunde weisen Brandspuren auf (Abb. 112). Diese Münzen verteilen sich auf die Gebäude F, O und P bzw. auf deren Umgebung sowie auf den Vorplatz von Bau O.

Bei Bau F überrascht dieser Befund nicht allzu sehr, sind doch im Innern mehrere Feuerstellen nachgewiesen⁴⁸³. Zudem sind die baulichen Veränderungen, die um die Mitte des 3. Jh. datiert werden, möglicherweise im Anschluss an eine Feuersbrunst erfolgt⁴⁸⁴. Nach jetzigem Kenntnisstand wurde das Gebäude mit den darin enthaltenen Öfen im letzten Viertel des 3. oder Anfang des 4. Jh. verlassen.

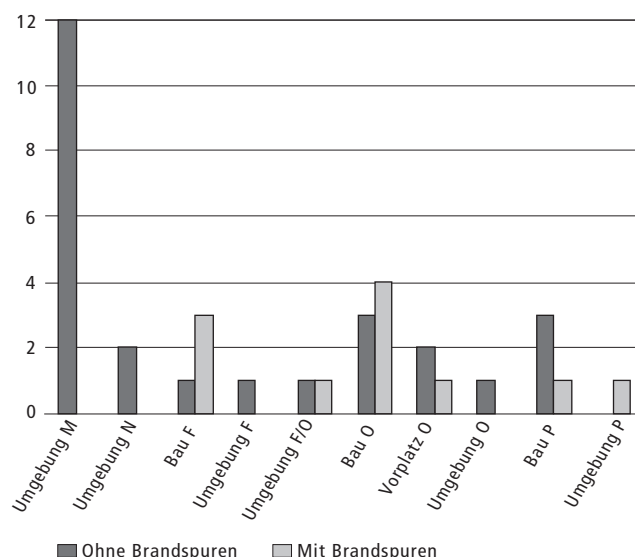


Abb. 112. Zusammenstellung nach Fundort der Stücke mit und ohne Brandspuren.

Bei Bau O gehören die vier Stücke mit Brandspuren, ausgenommen ein As des Claudius (M25), alle in die zweite Hälfte des 2. Jh. Im nordwestlichen Bereich dieser Struktur konnten ebenfalls Ofenanlagen und eine Feuerstelle nachgewiesen werden, die zu Phase O4 gehören und durch keramische Funde sowie Beobachtungen zur Bauabfolge in das mittlere 3. Jh. angesetzt werden⁴⁸⁵. Das Gebäude wurde im letzten Viertel des 3. Jh. durch einen Brand zerstört, was wiederum an Hand von keramischem Material ermittelt werden konnte⁴⁸⁶. Vor allem zwei der drei Sesterze (M27–M28) passen sehr gut zu dieser Datierung, da sie deutliche Zirkulationsspuren aufweisen.

Aus der Umgebung der Bauten F oder O tragen ein Denar des Severus Alexander (222–235; M21) sowie ein halbiertes, wohl republikanischer As (M22) vom Vorplatz von Bau O Brandspuren.

Zwei Sesterze des Gordianus III (238–244), einer (M34) wahrscheinlich aus dem Innern von Gebäude P und ein zweiter (M37) aus dem Aussenbereich desselben, sind ebenfalls verbrannt. Aus dem verbrannten Ziegelschutt der Phase P5⁴⁸⁷ stammt ein Sesterz (M33), der allerdings keinerlei Brandspuren zeigt.

8 Erhaltungszustand und Geldumlauf

Vier Münzen sind gelocht, sie stammen alle aus den Gebäuden F und O bzw. aus deren Umgebung. Die Lochung ist als Hinweis auf eine Zweitverwendung als Anhänger zu werten. Zweifelsfrei lässt sich dies zwar nur bei einem Stück behaupten, einer Imitation eines claudischen Minerva-Asses (M23) vom Vorplatz zu Bau O, bei dem einige Kettenglieder und die Öse der Kette erhalten geblieben sind.

Mit Ausnahme eines Antoninians des Gallienus (253–268; M16) handelt es sich bei den gelochten Exempla-

ren ausschliesslich um Münzen aus der ersten Hälfte des 1. Jh. Wegen der Zweitverwendung eignen sie sich nur beschränkt für eine genauere zeitliche Eingrenzung der archäologischen Befunde. Die Entstehungszeit der Prägungen spielt für die Argumentation keine Rolle mehr, da nicht ermittelt werden kann, ab welchem Zeitpunkt die Münzen dem Umlauf entnommen worden sind.

Weiter zeigen ein Providentia-As des Tiberius (M2) sowie ein Sesterz des Marcus Aurelius (M33) Feil- bzw. Drehspuren. Diese Nachbearbeitungen könnten ein Indiz dafür sein, dass diese Stücke ebenfalls nicht mehr zirkulierten, sondern vielleicht als Spielsteine Verwendung fanden. Deshalb ist bei einer chronologischen Argumentation, die auf diese beiden Fundstücke zurückgreift, ebenfalls Vorsicht geboten. Für Überlegungen zum Geldumlauf und zur Datierung erweist sich die Beurteilung der Abgegriffenheit der jeweiligen Stücke als weitaus ergiebiger (Tab. 14).

Erstaunlich ist die sehr gute Erhaltung einer ganzen Reihe von Sesterzen aus dem 3. Jh., mit Ausnahme eines Sesterz des Gordianus III (M37). Diese eindeutig wenig zirkulierten Stücke stehen einer Anzahl von Sesterzen aus dem 2. Jh. gegenüber, die eine wesentlich grössere Abnutzung aufweisen. Wie aus unterschiedlichen Untersuchungen hervorgeht⁴⁸⁸, sind jene Aes-Prägungen, die nach der im Jahr 103 n.Chr. durch Trajanus erfolgten Reform hergestellt wurden, im Schnitt deutlich abgenutzt, als jene vor dieser Reform. Eine Veränderung in der Zusammensetzung der Legierung, die erstere anfälliger für Berührungen werden liess, konnte zwar nachgewiesen werden, doch ist dieser Faktor weit weniger entscheidend als zunächst vermutet⁴⁸⁹.

Gerade in Augst hat sich gezeigt, dass Münzen aus unedlem Metall aus der Zeit nach 103 n.Chr. immer wieder in keramikdatierten Komplexen des 2., aber auch des 3. Jh. vorkamen⁴⁹⁰. Obwohl es sich bei *Augusta Raurica* um eine Kolonie, d.h. um eine Siedlung und nicht um einen Gutshof handelt, die zudem im Nordwest-Teil der heutigen Schweiz liegt, ist dieser Fundort ein wichtiger Referenzpunkt. Seine grosse Fundmenge, die chronologische Verteilung über die gesamte römische Epoche und die vielen keramikdatierten Komplexe bieten eine seriöse Basis für statistische Auswertungen und vergleichende Analysen, die Aufschlüsse über die Zirkulation der Münzen geben können.

Deutliche Zirkulationsspuren lassen sich zudem bei allen Prägungen aus dem 1. Jh. und dem wohl republikanischen As (M22) feststellen – eine Tatsache, die wiederum auf eine lange Umlaufzeit dieser Stücke hindeutet. Ebenfalls abgegriffen sind zwei Antoniniane des Gallienus (M16–M17) aus dem Gebäude F.

Auffällig mögen auf den ersten Blick vielleicht die Lücken in der Münzreihe sein. Vieles lässt sich mit den doch schwierigen örtlichen Verhältnissen, den zahlreichen nachrömischen Umnutzungen sowie den teilweise nachgewiesenen Rinnen der Reppisch erklären. Es ist demnach denkbar, dass römische Münzen vorhanden waren, die durch die späteren Umnutzungen zunächst verlagert wurden und anschliessend aufgrund weiterer baulicher Massnahmen in einen anderen Teil des Areals gelangten. Das

Gelände des Gutshofs ist nach wie vor nur partiell archäologisch untersucht.

Die Lücke zwischen den späten Antoninianen vor allem aus der Umgebung von Bau M und dem Stück aus constantinischer Zeit bei Bau P, d.h. das gänzliche Fehlen von Prägungen der ersten Tetrarchie, ist geldgeschichtlich bedingt. Denn nach der Reform unter Aurelianus im Jahr 274 reduzierte sich der Ausstoss an Münzen nachweislich⁴⁹¹.

9 Die Münzfunde im archäologischen Kontext

9.1 Gebäude M («Tempel 1953»)

Auf die Problematik der drei Altfunde aus dem Innern des Tempels wurde bereits hingewiesen (Kap. IV.2.1)⁴⁹². In der Umgebung von Gebäude M sind bei den neuen Untersuchungen überraschenderweise drei Providentia-Asse des Tiberius (M1–M3) ans Licht gekommen. Sie scheinen, im Vergleich zu den übrigen Prägungen, viel zu früh anzusetzen zu sein.

Die Asse vom Typ Providentia gehören zu den Massenemissionen des 1. Jh. und laufen sicher bis mindestens in neronischer Zeit um. Allerdings lässt sich an verschiedenen Orten feststellen, dass diese Stücke offenbar nur sehr langsam aus dem Geldumlauf verschwanden. Vereinzelt finden sie sich sogar in Komplexen des 3. Jh. wieder⁴⁹³. Die drei Asse aus Gebäude M zeigen deutliche Zirkulationsspuren. Es könnte sich demnach auch in Dietikon um Exemplare mit langer Umlaufzeit handeln. Dafür spricht, dass M2 zudem deutliche Feilspuren, also Zeichen einer Zweitverwendung, aufweist. Die Providentia-Asse können daher nicht als Beweis für die Präsenz eines hölzernen Vorgängerbaus angeführt werden⁴⁹⁴. Der Tempel wird aufgrund des Asses des Marcus Aurelius, der in den Unterlagen zur Ausgrabung von 1953 erwähnt ist, in die Mitte des 2. Jh. angesetzt.

Die sechs Münzen aus dem 3. Jh. (M5–M10) stammen ebenfalls aus umgelagerten Schichten und weisen deshalb nur auf eine römische Präsenz ab dem späten 3. Jh. hin⁴⁹⁵. Der abgegriffene As des Trajanus (M4) passt zur Zeitstellung jenes des Marcus Aurelius, der im Grabungstagebuch von 1953 genannt wird.

Die beiden Rechenpfennige (M11–M12) aus dem 16. respektive 18. Jh. verweisen auf eine Nutzung in der Neuzeit, die auch anhand von keramischem Material nachweisbar ist, sowie auf die sehr schwierige Befundsituation im Bereich von Gebäude M⁴⁹⁶.

Der Vergleich mit Gebäude G, dem zweiten als Tempel identifizierten Bau, lässt Parallelen erkennen, obwohl dort mit über 60 Münzen wesentlich mehr numismatische Objekte geborgen werden konnten⁴⁹⁷. Im Innern kamen spätrepublikanische Prägungen zum Vorschein, während die Münzreihe in der ersten Hälfte des 4. Jh. mit Stücken endet, die unter Constantinus (306–337) oder seinen Söhnen geprägt wurden. Es lassen sich wiederum zwei Häufungen feststellen: Eine erste mit Geprägten des 2. Jh. und erneut eine deutlich ausgeprägte Spitze in der zweiten Hälfte des

3. Jh. Einige wenige Stücke stammen von Prägeherren aus dem Gallischen Sonderreich. Die Prägestätte Rom ist für das Zentralreich zwar prominent, aber nicht ausschliesslich vertreten.

9.2 Zu den Funden in der Umgebung von Gebäude N

Die beiden geborgenen Münzen eignen sich nur bedingt für eine Auswertung. Der Pfennig aus der Mitte des 20. Jh. (M14) ist ein Streufund, die Aes-Prägung des Marcus Aurelius (M13) stammt aus einem frühmittelalterlichen Grubenhäus und kann angesichts der starken Zirkulationsspuren bis weit in das 3. Jh. hinein reichen, ist aber aufgrund der Fundsituation ebenfalls ein umgelagerter Fund.

9.3 Funde aus Bau F

Der Quadrans des Caius (37–41; M15) kommt aus einer Siltplanie (Pos. 19) über der ersten Benutzungsschicht (Pos. 23), die aufgrund von Beifunden in die flavische Zeit datiert wird. Es ist durchaus denkbar, dass die Prägung des Caius ursprünglich aus dieser ersten Schicht stammt und erst nachträglich in die Siltplanie gelangte.

Die beiden Antoniniane (M17–M18) aus Pos. 3 weisen Brandspuren auf und stammen aus einer Versturzschiicht. Sie bieten damit als *terminus post quem* einen Hinweis für das Auflassen des Gebäudes ab dem letzten Viertel des 3. Jh. In diesen Zerstörungsschichten der Phase F3 konnte ausser den Münzen nur wenig weiteres Fundmaterial sichergestellt werden⁴⁹⁸. Ausserhalb des Gebäudes gab es nicht nur Münzen, sondern auch Kleinfunde aus constantinischer Zeit, sodass sich die Frage nach dem Verhältnis zwischen diesen Funden und den Zerstörungsschichten der Phase F3 stellt. Die beiden Münzen aus dem 3. Jh. würden einer längeren Umlaufzeit jedenfalls nicht widersprechen⁴⁹⁹.

9.4 Umgebung Gebäude F bzw. F/O

Der As (M20), der vermutlich Nero (54–68) zuzuschreiben ist, entstammt der neuzeitlichen Auffüllschicht Pos. 2 und muss als verlagertes Fund gelten⁵⁰⁰. Der Denar des Severus Alexander (M21), übrigens der einzige dieser Münzreihe, verweist höchstens darauf, dass während der ersten Hälfte des 3. Jh. gerade dieses Nominal an verschiedenen Fundorten eine markante Präsenz aufweist und demnach von einem relativ grossen Ausstoss dieses Typs ausgegangen werden kann. Somit wäre sein Auftreten nichts Ungeöhnliches.

9.5 Gebäude O

Der As des Claudius (M25) fand sich wiederum in einer Mischschicht, die römisches bis neuzeitliches Material enthielt, demnach ist er ebenfalls ein umgelagerter Fund.

Der Sesterz des Marcus Aurelius für Commodus (M30) stammt aus Pos. 214, einem Lehmbooden, der durch seine Verbindung mit der Ofenanlage Pos. 229/237 der Phase O4 ins mittlere 3. Jh. anzusetzen ist⁵⁰¹. Die deutlichen Zirkulationsspuren des Sesterzen sprechen nicht gegen eine lange Umlaufzeit, womit dieses Stück durchaus noch zum Geldumlauf des 3. Jh. gehört haben kann.

Aus der Lehm-packung Pos. 236, die als Gelniveau zu der oben erwähnten Ofenanlage anzusehen ist, kommt der Sesterz des Philippus I Arabs (M31)⁵⁰². Beide Sesterze unterstreichen somit die Datierung des Befunds in die Zeit ab 250 n.Chr. Die verbrannten Sesterze aus dem 2. Jh. (M27–M29) passen aufgrund ihrer offensichtlich langen Umlaufzeit zur letzten Benutzungsschicht bzw. zum Brand gegen das Ende des 3. Jh.

9.6 Gebäude P und Umgebung

Der Sesterz des Marcus Aurelius (M33) entstammt der Ziegelschuttschicht Pos. 401 aus Phase P5. Einige der Scherben aus diesem Ziegelschutt weisen Brandspuren auf⁵⁰³. Wie weiter oben bereits angemerkt, gibt es aber beim Sesterzen selbst keinerlei Hinweise auf eine Feuereinwirkung. Da auch der Boden keine Brandrötung zeigt und daher keine umfassende Zerstörung des Gebäudes durch ein Feuer angenommen werden kann, gehörte der Sesterz wohl zum unverbrannten Teil des Ziegelschutts. Die nachweisbaren Drehspuren auf der Münze machen eine Zweitverwendung wahrscheinlich, was ihre genauere zeitliche Einordnung ebenfalls erschwert. Der verbrannte Sesterz des Gordianus III (M34) wurde aus einer nachrömischen Auffüllschicht Pos. 198 geborgen, womit es sich in diesem Fall wiederum um einen verlagerten Fund handeln dürfte⁵⁰⁴. Der nicht verbrannte Sesterz des Gordianus III (M35) aus Pos. 398 gehört wohl in die letzte Nutzungsphase P6.

10 Vergleich mit Münzreihen ähnlicher Strukturen

Wie bereits weiter oben ausgeführt, weist die hier vorgelegte Münzreihe Lücken auf. Dies lässt sich einerseits auf die geringe Anzahl der Stücke, die teilweise ziemlich komplexe Schichtabfolge und schwierigen Begebenheiten im Gelände zurückführen⁵⁰⁵. Andererseits sind auch numismatische Faktoren der Grund für dieses Fehlen, etwa lange Umlaufzeiten gewisser Münztypen sowie die geringere Prägetätigkeit zu bestimmten Zeiten. Allerdings schliessen sich diese vermeintlichen Lücken durch den Einbezug der Funde aus den früheren Ausgrabungen nahezu, dies sowohl bezüglich des Typenspektrums als auch der Verteilung nach Prägeorten.

Wird nun das numismatische Fundgut anderer Gutshöfe aus der näheren und weiteren Umgebung herangezogen, so lässt die neue bzw. die gesamte Münzreihe aus Dietikon keine besonderen Auffälligkeiten erkennen. Alle aufgeführten Beispiele weisen Prägungen auf, die bis ins 3. oder sogar 4. Jh. reichen.

10.1 Die Münzreihe des Gutshofs von Neftenbach

Die Münzreihe aus Neftenbach umfasst 88 antike Gepräge. Sie beginnt mit einem subaeraten keltischen Quinar und weist für die Republik sowie die frühe Kaiserzeit mit Dietikon vergleichbare Typen auf. Wird die Abfolge der Fundmünzen aus Neftenbach näher betrachtet⁵⁰⁶, so lässt sich dort ebenfalls eine Häufung (40%) von Prägungen aus dem 2. Jh. feststellen. Für das 3. Jh. sind fast zu gleichen Teilen sowohl Antoniniane aus dem Zentral- wie aus dem Gallischen Sonderreich auszumachen. Wie in Dietikon fällt auch in Neftenbach eine Lücke im späten 3. bzw. frühen 4. Jh. auf. Nur zwei der 87 römischen Münzen gehören in die Zeit nach der Münzreform des Diocletianus (293/294 n.Chr.). In Neftenbach gibt es, im Gegensatz zu Dietikon, keine gegengestempelten Stücke.

10.2 Die Fundmünzen anderer Gutshöfe auf Zürcher Kantonsgebiet

Die 36 Münzen aus dem Gutshof von Buchs decken einen Zeitraum von Augustus (27 v.Chr.–14 n.Chr.) bis Magnus Maximus (383–388) ab⁵⁰⁷. Dort liegen die Schwerpunkte eher auf der zweiten Hälfte des 1. Jh., doch lassen sich die bisher beobachteten Tendenzen zu einer Häufung von Prägungen des 2. sowie des 3. Jh. ebenfalls nachweisen. Zwischen dem letzten Viertel des 3. und dem Beginn des 4. Jh. ist wiederum die charakteristische Lücke auszumachen, die aber auf geldgeschichtliche Faktoren zurückzuführen ist⁵⁰⁸.

In Winkel-Seeb sind total 68 Münzen geborgen worden. Von diesen entfallen ca. 22% auf das 2. und etwas über 57% auf das 3. Jh. Die Antoniniane lassen sich sowohl Prägeherren des Zentral- als auch des Gallischen Sonderreichs zuweisen. Die Münzreihe beginnt mit Stücken, die unter Tiberius hergestellt wurden und endet mit fünf Prägungen der ersten Tetrarchie.

Obwohl die Münzreihe von Urdorf-Heidenkeller nur acht Gepräge umfasst, lässt sich ebenfalls eine «Konzentration» im 2. Jh. feststellen; je ein Stück ist dem 1. bzw. dem 3. Jh. zuzuweisen⁵⁰⁹. Bei letzterem handelt es sich um einen bereits 1949 geborgenen Antoninian des Claudius II Gothicus (268–270).

Die elf Münzen aus dem Gutshof von Strickhof/Mur in Zürich-Oberstrass sind nicht Teil einer geschlossenen Münzreihe⁵¹⁰. Die Mehrzahl dieser Stücke gehört in die zweite Hälfte des 3. Jh. Dennoch zeigt es sich, dass auch dort sowohl Prägungen des Zentral- als auch des Gallischen Sonderreichs präsent sind.

Von den 69 in Kloten-Aalbühl geborgenen Prägungen, die von der Republik bis in das erste Drittel des 4. Jh. reichen, gehören beinahe 50% in die zweite Hälfte des 3. Jh.⁵¹¹ Erneut ist eine erste Häufung im 2. Jh. auszumachen.

10.3 Die numismatischen Funde von Gutshöfen am Jurasüdfuss

Ein Blick in den Nordwesten der heutigen Schweiz, d.h. geographisch näher bei *Augusta Raurica*, soll die bisher gewonnenen Erkenntnisse ergänzen.

Die von S. Frey-Kupper kürzlich bearbeiteten Fundmünzen des Gutshofs von Langendorf SO umfassen 16 antike Stücke⁵¹². Die ältesten weisen wiederum in die Zeit der Republik bzw. in die frühe Kaiserzeit. Anschliessend tritt eine erste geringe Konzentration an Prägungen aus dem 2. Jh. sowie eine zweite Häufung von Münzen vorwiegend aus dem dritten Viertel des 3. Jh. auf.

Werden nun die 53 Münzen aus dem weitaus fundreicheren Fundort Biberist-Spitalhof SO sowie jene aus dem Gutshof von Flumenthal-Scharlenmatte SO herbeigezogen⁵¹³, lassen sich wiederum starke Konzentrationen von Aes-Münzen aus dem 2. Jh. feststellen.

10.4 Schlussfolgerungen aus den Vergleichen

Alle aufgeführten Vergleichsbeispiele zeigen Parallelen zu den hier vorgelegten Münzen sowie zur gesamten Münzreihe aus dem Gutshof von Dietikon. Meist stammen die ältesten Münzfunde jeweils aus dem 1. Jh. Selbst jene Stücke, die gemäss Prägezeit in die späte Republik oder die Übergangszeit anzusetzen sind, tragen oft deutliche Zirkulationsspuren, sodass sie mindestens zum Geldumlauf der ersten Jahrzehnte des 1. Jh. gezählt werden können. Bei den jüngsten Stücken ist die Variationsbreite grösser, sie reichen teilweise bis nach der Mitte des 4. Jh. Sowohl die Konzentrationen auf bestimmte Perioden als auch das Fehlen von Prägungen aus anderen Zeitabschnitten können durch geldgeschichtliche Phänomene erklärt werden.

Die wiederholt festgestellten Häufungen von Münzen, wie beispielsweise jene des 2. Jh., gehen unter anderem auf einen grossen Ausstoss in den Jahren 168–171 n.Chr. und gegen Ende der Regierungszeit des Marcus Aurelius zurück⁵¹⁴. Die Häufung in der zweiten Hälfte des 3. Jh., bzw. bis zum Jahr 275, lässt sich wahrscheinlich ebenso auf ein angestiegenes Prägevolumen zurückführen. Allerdings ist für die Lücke davor die Abwertung des Antoninians verantwortlich und zwar insofern, als in einer instabilen Zeit neu geprägte Münzen mit einem (noch) relativ guten Feingehalt ziemlich rasch dem Geldumlauf entzogen und gehortet wurden⁵¹⁵. Das Fehlen von Prägungen der ersten Tetrarchie hingegen lässt sich wohl mit einer verminderten Prägetätigkeit, aber auch mit der Hortung neuer, «guter», d.h. besser bewerteter Münzen erklären.

11 Abschliessende Bemerkungen und Zusammenfassung

Von den 37 geborgenen numismatischen Objekten können 34 der römischen Antike zugeschrieben werden. Viele der geborgenen Stücke stammen jedoch aus umgelagerten Schichten und tragen so wenig zu einer zeitlichen Einordnung der Strukturen und Schichtfolgen bei.

Die frühesten Prägungen gehören zum Geldumlauf des 1. Jh., wobei hier einige Imitationen zu verzeichnen sind. Bis auf einen Denar der ersten Hälfte des 3. Jh. und die Antoniniane sind keine weiteren Edelmetallprägungen auszumachen. Ähnlich wie bei der Münzreihe aus den Ausgrabungen 1984–1990 und bei vergleichbaren Strukturen überwiegen Prägungen aus unedlem Metall. Wie mehrfach festgestellt, sind dies im 1. Jh. die Asse, während sich im Verlauf des 2. Jh. das Schwergewicht zu den Sesterzen verlagert. Im Fundgut der neuen Untersuchungen fallen einige gut erhaltene Sesterze des 3. Jh. auf, die einer Anzahl von relativ stark zirkulierten Stücken des 2. Jh. gegenüberstehen. Unter diesen ist ein halbiertes Exemplar hervorzuheben. Einige der Fundmünzen zeigen, wie bereits einige Stücke der 1995 vorgelegten Münzreihe, Zeichen von Zweitverwendungen, sei es durch Lochungen, Feil- oder andere Bearbeitungsspuren. An zahlreichen Münzen lassen sich zudem Spuren von Feuereinwirkung ablesen. Teilweise stehen diese wohl in Zusammenhang mit den gefundenen Feuerstellen bzw. Ofenanlagen; andere sind auf Brände zurückzuführen.

Bei der Betrachtung der neuen Münzreihe fällt vor allem für das 3. Jh. die prominente Vertretung der Münzstätte Rom auf. Wird jedoch die gesamte Münzreihe herangezogen, so relativiert sich dieser Befund. Eine weitere Auffälligkeit, die sich aber bei genauerer Betrachtung am Fundvorkommen anderer Gutshöfe ebenso ausmachen lässt, besteht in einer zahlenmässigen Häufung der Prägungen des 2. Jh. und jener der zweiten Hälfte des 3. Jh. Bei den neu geborgenen Funden könnten jene Exemplare des 2. Jh., die deutliche Zirkulationsspuren aufweisen, allenfalls auch zum Geldumlauf des 3. Jh. gehört haben. Sie wären aufgrund der Knappheit an Aes-Prägungen so lange im Umlauf geblieben.

V Synthese

1 Die neuen Befunde

1.1 Die frühen Holzbauten an der Neumattstrasse 11, 13, 15

Bei den Untersuchungen an der Neumattstrasse 11, 13, 15 sind erstmals in Dietikon frühe Holzbaubefunde in grössem Umfang untersucht worden (vgl. Kap. III.1). Diverse Pfostengruben und Balkengräben sowie einzelne Gruben, zwei Feuerstellen und eine Feuergrube liessen sich nach-

weisen. Wenn die allgemeine Entwicklung des frühen Holzbaus, wie sie exemplarisch in *Vitudurum*-Oberwinterthur nachvollziehbar ist, auch in den Gutshöfen zutrifft, dann sind die Bauten mit Schwellbalken hier ebenfalls jünger zu datieren als die Pfostenbauten⁵¹⁶. An der Neumattstrasse lassen sich die beiden Phasen aufgrund des Fundmaterials allerdings nicht unterscheiden.

Bei den Pfostengruben haben wir an der Neumattstrasse gewisse Konzentrationen festgestellt, die darauf schliessen lassen, dass in der ersten Holzbauphase drei in einer Reihe liegende Gebäude vorhanden waren (Abb. 71). Die Abstände der postulierten Gebäude untereinander messen 12 bzw. 14,5 m und die rekonstruierten Gebäudeflächen sind zwischen 65 und 75 m² gross. Die beiden nachgewiesenen Feuerstellen (Abb. 74, Pos. 304, 387) können mit einiger Sicherheit diesen Pfostenbauten zugeordnet werden, sodass angenommen werden darf, dass diese als Wohnräume genutzt wurden.

Es sticht ins Auge, dass die rekonstruierten Pfostenbauten gleich ausgerichtet sind wie die späteren Steingebäude. Zudem liegen die nordöstlichen Fluchten der Gebäude alle auf einer Linie knapp ausserhalb der späteren steingebauten Umfassungsmauer. Man kann diesen Befund nur dahingehend interpretieren, dass diese Pfostenbauten die Organisation des späteren Gutshofs vorwegnahmen. Ein wichtiger Unterschied ist allerdings die in dieser Phase fehlende Hofbegrenzung.

Die Organisation der Gebäude mit Schwellbalken, die auf die Pfostenbauten folgen, lässt sich nur ansatzweise rekonstruieren. Man gewinnt allerdings den Eindruck, dass das Schema mit regelmässig angeordneten, in einer Reihe liegenden Gebäuden in dieser Phase aufgegeben wurde. Auch wenn die Interpretation des Balkengrübchens Pos. 359 (Abb. 75) nicht ganz klar ist, zeigt dessen Verlauf weit über die früheren Pfostenbauten und die spätere Hofmauer hinaus, dass der Gutshof in dieser Phase anders organisiert war.

Bei den Ständerbauten lässt sich nur gerade ein Gebäudestandort rekonstruieren und zwar unmittelbar südöstlich von Steingebäude O. Dort können drei, in einem Abstand von 2,2–2,3 m parallel verlaufende Gräben beobachtet werden (Abb. 74, Pos. 276, 283, 285). Während die äusseren beiden vermutlich die Aussenwände trugen, interpretieren wir den mittleren als Balkenunterzug für einen Bretterboden (vgl. Kap III.1.3.6). Unklar bleibt die Deutung des Grabens Pos. 275, der mit der Verlängerung Pos. 416 und 487 auf einer Länge von knapp 50 m verfolgt werden kann (Abb. 71, 74–75). Im Nordwesten scheint die erwähnte Struktur Pos. 359 von diesem Graben abzugehen. Der Graben Pos. 275 bildet im Südosten eine Ecke mit Pos. 283. Auch wenn das Bebauungsschema der Ständerbauten von demjenigen der älteren Pfostenbauten abweicht, muss festgehalten werden, dass die Ausrichtung grundsätzlich beibehalten wurde.

Ein Vergleich mit den bisher aus Dietikon bekannten frühen Strukturen zeigt, wie gross der Zuwachs durch die neuesten Untersuchungen ist. Dietikon liefert nun im Kanton Zürich nach Neftenbach die meisten Holzbaubefunde.

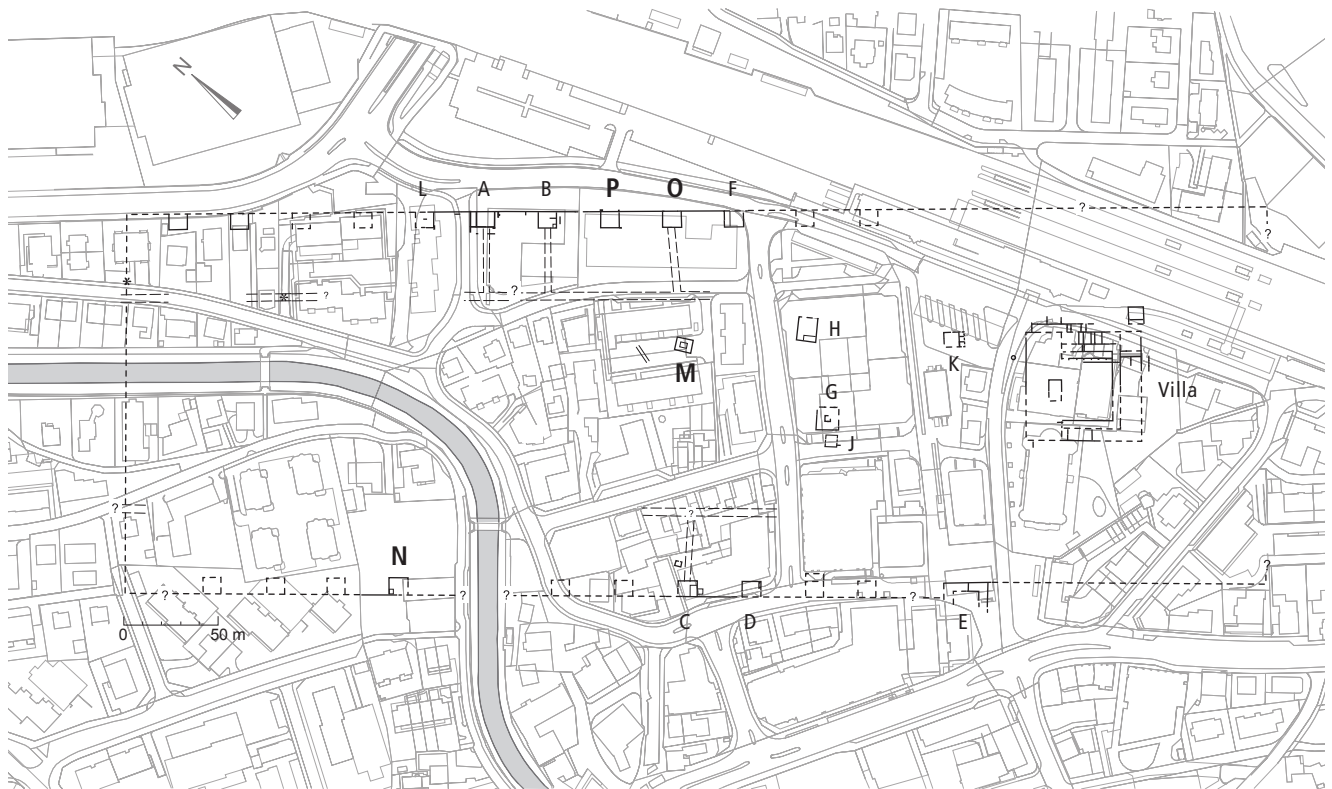


Abb. 113. Plan des römischen Gutshofs von Dietikon mit den aktuellen Gebäudebezeichnungen. M. 1:4000.

1.2 Die Steinbauten und das Holzgebäude zwischen den Bauten F und O

1.2.1 Die an der Umfassungsmauer liegenden Gebäude N, O und P

Die mit der Hofmauer verbundenen, neu identifizierten Gebäude O und P sind jeweils ca. 22,4 m von den Nachbarbauten entfernt (Abb. 113), d.h. in gleichen Abständen wie die bisher untersuchten Bauten in Dietikon⁵¹⁷.

Eine wichtige Änderung im Gesamtplan bedeutet die Aufdeckung von Bau N jenseits der Reppisch. Es zeigt sich, dass die bisher vermutete Flucht der Hofmauer zwar stimmt, das Gebäude gegenüber den bisherigen Annahmen aber deutlich versetzt liegt. Leider ist die Südecke des Baus durch die moderne Überbauung komplett zerstört worden, weshalb nicht untersucht werden kann, ob hier eine Hofmauer anschloss (vgl. Kap. V.1.4).

1.2.2 Die Schwellenhöhe der Gebäude in Bezug auf die Innenniveaus

Bei Gebäude P haben wir festgestellt, dass das erste Innenniveau 0,3–0,4 m tiefer liegt als die erhaltene Mauerkrone im Bereich der Schwelle (vgl. Kap. II.3.4.13). Bereits im Innern von Gebäude F hat Christa Ebnöther beobachtet, dass die untersten Niveaus ca. 0,2 m unter der Schwelle lagen. Weiter hat sie vermerkt, dass sich «das älteste Nutzungs-

niveau örtlich bis zu einem halben Meter unterhalb der ersten Steinlage des aufgehenden Mauerwerks» befand⁵¹⁸. Auch bei den neuen Untersuchungen im Gebäude F ist ein Niveauunterschied von 0,2–0,3 m festzustellen. Der Mauer Aufbau weicht hier zudem etwas von der «Norm» ab: Das rund 0,5 m breite aufgehende Mauerwerk der Gebäudemauer Pos. 6 ruht auf einem 0,65 m breiten «Fundament» aus vier gemörtelten Steinlagen⁵¹⁹. Darunter liegt ein nochmals breiteres, ca. 0,5 m hohes, ungemörteltes Fundament aus grossen Steinen (Abb. 114)⁵²⁰. Die untersten Schichten in Gebäude F setzen knapp über diesem Absatz an. Dieser Befund muss wohl dahingehend erklärt werden, dass das gemörtelte «Fundament» gar kein Fundament ist, sondern Teil der aufgehenden Wand. Dies würde bedeuten, dass die Mauer 0,3–0,4 m über dem Boden einen Absatz aufweist.

Wichtiger jedoch ist die Folgerung, dass die Schwelle, deren Höhe früher relativ genau fixiert werden konnte, ca. 0,2 m höher liegt als die untersten Benutzungsschichten im Gebäude – das Innere war damit nur über einen Tritt zu erreichen. Grossflächige Senkungen, wie dies Christa Ebnöther vermutet hat⁵²¹, möchten wir ausschliessen, zumal wir bei Gebäude P nun Ähnliches beobachten. Der in der nördlichen Ecke von Bau F festgestellte Riss (Abb. 114) zeugt zwar von einem instabilen Untergrund, hat unserer Ansicht nach aber nichts mit den postulierten grossräumigen Senkungen zu tun.

Der gleiche Niveauunterschied lässt sich auch bei Bau D nachweisen. Dort allerdings liegt nicht nur das Innenniveau



Abb. 114. Neumattstr. 11, 13, 15. Gebäude F. Nordecke des Gebäudes. Gemörteltes und ungemörteltes «Fundament». Die aufgehende Mauer ist hier nicht erhalten. Ansicht aus Südwesten.

unterhalb der Schwelle sondern auch das Aussenniveau⁵²². Christa Ebnöther erklärt diesen Niveauunterschied – eine Differenz von mindestens 0,3 m – damit, dass zu Beginn der römischen Besiedlung massive Senkungen stattgefunden hätten⁵²³. Sie erwähnt in diesem Zusammenhang eine bei der Schwelle im Innern von Gebäude D liegende Steinreihe, die sie als mögliche Treppen- oder Rampensubstruktion interpretiert⁵²⁴. In Verbindung mit der neu gewonnenen Erkenntnis, dass auch bei den Gebäuden F und P die Innenräume tiefer liegen als die Schwellen, kann nun aber argumentiert werden, dass diese Steinreihe von Anfang an als Treppenstufe konzipiert war.

Auch bei Gebäude O liegt die Schwelle im späten 2. Jh. mindestens 0,4 m höher als das Innenniveau. Dort ist der Fall jedoch anders gelagert als bei den eben angeführten Beispielen: Während bei jenen der Innenraum in der ersten Nutzungsphase, d.h. von Beginn weg, tiefer lag als die Schwelle, erklärt sich der Niveauunterschied beim Gebäude O durch die nachträgliche Absenkung des Innenraums.

Nach den obigen Ausführungen ist also durchaus wahrscheinlich, dass bei den an der Hofmauer liegenden Gebäuden P, F und D das Innenniveau tiefer lag als die Schwelle und diese Bauten damit nur über einen Tritt erreichbar waren. Massive und grossflächige Schichtsenkungen als Ursache dieser Niveaudifferenzen möchten wir – im Gegensatz zu Christa Ebnöther – ausschliessen. Gegen Senkungen spricht ganz klar, dass der Untergrund keine Unregelmässigkeiten aufweist und die untersten Benutzungsschichten in und bei den Gebäuden plan liegen. Ausserdem wäre bei grösseren Senkungen zu erwarten, dass die Mauern Spuren dieser unstabilen Bodenverhältnisse zeigten.

Man kann sich abschliessend sogar fragen, ob es sich bei den von Christa Ebnöther postulierten Senkungen im Ostteil von Gebäude F wirklich um solche handelt oder ob



Abb. 115. Gebäude E. Freilegung der Brandschicht Pos. 8 im Graben Pos. 18 neben Mauer Pos. 2. Ansicht aus Südwesten.

hier nicht auch eine Abtiefung für einen Keller vorliegt⁵²⁵. Solche Eintiefungen – Mulden, Gruben oder Gräben – können nämlich auch in den Gebäuden N, O und P beobachtet werden (zum Graben in Bau N vgl. Kap. II.2.5.2).

1.2.3 Gebäude M («Tempel 1953»)

Durch die erneute Freilegung des bereits 1953 einmal untersuchten und dann wieder zugedeckten Tempels (Gebäude M) kann die genaue Ausrichtung und die Lage des Heiligtums bestimmt werden (Abb. 113). Die Ausrichtung hat sich bestätigt, der Bau selbst musste auf den Plänen hingegen um einige Meter verschoben werden.

1.2.4 Gebäude E

Mit den neuen Untersuchungen auf dem Marktplatz kann der 1995 publizierte Plan dieses Gebäudes deutlich ergänzt werden, auch wenn er damit noch immer nicht vollständig ist (Abb. 115). Trotz der tiefgreifenden Störungen sind mehrere Mauerfundamente und letzte Schichtreste vorhanden.

Als wichtigstes Resultat kann festgehalten werden, dass die 1986 dokumentierte, lange, NW-SE-verlaufende Mauer in Wirklichkeit die Umfassungsmauer der Gutshofanlage darstellt. Die Hofmauer läuft also nicht, wie bisher ange-

nommen, in gerader Linie von den Gebäuden C und D weiter, sondern macht irgendwo zwischen Bau D und E einen Rücksprung (Abb. 113).

Bau E, ein mindestens 10 × 12 m grosses – vermutlich aber deutlich grösseres – Gebäude, schliesst aussen an die Hofmauer an. Neben der Lage am Übergang von *pars urbana* zu *pars rustica* macht auch der spezielle Bautypus dieses Gebäude einzigartig. Mit den neuen Ausgrabungen können mehrere, um einen grossen Zentralraum angeordnete, kleine Räume gefasst werden. Dass sich die gefassten Räume im Nordwesten (symmetrisch?) fortsetzen, scheint nach alten Notizen von Karl Heid möglich.

Wenn es sich beim parallel zur Mauer Pos. 2 verlaufenden Graben um einen Traufgraben handelt, ist davon auszugehen, dass der Zentralraum nicht überdacht war und sich die erwähnten Räume um einen offenen Hof gruppierten (Abb. 65). Diese Anordnung von kleineren Räumen um einen Zentralraum/-hof findet im Bau 24 in Neftenbach einen direkten Vergleich, dort ebenfalls an prominenter Stelle am Übergang von *pars urbana* zu *pars rustica*. Allerdings liegt das Gebäude in Neftenbach im Inneren der Hofmauer, während Bau E nach aussen vorspringt.

Weil die Raumeinteilung aufgrund der massiven neuzeitlichen Eingriffe nicht erschlossen werden kann, ist eine Deutung äusserst schwierig. Die Lage ausserhalb der Hofmauer macht Lagerräume, wie sie für Bau 24B in Neftenbach als möglich erachtet wurden, für Dietikon wenig wahrscheinlich: Der Gutsherr hätte seine Lager wohl eher im Innern der Umfassungsmauer haben wollen. Der Bautypus spricht zudem eher für einen Wohnbau.

Handelt es sich beim Gebäude E tatsächlich um ein Wohnhaus, wäre zu fragen, wer hier denn gelebt haben könnte. Man ist versucht, hier den Wohnsitz des Gutshofverwalters (*vilicus*⁵²⁶) und seines Hausstands zu vermuten⁵²⁷.

1.2.5 Die Villa

Bei den Georadarmessungen im Bereich des Kirchgartens sind mehrere Mauern gefasst und von Jürg Leckebusch als römisch angesehen worden (Abb. 70). Einzelne dieser Mauern lassen sich in das bekannte Schema der Villa einpassen, andere können den Grundriss sogar ergänzen. Es wurden jedoch auch Mauern angezeigt, die sich mit dem bestehenden Plan nicht direkt verbinden lassen⁵²⁸, weshalb bei diesen die römische Zeitstellung noch durch Ausgrabungen überprüft werden müsste.

1.2.6 Das Holzgebäude zwischen Bau F und O

Das zweiphasige Holzgebäude, das zwischen den Gebäuden F und O aufgedeckt werden konnte, ist für das Gesamtverständnis der Gutshofanlage von grosser Bedeutung. Bisher sind wir davon ausgegangen, dass die Bereiche zwischen den einzelnen mit der Umfassungsmauer verbundenen Steingebäuden kaum bebaut waren bzw. unbebaut blieben⁵²⁹, nun sind wir zwischen Gebäude F und O auf ein

Holzgebäude gestossen, das zum Zeitpunkt der Zerstörung etwa 10 × 11 m gross war. Ein erster, sicher nach der Mitte des 2. Jh. errichteter, einräumiger Bau wurde um die Mitte des 3. Jh. in ein deutlich grösseres, mit einem Ziegeldach versehenes Holzgebäude integriert. Dieser Erweiterungsbau fiel im 3. Viertel des 3. Jh. einem Brand zum Opfer.

1.3 Die Wege

Zusätzliche Erkenntnisse zur Erschliessung der Gutshofanlage bringen die beiden neu aufgedeckten Kieswege bei den Bauten M und O. Bei Gebäude M («Tempel 1953») haben wir einen etwa NS-verlaufenden Kiesweg beobachtet (Abb. 1, 3, 113). Dessen Datierung in die römische Zeit ist leider nicht vollends gesichert. Der Weg richtete sich nicht nach Gutshofachsen sondern verlief schräg dazu, vermutlich um das ziemlich sumpfige Gelände nordwestlich des Tempels zu umgehen⁵³⁰.

Die bisher bekannten Wege zu den Gebäuden an der Hofmauer verlaufen alle rechtwinklig zu den Bauten und ordnen sich damit dem Gutshofgefüge unter. Dies zeigen die Kieswege bei den Gebäuden A und B, die auf einer Länge von rund 10 bzw. 13,5 m verfolgt werden können⁵³¹. Bei Gebäude O ist nun erstmals ein «schräg» verlaufender Weg beobachtet worden (Abb. 1, 113). Möglicherweise hängt dies mit den erwähnten sumpfigen Niederungen beim unmittelbar benachbarten Tempel M zusammen.

1.4 Der Reppisch-Durchfluss in römischer Zeit

Im Folgenden soll der Frage nachgegangen werden, wo und wie die Reppisch das Gutshofareal in römischer Zeit durchquert haben könnte. Die Sequenz der römischen Bauten an der Südseite der Umfassungsmauer ist seit 1985 durch die Gebäude C und D bekannt. Verlängert man diese nach Nordwesten, in Richtung Reppisch, erhält man den von Christa Ebnöther publizierten Plan. Wie erwähnt, liegt das an der Vorstadtstrasse aufgedeckte Gebäude N aber deutlich dazu versetzt⁵³². Irgendwo zwischen den Gebäuden C und N wird der Rhythmus der Bauten offensichtlich unterbrochen⁵³³ (Abb. 113). Es ist naheliegend, diese Abweichung mit dem Reppisch-Durchfluss zu erklären.

Wo genau die Reppisch das römische Gutshofareal querte, konnte bis heute leider nicht abschliessend geklärt werden. Seit den Untersuchungen von Christa Ebnöther ist jedoch sicher, dass in römischer Zeit mehrere Bachläufe den Gutshof in östlicher bzw. nordöstlicher Richtung durchschnitten⁵³⁴. Auch bei späteren Untersuchungen sind solche festgestellt worden, so etwa beim Gebäude M oder an der Reppischstrasse (vgl. Kap. II.1.4, II.6). Es dürfte sich dabei um Bachläufe handeln, die bei Hochwasser die über die Ufer getretenen Wassermassen der Reppisch aufnehmen und ableiteten. Weil diese Rinnen immer nach Osten bzw. Nordosten verlaufen und das Gelände von Süden nach Norden leicht abfällt, darf gefolgert werden, dass die Reppisch im Südwesten ins Gutshofareal gelangte⁵³⁵.

Die Sondierschnitte zwischen Gebäude N und Reppisch haben gezeigt, dass die modernen Auffüllschichten zum Flüsschen hin immer mächtiger werden, das Flussbett früher also deutlich breiter war als heute. Ob dies bereits in römischer Zeit der Fall war, ist zu vermuten, lässt sich aber nicht beweisen. Im 19. Jahrhundert lag die Reppisch hingegen deutlich höher, weshalb das Flüsschen mehrfach über die Ufer trat. Aus diesem Grund legte man nach 1880 die Reppisch tiefer; gleichzeitig wurde vermutlich auch das Flussbett verschmälert⁵³⁶.

Die Frage ist nun, wie der Durchfluss in römischer Zeit baulich gelöst wurde. Zwischen Gebäude N und dem heutigen Bett der Reppisch kann die Hofmauer nicht gefasst werden – weder in den von Hand abgetieften Suchschnitten im Vorfeld der Grabung, noch in den Bagger Sondierungen im Anschluss an den Abbruch des bestehenden Hauses. Wir gehen daher davon aus, dass in diesem Bereich keine Hofmauer vorhanden war⁵³⁷, die Gutshofumfassung also eine Lücke aufwies. Es ist damit wahrscheinlich, dass Bau N unmittelbar am Ufer der Reppisch stand. Die südöstliche, der Reppisch zugewandte Gebäudemauer war nicht besonders tief fundamentiert. Dies war aber auch nicht nötig, denn der Reppisch stand in römischer Zeit vermutlich ein breites Bett zur Verfügung, sodass auch Hochwasser die Mauern von Bau P nicht gefährdeten.

2 Die Chronologie

2.1 Holzbauperiode (2. Viertel bis nach der Mitte des 1. Jh.)

Die an der an der Neumattstrasse 11, 13, 15 beobachtete Holzbauperiode lässt sich problemlos in Ebnöthers Siedlungsphase I einfügen⁵³⁸. Das Fundmaterial passt besonders gut zu den Funden aus den Benutzungsschichten, Bauhorizonten sowie Bauschuttplanien in der Villa⁵³⁹. Auffallend ist, dass auch dort eine grautonige Schüssel Drack 19 belegt ist (vgl. Kat. 7–8). Die zugehörige Schicht (PU 1.24 Südteil) zählt Christa Ebnöther zur Nutzungsphase der Pergola und datiert sie um die Mitte des 1. Jh. oder kurz danach⁵⁴⁰.

Wir glauben, während der Holzbauperiode zwei Phasen unterscheiden zu können. Wenn die im Vicus *Vitudurum*-Oberwinterthur festgestellte Abfolge auf die Gutshöfe zutrifft, dann wären auch in Dietikon die Pfostenbauten älter als die Ständerbauten (vgl. Kap. V.1.1). Aufgrund der ältesten Funde sind die Pfostenbauten vermutlich in die 30er- und die Ständerbauten in die 40er-Jahre des 1. Jh. zu datieren. Das geborgene Fundmaterial vermag, wie in Kap. III.1.5 gezeigt, die beiden postulierten Phasen zeitlich nicht zu trennen. Dies liegt einerseits an der geringen Anzahl genauer datierbarer Funde, andererseits sicher daran, dass die beiden Phasen zeitlich sehr eng beieinander liegen und sich damit im Fundmaterial kaum unterscheiden.

Auch wenn aus der Holzbauperiode keine neronisch-flavischen oder flavischen Funde vorliegen, ist davon aus-

zugehen, dass diese bis ins dritte Viertel des 1. Jh. lief – darauf wird im folgenden Kapitel eingegangen.

2.2 Steinbauperiode (flavisch bis Mitte/spätes 3. Jh.)

2.2.1 Errichtung der Gebäude

Die Steinbauten an der Neumattstrasse 11, 13, 15 lassen sich klar in die flavische Zeit datieren. Dies zeigen die Funde aus der Planie Pos. 44, die eingebracht wurde, nachdem die Steinbauten errichtet worden waren (vgl. Kap. III.1.2). Bestätigt wird diese Zeitstellung durch das Fundmaterial aus dem Trampel-/Bauniveau Pos. 618, das in Zusammenhang mit der Errichtung der Steinbauten zu sehen ist (vgl. Kap. II.3.4.6). Bei Gebäude P kann dieses Niveau unter dem ersten Kiesweg ebenfalls beobachtet werden (Pos. 455/573). Das Material aus diesem Kontext lässt sich von der Zusammensetzung her nicht von den Funden aus der Holzbauperiode unterscheiden. Damit müsste diese Schicht – für sich allein betrachtet – ins 2. Viertel des 1. Jh. datiert werden, womit sich die berechtigte Frage stellt, ob wir hier gar kein steinbauzeitliches sondern ein holzbauezeitliches Niveau vor uns haben. Dies kann aber mit Sicherheit ausgeschlossen werden, da die Holzbaubefunde erst bei einem nächsten Abtrag zum Vorschein gekommen sind. Daraus folgern wir, dass im Trampel-/Bauniveau Pos. 455/573 älteres Material abgelagert wurde.

Einen klaren Hinweis auf die Datierung von Gebäude P bietet hingegen die Benutzungsschicht Pos. 503 über dem ersten Kiesweg (Pos. 454/514): Während sich der Weg aufgrund der wenigen Funde selbst nicht datieren lässt, gehört die Benutzung klar ins letzte Viertel des 1. Jh. (vgl. Kap. II.3.4.13).

Während die Errichtung der Steinbauten an der Neumattstrasse in flavischer Zeit recht breit abgestützt ist, lässt sich die Aufgabe der vorausgegangenen Holzbauten zeitlich leider nicht direkt fassen. Die Datierung der Auflassung der Holzbauten ist aber entscheidend für das Verständnis dafür, ob – und wenn ja, wie lange – das Gelände bis zur Errichtung der Steingebäude unbebaut blieb. Die Schwemmschicht Pos. 62, welche die Holzbaubefunde überlagert und auf der das Bauniveau der Steingebäude liegt, spricht für einen Siedlungsunterbruch, der wohl nur wenige Jahre dauerte (vgl. Kap. III.1.5). Dieser postulierte kurze Unterbruch steht allerdings im Widerspruch zur Datierung des Fundmaterials aus der Holzbauperiode, das wie gesagt nicht über die claudische Zeit hinausreicht. Diese scheinbare Diskrepanz lässt sich vermutlich durch die insgesamt geringe Zahl an datierbaren Funden erklären, sodass sich vordergründig eine «Lücke» bis zur Errichtung der Steinbauten in flavischer Zeit öffnet⁵⁴¹.

Vor diesem Hintergrund sind die früheren Beobachtungen beim Gebäude C von spezieller Bedeutung. Dort konnten unter dem Steinbau verschiedene Strukturen und Schichten beobachtet werden, die wir bei der Besprechung der Holzbauperiode erwähnt haben (vgl. Kap. III.1.6). Offenbar sind diese frühen Befunde mehrphasig, werden

doch die Feuerstellen FST 1 und 2 von der Benutzungsschicht I 1.01/2.01 überlagert. Interessant ist nun, dass diese Befunde, die ins 2. Viertel des 1. Jh. gehören, von einer «nur wenig verschmutzten Siltplanie (umgelagerter gewachsener Boden?)» überlagert sind⁵⁴². Christa Ebnöther rechnete daher damit, dass die älteren Befunde abgebrochen wurden und anschliessend das gesamte Gelände für den folgenden Steinbau sorgfältig planiert wurde⁵⁴³.

Die Parallelisierung dieser beim Gebäude C beobachteten Schicht mit der an der Neumattstrasse nachgewiesenen Schicht Pos. 62 ist auf den ersten Blick naheliegend. Auch wenn wir eine Deutung von Pos. 62 als Planie nicht ausschliessen können, möchten wir diese Schicht eher als Schwemmsediment ansprechen. Dies genau macht nun aber den Unterschied zu den Befunden beim Gebäude C: Während das bestehende Holzgebäude dort offenbar planmässig abgebrochen und mit einer Planie überdeckt wurde, sind die Bauten an der Neumattstrasse nach der Auflassung vermutlich von eingeschwemmtem Silt überlagert worden. Dies spricht eher für einen Siedlungsunterbruch in diesem Bereich denn für eine planmässige Neubebauung.

Wichtiger noch als die Feststellung eines vermutlich kurzen Siedlungsunterbruchs nach der Mitte des 1. Jh. ist die Tatsache, dass die Steingebäude O, P und wohl auch F erst im 3. Viertel des 1. Jh. errichtet wurden. Dies hat zwei wichtige Konsequenzen für den Gutshof als Gesamtanlage: Erstens sind die genannten Bauten etwa eine Generation jünger als andere vergleichbare Gebäude des Gutshofs und zweitens bestanden die Bauten an der Neumattstrasse noch aus Holz, während viele Gebäude der Anlage um die Mitte des 1. Jh. bereits aus Stein gebaut waren⁵⁴⁴. Dies führt zum Schluss, dass die «Versteinerung» des Gutshofs nicht überall gleichzeitig stattfand.

Es ist durchaus möglich, dass die gesamte nordöstliche Hofmauer mitsamt den Nebengebäuden erst um 70/80 n.Chr. errichtet wurde, d.h. eine Generation später als der südwestliche Bereich⁵⁴⁵. Dafür sprechen nicht nur die neu gewonnenen Datierungsansätze für die Gebäude O, P und F sondern auch die früheren Beobachtungen bei den benachbarten Bauten A, L und B. So deutet das Fundmaterial bei Gebäude A darauf hin, dass der «Beginn der Benutzung des Gebäudes gegen Ende des 3. Viertels des 1. Jh.» zu datieren ist⁵⁴⁶. Bau L wurde offenbar ebenfalls erst in dieser Zeit errichtet⁵⁴⁷. Das gleiche gilt schliesslich auch für Gebäude B, das «spätestens im 3. Viertel des 1. Jh.» erbaut wurde⁵⁴⁸.

2.2.2 Zerstörung der Gebäude und Nutzung bis ins mittlere 4. Jh.

Die drei an der Neumattstrasse aufgedeckten römischen Steingebäude F, O und P wurden alle bis mindestens in die Mitte des 3. Jh. genutzt. Wenn das Bild nicht täuscht, lässt sich dabei eine zeitliche Staffelung beobachten: Im Gebäude P lassen sich die spätesten Nutzungsablagerungen ins mittlere 3. Jh. datieren. Die charakteristischen, nach der Jahrhundertmitte auftretenden Kochtöpfe mit gedrunge-

nem Hals sind hier noch nicht vertreten. Die einzelne Münze aus dem ersten Drittel des 4. Jh., die im Gebäudeinnern auf dem planierten Ziegelversturz gefunden wurde (M36), reicht unserer Ansicht nach nicht aus, um eine Nutzung des Gebäudes im 4. Jh. zu belegen. Analog zum Gebäude F interpretieren wir diesen Fund daher als Zeichen einer sporadischen Begehung des Geländes (vgl. unten).

Die Zerstörung von Bau F erfolgte vermutlich rund eine Generation später als jene von Bau P. Sie kann aufgrund von Münzen des Gallienus und Aurelian frühestens ab den siebziger Jahren des 3. Jh. datiert werden (M16–M18; Kap. II.3.4.4). Christa Ebnöther äusserte die These, dass der Bau aufgrund von drei constantinischen Münzen, einem Fingerring und einer beinernen Haarnadel bis ins frühe 4. Jh. genutzt wurde⁵⁴⁹. Im Gegensatz zu Christa Ebnöther interpretieren wir diese Objekte als zufällige Verlustfunde im Vorplatzbereich und nicht als Zeichen einer Gebäudenutzung (vgl. Kap. V.2.2.3)⁵⁵⁰. Möglicherweise sind sie mit dem Pfostenbau aus dem frühen 4. Jh.(?) zu verbinden, der nordwestlich davon freigelegt wurde (vgl. unten).

Die Versturzschichten inner- und ausserhalb von Gebäude O sind vermutlich nochmals etwas jünger und dürften ins dritte oder letzte Viertel des 3. Jh. gehören. In dieser Zeit wurde auch der grosse, zwischen den Gebäuden F und O liegende Holzbau zerstört. Vermutlich fand die Auflassung dieser beiden benachbarten Gebäude sogar gleichzeitig statt, denn beide sind durch ein Brandereignis zerstört worden.

Der zwischen den Gebäuden F und O liegende Pfostenbau, von dem einzelne Pfosten den Ziegelversturz eines früheren Holzbaus durchschlagen, wurde wohl im frühen 4. Jh. errichtet (Abb. 95, vgl. Kap. III.2.3.2). Möglicherweise sind die isolierten Funde aus dem 4. Jh. bei den Gebäuden F und P damit zu verbinden⁵⁵¹. Falls diese Zuweisung zutrifft, ist damit zu rechnen, dass die Nutzung des Pfostenbaus nicht über das mittlere 4. Jh. hinausreicht. In dieser Zeit brechen an der Neumattstrasse 11, 13, 15 nämlich die Funde ab, um erst im 7. Jh. wieder einzusetzen (vgl. unten). Ob die beim Gebäude P nachgewiesenen Pfostenstellungen im Bereich der Mauer bzw. die brandgeröteten Flecken auf der erhaltenen Mauerkrone ebenfalls eine spätantike Nutzung widerspiegeln, muss unbeantwortet bleiben.

Die Zerstörung des jenseits der Reppisch liegenden Gebäudes N kann zeitlich leider nicht genau fixiert werden. Weil weder aus der Brandschicht noch aus dem Ziegelversturz datierbares Material vorliegt, müssen die Funde aus der darunterliegenden Grabenverfüllung herangezogen werden (vgl. Kap. II.2.6). Diese gehört ins späte 2. oder ins beginnende 3. Jh. Diese Datierung bietet aber nur einen groben *terminus post quem* für die Zerstörung. Gerade bei diesem Gebäude wäre es aber entscheidend, den Zeitpunkt der Brandzerstörung genauer zu kennen. Über dem Ziegelversturz wurde nämlich eine Räucheranlage errichtet. Wollen wir nicht postulieren, dass die spätesten Schichten nicht mehr vorhanden sind, dann ist zu folgern, dass die Räucheranlage errichtet wurde, nachdem das Gebäude sein Dach infolge eines Brandes bereits verloren



Abb. 116. Vorstadtstr. 44–52. TS-Schüssel Chenet 320 mit nach unten gerichtetem Eierstabdekor (FK 75, ohne Kat.-Nr.).



Abb. 117. Fischerweg 2–4. TS-Schüssel Formengruppe Pfyn 14, Variante d (FK 64, Kat. 49).

hatte. Unserer Ansicht nach liegt hier ein Fall von «Ruinenutzung» vor.

Nach der Aufgabe der Räucheranlage wurde das Gebäude endgültig verlassen, vermutlich in der 2. Hälfte des 3. Jh. Die einzelne aus der neuzeitlichen Deckschicht stammende Scherbe einer Schüssel Chenet 320 (Abb. 116), die sich in die 1. Hälfte des 4. Jh. datieren lässt⁵⁵², verbinden wir nicht mit dem Einbau der Räucheranlage, sondern weisen sie einer nachfolgenden, nicht näher bestimmbareren Nutzung des Areals zu.

Das im Innern des Gutshofareals liegende Gebäude M («Tempel 1953») konnte 2003 nochmals untersucht werden. Leider sind 1953 im Innern des Tempels alle Schichten entfernt worden. Interessant sind aber die vier neuen Münzen aus dem 3. Viertel des 3. Jh. (M6–M9), die zwar aus umgelagerten Schichten stammen, jedoch trotzdem auf eine Begehung des Platzes oder gar eine Nutzung des Tempels hindeuten dürften⁵⁵³. Interessant ist in diesem Zusammenhang auch die TS-Schüssel, bei der es sich leider um einen Streufund handelt (Abb. 117). Die RS lässt sich der Formengruppe Pfyn 14, Variante d zuweisen⁵⁵⁴. Auch wenn die charakteristische Bauchleiste nicht erhalten ist, darf die Zuweisung aufgrund der Rundstablippe als sicher gelten. Diese Form dürfte erst ab dem 2. Viertel des 4. Jh. hergestellt worden sein⁵⁵⁵. Es wäre daher durchaus möglich, dass Tempel M bis ins 4. Jh. genutzt wurde, analog zum Gebäude G⁵⁵⁶.

2.2.3 Die Einordnung der Zerstörungsschichten in die Siedlungsphasen IV und V nach Ebnöther (3. Jh.–Mitte 4. Jh.)

Die neuen Erkenntnisse zu den Gebäuden F, M, N, O und P lassen sich problemlos mit den bisherigen Daten und Feststellungen verbinden. In den meisten Bauten der *pars rusti-*

ca beobachtete Christa Ebnöther Brandschichten, die in die Mitte des 3. Jh. datieren⁵⁵⁷. In diesen Zusammenhang zu stellen ist nun vermutlich auch die Brandzerstörung von Gebäude P. Diese Phase wurde bislang durch eine Münze des Gordian aus Gebäude A datiert. Interessant ist, dass auch beim Bau P eine solche Münze den *terminus post quem* für die Zerstörung angibt (M35). Aus der Tatsache, dass Gebäude P zusammen mit den benachbarten Gebäuden A, B und L um die Mitte des 3. Jh. zerstört wurde, während die Bauten F und O keine Brandspuren aus diesem Zeitraum aufweisen, kann möglicherweise geschlossen werden, dass einzelne Bereiche vom Schadenfeuer verschont blieben.

Ein Grossteil dieser Gebäude wurde im Anschluss an die Brandzerstörung wieder instand gestellt bzw. es können mindestens Spuren von Begehungen beobachtet werden⁵⁵⁸. Im Innern von Gebäude P können keine solchen Instandstellungen beobachtet werden; im Vorplatzbereich fehlen die obersten Schichten, sodass dort diesbezüglich keine Aussagen möglich sind. Insgesamt kann das von Christa Ebnöther skizzierte Bild einer Weiterbesiedlung des Gutshofs nach der Mitte des 3. Jh. durch die neuen Untersuchungen aber bestätigt werden. Hingegen muss ihre Feststellung, «dass sich sämtliche – archäologisch fassbaren – Aktivitäten [nach der Mitte des 3. Jh.] auf die Gebäude entlang der nordwestlichen Umfassungsmauer beschränken», vermutlich revidiert werden⁵⁵⁹. Denn Gebäude N an der südlichen Hofmauer wurde nach einem – möglicherweise um die Mitte des 3. Jh. zu datierenden – Brand zwar nicht wieder aufgebaut, jedoch weiter genutzt, wie der Einbau einer Räucheranlage in der Gebäudeecke zeigt.

Auch die Brandereignisse am Ende der Siedlungsphase IV («70er- und/oder 80er-Jahre des 3. Jh.»⁵⁶⁰) lassen sich in den neuen Ausgrabungen feststellen. In diesen Kontext gehört vermutlich die Zerstörung des zwischen den Gebäuden F und O liegenden Holzbaus sowie von Bau O selbst.

Während der Holzbau sicher im dritten Viertel des 3. Jh. einem Brand zum Opfer fiel, lässt sich die Zerstörung von Bau O nicht genauer als ins dritte oder letzte Viertel des 3. Jh. datieren. Weil die beiden Gebäude benachbart sind, darf aber vermutet werden, dass sie gleichzeitig – im dritten Viertel des 3. Jh. – zerstört wurden. Interessant ist, dass Bau F keine Brandspuren aufweist und die Nutzung dort vermutlich im späteren 3. Jh. ohne Brandereignis endete. Es handelt sich damit um das bisher einzige Gebäude an der nördlichen Umfassungsmauer, das nicht durch einen Brand zerstört wurde. Ob die erwähnten Brandzerstörungen um 270/280 n.Chr. alle auf ein einziges Ereignis zurückzuführen sind oder ob eine zeitliche Staffelung vorliegt, muss weiterhin offen gelassen werden⁵⁶¹.

Zur Besiedlung des Gutshofareals im ausgehenden 3. Jh. und der 1. Hälfte des 4. Jh. (Siedlungsphase V nach Ebnöther⁵⁶²), können die neuen Untersuchungen das bisherige Bild in mancher Hinsicht ergänzen. Besonders hervorzuheben, wenn auch leider nicht sicher datierbar, ist ein Pfostenbau zwischen den Gebäuden F und O an der Neumattstrasse (vgl. Kap. III.2.3.2, V.2.2.2). Zieht man die in diesem Areal gemachten Funde aus dem 4. Jh. in die Betrachtungen mit ein, kann durchaus postuliert werden, dass der Pfostenbau im späten 3. Jh. errichtet und bis in die Mitte des 4. Jh. genutzt wurde.

Die vermutlich als späte Rheinzaberner Sigillata anzusehenden Gefässe aus der 1. Hälfte des 4. Jh. (Abb. 116–117), die beim Gebäude M und N gefunden worden sind, dürften darauf hinweisen, dass wohl auch diese Areale im 4. Jh. in irgendeiner Form genutzt wurden.

Wie bereits von Christa Ebnöther vermutet, scheint sich zusammenfassend also abzuzeichnen, dass im 4. Jh. noch vereinzelt Gebäude der Anlage genutzt wurden (Tempel G, Tempel M, Pfostenbau zwischen den Gebäuden F und O). Die Mehrzahl der Bauten stand aber nicht mehr zur Verfügung, sodass der Gutshof in der Mitte des 4. Jh. seine frühere Bedeutung verloren hatte.

2.2.4 Die frühmittelalterliche Nutzung

Zu den frühmittelalterlichen Befunden, die in den letzten 15 Jahren aufgedeckt worden sind, gehören je ein Grubenhaus an der Vorstadtstrasse 44–52 (beim Gebäude N) und beim Tempel M. Die sicheren frühmittelalterlichen Belege von der Neumattstrasse beschränken sich auf eine vereinzelt Bronzenadel aus einer umgelagerten Schicht (Abb. 97). Dies erstaunt, sind doch in der Nachbarparzelle, beim Gebäude B, in den 1980er-Jahren mehrere Bestattungen des 7. Jahrhunderts beobachtet worden. Ein frühmittelalterliches Grab ist seither an der Bahnhofstr. 8 – nahe der römischen Villa – gefasst worden. Die Bestattung dürfte aufgrund eines C14-Datums ins 8. oder 9. Jh. gehören.

Trotz dieser neuen Ergebnisse kann die Lücke zwischen der Mitte des 4. und dem 6./7. Jh.⁵⁶³ nicht geschlossen werden. Nach derzeitigem Kenntnisstand muss davon ausgegangen werden, dass die Siedlungsstelle nicht kontinuierlich bis ins Frühmittelalter bewohnt war.

VI Zusammenfassung

Seit der Publikation von Christa Ebnöther im Jahr 1995 sind in Dietikon diverse Ausgrabungen durchgeführt worden, welche die Kenntnisse zum Gutshof deutlich erweitern.

An der Neumattstrasse 11, 13, 15 war im Vorfeld des Neubaus des Bezirksgebäudes eine rund 3500 m² grosse Fläche zu untersuchen. Hier konnten nicht nur zwei neue Steinbauten (Gebäude O und P) vollständig freigelegt werden, sondern es liessen sich auch grundlegende Erkenntnisse zur Früh- und Spätphase des Gutshofs gewinnen.

In die Frühzeit der Gutshofanlage gehören grossflächige Holzbaubefunde. Es handelt sich dabei um Pfosten- und Ständerbauten, die sich einem Zeitraum vom 2. Viertel bis nach der Mitte des 1. Jh. zuweisen lassen. Die Pfostenbauten sind aufgrund der allgemeinen Entwicklung des frühen Holzbaus vermutlich älter als die Ständerbauten: Die Pfostenbauten dürften in die 30er-, die Ständerbauten in die 40er-Jahre des 1. Jh. gehören. Es fällt auf, dass die Pfostenbauten mit ihrer regelmässigen Anordnung die Organisation des steingebauten Gutshofs vorwegnehmen; eine durchgehende Hofbegrenzung ist in dieser Phase allerdings noch nicht vorhanden. Die nachfolgenden Ständerbauten weisen zwar grundsätzlich die gleiche Ausrichtung auf, scheinen aber von der regelmässigen Anordnung der früheren Gebäude abzuweichen.

Eine praktisch sterile Schwemmschicht trennt diese Holzbaubefunde von der Steinbauperiode. Diese steht sicher für einen Siedlungsunterbruch. Da auszuschliessen ist, dass das Gelände längere Zeit unbebaut blieb, vermuten wir, dass dieser Hiatus nur von kurzer Dauer war.

Neben dem Erkenntnisgewinn zum frühen Holzbau haben die Ausgrabungen an der Neumattstrasse auch wichtige Erkenntnisse zur Steinbauperiode gebracht. Wurde bisher vermutet, dass die Gutshofanlage als Ganzes um die Mitte des 1. Jh. aus Stein errichtet wurde, zeigen die neuen Untersuchungen, dass die an der Neumattstrasse liegenden Gebäude O und P – und wohl auch F – erst in flavischer Zeit erstellt wurden und damit rund eine Generation später als die ersten Steinbauten in der *pars rustica*. Möglicherweise lässt sich hierin eine etappierte Realisierung der Gutshofanlage fassen.

Die Zerstörungsdaten der neu aufgedeckten Steingebäude O und P sowie von Bau F, von dem 2004 die Restfläche freigelegt worden ist, lassen eine zeitliche Staffelung erkennen: Bau P wurde bis ins mittlere 3. Jh. genutzt und Bau F bestand vermutlich etwa eine Generation länger. Mit einer Datierung ins dritte oder gar letzte Viertel des 3. Jh. sind die Versturzsichten bei Bau O wohl noch jünger.

Die vereinzeltten Funde aus dem 4. Jh. bei den Gebäuden F und P sprechen wohl eher für eine sporadische Begehung des Geländes als für eine Weiterbesiedlung nach den Zerstörungen in der 2. Hälfte des 3. Jh. Die genannten Funde sind möglicherweise mit einem Pfostenbau zu verbinden, der vermutlich im frühen 4. Jh. zwischen den Gebäuden F und O errichtet wurde. Wenn diese Annahme zutrifft, ist dieses Gebäude bis in die Mitte des 4. Jh. genutzt worden.

Der Pfostenbau aus dem 4. Jh. liegt über einem älteren Holzgebäude, bei dem es sich ebenfalls um einen Pfostenbau handelt. Dieses im 2. Viertel des 3. Jh. errichtete und rund eine Generation später bereits wieder durch einen Brand zerstörte Gebäude ist wichtig für das Verständnis der Gesamtanlage. Sind nämlich bisher zwischen den an der Umfassungsmauer liegenden Gebäuden nur spärliche Befunde festgestellt worden, hat sich das Bild mit der Aufdeckung dieses gut 100 m² grossen Pfostenbaus nun schlagartig verändert. Die Auffindung dieses Gebäudes hat zur Folge, dass in Zukunft auch die Bereiche zwischen den Steinbauten genauer untersucht werden müssen.

Das Areal an der Neumattstrasse ist unbestritten die wichtigste Fundstelle der letzten 15 Jahre und steht daher auch im Fokus der vorliegenden Auswertung. Aber auch verschiedene weitere Eingriffe bringen einen erheblichen Erkenntniszuwachs. Für den Gesamtplan der Gutshofanlage von Bedeutung ist die Aufdeckung des jenseits der Reppisch liegenden Gebäudes N. Der bisher vermutete Verlauf der Gutshofmauer konnte bestätigt werden, das Gebäude an der Umfassungsmauer liegt dagegen gegenüber dem ursprünglich postulierten Standort deutlich versetzt. Vermutlich hängt diese Abweichung vom bisher beobachteten Rhythmus mit dem Durchfluss der Reppisch zusammen, der unmittelbar südöstlich von Bau N anzunehmen ist.

Die Bedeutung der in Gebäude N freigelegten Räucheranlage liegt weniger in der sehr guten Erhaltung als vor allem in der Tatsache, dass die Konstruktion über dem Ziegelversturzt des Dachs errichtet wurde. Damit liegt hier wohl eine «Ruinennutzung» vor. Leider liess sich der Zeitpunkt der vorangegangenen Brandzerstörung nicht bestimmen, sodass die Räucheranlage letztlich nicht datiert werden kann.

Bei Gebäude M, das bisher als «Tempel 1953» bezeichnet wurde, lassen sich wegen der Eingriffe von 1953 keine neuen Erkenntnisse zur Chronologie gewinnen. Die am Schluss der Ausgrabungen durchgeführten Baggerarbeiten, mit denen der Steinbau komplett abgetragen worden ist, haben keine Nachweise für einen hölzernen Vorgänger gebracht.

Die Ausgrabungen auf dem Marktplatz von Dietikon tragen ebenfalls viel zum Gesamtverständnis der Gutshofanlage bei. So konnte hier festgestellt werden, dass die 1986 beim Gebäude E beobachtete lange Mauer die Umfassungsmauer des Gutshofs darstellt. Damit schliesst der am Übergang von *pars urbana* zu *pars rustica* liegende Bau E aussen an die Hofmauer an. Das Gebäude diente aufgrund der baulichen Ausgestaltung – kleine Räume, die sich um einen grösseren Zentralraum (offener Hof?) gruppieren – wohl zu Wohnzwecken.

Ausser den erwähnten, an der Neumattstrasse aufgedeckten Befunden und Funden aus dem 4. Jh. haben wir aus dieser Zeit auch bei den Gebäuden M und N vereinzelt Funde geborgen. Doch auch die neuen Untersuchungen vermögen die bereits früher festgestellte Lücke von der

Mitte des 4. bis ins 6./7. Jh. nicht zu schliessen. Während bei den Gebäuden M und N je ein frühmittelalterliches Grubenhaus nachgewiesen werden kann, bleiben sichere Hinweise auf frühmittelalterliche Bauten an der Neumattstrasse aus. Dies erstaunt vor allem deshalb, weil beim benachbarten Gebäude B in den 1980er-Jahren mehrere Gräber des 7. Jh. festgestellt worden sind. In der Nähe der ehemaligen römischen Villa ist eine beigabenlose Bestattung des 8. oder 9. Jh. zum Vorschein gekommen.

VII Anhang

1 Befundkatalog der spätrömischen und frühmittelalterlichen Strukturen an der Neumattstrasse 11, 13, 15

Erläuterungen zu den genannten Positionen

- Pos. 1: Humus.
Pos. 2: Deckschicht, enthält römisches bis neuzeitliches Material.
Pos. 7: Hof-/Gebäudemauer Bau P.
Pos. 15: Verstürzte Steine der Hofmauer.
Pos. 28: Planierter Ziegelversturz des römischen Holzgebäudes (spätes 3. Jh.).
Pos. 44: Auffüllschicht in Zusammenhang mit der Errichtung der Steinbauten (flavisch).
Pos. 78: Benutzungsschicht zu Holzbau (spätes 3. Jh.).
Pos. 96: Oberster Kies der Erneuerung des Zugangswegs Pos. 102 (um Mitte 3. Jh.).
Pos. 97: Schuttschicht aus grösseren Terrazzobrocken (um Mitte 3. Jh.).
Pos. 143: Steinbauzeitliche Benutzungsablagerung (flavisch bis spätes 3. Jh.).
Pos. 198: Mischschicht über dem Gebäudeabgang (römisch bis Neuzeit).
Pos. 199: Benutzungsschicht auf Mörtelboden.
Pos. 200: Mörtelboden in Gebäude O.
Pos. 231: Ziegelversturz aussen (Gebäudeabgang).
Pos. 233: Gebäudemauer Bau P.
Pos. 234: Neuzeitliche Störung (Grube).
Pos. 235: Steinpfeiler (Eckverstärkung) aussen am Gebäude P.
Pos. 491: SW-Mauer von Bau P.

Zum Pfostenbau des 4. Jh. (?) gezählte Strukturen

Pfostengrube Pos. 41

Dm. ca. 60 cm, Bollensteine (Dm. 10–20 cm). Oben ein Stück neuzeitlicher Ziegel, OK auch ein glasiertes Keramikfragm. (wohl aus der darüberliegenden Pos. 2). Darüber: Pos. 2 und 1, darunter: Pos. 28. Zugewiesene FK: 98, 219.

Grube/Pfostengrube? Pos. 46

Dm. ca. 50 cm, Bollen- und Bruchsteine (Dm. 15–30 cm). Füllung mit Ziegeln Pos. 28. Verbrannte Ziegel auf der Sohle. Darüber: Pos. 2 und 15, darunter: Pos. 28. Zugewiesene FK: 68, 104, 105.

Pfostengrube Pos. 47

Dm. oben ca. 65/80 cm, Bollen- und Bruchsteine (Dm. 15–25 cm). Darüber: Pos. 2 und 15, darunter: Pos. 28. Zugewiesene FK: 69, 107.

Pfostengrube Pos. 48

Dm. oben ca. 50 cm, Bollen- und Bruchsteine (Dm. 15–25 cm). Darüber: Pos. 2 und 15, darunter: Pos. 28. Zugewiesener FK: 97.

Pfostengrube Pos. 99

Dm. 35 cm. Vier stehende Keilsteine, ein Tuff. Pfostenloch: rechteckig 15/17 cm, Füllung humoser Silt. Sohle stumpf. War bereits auf dem Niveau der Ziegel Pos. 28 erkennbar. Darüber: Pos. 28? und 2, darunter: Pos. 78. Zugewiesener FK: 168.

Pfostengrube Pos. 100

Dm. oben 60 cm. Füllung: oben drei grosse Bollensteine (Dm. 20 cm – nicht als Keilsteine). Liegt knapp neben der Flucht des Balkengrabens Pos. 116. Darunter leicht versetzt die Pfostenstellung Pos. 121 (vgl. unten). Wurde nicht geschnitten. Darüber: Pos. 2, darunter: Pos. 121. Zugewiesene FK: –.

Pfostengrube Pos. 105

Dm. 50 cm, Füllung: leicht humoser Silt, keine Steine. Sohle konkav. In Pos. 97 eingetieft. Nicht sicher unter Pos. 28. Darüber: Pos. 2, darunter: Pos. 28?, 15? und 97. Zugewiesene FK: –.

Pfostengrube Pos. 108

Dm. ca. 60 cm, Füllung: humoser Silt, keine Steine. Keine Steine oder

Ziegelversturz darüber. Darüber: Pos. 2, darunter: Pos. 15 und 28. Zugewiesener FK: 182.

Pfostengrube Pos. 109

Oval, Dm. 40/35 cm; fünf gestellte Keilsteine (Dm. 18 cm). Pfostenstellung Dm. 20 cm, Füllung humos-grauer Silt. Sohle etwas stumpf. Darüber: Pos. 96, darunter: Pos. 28. Zugewiesener FK: 159.

Pfostengrube Pos. 118

Dm. 45 cm. Füllung: gestellte kleinere Keilsteine entlang dem Rand; Pfostenloch max. 25 cm tief, Füllung humos-grauer Silt. Sohle etwas stumpf. Darüber: Pos. 2, darunter: Pos. 44. Zugewiesene FK: –.

Pfostengrube Pos. 119

Oben länglich-oval. Dm. 40/30 cm; im NW-Bereich der Grube eine mögliche Pfostenstellung, Dm. max. 25 cm, Sohle leicht konkav. Im SE schräg abfallende Sohle. Darüber: Pos. 2 und 78?, darunter: Pos. 44. Zugewiesener FK: 170.

Pfostengrube Pos. 121

Dm. 40 cm. Füllung: humos-grauer Silt, drei Bollen-/Bruchsteine (Dm. 25 cm). Flache Sohle. Liegt knapp neben dem Balkengraben Pos. 116. Darüber leicht versetzt die Pfostengrube Pos. 100 (vgl. oben). Möglicherweise liegt hier die Reparatur eines Pfostens vor. Darüber: Pos. 100 und 2, darunter: Pos. 44. Zugewiesener FK: 165.

Plattige Steine Pos. 69

Die obersten Steine ragten bei der Freilegung über den planierten Ziegelversturz Pos. 28 hinaus. Weiterbenutzung? Im Bereich des früheren Eingangs zum Holzgebäude. Darüber: Pos. 15, darunter: Pos. 28. Zugewiesene FK: 55, 150.

Balkengrübchen Pos. 117

Breite 20–30 cm, etwas unförmig, Sohle unregelmässig (Balkenunterzug?). Unmittelbar neben Graben Pos. 116. Darüber: Pos. 28? und 2, darunter: Pos. 97. Zugewiesene FK: –.

Flache Mulde (kein Befund?) Pos. 182

Dm. 30 cm, flache Mulde mit Geröll (Dm. bis 8 cm), Ziegelstücke, Kontur diffus. Darüber: Pos. 2, darunter: Pos. 143 und 44. Zugewiesene FK: –.

Weitere Befunde zwischen den Gebäuden F und O

Pfostengrube Pos. 103

Dm. 60 cm. Füllung: oben Bollen- und Bruchsteine (Dm. 25 cm), keine eigentliche Pfostengrube auszumachen. Ausserhalb Hofmauer. Unmittelbar neben Störung in der Hofmauer (Lfm. 79/80). Darüber: Pos. 2, darunter: Pos. 44, 15? und 28? Zugewiesene FK: –.

Pfostengrube Pos. 104

Rechteckig, Masse: 65/40 cm. Füllung: oben Bollen- und Bruchsteine (Dm. 20 cm), nur einlagig; keine Pfostenstellung feststellbar. Liegt unmittelbar innen an der Gutshofmauer. Dort auch eine Störung der Mauer. Liegt über dem Graben Pos. 116 (Holzbau). Darüber: Pos. 2, darunter: Pos. 28 und 116. Zugewiesene FK: –.

Pfostengrube Pos. 145

Dm. ca. 30 cm; liegt direkt an Mauer von Gebäude O; im SW ein stehender Keilstein; im Pfostenloch ein Bollenstein. Evtl. Gerüstpfosten zu Umbau? Darüber: Pos. 2, darunter: Pos. 28. Zugewiesene FK: –.

Pfostengrube Pos. 150

Dm. oben 55 cm. Darüber: Pos. 2, darunter: Pos. 28. Zugewiesene FK: –.

Pfostengrube? Pos. 175

Zwei stehende Steine in Pos. 143, anliegend an Kanälchen Pos. 174. Erst ab OK dritter Abstich Pos. 143 erkennbar. Darüber: Pos. 143?, darunter: Pos. 44. Zugewiesene FK: –.

Mögl. Pfostengrube Pos. 196

Dm. 25 cm; Füllung: grauer Silt. Zwei stehende Steine als mögliche Keilsteine. Dm. Pfostenstellung ca. 15 cm. Keine Sohle gefunden. Liegt dicht am Kanälchen Pos. 174. Analog Pos. 175. Darüber: Pos. 2, darunter: Pos. 143. Zugewiesene FK: –.

Grosse Grube Pos. 138

Grube, 1,8 x 1,5 m; Füllung: oben Bollen- und Bruchsteine (Dm. 20–30 cm) mit humosem Silt; darüber einige grössere Ziegelstücke (zu Pos. 28?), evtl. verfüllt mit Versturz aus Abgang. An der Hofmauer liegend. Darüber: Pos. 2, darunter: Pos. 28. Zugewiesene FK: 191, 198.

Verlegte Leistenziegel Pos. 173

Grosse Stücke von Leistenziegeln mit der Leiste nach unten verlegt. Unmittelbar an Mauer von Gebäude O angebaut. Keine offensichtliche Brandschwärzung von Befeuerng erkennbar. Konstruktion ist nicht mehr vollständig; erhaltene Fläche ca. 100 x 50 cm. Nach SW setzt Pos. 187 an, der dürftige Rest eines Kanälchens/Rauchkanals? Darüber: Pos. 2, darunter: Pos. 143. Zugewiesene FK: –.

Kanälchen Pos. 174

Kanälchen, parallel zur Gebäudemauer von Bau O. Stehende Ziegel, vermutlich Fortsetzung von Kanälchen Pos. 187. Wohl zu Pos. 173 gehörig. Darüber: Pos. 2, darunter: Pos. 143. Zugewiesene FK: –.

Kanälchen Pos. 187

Stehende Ziegelstücke entlang der Mauer von Gebäude O. Schliesst an die verlegten Ziegel Pos. 173 an. Vermutlich Fortsetzung von Pos. 174. Wohl zu Pos. 173 gehörig. Darüber: Pos. 2, darunter: Pos. 143. Zugewiesene FK: –.

Befunde im Gebäude O

Pfostenstellung Pos. 226

Durchschlägt den Mörtelboden Pos. 200, keine Ziegel des Versturzes Pos. 28 darüber. Darüber: Pos. 199?, darunter: Pos. 200. Zugewiesener FK: 298.

Befunde im Gebäude P

Pfostenloch Pos. 493

Dm. 22 cm. Füllung: humoser Silt, Mörtelstück, Ziegelstück, flacher Stein auf der Sohle (Auflager?). Auf der erhaltenen Krone der SW-Mauer von Bau P (Pos. 491). Darüber: Pos. 198, darunter: Pos. 491. Zugewiesene FK: –.

Pfostengrube Pos. 377

Dm. 30 cm. Füllung: humoser Silt mit vielen Mörtelstücken. Greift in Mauerecke Pos. 7/233 ein. Stützpfeiler? Darüber: Pos. 2, darunter: Pos. 7. Zugewiesene FK: –.

Pfostengrube Pos. 378

Dm. 25/20 cm. Füllung: humoser Silt, wenige Mörtelstückchen, Sohle auf Mauerfundament. Greift in Mauer Pos. 7 ein. Stützpfeiler? Darüber: Pos. 2, darunter: Pos. 7. Zugewiesene FK: 473, 495, 496.

Pfostengrube Pos. 379

Dm. ca. 25 cm. Füllung: humoser Silt mit einzelnen Mörtelstücken. Sohle auf Mauerfundament. Aussen an der Hofmauer in die Eckverstärkung Pos. 235 eingetieft. Stützpfeiler? Darüber: Pos. 2, darunter: Pos. 235. Zugewiesene FK: –.

Pfostengrube Pos. 404

Dm. 25–30 cm. Füllung: dunkelhumoser Silt, viele kleine Mörtelkrümel. Sohle auf Mauerfundament. Greift in Mauer Pos. 7 ein. Stützpfeiler? Darüber: Pos. 2, darunter: Pos. 7. Zugewiesener FK: 497.

Pfostengrube Pos. 417

Dm. 30 cm. Füllung: humoser Silt und Mörtelkrümel, stehende Ziegelstücke am Rand und in der Füllung. Greift zur Hälfte in Mauer Pos. 7 ein. Stützpfeiler? Darüber: Pos. 198, darunter: Pos. 7. Zugewiesener FK: 487.

Pfostengrube Pos. 418

Rechteckig, 20 x 35 cm. Füllung: humoser Silt. Greift zur Hälfte in Mauer Pos. 7 ein. Stützpfeiler? Darüber: Pos. 198, darunter: Pos. 7. Zugewiesene FK: –.

Pfostengrube?/ Befund unsicher Pos. 429

35 x 30 cm. Füllung: humoser Silt mit Mörtelkrümel. Greift in Mauer Pos. 7 ein. Stützpfeiler? Darüber: Pos. 2, darunter: Pos. 7. Zugewiesene FK: –.

Brandflecken (ohne Pos.-Nr.)

Zwei Brandflecken auf der erhaltenen Krone der SW-Mauer von Bau P (Pos. 491). Darüber: Pos. 198, darunter: Pos. 491. Zugewiesene FK: –.

Befunde nordwestlich von Gebäude P (Feld 22)

Pfostengrube Pos. 247

Dm. ca. 55 cm, wenig tief; Füllung: humoser Silt mit vier stehenden Keilsteinen. Ab Niveau Pos. 231 sichtbar. Darüber: Pos. 2, darunter: Pos. 231. Zugewiesener FK: 433.

Pfostengrube Pos. 248

Dm. ca. 40 cm; Füllung: humoser Silt mit drei stehenden Keilsteinen. Dm. Pfostenloch ca. 18 cm. Ab Niveau Pos. 231 sichtbar. Darüber: Pos. 2, darunter: Pos. 231. Zugewiesener FK: 422.

Grube/Störung Pos. 238

Halbkreisartige Störung aussen an Gebäudemauer Pos. 233. Kindergrab Pos. 232 wurde mit dieser Grube gestört. Darüber: Pos. 2 und 234, darunter: Pos. 231. Zugewiesene FK: 311, 428.

Kinderbestattung Pos. 232?

Gestört durch die Grube Pos. 238. In der Füllung der Grube Pos. 238 ein evtl. frühmittelalterliches Gefäss (Kat. 65). Darüber: Pos. 2 und 238, darunter: Pos. 44. Zugewiesener FK: 310.

2 Tabellen

| Pos. | Beschreibung | Felder | Zugewiesene FK |
|------|--|--------|----------------|
| 62 | Praktisch steriler Silt (Schwemmschicht) | 25, 26 | 562 |
| 62 | Praktisch steriler Silt (Schwemmschicht) | 30 | 595 |
| 220 | Praktisch steriler Silt (Schwemmschicht) | 19 | 454 |
| 220 | Praktisch steriler Silt (Schwemmschicht) | 20 | 460 |

Tab. 1. Neumattstr. 11, 13, 15. Die Zwischenschicht Pos. 62/220 über den Holzbaubefunden.

| Pos. | Beschreibung | Felder | Zugewiesene FK |
|------|--|--------|----------------|
| 45 | Humos-grauer Silt | 2 | 67 |
| 45 | Humos-grauer Silt | 2 | 78 |
| 455 | Hellgrauer Silt mit wenigen Holzkohlepartikeln, fließender Übergang zu Pos. 62 | 36–38 | – |
| 573 | Dunkelgrauer Silt, enthält viele Holzkohle-Partikel | 37, 38 | 643, 689 |
| 573 | Dunkelgrauer Silt, enthält viele Holzkohle-Partikel | 38 | 710 |
| 618 | Grauer Silt mit Holzkohle-Partikeln | 39, 40 | 732, 735 |
| 618 | Grauer Silt mit Holzkohle-Partikeln | 40 | 707 |

Tab. 2. Neumattstr. 11, 13, 15. Das Trampelniveau Pos. 45/455/573/618 in Zusammenhang mit der Errichtung der Steinbauten.

| Pos. | Beschreibung | Felder | Zugewiesene FK |
|------|---|--------|--------------------------|
| 44 | Grau-gelber Silt mit Ziegelstücken. Planie | 2 | 49, 79, 87, 88, 101, 111 |
| 44 | Grau-gelber Silt mit Ziegelstücken. Planie | 3 | 154, 452 |
| 44 | Grau-gelber Silt mit Ziegelstücken. Planie | 3–8 | 336 |
| 44 | Grau-gelber Silt mit Ziegelstücken. Planie | 9 | 160, 164 |
| 44 | Grau-gelber Silt mit Ziegelstücken. Planie | 11 | 214, 218, 222, 224 |
| 44 | Grau-gelber Silt mit Ziegelstücken. Planie | 11, 12 | 338 |
| 44 | Grau-gelber Silt mit Ziegelstücken. Planie | 11–14 | 335 |
| 44 | Grau-gelber Silt mit Ziegelstücken. Planie | 12 | 227 |
| 44 | Grau-gelber Silt mit Ziegelstücken. Planie | 13 | 255 |
| 44 | Grau-gelber Silt mit Ziegelstücken. Planie | 15, 16 | 272 |
| 44 | Grau-gelber Silt mit Ziegelstücken. Planie | 22 | 431, 448 |
| 44 | Grau-gelber Silt mit Ziegelstücken. Planie | 22, 23 | 443, 450 |
| 44 | Grau-gelber Silt mit Ziegelstücken. Planie | 23 | 420, 430, 456, 464 |
| 44 | Grau-gelber Silt mit Ziegelstücken. Planie | 27 | 444, 455 |
| 532 | Gelber Silt mit wenigen kleinen Ziegelstücken. Planie | 38 | 636, 647, 702, 708 |
| 604 | Hellbrauner Silt mit vielen kleinen Ziegelstücken. Planie | 40 | 706 |

Tab. 3. Neumattstr. 11, 13, 15. Die steinbauzeitliche Deckschicht Pos. 44/532/604 ausserhalb der Gebäude.

| Pos. | Beschreibung | Felder | Zugewiesene FK |
|------|---|--------|---|
| 1 | Humus | 1 | 1 |
| 2 | Nachrömische Deckschichten (bis modern) | 1 | 3, 4, 5 |
| 3 | Gebäudeversturz | 1 | 7, 8, 9 |
| 5 | Verfüllung Ofenanlage. Versturz | 1 | – |
| 13 | Verfüllung Heizkanäle. Versturz | 1 | 17 |
| 10 | Feuerstelle (= Ebnöther 1995, FST 14) | 1 | 15 |
| 9 | Feuerstelle (= Ebnöther 1995, FST 13) | 1 | – |
| 16 | Feuerstelle (= Ebnöther 1995, FST 12) | 1 | – |
| 11 | Planie. Überlagert die Feuerstelle Pos. 17. Die stehenden Ziegel der Feuerstelle Pos. 10 sind darin gesetzt | 1 | 10, 11, 12, 14, 16, 18, 22 (FK 12 aus Pos. 11/3) |
| 18 | Feuerstelle (= Ebnöther 1995, FST 9) | 1 | 23 |
| 17 | Feuerstelle (= Ebnöther 1995, FST 10) | 1 | – |
| 14 | Kiesplanie. Gelniveau zu Ofenanlage Pos. 8 | 1 | 27, 35 |
| 19 | Siltplanie | 1 | 26 |
| 23 | Unterste Benutzungsschicht | 1 | 28, 34 |
| 26 | Gelber, sandiger, steriler Silt | 1 | 36, 50 (Fundsackbeschriftung FK 36: aus Pos. 26 und 29) |
| 29 | Steinabschläge. Bauniveau | 1 | – |
| 62 | Praktisch steriler Silt. Schwemmschicht | 1 | – |
| 30 | Gewachsener Boden | 1 | – |

Tab. 4. Neumattstr. 11, 13, 15. Die wichtigsten Schichten in Gebäude F gemäss stratigraphischer Lage (unter Einbezug der Feuerstellen 9, 10, 16, 17, 18).

| Pos. | Beschreibung | Felder | Zugewiesene FK |
|------|---|--------|------------------------------|
| 2 | Nachrömische Deckschichten bis NZ | 19 | 274 |
| 2 | Nachrömische Deckschichten bis NZ | 18 | 273 |
| 198 | Mischschicht über Gebäudeversturz (römisch bis NZ) | 17–20 | 280, 721 |
| 198 | Mischschicht über Gebäudeversturz (römisch bis NZ) | 20 | 277, 278, 284, 288, 289, 314 |
| 198 | Mischschicht über Gebäudeversturz (römisch bis NZ) | 19 | 270, 276, 286 |
| 198 | Mischschicht über Gebäudeversturz (römisch bis NZ) | 18 | 271 |
| 28 | Ziegelversturz | 18 | 281 |
| 201 | Verbrannter Hüttenlehm (zu Brandschicht Pos. 203) | 18 | – |
| 203 | Brandschicht über Benutzung Pos. 204 | 19 | 293–295 |
| 203 | Brandschicht über Benutzung Pos. 204/230 | 18 | 287 |
| 230 | Letzte Benutzungsschicht auf Lehm Boden Pos. 205/214 (= Pos. 204) | 20 | 299–301, 303, 315, 322 |
| 204 | Letzte Benutzungsschicht auf Lehm Boden Pos. 205/214 | 19 | 292, 304–306 |
| 204 | Letzte Benutzungsschicht auf Lehm Boden Pos. 205/214 | 18 | 290, 291, 297 |
| 199 | Letzte Benutzungsschicht auf Mörtelboden Pos. 200, gleichzeitig wie Pos. 204 | 18 | 282, 283 |
| 214 | Gelber, fleckiger Lehm. Lehm Boden = Pos. 205 (Feld 18). In Feld 20 direkt auf Pos. 218 | 20 | 325, 329, 331, 332, 333 |
| 214 | Gelber, fleckiger Lehm. Lehm Boden = Pos. 205 (Feld 18) | 19 | 319 |
| 215 | Mörtelschutt. Planie | 19 | 323 |
| 215 | Mörtelschutt. Planie | 20 | 324 |
| 216 | Planie | 19 | 351, 392, 423 |
| 217 | Humos-grauer Silt. Benutzung? | 19 | 339, 340 |
| 205 | Grauer, fleckiger Silt. Jüngerer Lehm Boden im Bereich neben der Grube Pos. 257 = Pos. 214. Gleichzeitig wie Pos. 200 | 18 | 327 |
| 209 | Grauer, fleckiger Silt. Älterer Lehm Boden im Bereich neben der Grube Pos. 257 | 18 | 328 |
| 200 | Mörtelboden im Bereich der Grube Pos. 257 | 18 | – |
| 206 | Lehmplanie im Bereich der Grube Pos. 257 | 18 | 316 |
| 207 | Bollensteinpackung im Bereich der Grube Pos. 257 | 18 | – |
| 208 | Mörtel- und Ziegelschutt. Planie im Bereich der Grube Pos. 257 | 18 | 326, 330 |
| 218 | Unterste Benutzungsschicht | 20 | 343, 344, 348, 686 |
| 218 | Unterste Benutzungsschicht | 19 | 393, 409 |
| 210 | Zweite Benutzungsschicht im Bereich der Grube Pos. 257 und unterste Benutzungsschicht im restlichen Bereich von Feld 18 (= Pos. 218 in den Feldern 19 und 20) | 18 | 334 |
| 211 | Kiesplanie im Bereich der Grube Pos. 257 | 18 | 355 |
| 258 | Auffüllung mit Bollensteinen im Bereich der Grube Pos. 257 | 19 | 357 |
| 212 | Unterste Benutzungsschicht im Bereich der Grube Pos. 257 (Fundzettel FK 269: Putzen SE-Profil, aus unterer Schicht. Pos. 204, 208, 210, 212) | 18 | 269, 356 |
| 255 | Steriler Silt. Aushub für Grube Pos. 257? | 18 | – |
| 213 | Kieselniveau in der NE-Ecke. Bauhorizont? | 18 | – |
| 220 | Praktisch steriler Silt, Schwemmschicht (= Pos. 62) | 19, 20 | 454, 460 |
| 221 | Benutzungsschicht Holzbauperiode (= Pos. 63) | 19 | – |
| 30 | Gewachsener Boden | 18–20 | – |

Tab. 5. Neumattstr. 11, 13, 15. Die wichtigsten Schichten in Gebäude O (Felder 18–20) gemäss stratigraphischer Lage.

| Pos. | Beschreibung | Felder | Zugewiesene FK |
|--------|--|--------|------------------------------|
| 198 | Mischschicht über Gebäudeversturzt (römisch bis NZ) | 39, 40 | 655, 660, 661, 662, 667, 668 |
| 591 | Kleinteiliger Ziegelschutt im Bereich des Vorplatzes und darüber hinaus. Auf dem obersten Kies Pos. 592 liegend | 39, 40 | 664, 672, 688 |
| 592 | Oberster Kies. Auf Kies Pos. 630 (innerhalb Portikus) und 613 (ausserhalb Portikus) liegend, teilweise von Siltlinse Pos. 616 getrennt | 39, 40 | 695, 696 |
| 616 | Gelbe Siltlinse innerhalb der Portikus. Trennt oberen Kies Pos. 592 vom mittleren Kies Pos. 630 | 39 | 712 |
| 613 | Kiesplatz, ausserhalb Portikus (Trennung Graben Pos. 617): wohl gleichzeitig wie Kies Pos. 630. Ruht auf Ziegelplanie Pos. 594 | 39, 40 | 703, 705, 709, 715 |
| 594 | Ziegelplanie. Liegt nur ausserhalb des Balkenrähchens Pos. 617 (= ausserhalb Portikus). Darüber Pos. 613 | 39, 40 | 720, 722, 723, 747 |
| 631 | Wegkoffer (Kiesweg). Sicher unter Ziegeln Pos. 594, wohl auch unter Ziegeln Pos. 632 | 39, 40 | 730 |
| 630 | Zweiter Kiesplatz im Portikusbereich. Gleichzeitig wie Kiesplatz ausserhalb Portikus (Pos. 613) | 39 | 725 |
| 614 | Mörtelschutt (Planie). Unterlage für Kiesplatz Pos. 630 | 39 | 711, 727 |
| 632 | Ziegelstücke (Planie). Unterlage für Kiesplatz Pos. 630 | 39 | 729 |
| 634 | Gelber, relativ steriler Sand (Schwemmlinse?). Trennt Ziegelplanie Pos. 632 von Ziegelplanie Pos. 635 | 39, 40 | 733 |
| 635 | Planie mit kleinen Ziegelstücken, vor dem Eingang. Lokale Ausbesserung des Kiesplatzes Pos. 633 | 39, 40 | 726, 731 |
| 604 | Gelber Silt mit Ziegelstücken. Planie. Entspricht wohl Pos. 44 und 532 | 40 | 706 |
| 633 | Unterster Kiesplatz. Dazu gehört der (zweiphasige) Weg Pos. 631 | 39 | 734 |
| 640 | Planie mit grossen Ziegeln. Unter dem Kiesplatz Pos. 633 | 39 | 728, 736 |
| 645 | Steinunterkofferrung für Kiesplatz Pos. 633; nur im Bereich des Eingangs vorhanden | 39 | 737,744 |
| 197 | Kies-/Gehniveau über Bauniveau Pos. 169 | 39, 40 | 739 |
| 169 | Bauniveau zu Steinbau | 39, 40 | – |
| 618 | Trampelniveau in Zusammenhang mit der Errichtung des Steingebäudes (auf Pos. 62) | 39, 40 | 707, 732, 735 |
| 62/220 | Praktisch steriler Silt, Schwemmschicht | 39, 40 | – |
| 30 | Gewachsener Boden | 39, 40 | – |

Tab. 6. Neumattstr. 11, 13, 15. Die wichtigsten Schichten im Vorplatzbereich von Gebäude O (Felder 39, 40, 42) gemäss stratigraphischer Lage.

| Pos. | Beschreibung | Felder | Zugewiesene FK |
|------|--|------------|---|
| 2 | Nachrömische Deckschichten bis NZ | | |
| 198 | Mischschicht über Gebäudeversturzt (römisch bis NZ) | 36–38 | 568, 571, 572, 574 |
| 452 | Zweiter und oberster Kieskoffer, mit Mühlstein als Auflager für Pfosten? (Pos. 566) | 37, 38 | 528, 577, 665, 697 |
| 626 | Niveau mit Mörtelstückchen. Lokale Linse (Umbau). Liegt auf Ziegelplanie Pos. 453 und unter Kies Pos. 452 | 37, 38 | – |
| 453 | Ziegelschuttplanie (Umbau?). Wurde in Feld 38 in zwei Abstichen abgetragen. 1. Abstich: Unterkofferrung für Pos. 452 (FK 578, 585), 2. Abstich: Ziegelplanie Pos. 453 (FK 591) | 36, 37, 38 | 578, 585, 586, 590, 591, 666, 701, 704, 718 |
| 503 | Unterste Benutzungsablagerung auf dem Kiesweg Pos. 454/514 | 37, 38 | 600, 606, 683, 698 |
| 531 | Gelber Silt. Planie. In der flachen Rinne entlang dem Wegkoffer Pos. 454/514. Über Pos. 577 | 38 | 617 |
| 577 | Steine und Ziegel. Planie. In der flachen Rinne entlang dem Wegkoffer Pos. 454/514. Darunter Pos. 514, darüber Pos. 531 und Benutzung Pos. 503 | 38 | 632 |
| 532 | Planie. Entspricht Pos. 44 und 604. Liegt randlich über dem Kiesweg Pos. 454/514 | 37, 38 | 636, 647, 702, 708 |
| 514 | Erster Kiesweg zum Steingebäude (= Pos. 454). Wird randlich von Pos. 532 überdeckt | 37, 38 | 648 |
| 454 | Erster Kiesweg zum Steingebäude (= Pos. 514). Wird randlich von Pos. 532 überdeckt | 37, 38 | – |
| 504 | Bruchsteinpackung aus grösseren Steinabschlägen. Leicht bombierter Unterbau für Kiesweg Pos. 514 | 37, 38 | 607, 618, 682 |
| 586 | Kieskeil. Zieht auf Fundamentabsatz und die Mörtelbraue der Mauer. Bauniveau | 38 | 653 |
| 573 | Trampelniveau in Zusammenhang mit der Errichtung des Steingebäudes (auf Pos. 62). Entspricht Pos. 455 | 37, 38 | 643, 689, 710 |
| 455 | Trampelniveau in Zusammenhang mit der Errichtung des Steingebäudes (auf Pos. 62). Entspricht Pos. 573 | 36–38 | – |
| 62 | Praktisch steriler Silt, Schwemmschicht (= Pos. 220 in Bau O) | 36–38 | – |
| 30 | Gewachsener Boden | 36–38 | – |

Tab. 7. Neumattstr. 11, 13, 15. Die wichtigsten Schichten im Vorplatzbereich von Gebäude P (Felder 36, 37, 38) gemäss stratigraphischer Lage.

| Pos. | Beschreibung | Felder | Zugewiesene FK |
|------|---|--------------|--|
| 2 | Nachrömische Deckschichten (bis NZ) | 25,26/27 | 441, 514 |
| 198 | Mischschicht über Gebäudeversturz (römisch bis NZ) | 25,26, 34,35 | 439, 447, 451, 457, 459, 510, 520, 575, 576, 669 |
| 372 | Reste von Gebäudeversturz; teilweise neuzeitlich gestört | 26, 34, 35 | 467, 570, 588, 658 |
| 390 | Kleinteiliger, ausplanierter Ziegelversturz (Gebäudeversturz) in beiden Raumteilen | 25,26, 34,35 | 463, 465, 468, 469, 579, 589 |
| 399 | Lehmlinse. Verstürzter brandgeröteter Lehm aus Ofenkonstruktion oder Flechtwerkwand? Über Pos. 398, im abgetieften Gebäudeteil (Pos. 420) | 26 | 479 |
| 398 | Späte Benutzungslagerung, vor allem im abgetieften Gebäudeteil (Pos. 420) feststellbar | 25, 26, 35 | 470, 478, 494, 583, 671 |
| 395 | «Mittlere» Benutzungslagerung. Liegt im abgetieften Gebäudeteil (Pos. 420) auf Pos. 409 und unter Pos. 398, im Bereich daneben auf Pos. 396 | 25,26, 34,35 | 471, 472, 475, 476, 512, 584, 587, 656 |
| 409 | Lehmboden (Gehniveau) im abgetieften Gebäudeteil (Pos. 420) | 26 | 508, 519 |
| 401 | Kleinteilige Ziegelschicht (Planierter Ziegelschutt nach Brand) im abgetieften Gebäudeteil (Pos. 420), über Brandschicht Pos. 410 | 26, 35 | 477, 492, 604 |
| 410 | Brandschicht im abgetieften Gebäudeteil (Pos. 420), über Benutzung Pos. 428 | 26 | 484, 489, 490, 491, 502 |
| 428 | Unterste Benutzungsschicht im abgetieften Gebäudeteil (Pos. 420) | 26, 35 | 509, 602 |
| 420 | Abgetiefter Bereich im Südosten (Raum?) | 26, 35 | – |
| 396 | Unterste Benutzungsschicht, vor allem im Nordwesten nachgewiesen | 25,26, 34,35 | 503, 533, 642, 651 |
| 62 | Praktisch steriler Silt, Schwemmschicht (= Pos. 220, Bau O) | 25,26 | 562 |
| 30 | Gewachsener Boden | 25,26, 34,35 | – |

Tab. 8. Neumattstr. 11, 13, 15. Die wichtigsten Schichten in Gebäude P (Felder 25, 26, 34, 35) gemäss stratigraphischer Lage.

Tab. 9. Gebäude P. Botanische Artenliste der Probe FK 491. Probennummer IPNA: DINM 491 (Marlu Kühn).

Probennummer **DINM 491**
 Probenvolumen vor Schlämmen wassergesättigt (ml) **7000**

| Wissenschaftlicher Name | Resttyp | Anzahl | Deutscher Name |
|--------------------------------------|---------------|--------------|----------------------------|
| Kulturpflanzen | | | |
| Getreidekörner | | | |
| <i>Cerealia</i> | Frucht | 275 | Getreide |
| <i>Hordeum vulgare</i> | Frucht | 12348 | Spelzgerste |
| <i>Secale cereale</i> | Frucht | 101 | Roggen |
| <i>Triticum dicoccon</i> | Frucht | 34 | Emmer |
| <i>Triticum monococcum</i> | Frucht | 1 | Einkorn |
| <i>Triticum nudum</i> | Frucht | 67 | Nacktwoizen |
| <i>Triticum</i> | Frucht | 168 | Weizen |
| <i>Triticum spelta</i> | Frucht | 135 | Dinkel |
| Summe Getreidekörner | | 13129 | |
| Getreidedreschreste | | | |
| <i>Cerealia</i> | Dreschrest | 31 | Getreide |
| <i>Hordeum vulgare</i> | Spindelglied | 67 | Spelzgerste |
| <i>Triticum spelta</i> | Hüllspelzbase | 68 | Dinkel |
| Summe Getreidedreschreste | | 166 | |
| Getreide Summe | | 13294 | |
| Nüsse | | | |
| <i>Juglans regia</i> | Frucht | 3 | Walnuss |
| Hülsenfrüchte | | | |
| <i>Pisum sativum</i> | Same | 1 | Gartenerbse |
| Kulturpflanzen Summe | | 13298 | |
| Wildpflanzen | | | |
| Wintergetreideunkräuter | | | |
| <i>Avena fatua</i> | Blütenbasis | 896 | Flughafer |
| <i>Fallopia convolvulus</i> | Frucht | 98 | Windknöterich |
| <i>Vicia sativa</i> s.l. | Same | 34 | Futterwicke |
| <i>Valerianella dentata</i> | Same | 31 | Gezählter Ackersalat |
| Wintergetreideunkräuter Summe | | 1060 | |
| Hackfruchtunkräuter | | | |
| <i>Chenopodium album</i> | Same | 408 | Weisser Gänsefuß |
| <i>Polygonum lapathifolium</i> | Frucht | 33 | Ampferblättriger Knöterich |
| <i>Chenopodium ficifolium</i> | Same | 94 | Feigenblättriger Gänsefuß |
| Hackfruchtunkräuter Summe | | 536 | |
| Ruderalpflanzen | | | |
| <i>Calystegia sepium</i> | Same | 33 | Zaunwinde |
| <i>Galium aparine</i> | Frucht | 1328 | Kletten-Labkraut |
| <i>Hordeum murinum</i> | Frucht | 67 | Mäusegerste |
| <i>Rumex obtusifolius</i> -Typ | Frucht | 131 | Stumpfblättriger Ampfer |
| Ruderalpflanzen Summe | | 1559 | |
| Grünlandpflanzen | | | |
| <i>Medicago lupulina</i> | Same | 161 | Hopfenklee |
| <i>Plantago media</i> | Same | 31 | Mittlerer Wegerich |
| Grünlandpflanzen Summe | | 192 | |
| Wildpflanzen Summe | | 3347 | |
| Bestimmte Reste Summe | | 16646 | |

| FK | Pos. | Material | Schmuck/Tracht | Nadeln | Transport/Pferd | Gefässe | Schlossbleche | Beschläge | Blechteile | Geräte | Nägeln | Unbestimmbar |
|-----|------|--------------|----------------|--------|-----------------|---------|---------------|-----------|------------|--------|--------|--------------|
| 96 | 57 | Silber? | 1 | | | | | | 1 | | | |
| 142 | 28 | Blei | | | | | | | 1 | | | |
| 61 | 28 | Bronze | | | | | | 2 | Div. | | 10 | |
| 62 | 57 | Bronze | | | | 1? | | | | | | |
| 64 | 57 | Bronze | | | | | 1 | | 5 | | | |
| 74 | 57 | Bronze | | | | | | | | 1 | | |
| 80 | 57 | Bronze | 1? | | | | | | | | | |
| 89 | 57 | Bronze | | | | | | | | | 1 | |
| 91 | 57 | Bronze | | | | | | 2 | 5 | | 1 | |
| 92 | 57 | Bronze | | 1? | 1 | | | 1 | Div. | | 8 | |
| 102 | 28 | Bronze | | 1 | | | | | | | | |
| 187 | 28 | Bronze | | | | | | | 5 | | | 8 |
| 188 | 28 | Bronze | | | 1 | | | | | | | |
| 231 | 28 | Bronze | | | | | | | 1 | | | |
| 232 | 28 | Bronze | 1 | | | | | | | | | |
| 233 | 28 | Bronze | | | | Div. | | | | | | |
| 234 | 28 | Bronze | | | 1 | | | | | | | |
| 237 | 28 | Bronze/Eisen | | | 1? | | | | | | | |
| 92 | 57 | Bronze/Eisen | | | | | | | | 1 | | |

Tab. 10a. Neumattstr. 11, 13, 15. Ziegelgedecktes Holzgebäude. Die Funde aus Edelmetall, Bronze und Blei aus der Benutzungsschicht im Holzgebäude (Pos. 57, 78 und 28).

| FK | Pos. | Werkzeuge | Landwirtschaftl/Wagen | Küchengeräte | Lampen | Schlüssel/Schloss | Verschiedene Verbindungsbestandteile | Ketten | Nägels | Bleche | Anderes (u.a. Stäbe) | Unbestimmbar |
|-----|------|-----------|-----------------------|--------------|--------|-------------------|--------------------------------------|--------|--------|--------|----------------------|--------------|
| 45 | 28 | | | | | | | | 4 | | | |
| 60 | 28 | | | | | | | | 1 | | | |
| 61 | 28 | 1 | | | | | | | 36 | 1 | 1 | Div. |
| 63 | 28 | | | | | | | 1 | | | | |
| 64 | 57 | | | | | | | | 2 | | | |
| 71 | 57 | | | | | | | | Div. | Div. | Div. | Div. |
| 71 | 57 | | | 1? | | 2 | 1 | | 3 | | | |
| 72 | 57 | | 1 | 1 | | | 1 | | 7 | | | Div. |
| 75 | 57 | | | 1 | | | | | | | | |
| 80 | 57 | | 1 | | | | | | 4 | 3 | | Div. |
| 91 | 57 | | | | | | | | 1 | | 1 | Div. |
| 92 | 57 | | | | | | 1 | | | | | Div. |
| 93 | 57 | | | | | | | | 3 | | | Div. |
| 94 | 57 | | | | | | 1 | | | | | Div. |
| 95 | 57 | | | | | | | | 4 | | | Div. |
| 99 | 57 | | | | | | 1 | | 7 | | | |
| 103 | 28 | | | | | | | | 4 | | | 2 |
| 128 | 28 | | | | | | | | 1 | | | |
| 142 | 28 | 1 | | 1 | | | | | 15 | | 1 | |
| 148 | 78 | | | | | | | | 17 | | | |
| 184 | 28 | | | | | | | | 12 | 1 | 1 | 4 |
| 186 | 28 | | | | | 1 | | | | | | |
| 187 | 28 | | 2 | | 1 | | 2 | | 44 | 1 | 1 | 12 |
| 231 | 28 | | | | | | | | 4 | | | |
| 235 | 28 | 1 | | | | | | | | | | 14 |
| 236 | 28 | 1 | | | | | 1 | | 9 | | 2 | |
| 256 | 28 | | | | | | | | 14 | 1 | 1 | |
| 257 | 28 | | | | | | | | 4 | | | 1 |

Tab. 10b. Neumattstr. 11, 13, 15. Ziegelgedecktes Holzgebäude. Die Eisenfunde aus der Benutzungsschicht im Holzgebäude (Pos. 57, 78 und 28).

| Pos. | Beschreibung | Felder | Zugewiesene FK |
|------|--|--------|----------------|
| 194 | Grauer, kiesiger Lehm, steril. Holzbauzeitliches Gelniveau | 14 | 398 |
| 63 | Holzbauzeitliche Benutzungsschicht | 2 | 86 |
| 63 | Holzbauzeitliche Benutzungsschicht | 3 | 435 |
| 63 | Holzbauzeitliche Benutzungsschicht | 11 | 427, 438 |
| 63 | Holzbauzeitliche Benutzungsschicht | 12 | 371 |
| 63 | Holzbauzeitliche Benutzungsschicht | 11–14 | 341 |

Tab. 11a. Neumattstr. 11, 13, 15. Die holzbauzeitlichen Benutzungsschichten (nur Pos. mit zugewiesenen FK).

| Pos. | Beschreibung | Felder | Zugewiesene FK |
|------|--|--------|--|
| 90 | Längliche Grube. Erst nach Abtragen Pos. 44 sichtbar | 6 | 134 |
| 262 | Grube | 12 | 354 |
| 264 | Graben mit zwei Gruben (Pflanzlöcher?) | 3 | 352 |
| 265 | Pfostenloch | 3 | 353 |
| 275 | Gräbchen | 13 | 379, 399 |
| 276 | Graben | 13 | 362, 380 |
| 282 | Pfostengrube | 14 | 381 |
| 283 | Graben | 11–14 | 361, 382 |
| 284 | Pfostengrube | 14 | 383 |
| 285 | Graben | 12, 14 | 384 |
| 286 | Pfostengrube? | 8 | 342 |
| 287 | Pfostengrube | 8, 14 | 385 |
| 290 | Pfostengrube | 14 | 377 |
| 291 | Pfostengrube | 9 | 376 |
| 292 | Pfostengrube | 8 | 360 |
| 294 | Pfostengrube | 3 | 389 |
| 296 | Pfostengrube | 8 | 350 |
| 297 | Pfostengrube | 8/12 | 349 |
| 298 | Pfostengrube | 12 | 386 |
| 301 | Grube | 12 | 387 |
| 304 | Zerstörte Feuerstelle | 12 | 395 |
| 317 | Pfostengrube | 12 | 397 |
| 324 | Pfahl | 3 | 388 |
| 361 | Pfostengrube | 3 | 436 |
| 362 | Pfostengrube | 3 | 437 |
| 387 | Feuerstelle | 28 | 458 |
| 440 | Grube | 23 | 521 |
| 441 | Grube | 22 | 522 |
| 446 | Feuergube | 22, 33 | 523, 526, 527, 530, 541, 542, 564, 567 |
| 508 | Pfostengrube | 25 | 596 |
| 512 | Pfostengrube | 25 | 598 |

Tab. 11b. Neumattstr. 11, 13, 15. Die holzbauzeitlichen Befunde (nur Pos. mit zugewiesenen FK).

| Typus | Individ. | Anz. Fragm. | Gewicht (Gramm) | Katalog |
|----------------------------|----------|-------------|-----------------|---------|
| TS ital. | | | | |
| Platte | 1 | 1 | 10,4 | 1 |
| Halter 7 | 1 | 2 | 7,8 | 2 |
| TS südgall. | | | | |
| Teller/Platten | 2 | 2 | 16,7 | - |
| Drag. 24 | 1 | 1 | 5,9 | 3 |
| Drag. 27 | 1 | 1 | 3,2 | 4 |
| Schälchen unbest. | 1 | 1 | 2,7 | - |
| Drag. 29 | 1 | 1 | 2,9 | 5 |
| Total TS | 8 | 9 | 49,6 | |
| TS-Imitationen | | | | |
| Teller grau | 2 | 3 | 59,3 | - |
| Teller orange | 2 | 3 | 24,4 | - |
| Drack 18? | 1 | 1 | 8,1 | 6 |
| Drack 19 | 1 | 3 | 49,2 | 7–8 |
| Schälchen/Schüsseln orange | 2 | 4 | 6,8 | - |
| Unbest. | 1 | 1 | 0,7 | - |
| Total TS-Imitationen | 9 | 15 | 148,5 | |
| Drack 20–22 | 1 | 1 | 6,3 | - |
| Glasierete Keramik | 1 | 1 | 1,1 | 9 |
| Bemalte Keramik | 1 | 1 | 2,2 | - |
| Helltonige Keramik mit Ü. | | | | |
| Teller/Schüsseln | 1 | 1 | 7,9 | 10 |
| Helltonige Keramik ohne Ü. | | | | |
| Schüsseln | 1 | 1 | 10,4 | 11 |
| Honigtöpfe | 1 | 7 | 65,4 | 12–13 |
| Krüge | 7 | 7 | 152,5 | 14–18 |
| BS unbest. | - | 5 | 82,9 | |
| WS unbest. | - | 95 | 438,6 | |
| Total Helltonig ohne Ü. | | 115 | 749,8 | |
| Grautonig ohne Ü. | | | | |
| Teller | 1 | 8 | 149,2 | 19 |
| Schüsseln | 1 | 2 | 15,6 | |
| Becher | 1 | 1 | 4,1 | 20 |
| Schultertöpfe | 4 | 4 | 39,1 | 21–22 |
| Töpfe | 5 | 11 | 138,5 | 23–27 |
| Krüge | 1 | 1 | 34,4 | |
| BS Töpfe/Becher/Tonnen | 9 | 10 | 231,7 | 28 |
| WS mit Kammstrich | 4 | 4 | 17,2 | |
| WS mit Rädchendekor | 5 | 7 | 35,8 | |
| WS unverziert | - | 64 | 391,5 | |
| Total Grautonig | | 112 | 1057,1 | |
| Grobkeramik | | | | |
| Teller | 1 | 1 | 17,9 | 29 |
| Schüsseln | 5 | 10 | 71,0 | 30 |
| Schüsseln/Teller | 2 | 4 | 49,7 | 31–32 |
| Töpfe | 4 | 7 | 39,1 | 33–34 |
| BS unbestimmt | - | 19 | 281,5 | |
| WS mit Kammstrich | - | 4 | 70,8 | |
| WS mit Kammgrübchen | - | 1 | 11,6 | |
| WS unverziert | - | 77 | 614,5 | |
| Total Grobkeramik | | 123 | 1156,1 | |
| Amphoren | 4 | 6 | 625,9 | 35 |
| Total Keramik | | | 3801,5 | |

Tab. 12. Neumattstr. 11, 13, 15. Die der Holzbauperiode zugewiesenen Funde.

| Typus | Individ. | Anz. Fragm. | Gewicht (Gramm) | Katalog |
|---------------------|----------|-------------|-----------------|---------|
| Bronze (Fibeln) | 2 | | | 36–37 |
| Eisen | | | | |
| Fibeln | 2 | | | 38–39 |
| Nägel und Stifte | 17 | | | |
| Anderes | 10 | | | 40–41 |
| Baukeramik (Ziegel) | | 19 | 682,8 | 42 |
| Knochen/Zähne | | - | 837,3 | |

Tab. 12. Fortsetzung.

| Nr. | Pos. | Lage im Gebäude | Lage ausserhalb Gebäude | an einer Mauer | in der Ecke | ungestört | gestört | mehrheitlich vollständig | teilweise vollständig | einzelne Knochen | Rückenlage | Seitenlage | Sterbealter | Bemerkungen |
|-----|------|-----------------|-------------------------|----------------|-------------|-----------|---------|--------------------------|-----------------------|------------------|------------|------------|-------------|---|
| 1 | 52 | | x | x | | | x | x | | | x | | G | |
| 2 | 54 | | x | | x | x | | x | | | x | | F | Stört älteres Grab Nr. 3 |
| 3 | 54 | | x | | x | | x | | | x | ? | ? | ? | Gestört durch Grab Nr. 2 (Pos. 54) |
| 4 | 66 | | x | x | | | x | | x | | ? | ? | F | Gestört durch Grab Nr. 2 (Pos. 54) |
| 5 | 67 | | x | | x | | x | x | | | | x | G | Skelett leicht verschoben |
| 6 | 68 | | x | x | | | x | x | | | | x | G | |
| 7 | 168 | | x | x | | | x | x | | | | x | 8 W | |
| 8 | 426 | | x | | | x | | x | | | | x | G | Ziegelkiste, etwa 0,8 m von Mauer entfernt |
| 9 | 439 | | x | x | | | x | x | | | | x | F | Liegt über Grab Pos. 468 (Grab Nr. 10) |
| 10 | 468 | | x | x | | | x | | x | | x | | G | Gestört durch Grab Pos. 439 (Nr. 9) |
| 11 | 469 | | x | x | | x | | x | | | | x | F | Ziegelabdeckung |
| 12 | 232 | | x | x | | | x | | x | | ? | ? | G | Gefässbeigabe? |
| 13 | 367 | | x | x | | x | | x | | | | x | F | |
| 14 | 367 | | x | x | | | x | | | x | ? | ? | F | |
| 15 | 202 | | x | x | | | x | x | | | x | | F | Beine lagen auf dem Brustkorb, Halbrundziegel als Abdeckung |
| 16 | 425 | | x | ? | ? | | x | | | x | ? | ? | G | |
| 17 | 490 | | x | x | | | x | | | | ? | ? | ? | Reste von leerer Ziegelkiste. Grab? |
| 18 | 256 | x | | x | | x | | x | | | | x | F | |
| 19 | 567 | x | | x | | | x | | x | | | x | 1–2 W | |
| 20 | 567 | x | | x | | | x | | | x | ? | ? | F | |
| 21 | 497 | x | | ? | | | x | | x | | ? | ? | F | |
| 22 | — | x | | | | | | | | x | ? | ? | G | 1996 ausgegraben, vgl. Ebnöther 1995, Tab. 46 Nr. 25 |
| 23 | — | x | | x | | | x | | x | | ? | ? | G | |
| 24 | — | x | | x | | | x | | | x | ? | ? | 12 W | 2000 ausgegraben (Pos. 22) |

Tab. 13. Neumattstr. 11, 13, 15. Zusammenstellung der Kindergräber. Erklärung zur Spalte «Sterbealter»: F: Frühgeburt, nicht überlebensfähig, G: Geburtsalter, W: Anzahl Wochen.

| Fundort | Prägeherr | Nominal | Datierung | Prägestätte | FmZH LNr. | Abnutzung Vorder-/Rücks. ¹⁾ | Kat. Nr. |
|--------------------------|-------------------------------------|-------------------|------------------|-------------|-----------|--|----------|
| Umgebung von Gebäude M | Tiberius f. Divus Augustus | As | 22/23 | Roma | 4582 | 3 / 2 | M1 |
| | Tiberius f. Divus Augustus | As | 22/23 | Roma | 4585 | 3 / 4 | M2 |
| | Tiberius f. Divus Augustus | As | 22/23 | Roma | 4593 | 2 / 3 | M3 |
| | Trajanus | As | 103–117 | Roma | 4589 | 3 / 3 | M4 |
| | Severus Alexander | Dupondius | 223 | Roma | 4591 | 1 / 1 | M5 |
| | Gallienus | Antoninianus | 260–268 | unbestimmt | 4590 | 2 / 1 | M6 |
| | Gallienus | Antoninianus | 260–268 | unbestimmt | 4592 | 2 / 1 | M7 |
| | Postumus | Antoninianus | 260–268 | unbestimmt | 4583 | 1 / 2 | M8 |
| | Tacitus | Antoninianus | 275–276 | Roma | 4587 | 1 / 1 | M9 |
| | unbestimmt | Antoninianus | 3. Jh. | unbestimmt | 4588 | 0 / 0 | M10 |
| | Anonym | Rechenpfennig | 1500–1585 | Nürnberg | 4584 | 2 / 2 | M11 |
| | J. A. Dorn | Rechenpfennig | 1768–1783 | Nürnberg | 4586 | 2 / 4 | M12 |
| Umgebung von Gebäude N | Marcus Aurelius für Lucius Verus? | Dupondius oder As | 163–164? | Roma | 4621 | 4 / 4 | M13 |
| | BRD | Pfennig | 1950 | Hamburg | 4620 | 1 / 1 | M14 |
| Gebäude F | Caius | Quadrans | 39 | Roma | 4625 | 3 / 3 | M15 |
| | Gallienus | Antoninianus | 260–268 | Roma | 4624 | 3 / 3 | M16 |
| | Gallienus | Antoninianus | 260–268 | unbestimmt | 4622 | 3 / 3 | M17 |
| | Aurelianus | Antoninianus | 270–275 | Mediolanum | 4623 | 1 / 1 | M18 |
| Umgebung von Gebäude F | Augustus für Augustus und Agrippa | As | 12–8 v.Chr. | Nemausus | 4627 | 2 / 2 | M19 |
| Umgebung von Gebäude F/O | Nero? | As | 64–68 | Roma? | 4626 | 3 / 3 | M20 |
| | Severus Alexander | Denar | 227 | Roma | 4628 | 1 / 1 | M21 |
| Vorplatz zu Gebäude O | Rom, Republik? | As? | 2.–1. Jh. v.Chr. | Roma | 5141 | 2 / 3 | M22 |
| | (Claudius) | As | (41–50/54) | (Roma) | 5149 | 2 / 2 | M23 |
| | (Claudius) | As | (41–50/54) | (Roma) | 5148 | 4 / 4 | M24 |
| Gebäude O | Claudius | As | 41–54 | Roma | 5135 | 3 / 5 | M25 |
| | Vespasianus | Dupondius | 71 | Lugdunum | 5143 | 2 / 2 | M26 |
| | Hadrianus | Sesterz | 117–138 | Roma | 5137 | 3 / 4 | M27 |
| | Antoninus Pius | Sesterz | 138–161 | Roma | 5136 | 3 / 3 | M28 |
| | Marcus Aurelius für Faustina II. | Sesterz | 161–176 | Roma | 5138 | 1 / 2 | M29 |
| | Marcus Aurelius für Commodus Caesar | Sesterz | 179 | Roma | 5142 | 3 / 4 | M30 |
| | Philippus I. Arabs | Sesterz | 244–249 | Roma | 5139 | 1 / 2 | M31 |
| Umgebung von Gebäude O | (Augustus) | As | (7–3 v.Chr.) | (Lugdunum) | 5147 | 4 / 3 | M32 |
| Gebäude P | Marcus Aurelius | Sesterz | 170–171 | Roma | 5146 | 2 / 3 | M33 |
| | Gordianus III. | Sesterz | 240–244 | Roma | 5145 | 1 / 1 | M34 |
| | Gordianus III. | Sesterz | 240–244 | Roma | 5144 | 1 / 1 | M35 |
| | Constantinus I für Constantinsöhne? | Aes 4 | um 330? | unbestimmt | 5150 | 2 / 2 | M36 |
| Umgebung von Gebäude P | Gordianus III. | Sesterz | 238–239 | Roma | 5140 | 2 / 3 | M37 |

1) Zur Bedeutung der Ziffern vgl. die Einleitung zum Katalog oder Bulletin IFS 2 Supplement, 1995, 10f.; 18f.

Tab. 14. Zusammenstellung der Abgegriffenheit der seit dem Jahr 2000 geborgenen Münzen.

3 Anmerkungen

- ¹ Ebnöther 1995.
- ² Zu den in dieser Zeit durchgeführten Untersuchungen vgl. www.archaeologie.zh.ch, Link Publikationen, Kurzberichte Archäologische Projekte 2006 und 2007 (als pdf). Weiter JbAS 90, 2007, 164f. (Neumattstr. 11, 13, 15); AIZ 2003–2005, Ber.KA Zürich 18 (2006) 16–20; JbSGUF 88, 2005, 354f. (Kirchplatz/Marktplatz, Neumattstr. 11, 13, 15 und Vorstadtstr. 44–52); JbSGUF 87, 2004, 382 (Fischerweg 2–6, Vorstadtstr. 44–52); AIZ 2001–2002, Ber.KA Zürich 17 (2004) 15f. (Bahnhofstr. 8); JbSGUF 84, 2001, 234 (Neumattstr. 11); AIZ 1999–2000, Ber.KA Zürich 16 (2002) 16f. (Austr. 55–57, Neumattstr. 11, Untere Reppischstr. 7–9); AIZ 1995–1996, Ber.KA Zürich 14 (1998) 20 (Untere Reppischstr.).
- ³ Die Buchstaben A bis L hat Chr. Ebnöther vergeben.
- ⁴ Fischerweg 2–6/Neumattstr. 12–16 (Ereignis 2002.074). Grabungsdauer: 20.1.–17.4.2003. Technische Leitung R. Gamper, wissenschaftliche Leitung D. Käch. Zum Tempel vgl. Ebnöther 1995, 195–197. Sie hat eine Deutung als «Ökonomiebau» nicht ausgeschlossen.
- ⁵ Im JbSLM 62, 1953, 15 wird bedauert, dass wegen der raschen Baufortschritte damals nicht möglich war, einen Plan «in den heutigen Ansprüchen genügender Weise» zu zeichnen.
- ⁶ Vgl. dazu den Grabungsbericht von K. Heid, der sich im Original im Ortsmuseum Dietikon befindet, sowie diverse Zeitungsartikel aus dem Jahr 1953; vgl. dazu auch Ebnöther 1995, Anm. 621f.
- ⁷ Vgl. JbSGUF 87, 2004, 382.
- ⁸ Heid hatte angenommen, dass vom Umgang nur die Fundamente erhalten seien und die aufgehenden Mauern wie bei der Cella mit 0,45 m zu ergänzen seien. Bei Mauer Pos. 30 wurde auf der OK des Fundaments stellenweise eine Mörtelschicht beobachtet. Man kann also davon ausgehen, dass es sich bei der darüberliegenden Steinlage wirklich um aufgehendes Mauerwerk handelt (Abb. 5). Der Fundamentabsatz der Cellamauer Pos. 48 lag auf ca. 388.40 m ü.M. Die obersten Mauersteine der Umgangsmauer Pos. 30 wiesen Kanten von über 388.60 m ü.M. auf. Da anzunehmen ist, dass das Bodenniveau des Umgangs auf ca. 388.40 m ü.M. lag, müssen die erwähnten Steine des Umgangs sichtbar gewesen sein und damit aufgehendes Mauerwerk darstellen.
- ⁹ Dimensionen aus dem erwähnten Bericht von K. Heid (vgl. Anm. 6). Die neuen Messungen ergaben Masse von 1,55 m bzw. 2,40 m. Dieser Unterschied kommt daher, dass Heid die Distanzen wohl von den aufgehenden Mauern aus messen konnte, während bei den neuen Untersuchungen von den Kanten der Fundamente aus gemessen werden musste. Die Cella mass nach Heid 2,80 × 3,90 m.
- ¹⁰ Die Zeitstellung der im Umgang des Tempels liegenden, isolierten Pfostengrube Pos. 58 liess sich nicht ermitteln, da die Füllung keine Funde enthielt.
- ¹¹ Zugewiesene FK: FK 14, 21, 63. Die beiden modernen Glasfragmente sowie das kleine Bruchstück glasierter Keramik (FK 21) wurden auf der OK des Wegs gefunden.
- ¹² Vgl. Kap. V.1.4. Auch K. Heid spricht 1953 von Gräben in der Umgebung des Tempels; er vermutet, dass dieser auf einer kleinen Erhöhung lag.
- ¹³ Für die Münze vgl. Ebnöther 1995, 196f. Der Tempel wurde nach Chr. Ebnöther jedoch erst in Siedlungsphase IV (1. H. 3. Jh.) errichtet, vgl. Ebnöther 1995, 228. Er erscheint allerdings auch auf Abb. 297 (Siedlungsphase III und IV: 2. bis frühes/mittleres 3. Jh.).
- ¹⁴ Die beiden Münzen M11 und M12 stammen aus dem 16. bzw. 18. Jh.
- ¹⁵ Das Stück stammt aus der Reinigung nach dem Baggerabtrag.
- ¹⁶ Ebnöther 1995, Abb. 301 sowie Tab. 40–42 im Anhang.
- ¹⁷ Allerdings zeigen die Münzen deutliche Zirkulationsspuren, sodass eine lange Umlaufzeit nicht auszuschliessen ist, vgl. unten Kap. IV.9.1.
- ¹⁸ Chr. Ebnöther nimmt an, dass nach der Mitte des 3. Jh. «eine Begehung dieses Platzes» stattfand; vgl. Ebnöther 1995, 196f.
- ¹⁹ Kataster-Nr. 11002 (Ereignis 2003.029). Dauer der Untersuchung: 29.4.–26.5.2003. Technische Leitung R. Gamper, wissenschaftliche Leitung D. Käch.
- ²⁰ Auf dem Profil Abb. 9 sind die Schichten Pos. 47 und 48 nur ausserhalb des römischen Gebäudes eingezeichnet. Sie waren aber auch im Innern vorhanden, wurden in diesem Profil allerdings nicht speziell dokumentiert.
- ²¹ Fischer 1997, 152–158. Fischer spricht in diesem Zusammenhang von einem bronzezeitlichen (Benutzungs-)Horizont. Die Niveaus des in den beiden Grabungen beobachteten Horizonts sind nahezu identisch: Vorstadtstr. 44–52: ca. 389.40 m ü.M.; Vorstadtstr. 32: ca. 389.20 m ü.M., vgl. Fischer 1997, Abb. 99. Der Schichtaufbau an der Vorstadtstr. 32 entspricht unseren Beobachtungen weitgehend: Unter einer ca. 15 cm dicken römischen Planie lag eine nahezu fundleere Schwemmschicht, die ihrerseits auf den prähistorischen Befunden liegt.
- ²² Das aufgehende Mauerwerk war 60–65 cm breit, die Fundamente in der Regel ebenso, sodass meist kein Fundamentabsatz zu beobachten war.
- ²³ Vgl. etwa E. Ettliger, Die Keramik der Augster Thermen (Insula XVII): Ausgrabungen 1937–38 (Basel 1949) Taf. 12,8; Koller 1990, Taf. 12,119.
- ²⁴ Vermutlich ist die Scherbe aus FK 103 mit der darüberliegenden Planie Pos. 33 zu verbinden. Das Fragm. stammt aus einem Baggerabtrag.
- ²⁵ Auf Abb. 15 sind die Steine der Flickstelle (rechts aussen) beim Schneiden der Räucheranlage bereits mit abgetragen worden.
- ²⁶ Die Schicht wurde in zwei Abstichen von Hand abgetragen. Etwa die Hälfte der Befunde (Pfostengruben, Skelette) war erst beim zweiten Abstich zu fassen.
- ²⁷ Diese Planie wurde auch in der benachbarten Parzelle (Vorstadtstr. 32) beobachtet. In der Dokumentation wird vermerkt, dass diese Schicht vor allem im Südosten – d.h. gegen die Grabung Vorstadtstr. 44–52 hin – auftritt und im Westen stark ausdünnert, vgl. Fischer 1997, 153.
- ²⁸ Aus den gleichen Gründen ist auch auszuschliessen, dass der Graben älter ist als der römische Steinbau.
- ²⁹ Pos. 76 ist auf der Abbildung nicht eingetragen, weil diese Struktur unter der Räucheranlage lag.
- ³⁰ In der Füllung der Pfostengrube Pos. 62 fand sich neben der WS einer unbestimmbaren Amphore die RS eines Drag. 18-Tellers (FK 40).
- ³¹ FK 82. Zu nennen sind insbesondere 1 WS Drag. 35/36, 1 WS mit Goldglimmerüberzug sowie 4 WS eines grautonigen Bechers mit Barbotinepunkten, der möglicherweise noch ins späte 1. Jh. gehört.
- ³² Die bisher bekannten Laubengänge vor den Gebäuden wiesen alle etwa diese Tiefe auf, vgl. dazu Ebnöther 1995.
- ³³ Pos. 34–44, 49–51, 92, 93, 106.
- ³⁴ Das Kindergrab Pos. 55 liegt etwa 3,5 m von der Gebäudemauer und ca. 3,2 m von der Hofmauer entfernt; das Grab Pos. 69 2,4 m (Gebäudemauer) bzw. über 5 m (Hofmauer).
- ³⁵ Das Grab befand sich zwischen den beiden Pfostengruben Pos. 38 und 51. Die Bestattung wurde erst beim Schneiden des Pfostenlochs erkannt.
- ³⁶ Ausführliche Berichte von E. Langenegger im Archiv der KA Zürich.
- ³⁷ Für weitere Tierskelette aus Dietikon vgl. Ebnöther 1995, 126 (Fohlen, zwischen Bau L und Bau A); 139 (Hund, Bau B, ausserhalb Hofmauer); 140 (Schwein, Bau B). In Neftenbach fanden sich zehn sichere römische «Kadavergruben», vgl. S. Deschler-Erb in: Rychener 1999/I, 494f. (2 Rinder, 2 Hunde, je 1 Maultier-, Equiden-, Schweine-, Schaf-, Hasen- und Gänse skelett).
- ³⁸ Die Knochen wurden im Rahmen einer Bestimmungsübung an der Universität Zürich (Dr. W. Brinkmann, Paläontologisches Institut und Museum) im Wintersemester 2005 durchgesehen.
- ³⁹ Von mindestens drei Gefässen stammen Fragm. jeweils aus den Pos. 60 und 58.
- ⁴⁰ Dazu Käch 2007, 40 Taf. 7,172–179.
- ⁴¹ H. Urner-Astholz, Die römerzeitliche Keramik von Eschenz-Tasgetium. Thurgauische Beiträge zur vaterländischen Geschichte 78 (Frauenfeld 1942) Taf. 8–12; 16.
- ⁴² Vgl. etwa Drusus I (100–120 n.Chr.; Stanfield/Simpson 1990, 73–78, Taf. 15), Divixtus (140–160 n.Chr.; Stanfield/Simpson 1990, 248–250, Taf. 115) und Albucius (140–170 n.Chr.; Stanfield/Simpson 1990, 255–258, Taf. 120f.).
- ⁴³ Oberwinterthur: Pauli-Gabi u.a. 2002/I, Taf. 18,441 (90/120–130/50 n.Chr.); Baden: Schucany 1996, Taf. 48,1091 (SP I.4).
- ⁴⁴ So etwa Horisberger 2004, 122 mit Taf. 5,103–110 (Goldglimmerüberzug); 78,1131–1133 (Überzug); 319 Taf. 86,1284–1293.
- ⁴⁵ Horisberger 2004, Taf. 5,112–116; 6,117; 72,1014–1015.
- ⁴⁶ Die praktisch vertikal ansteigende Wandung mit dem innen leicht verdickten, nicht gegliederten Rand entspricht am ehesten der Form Pasqual 1. Der orangebeige, glimmerhaltige Ton mit relativ starker Kalkmagerung entspricht aber nicht dem sonst üblichen Ton.
- ⁴⁷ Auch in Buchs sind in einem Komplex aus der 1. H. des 2. Jh. ein oder zwei Lavegefässe nachgewiesen, vgl. Horisberger 2004, Taf. 8,758–759. Grundsätzlich kommt Lavez in spätrömischen Kontexten allerdings deutlich häufiger vor als im 1. und 2. Jh., vgl. Siegfried-Weiss 1986, 131.

- ⁴⁸ Zuletzt dazu Käch 2007, 42 Taf. 10, 244–251.
- ⁴⁹ FK 76 stammt aus der Reinigung nach dem Baggerabtrag.
- ⁵⁰ Die Ausnahme bildet ein neuer DSP-Ziegel (FK 30).
- ⁵¹ Ebnöther 1995, 229 (Siedlungsphase IV). Vgl. dazu auch Kap. V.2.2.2 und V.2.2.3.
- ⁵² Die Steine wurden nur auf die Erde gelegt und ohne Mörtelbindung versetzt. Von der Reparatur war die innere Hälfte der Mauer betroffen.
- ⁵³ Vgl. etwa JbSGUF 87, 2004, 382.
- ⁵⁴ Im nordwestlichen Mäuerchen (Pos. 16) sind noch drei solche Durchlässe nachgewiesen, in der südöstlichen Mauer (Pos. 31) war noch einer erhalten. Hier fanden sich auf dem unteren Rundziegel zusätzliche Ziegelfragm., sodass wir zum Schluss kommen, dass darüber ein zweiter Rundziegel lag. Es ist davon auszugehen, dass jeweils vier Durchlässe vorhanden waren: drei im vorderen Drittel sowie ein vierter etwas hinter der Mitte. Im letzten Viertel scheint es keine Öffnungen gegeben zu haben.
- ⁵⁵ Pos. 15. Es sind also insgesamt elf Ziegel verwendet worden. Nur die vollständigen oder annähernd kompletten Ziegelplatten wurden geborgen.
- ⁵⁶ Dreibusch 1994, 183 Abb. 2c. Meist bestehen die Durchlässe aus Mauerunterbrüchen, in zwei Fällen (Niedereschach-Fischbach und Zusmarshausen) wurden die Gase durch Hohlziegel ins Innere geleitet. Der Typ 2C unterscheidet sich von den Varianten 2B und 2D durch die Anzahl der Durchbrüche: Bei Typ 2D finden sich gar keine Durchlässe, bei 2B nur wenige. Die Variante 2C wird von B. Rabold als Form 7 bezeichnet, vgl. dazu B. Rabold, Ein römischer Gutshof bei Walldorf. In: Kulturgeschichten: Archäologie am Unteren Neckar. Begleitheft zur Ausstellung im Kurpfälzischen Museum der Stadt Heidelberg (Stuttgart/Heidelberg 1997) 42 Abb. 32.
- ⁵⁷ Ebnöther 1995, 92–96. Bei den Konstruktionen 1 und 2 im Gebäude C wurden die Rauchgase von vorne bzw. von hinten ins Zentrum geleitet.
- ⁵⁸ Ebnöther 1995, 138f.
- ⁵⁹ Ebnöther 1995, 94.
- ⁶⁰ JbSGUF 81, 1998, 303f. Abb. 30 («unteres» Ökonomiegebäude). Aufgrund der Beschreibungen dürfte auch eine Konstruktion in Seeb, Gem. Winkel, in der gleichen Weise aufgebaut gewesen sein, vgl. Drack u.a. 1990, 125f. Eine ähnliche Anlage ist aus Bad Wimpfen (D) belegt, vgl. Filgis 1993.
- ⁶¹ JbSGUF 81, 1998, 304. Das Gebäude wird als Brandruine bezeichnet.
- ⁶² Aufgrund der Fundsituation in Obersiggenthal-Kirchdorf ist anzunehmen, dass die Ziegelabdeckung nur wenig über den erwähnten Durchlässen lag (vgl. JbSGUF 81, 1998, 303 Abb. 30). Für Seeb vgl. Drack u.a. 1990, 125 Abb. 184. Eine Zeichnung aus dem 19. Jh. gibt die Situation bei einer Räucheranlage von Kloten-Aalbühl wieder, die Abdeckplatten sind darauf gut erkennbar. Vgl. Ebnöther 1995, Abb. 132.
- ⁶³ Dafür reichen wohl Holz- oder Fachwerkwände, vgl. dazu Ebnöther 1995, 91 und Dreibusch 1994, 194. Für einen Aufbau aus Fachwerk könnte beim Gebäude N ein rotbrauner, toniger Silt (Pos. 17) sprechen, der sich in den Heizkanälen und über der zentralen Kammer fand. Für eine Rekonstruktion vgl. Ebnöther 1995, Abb. 125.
- ⁶⁴ Dies konnte M.N. Filgis bei neuzeitlichen Anlagen gut aufzeigen, vgl. Filgis 1993.
- ⁶⁵ Die Anlage von Bad Wimpfen, für die eine hölzerne Darrfläche postuliert wird, mass 4,5 × 5 m und besass keine Innenstützen, vgl. Filgis 1993.
- ⁶⁶ Dreibusch 1994, 194f.
- ⁶⁷ Ebnöther 1995, 95 Anm. 292.
- ⁶⁸ Daneben nutzte man in den Darren auch Strahlungswärme einer erhitzten Fläche für das Trocknen, vgl. etwa Filgis 1993, 71.
- ⁶⁹ Darren: Das Saatgetreide durfte nicht über 40–50 °C erhitzt werden; gedarrt wurde sonst bei Temperaturen bis 100, max. 150 °C, vgl. etwa Filgis 1993, 71. Beim Räuchern von Fleisch unterscheidet man zwischen dem Kalträuchern bei 15 bis 25 °C und dem Heissräuchern bei Temperaturen bis max. 100 °C, das die Lebensmittel nur kurze Zeit haltbar machte. C. Schucany glaubt, die Darren von den Anlagen zum Trocknen von Fleisch unterscheiden zu können, vgl. C. Schucany, Die römische Villa von Biberist-Spitalhof/SO: Grabungen 1982, 1983, 1986–1989. Untersuchungen im Wirtschafts- und Überlegungen zum Umland (Remshalden 2006) 184f.
- ⁷⁰ Chr. Ebnöther interpretiert ihre Anlagen 1, 2 und 3 in und beim Gebäude C sowie die Konstruktion in Gebäude B als Fleisch- bzw. Würsträucheranlage, vgl. Ebnöther 1995, 95; 96; 138.
- ⁷¹ Dies ergab eine erste Durchsicht des Materials durch M. Klee, IPNA Basel (Aktennotiz im Archiv KA ZH). Um Vermischungen zu vermeiden, wurde nur der unterste Zentimeter des lehmigen-siltigen Materials über den Ziegeln beprobt.
- ⁷² Ebenfalls unter Pos. 23 zusammengefasst. Der Versturz lag direkt auf der Planie Pos. 33.
- ⁷³ Wahrscheinlich gehört die oben erwähnte Randscherbe eines Kochtopfs (FK 76) aus dem 3. Jh. in diesen Kontext, vgl. Anm. 48 und 49.
- ⁷⁴ Ebnöther 1995, 227–230 (Siedlungsphase IV).
- ⁷⁵ Neumattstr. 11, 13, 15 (Ereignis 2004.010). Grabungsdauer: Juni 2004–April 2006, in verschiedenen Etappen. Technische Leitung R. Gamper, wissenschaftliche Leitung D. Käch.
- ⁷⁶ Kataster-Nr. 10623 (Ereignis 2000.037). Grabungsdauer: 4.9.–28.9.2000. Technische Leitung R. Gamper, wissenschaftliche Leitung Th. Pauli-Gabi. Vgl. dazu AIZ 1999–2000, Ber.KA Zürich 16 (2002) 16; JbSGUF 84, 2001, 234.
- ⁷⁷ Vgl. dazu auch Kap. III.1.2.
- ⁷⁸ Für den grundsätzlichen Schichtaufbau vgl. die Kapitel zu den frühen Holzbauten (Kap. III.1.2) sowie den Gebäuden O und P (Kap. II.3.4.6 und II.3.4.12).
- ⁷⁹ Diese Schicht Pos. 62/220 konnte vor allem ausserhalb der Gebäude beobachtet werden. Innerhalb der Steinbauten war sie nur in Gebäude O feststellbar; sie wies dort eine Mächtigkeit von 10–15 cm auf. War dazwischen kein holzbauezeitliches Niveau zu beobachten, lag Pos. 62/220 direkt auf dem gewachsenen Boden Pos. 30 und konnte von diesem nicht unterschieden werden (vgl. Abb. 31).
- ⁸⁰ Das erreichte Niveau (ca. 387.90 m ü.M.) lag noch etwa 40 cm über den Koten der Holzbaubefunde weiter nordwestlich.
- ⁸¹ Bei Ebnöther 1995, Abb. 213 sind allerdings ganz im Südosten Schichtreste eingetragen (Schicht I 0.11). Diese Schicht, die identisch sein muss mit dem Niveau der Holzbauperiode, wurde auch aussen am Gebäude gefunden; vgl. Ebnöther 1995, Abb. 218 (Schicht V 0.11).
- ⁸² Auffallend ist, dass auch die ältesten zum Steinbau gehörigen Schichten im Vorplatzbereich einen «frühen» Eindruck machen und für sich genommen wohl in die claudische Zeit datiert würden (s. Kap. II.3.4.12). Auch dabei dürfte es sich um umgelagertes Altmaterial handeln.
- ⁸³ Vgl. Ebnöther 1995, Taf. 27, 469 (Phase C1/2 Innenraum). Die drei aufgeführten Fragm. stammen alle aus der ältesten Benutzungsschicht Pos. 396 in Gebäude P.
- ⁸⁴ FK 525 (Pos. 451, die unter der Benutzung Pos. 428 lag; s. Kap. II.3.4.7). Vgl. Rütli 1991, Form AR 1 (S. 15), Taf. 1, 1–3.
- ⁸⁵ Vgl. Kap. III.1.8.1. Für diese Abfolge im Vicus Vitodurum vgl. Pauli-Gabi u.a. 2002/1, bes. 96–108; 152–157.
- ⁸⁶ Das Fundmaterial aus dieser Schicht wird hier nur charakterisiert, eine detaillierte Aufarbeitung der Funde ist noch ausstehend. Identisch mit der Planie Pos. 44 sind vermutlich die Pos. 532 und 604, vgl. dazu Kap. II.3.2 und Tab. 3.
- ⁸⁷ Die Tasse Drag. 27 (FK 450) mit dem Stempel des SENECIO lässt sich in die Zeit 40–70/80 n.Chr. datieren. Zum Töpfer vgl. Polak 2000, 328. Offenbar ist der Töpfer SENECIO mit SENICIO identisch. Neben Drag. 29 stellte er auch Drag. 24/25, Drag. 27 und Ritt. 8 her.
- ⁸⁸ Rütli u.a. 1987, 31f. Zum Fundkontext vgl. Kap. II.3.4.3.
- ⁸⁹ Ebnöther 1995, 152–162 Abb. 213 (Bereich Laufmeter 90–94).
- ⁹⁰ Da die Siltschicht Pos. 26 auf den Steinabschlägen Pos. 23 lag, ist auszuschliessen, dass es sich dabei um den Aushub für die Mauerfundamente handelt.
- ⁹¹ Eine Planie ist auch auf dem von Chr. Ebnöther abgebildeten Profil R–R' zu erkennen (Ebnöther 1995, Abb. 213). Diese Schicht wird im Text allerdings nicht weiter behandelt.
- ⁹² Zu dieser Problematik vgl. Ebnöther 1995, 153f.; 163f.
- ⁹³ Chr. Ebnöther konnte die Phasen F2 bis F4 herausarbeiten, vgl. Ebnöther 1995, 154–160.
- ⁹⁴ Unter der Siltplanie Pos. 19 (s. unten), die der Schicht I 3.11 bei Chr. Ebnöther entspricht, konnte sie noch mehrere Niveaus feststellen. Es ist allerdings zu bemerken, dass diese nur im Südostbereich des Gebäudes beobachtet werden konnten (vgl. Ebnöther 1995, Abb. 213). Im Nordwesten, wo auch unsere Restfläche lag, war unter Schicht I 3.11 auch nur noch die Schicht I 3.01/3.02 vorhanden. Allerdings wurde diese etwas anders als unsere Schicht Pos. 23 charakterisiert, vgl. dazu Ebnöther 1995, 157.
- ⁹⁵ Ebnöther 1995, 157; 164–166 und Abb. 213. Es kommt allerdings auch Material aus dem 1. und 2. Jh. vor. Ebnöther vermutete einen längeren Bildungsprozess, vgl. ebd. S. 157.
- ⁹⁶ Entspricht Schicht I 3.11 von Ebnöther 1995, 158f. (s. auch Anm. 94).
- ⁹⁷ Dieser Kies war bereits früher beobachtet worden, vgl. Ebnöther 1995, 158f. (Schicht I 3.12).

- ⁹⁸ Ebnöther 1995, 158.
- ⁹⁹ Dies vermutete bereits Chr. Ebnöther, vgl. Ebnöther 1995, 159 (FST 11 und 10, die unserer Feuerstelle Pos. 17 entspricht).
- ¹⁰⁰ Diese bilden die Fortsetzung der Feuerstellen FST 12–14 bei Chr. Ebnöther; vgl. Ebnöther 1995, Abb. 226.
- ¹⁰¹ Ebnöther 1995, 153–162.
- ¹⁰² Beide stammen aus dem Gebäudeabgang Pos. 3. Hinzu kommt ein Antoninian des Gallienus (M17; Tab. 14). Dieser stammt entweder ebenfalls aus der Abgangsschicht Pos. 3 oder aber aus Pos. 11 (vgl. dazu Tab. 4).
- ¹⁰³ Neben den genannten Münzen liegen nur noch acht Keramikfragm. sowie drei Nägel vor (FK 9 und 17).
- ¹⁰⁴ Ebnöther 1995, 160. Die Feuerstellen FST 12–14 zählt sie zu den jüngsten Befunden im Gebäude.
- ¹⁰⁵ Ebnöther 1995, 167f.
- ¹⁰⁶ Dies vermutete bereits Chr. Ebnöther als eine der möglichen Erklärungen für diese Diskrepanz, vgl. Ebnöther 1995, 168.
- ¹⁰⁷ So blieb auf drei Seiten jeweils ein Streifen mit den Schichtanschlüssen an die Mauern erhalten. Im Südosten ist dieser maximal 2 m breit (Feld 18), im Südwesten misst er knapp 1 m (Feld 19), im Nordwesten gut 1 m (Feld 20).
- ¹⁰⁸ Pos. 636, 637, 641–644, 646–652. Es handelt sich vor allem um Pfostengruben sowie um einzelne Gruben. Solche Strukturen aus der Bauzeit liessen sich auch bei Gebäude P beobachten (vgl. Kap. II.3.4.12). Es ist gänzlich auszuschliessen, dass diese Strukturen zur Holzbauperiode gehören, denn sie kamen erst nach dem Abtragen der siltigen Schwemmschicht (Pos. 62/220) zum Vorschein.
- ¹⁰⁹ Schucany 1996, 94 mit Tab. 10; Koller/Doswald 1996, 108 mit Anm. 353. In Zürich ist der deutliche Anstieg der grautonigen Ware dieser Gattung hingegen bereits seit Siedlungshorizont V (30–50 n.Chr.) zu beobachten, vgl. Balmer 2009, 133.
- ¹¹⁰ Vgl. Kap. IV.8.
- ¹¹¹ Schicht C I 4.11, Kat. 584–612. Dieses Ensemble wird ins 1. Drittel bzw. ins 2. Viertel des 2. Jh. datiert, vgl. Ebnöther 1995, 100.
- ¹¹² Koller/Doswald 1996, 108f. Abb. 82f. Taf. 33–49 (70/80–90 n.Chr.).
- ¹¹³ Der Abstand der Steine von der Gebäudemauer beträgt 3 m. Eine solche Steinreihe konnte auch beim Gebäude F beobachtet werden, vgl. Ebnöther 1995, 156. Ebnöther vermutete eine «Substruktion eines (portikusähnlichen?) Anbaus».
- ¹¹⁴ Hierzu zählt wohl auch die RS eines helltonigen, kugeligen Topfs (FK 364), der ursprünglich wohl einen Goldglimmerüberzug getragen hat.
- ¹¹⁵ Das Stück trägt den Stempel OF IVLIAN, vgl. dazu Ph. Della Casa, Römische Funde in der Zentralschweiz. In: M. Primas u.a., Archäologie zwischen Vierwaldstättersee und Gotthard (Bonn 1992) Taf. 7,96 und 56 Abb. 34 Nr. 96 (Banassac, domitianisch).
- ¹¹⁶ Die geringe Eintiefung von nur rund 20 cm mag auf den ersten Blick erstaunen. Es darf aber nicht vergessen werden, dass das Innenniveau im späten 2. Jh. abgesenkt wurde. Die ursprüngliche Tiefe lässt sich daher nicht mehr ermitteln.
- ¹¹⁷ FK 378 (Drack 22B, orangetonig), FK 391 (Drack 19, grautonig). Der Typ Drack 22B unterscheidet sich von 22A durch die Verzierung, vgl. W. Drack, Die helvetische Terra Sigillata-Imitation des 1. Jahrhunderts n.Chr. (Basel 1945) 99. Während der Kerbschnitt nach Drack (S. 99) bis kurz nach 100 auftritt, gehört das Dekor mit Ritz- oder Strichmustern an den Anfang des 2. Jh. Nach Schucany 1996, 121 sind nur die Schüsseln mit nach innen geneigtem Rand ab neronischer Zeit belegt, die anderen beiden (mit steiler Wandung bzw. kugelige Formen) – insbesondere die rot überfärbten – kommen nach ihr erst in hadrianischer Zeit vor (Baden, Steinbauperiode I.4). Zur Datierung zuletzt Luginbühl 2001, 135 (Form 43; 15/10 v.Chr.–Anfang 2. Jh. n.Chr.).
- ¹¹⁸ Das Staketloch war von der Benutzungsschicht Pos. 212 nicht überdeckt.
- ¹¹⁹ Martin-Kilcher 1994, 360.
- ¹²⁰ Aktennotiz vom Mai 2007 im Archiv der KA Zürich.
- ¹²¹ Der beim benachbarten Gebäude M (vgl. Kap. II.1.4) beobachtete Weg verläuft zwar ebenfalls schräg zu den Gutshofachsen, diente jedoch sicher nicht der Gebäudeerschliessung.
- ¹²² Die Kiesschicht Pos. 613 lag rund 10 cm höher als der Kies Pos. 630 im Portikusbereich.
- ¹²³ Der Kies Pos. 613 konnte bis zur Grabungsgrenze im Südwesten verfolgt werden und war bis zur Gebäudemauer somit mind. 6 m breit. Beim Gebäude B war der Kiesplatz vor dem Gebäude sogar rund 7 m breit, vgl. Ebnöther 1995, 140 (Schicht V 2.11) Abb. 186.
- ¹²⁴ R. Rothkegel, Der römische Gutshof von Laufenburg/Baden (Stuttgart 1994) 108 Taf. 47,617. Die Randoberseite unseres Stücks ist etwas stärker gewölbt. Ausserdem bestehen die Stücke in Laufenburg meist aus einem orangen Ton.
- ¹²⁵ Vgl. etwa Meyer-Freuler 1998, Taf. 51,902–912.
- ¹²⁶ Martin-Kilcher 1980, 40–44, Taf. 39; 70. Für die Dekoration mit einem Wellenband vgl. auch S. 45 ebd. Jene Töpfe zeigen zudem einen anderen Ton und eine unterschiedliche Verarbeitung.
- ¹²⁷ Martin-Kilcher 1980, 43.
- ¹²⁸ In Zürich kommen horizontale Wellenlinien auf handgeformter Keramik bereits im Siedlungshorizont II (50–40 v.Chr.) vor, vgl. Balmer 2009, Abb. 153 (Kat. 317, 412: Spatel- und Besenstrich).
- ¹²⁹ Vgl. oben Anm. 45 und Koller/Doswald 1996, Taf. 37–39,809–838 (FK 169).
- ¹³⁰ Pos. 632. Weitere Fragm. stammen aus FK 724 (Pos. 615), 727 (Pos. 614), 731 (Pos. 635).
- ¹³¹ Für die Gattung vgl. etwa Hochuli-Gysel u.a. 1986, 99–102.
- ¹³² Horisberger 2004, 121–123.
- ¹³³ Horisberger 2004, 121f. Anm. 400 und 410. Baden-Du Parc, Steinbauperiode I, Phase 4: 90–110 n.Chr., vgl. Koller/Doswald 1996, 111. Für die 1. Steinbauperiode, Phase 3 vgl. oben Anm. 112.
- ¹³⁴ Der darüberliegende Kiesplatz Pos. 630 liess sich aufgrund des spärlichen Materials nicht datieren.
- ¹³⁵ Eine komplette Zumauerung der Türe ist ausgeschlossen, da das Gebäude keine anderen Zugänge aufwies.
- ¹³⁶ Die Breite der Eingänge war offenbar nicht normiert: bei Gebäude D mass sie 1,5 m, bei Gebäude F 2,2 m, vgl. Ebnöther 1995, 70; 152.
- ¹³⁷ Die «Flickstelle» war nur rund 0,4 m aus der Gebäudeachse verschoben.
- ¹³⁸ Die Ziegellage liegt etwa 0,35 m höher.
- ¹³⁹ In Feld 18 wurde die Schicht als Pos. 210, in den Feldern 19 und 20 als Pos. 218 bezeichnet. Darunter lag in Feld 19 eine sandige Kieslinse (Pos. 219), die möglicherweise mit Pos. 211 über der Mulde identisch ist.
- ¹⁴⁰ Vgl. etwa Drack u.a. 1990, Taf. 16,100.
- ¹⁴¹ Hauptverbreitungszeit dieser Becher ist die 2. H. des 2. Jh., vgl. Kunert 2001, 58 Anm. 347. Die Form tritt aber auch in Komplexen des 3. Jh. immer wieder auf, vgl. etwa Käch 2007, Taf. 6,146 (Kontext: 70er-Jahre des 3. Jh.).
- ¹⁴² Die Fragm. sind über mehrere Schichten verteilt: Pos. 218 (FK 343, 393, 409), Pos. 216 (FK 351, 423), Pos. 204 (FK 292, 297, 304, 305). Die beiden Fragm. aus dem Staketloch Pos. 392 (FK 461) und aus der Pfostengrube Pos. 354 (FK 407) dürften zur darüberliegenden Benutzungsschicht Pos. 218 gehören.
- ¹⁴³ Ton und Überzug entsprechen genau der von Oelmann 1914 beschriebenen Technik d (Oelmann 1914, 35). Diese Technik ist nach Oelmann 1914, 39 im Kastell Niederbieber für alle Becher dieser Form angewandt worden. Die Technik d weist formale Eigenheiten auf wie die schmalen Kerbbänder und den auf der Unterseite profilierten Fuss, die beide auch bei unserem Stück auftreten.
- ¹⁴⁴ Oelmann 1914, 39. Für die Datierung und einige Parallelen vgl. Käch 2007, 39 (Kat. 144). Die Form kommt auch in Komplexen des 3. Jh. immer wieder vor.
- ¹⁴⁵ Solche Schüsseln wurden im späten 2. und in der 1. H. 3. Jh. nachweislich im Gutshof von Winkel-Seeb hergestellt, vgl. Drack u.a. 1990, 157 Abb. 193. FK 402 lässt sich Pos. 219 zuweisen, einer lokalen Linse aus sandigem Kies, die unter der Benutzung Pos. 218 lag.
- ¹⁴⁶ In dieser Zeit wurde auch die erwähnte, bereits im späteren 1. Jh. angelegte Grube Pos. 267 aus Phase O2 verfüllt.
- ¹⁴⁷ Das Stück stammt aus der flachen Grube Pos. 315, die von der Benutzungsschicht Pos. 218 überdeckt und teilweise verfüllt war.
- ¹⁴⁸ Zu den Töpfen vgl. etwa Kunert 2001, 55 Anm. 280.
- ¹⁴⁹ Der Kiesplatz liess sich – teils durch eine Benutzungsablagerung, teils durch die lokal vorhandene Siltlinse Pos. 616 – vom darunterliegenden Kiesplatz Pos. 613 bzw. 630 trennen.
- ¹⁵⁰ Die Steine lagen genau über dem oben beschriebenen Gräbchen Pos. 617, die Baulinien wurden also beibehalten.
- ¹⁵¹ Für die Form vgl. etwa Käch 2007, Taf. 9,232–238.
- ¹⁵² Der kleinteilige Ziegelschutt Pos. 591 des Gebäudeabgangs überdeckte die Struktur.
- ¹⁵³ Die Grube wurde nur bis zur Feldergrenze hin ausgenommen. Aus der Füllung stammen die FK 674–680, 692, 693.
- ¹⁵⁴ Vgl. dazu «einst und jetzt», die Zeitschrift für Archäologie und Denkmalpflege im Kanton Zürich, Ausgabe 2, 2010, 18.
- ¹⁵⁵ Die Länge mass 3,7 m; die Breite konnte wegen der neuzeitlichen Zerstörung nicht ermittelt werden.
- ¹⁵⁶ In Zürich-Oberstrass, Strickhof/Mur wurde die jüngere Feuerstelle (Herdstelle A) ebenfalls schräg zu den Raumachsen angelegt, vgl. Käch 2007, 16f.

- ¹⁵⁷ Rütli u.a. 1987, 31f.
- ¹⁵⁸ Pos. 216 dürfte dem erwähnten älteren Lehm Boden Pos. 209 in Feld 18 entsprechen.
- ¹⁵⁹ Die Mehrheit der Fragm., zudem auch die grössten, gehören zu FK 423 (Pos. 216). Es finden sich kleinere, anpassende Fragm. in den Pos. 209 (FK 328), 218 (FK 409), 204 (FK 291, 297, 305), 203 (FK 287).
- ¹⁶⁰ Die beiden Konstruktionen, die etwa 0,5 × 0,65 m (Pos. 229) bzw. 0,6 × 0,5 m (Pos. 240) messen, lagen an der nordwestlichen Gebäudemauer und bestanden vorwiegend aus Tuffblöcken; die den Feuerstellen Pos. 237 und 246 zugewandten Steine hingegen waren Sand- bzw. Kalksteine.
- ¹⁶¹ Der Gebäudeverstruz über der letzten Benutzungsschicht Pos. 230 war wegen der neuzeitlichen Eingriffe – wohl in Zusammenhang mit der Errichtung der Autoverladerampe – nicht mehr intakt.
- ¹⁶² «Tages-Anzeiger» vom 15. März 2006. Die Büste wurde anlässlich der Ausstellung AMOR in Avenches gezeigt. Vgl. Amor am Nordrand der Alpen. Sexualität und Erotik in der römischen Antike. Begleitheft der Ausstellung AMOR, Römermuseum Avenches, 29. Mai–4. Okt. 2009 (Avenches 2009) Abb. 11 (kultische Deutung).
- ¹⁶³ Die zu den Räucheranlagen Pos. 229 und 240 bzw. der Feuerstelle Pos. 224 zugehörigen Nutzungsphasen liessen sich stratigraphisch nicht voneinander trennen. Auch beim Gebäude F wurden die Ofenanlagen durch Feuerstellen ersetzt (vgl. Kap. II.3.4.3).
- ¹⁶⁴ Die insgesamt elf Marmorfragmente lassen sich zu mind. zwei unterschiedlich dicken weissen Platten ergänzen (FK 687).
- ¹⁶⁵ Es fällt auf, dass die Feuerungsfläche im Vergleich mit anderen Herdstellen in Dietikon relativ unsorgfältig gebaut wurde.
- ¹⁶⁶ Ebnöther 1995, 167f. Abb. 233. Die beiden Randfragm. fanden sich in der Benutzungsschicht Pos. 230 (FK 322) bzw. in einer Brandlinse (Pos. 203, FK 287). Ein weiterer Vertreter, allerdings mit einem noch etwas längeren Hals, stammt aus dem Lehm Boden Pos. 214 (FK 331), könnte aber durchaus auch mit der letzten Benutzung in Zusammenhang stehen.
- ¹⁶⁷ FK 287. Ebnöther 1995, 117 Taf. 54,1065. Aus dem gleichen Komplex stammen Kochtöpfe mit fast ausnahmslos plumpen und dickwandigen Körpern (Kat. 1070–1075) sowie ein Antoninian des Gallienus (Kat. 1084).
- ¹⁶⁸ Das Aufkommen der Form Niederbieber 33 wurde von K. Roth-Rubi in die Zeit nach 230 n.Chr. datiert. K. Roth-Rubi, U. Ruoff, Die römische Villa im Loogarten, Zürich-Altstetten – Wiederaufbau vor 260 n.Chr.? JbSGUF 70, 1987, 148. Ein deutlich differenzierteres Bild zeichnet A. Heising, der aufgrund des Verhältnisses von Halshöhe zu Runddurchmesser eine Entwicklung der Form aufzeigen kann. Mit Hilfe dieses Quotienten ist im 3. Jh. eine deutliche Entwicklung auszumachen. A. Heising, Der Keramiktyp Niederbieber 32/33. In: B. Liesen, U. Brandl (Hrsg.), Römische Keramik, Herstellung und Handel. Kolloquium Xanten, 15.–17.6.2000. Xantener Berichte 13 (Mainz 2003) 129–154.
- ¹⁶⁹ Ebnöther 1995, 117f., besonders A V 3.11, Kat. 1055–1113.
- ¹⁷⁰ Ebnöther 1995, 145, Kat. 1287–1331.
- ¹⁷¹ Käch 2007, 37–45 und Taf. 4–13.
- ¹⁷² FK 672, vgl. Koller/Doswald 1996, Taf. 77,1649 (FK 69).
- ¹⁷³ Kap. II.3.4.22 und Anm. 253.
- ¹⁷⁴ Vgl. Anm. 76.
- ¹⁷⁵ Pos. 484, 485, 486, 534, 535. Hinzu kommt Pos. 30 aus der Grabung 2000, vgl. Anm. 76.
- ¹⁷⁶ Auch beim Gebäude O liessen sich Strukturen aus der Bauzeit unter dem ersten Kiesweg fassen, vgl. Kap. II.3.4.6.
- ¹⁷⁷ Die genannten Befunde gehören sicher nicht in die Holzbauperiode, da jene Strukturen erst nach dem Abtragen der siltigen Schwemmschicht Pos. 62 zum Vorschein kamen. Der Holzbauperiode können die Befunde Pos. 457, 620–625 zugewiesen werden, die im Innern und Äusseren des Steingebäudes beobachtet wurden; vgl. Abb. 75.
- ¹⁷⁸ Vgl. Kap. II.3.2; III.1.2. Die oben erwähnten Pfostengruben waren erst nach dem Abtragen dieser Schicht erkennbar.
- ¹⁷⁹ Pos. 573: FK 643, 689, 710; Pos. 455: keine Funde zugewiesen.
- ¹⁸⁰ Der erhaltene Teil ist mit einem braunen Überzug versehen. Das Stück lässt sich an ein Fragm. aus FK 602 (Benutzungsschicht Pos. 428 im Gebäudeinnern!) anpassen.
- ¹⁸¹ Etwa die Hälfte aller Wandscherben (ca. 30 Stück) zeigt einen grauen Kern oder uneinheitlichen Brand. Die Scherben stammen von mind. drei Krügen.
- ¹⁸² Am ehesten Ebnöther 1995, Taf. 3,54 (hellbeiger Ton). Mit einer Datierung noch vor der Mitte des 1. Jh., vgl. Ebnöther 1995, 57 Anm. 155 (Unikum).
- ¹⁸³ Pars urbana: PU 1.24, vgl. Ebnöther 1995, 58 Taf. 6–9,103–128: Mitte 1. Jh. oder kurz danach. Gebäude A: V 1.11, vgl. Ebnöther 1995, 114 Taf. 40–42,762–827: 2. H. 1. Jh.–frühes 2. Jh.
- ¹⁸⁴ Eine Zuweisung der Schicht zur Holzbauperiode ist ausgeschlossen, vgl. oben Anm. 178.
- ¹⁸⁵ Der Mühlstein bildet den einzigen Hinweis hierfür. Es muss allerdings gesagt werden, dass der Bereich der Portikusbegrenzung nur teilweise freigelegt wurde und daher möglicherweise noch weitere Auflager vorhanden waren.
- ¹⁸⁶ Ebnöther 1995, 70; oben Kap. V.1.2.2.
- ¹⁸⁷ Polak 2000, Taf. 2,A67/A68. Aquitanus arbeitete von tiberischer Zeit bis um 70 n.Chr. Die Stempel A67/A68 sind von 40–60 bzw. 45–65 n.Chr. datiert; vgl. Polak 2000, 169.
- ¹⁸⁸ 387.70/80 m ü.M. gegenüber der Mauerkrone mit einer Kote von 388.10/20 m ü.M.
- ¹⁸⁹ FK 503, 533, 642, 651.
- ¹⁹⁰ Furger/Deschler-Erb 1992, 55 Abb. 33 (Phase 10: 80–90/100 n.Chr.). Vgl. auch Drack u.a. 1990, 165 Tab. 26.
- ¹⁹¹ Vgl. dazu Anm. 145.
- ¹⁹² Anpassungen liegen vor bei der Schüssel mit zweifach gerilltem Horizontalrand FK 503 (mit FK 475; Pos. 395) und beim Schuppenbecher FK 503 (mit FK 475; Pos. 395). Der Faltenbecher FK 503 gehört vermutlich zum gleichen Gefäss wie die Fragm. aus FK 476 (Pos. 395).
- ¹⁹³ Wie erwähnt wurde diese erst nach dem Abtragen der Benutzungsschicht Pos. 396 festgestellt.
- ¹⁹⁴ Offenbar war die absolut zentrale Lage der Feuerstelle nicht ganz so üblich, wie Chr. Ebnöther meinte (Ebnöther 1995, 216; 217). Neben den von ihr erwähnten Bauten A und L mit dezentraler Feuerstelle kommt auch Gebäude F hinzu, dessen erste Feuerstellen zwar in der Gebäudeachse lagen, jedoch nicht im Zentrum (ebd. S. 153). Und auch bei Gebäude D wurden zwei Feuerstellen beobachtet, die zwar im Bereich des Zentrums lagen, nicht aber direkt dort (ebd. S. 70). Es scheint sich abzuzeichnen, dass in Dietikon absolut zentral liegende Feuerstellen eher Ausnahmen darstellen.
- ¹⁹⁵ FK 600, 606, 683, 698 (vgl. Tab. 7). Hier liegen relativ viele Funde vor.
- ¹⁹⁶ In Feld 38 lag über dieser Ziegelplanie noch eine zweite Ausgleichsschicht aus grösseren Ziegelstücken und Steinen (Pos. 577), die dazu diente, hier das Niveau für den Kies Pos. 452 anzuheben.
- ¹⁹⁷ Er war bis zum Südwestprofil bei Achse 496 vorhanden. Von dort aus wurde er nicht weiter nach Südwesten verfolgt; die gesamte Tiefe des Platzes bleibt also offen.
- ¹⁹⁸ FK 591; 666. Als Parallele etwa Furger/Deschler-Erb 1992, Taf. 42,12/41.12/42 (Phase 12: 80/110–110/120 n.Chr.). Es wäre durchaus möglich, dass auch unser Stück einen Griesbewurf trug.
- ¹⁹⁹ Vgl. Anm. 45 und etwa Koller/Doswald 1996, Taf. 37–39,809–838 (FK 169, vgl. dazu Anm. 112).
- ²⁰⁰ FK 704 aus dem «Reststollen» in Feld 38. Der FK wurde bei der Besprechung ausgeklammert, weil er sowohl Material aus der Ziegelschicht Pos. 453 als auch aus dem darüberliegenden Kies Pos. 452 enthält; der FK zeigt bei den helltonigen WS einen Goldglimmer-Anteil von rund 10%. Zählt man nur die Randscherben, dann trägt etwa die Hälfte der helltonigen Gebrauchskeramik einen Goldglimmerüberzug.
- ²⁰¹ Kunnert 2001, 60 mit Anm. 393 (Kat. 140–141). Vgl. auch Th. Pauli, Zeugnisse des römerzeitlichen Totenrituals: Zwei Aschengruben aus Rümlang. AIZ 1993–1994, Ber.KA Zürich 13 (1996) 145 Anm. 17.
- ²⁰² Schucany 1996, Taf. 40,858 (mit Goldglimmerüberzug). Steinbauperiode I.2 (85–100/105 n.Chr.).
- ²⁰³ Bisher waren keine Traufgräben bekannt, vgl. Ebnöther 1995, 216. Chr. Ebnöther vermutete aber, dass ein «Satteldach mit senkrecht zur Umfassungsmauer gerichtetem First» verwendet wurde, ebd. S. 216. Bei Flutsch u.a. 2002, Abb. 142 werden die Satteldächer ebenfalls rechtwinklig zur Hofmauer wiedergegeben. 1993 hatte die Autorin noch vermutet, dass der First parallel zur Hofmauer verlaufe, vgl. Chr. Ebnöther, Römischer Gutshof in Dietikon. Neujahrsblatt Dietikon 46, 1993, Abb. 35.
- ²⁰⁴ Funde: FK 466, 569. Neben wenig südgallischer TS und einzelnen hell- und grautonigen Schüsseln Drack 20 und 21 ist kaum Keramik erhalten.
- ²⁰⁵ Zur Konstruktion gehören die Feuerstellen Pos. 376 und 431 sowie mögliche Reste von Heizkanälen (Pos. 391 und 404).
- ²⁰⁶ FK 492.
- ²⁰⁷ IPNA Universität Basel, Spalenring 145, 4055 Basel.
- ²⁰⁸ Eine erste Sichtung des Materials erfolgte während eines Makrorest-Kurses durch die Studentinnen Daria Hollenstein, Géraldine D'Eyrames und Iris Büchel im Rahmen des Master-Studiengangs am IPNA unter der Leitung von Örni Akeret.

- ²⁰⁹ Die beim Hochrechnen entstandenen Kommastellen erscheinen in den Tabellen nicht, sind jedoch beim Addieren der Zahlenwerte berücksichtigt.
- ²¹⁰ Für das Errechnen der Konzentration wurden alle bestimmten Reste (inklusive der «Sonstigen») berücksichtigt.
- ²¹¹ Zur Methodik vergleiche auch Jacomet/Kreuz 1999.
- ²¹² Amorphe Objekte besitzen keine erkennbare Struktur und weisen daher auch keine makroskopisch sichtbaren Bestimmungsmerkmale auf. Es handelt sich bei ihnen um Speisereste wie Brot oder Brei oder um verkohltes Fruchtfleisch.
- ²¹³ Bei der mehrzeiligen Gerste bilden sich pro Spindelglied drei Körner aus. Das mittlere Korn zeigt in der Regel eine symmetrische Form, die beiden seitlichen Körner sind oft leicht gebogen; sie werden auch als «Krümmlinge» bezeichnet.
- ²¹⁴ Die Gruppe der Nacktweizen (*Triticum nudum*) umfasst folgende freidreschende Arten: Saat-Weizen (*Triticum aestivum*), Hartweizen (*Triticum durum*) und Englischer Weizen (*Triticum turgidum*). Die Unterscheidung der drei Arten ist anhand der Körner nicht möglich, es ist jedoch anzunehmen, dass es sich bei den vorliegenden Funden um Saat-Weizen handelt.
- ²¹⁵ Jacomet 2000.
- ²¹⁶ Vgl. dazu auch Jacomet/Brombacher 2009; Flutsch u.a. 2002, 158; 232–233; Klee/Jacomet 1999.
- ²¹⁷ Die Standorte von Unkräutern und Ruderalpflanzen lassen sich häufig nicht eindeutig voneinander abgrenzen; so können viele Ruderalpflanzenarten auch auf Getreideäckern gefunden werden.
- ²¹⁸ Vgl. www.gis.zh.ch.
- ²¹⁹ In diesem Fall könnte die auf Abb. 47 eingezeichnete Überlagerung nicht zutreffen.
- ²²⁰ Auf dem Fundzettel von FK 577 ist vermerkt, dass im Fundkomplex auch noch Material aus der darunterliegenden Ziegelplanie Pos. 453 enthalten ist.
- ²²¹ Für die Form vgl. Anm. 145.
- ²²² Ebnöther 1995, 166 Abb. 233.
- ²²³ Bereits bei den Untersuchungen im Jahr 2000 wurden mehrere Fragm. eines grautonigen Bechers Niederbieber 33 gefunden (Ereignis 2000.037, FK 10, OK Pos. 13; entspricht unserer Pos. 390). Für diese Untersuchung vgl. Anm. 76.
- ²²⁴ FK 468, vgl. Käch 2007, Taf. 2,44–45; 9,255. Der andere Teller weist auf der Oberseite zwei Rillen auf, was direkt von den Vorbildern aus Lavez übernommen wurde.
- ²²⁵ FK 468, 589. Für die Form vgl. Käch 2007, Taf. 2,46–47; 9,232–236.
- ²²⁶ Für die Entwicklung dieser Kochtöpfe vgl. Ebnöther 1995, Abb. 233.
- ²²⁷ Wohl Form IIIc nach Holliger, vgl. Holliger/Pfeifer 1982, Taf. 3,55; Formgruppe 4 in Chur, vgl. Siegfried-Weiss 1986, 144; 153; Taf. 45,14 (beste Parallele).
- ²²⁸ Wohl Form II nach Holliger, vgl. Holliger/Pfeifer 1982, Taf. 6,78; Formgruppe 2 in Chur, vgl. Siegfried-Weiss 1986, 143; 153. Die angeführte Parallele bei Holliger stammt aus dem 4. Jh.
- ²²⁹ AIZ 1999–2000, Ber.KA Zürich 16 (2002) 16. Über den Ziegeln lag direkt die nachrömische Mischschicht Pos. 6, die unserer Pos. 198 entsprechen dürfte. Der Steinversturz Pos. 372 war dort nicht vorhanden.
- ²³⁰ Nicht ganz auszuschliessen ist allerdings die Deutung als Mittelpfosten einer Doppeltür. Freundl. Hinweis R. Windler, KA Zürich.
- ²³¹ Ohne Pos.-Nr. Die Distanz zur Gebäudeecke misst 1,0 bzw. 1,8 m.
- ²³² Es ist allerdings nicht ganz auszuschliessen, dass im Bereich der Brandflecken ein zweiter Eingang lag, wie er bei Gebäude B postuliert wird; vgl. Ebnöther 1995, 135f. Die Öffnung betrug dort 1,6 m.
- ²³³ Ebnöther 1995, 127 Abb. 174.
- ²³⁴ Ausdehnung der Ziegelschicht: 8–10 m (NE-SW-Richtung) auf max. 13,5 m (SE-NW-Richtung).
- ²³⁵ Gemäss Schätzungen von R. Gamper waren 10–20% der Ziegelstücke verbrannt, vgl. Dokumentation im Archiv KA Zürich.
- ²³⁶ Die einzelnen Phasen liessen sich nur schlecht auseinander halten. Dies vor allem weil im Südwesten der Grabungsfläche kaum noch intakte Schichten erhalten waren.
- ²³⁷ Sowohl der Tuffblock (FK 144) als auch die oberste Plattenlage waren nicht vom Dachversturz Pos. 28 überdeckt. Es ist allerdings festzuhalten, dass die Ziegel in diesem Bereich nur in einzelnen Flecken zu beobachten waren und nicht als durchgehende Schicht.
- ²³⁸ Genau in der Flucht von Graben Pos. 116 liess sich in der Hofmauer ein Durchbruch beobachten. Da es konstruktiv keinen Sinn macht, für den Bau des Holzgebäudes die Hofmauer nur zu durchbrechen und zudem auch an anderen Stellen solche Durchbrüche feststellbar waren, halten wir diesen Durchbruch für eine spätere Störung.
- ²³⁹ Lage: Eingetieft in die Benutzungsablagerung Pos. 143 und die darunterliegende Planie Pos. 44, im Nordosten überdeckt von Ziegelversturz Pos. 28, ansonsten von der nachrömischen Deckschicht Pos. 2. Der Graben wies die gleiche Baulinie auf wie die Pfostenstellung Pos. 137, die oben als Begrenzung des ersten Gebäudes interpretiert wurde. Hier lag vermutlich auch ein Eingang.
- ²⁴¹ Der Bau war damit etwas grösser als die an die Hofmauer angebauten Steingebäude.
- ²⁴² FK 100, 136, 140, 166, 167.
- ²⁴³ Dem Feld 3 sind die FK 62, 64, 70, 71, 72, 73, 74, 75, 76, 80, 82, 89, 90, 91, 92, 93, 94, 95, 96, 99 zugewiesen, dem Feld 12 FK 199. Pos. 57 dürfte Pos. 78 in Feld 8 entsprechen (FK 148).
- ²⁴⁴ Im Gräbchen selbst lag diese nicht; es ist also anzunehmen, dass die zugehörige Wand zum Zeitpunkt der Zerstörung noch stand.
- ²⁴⁵ Die Ausdehnung des Ziegelversturzes in den Feldern 15 und 16 wurde nicht gezeichnet. Zugewiesene Komplexe: FK 45, 60, 61, 63, 77, 102, 103, 128, 141, 142, 146, 184, 186, 187, 188, 189, 231, 232, 233, 234, 235, 236, 237, 256, 257.
- ²⁴⁶ Zu dieser Gattung vgl. Käch 2007, 39 (Kat. 126–127).
- ²⁴⁷ FK 61. Für den Blattstab vgl. Hochuli-Gysel u.a. 1986, Taf. 11,7.
- ²⁴⁸ Eine der RS aus FK 148 weist einen braunen Ton auf, ist aber möglicherweise verbrannt.
- ²⁴⁹ Zu diesen nachweislich in Seeb hergestellten Schüsseln vgl. oben Anm. 145.
- ²⁵⁰ In der Art Käch 2007, Taf. 7,172–175.
- ²⁵¹ Teller in der Art Käch 2007, Taf. 9,223–227; Schüsseln: Taf. 9,232–238; Töpfe: Taf. 10,244–251.
- ²⁵² Vgl. Ebnöther 1995, Taf. 54,1072; 64,1306; 80,1652–1653; vgl. Abb. 233, Entwicklung der Kochtöpfe. Die Parallelen datieren alle in die 2. H. des 3. Jh.
- ²⁵³ Zugehörige Fragm. fanden sich in FK 257 (Ziegelversturz Pos. 28) und FK 148 (Benutzung Pos. 78), anpassende Fragmente in FK 183 (Deckschicht Pos. 2). Die gleiche Topfform ist auch bei FK 672/688 belegt (Pos. 591: Ziegelschutt im Vorplatzbereich von Gebäude O).
- ²⁵⁴ Ebnöther 1995, 116 und Taf. 48,942 (Gebäude A, Planie V 2.11); 117f. und Taf. 54,1067 (Gebäude A, Benutzungsphase A 3 – Schichten I 3.11 und V 3.11); 146 und Taf. 70,1394 (Gebäude B, Versturzschiicht V 3.11).
- ²⁵⁵ Ebnöther 1995, 116–118 (Schichten I 3.11 und V 3.11).
- ²⁵⁶ Ebnöther 1995, 117 (Gruppe 3).
- ²⁵⁷ Bisher sind 23 Vertreter publiziert, vgl. dazu E. Deschler-Erb, Une applique de bride découverte à Biberist SO. JbSGUF 86, 2003, 186–190.
- ²⁵⁸ Insgesamt rund 7 kg.
- ²⁵⁹ Die untersuchte Fläche umfasste ca. 9 m² (Lfm. 77–80 und 499–502, vgl. Abb. 21). Das Material wurde quadratmeterweise geschlämmt. Dietikon, Kirchplatz, Marktplatz, Kataster-Nr. 10980 (Ereignis 2004.008). Grabungsdauer: 22.10.2004–29.04.2005. Technische Leitung R. Gamper, wissenschaftliche Leitung D. Käch.
- ²⁶¹ Vgl. Ebnöther 1995, Vorsatz vorne und S. 200f. Das Aussehen des Gebäudes war bisher wenig klar; insbesondere erstaunten die auf dem publizierten Plan nicht rechtwinklig von der langen Mauer abgehenden Mauerstücke.
- ²⁶² Vgl. den Bericht von J. Leckebusch im Archiv der KA Zürich (Job 40174, Ereignis 2004.018). Gemessen wurden am 17./18. Mai 2004. Es handelt sich dabei um die im Bericht unter den Nr. 1, 3 und 6 erwähnten Mauerzüge.
- ²⁶³ Pos. 7. Dieses als Abbruchschicht des römischen Gebäudes zu interpretierende Stratum ist möglicherweise durch die neuzeitlichen Eingriffe überprägt worden.
- ²⁶⁴ Ebnöther 1995, 200 (Schicht I 1.11).
- ²⁶⁵ Ansonsten befanden sich nur noch einzelne Steine im Graben.
- ²⁶⁶ Ebnöther 1995, 200 (Schicht V 1.11). Dieser Bereich wurde von Chr. Ebnöther als «östlich des <Gebäudes>» bezeichnet.
- ²⁶⁷ Die Struktur war, wie die Pfostengruben Pos. 11, 12 und die Mauer Pos. 10, von der erwähnten humos-siltigen Schicht mit Ziegelstücken (Pos. 3) überdeckt. Diese ist wie gesagt vermutlich überprägt (vgl. Kap. II.4.2).
- ²⁶⁸ Dies, weil die Mauer Pos. 1 gegen Südwesten deutlich über die postulierte Flucht der Hofmauer hinauslief.
- ²⁶⁹ Ebnöther 1995, 200 mit Anm. 636 (Heid Nr. 33, 39, 56).
- ²⁷⁰ Etwa 3,6 m zwischen der 1986 dokumentierten Mauer und Mauer Pos. 13 bzw. 3,8 m zwischen Mauer Pos. 1 und 2. Interessant ist, dass diese Raumtiefe etwa dem Abstand entspricht, den K. Heid für die beiden Mauern im Nordwesten angegeben hat.
- ²⁷¹ Für die Lage vgl. Rychener 1999/I, Abb. 771. Die Deutung ist in Nefenbach ebenfalls wenig klar. J. Rychener vermutet einen Wohnbau oder aber ein Gebäude mit Lagerräumen, vgl. Rychener 1999/I, 211; 213.

- ²⁷² Zur Reppisch als Abgrenzung vgl. Ebnöther 1995, 214f.
- ²⁷³ Das wenige Fundmaterial aus der Brand- und Benutzungsschicht (Schichten I 1.01, I 1.11, V 1.11) wurde um die Mitte des 3. Jh. datiert, vgl. Ebnöther 1995, 201. Bau E ist bei Chr. Ebnöther nur in Siedlungsphase III/IV aufgeführt (2.–frühes/mittleres 3. Jh.); Ebnöther 1995, Abb. 297.
- ²⁷⁴ Ebnöther 1995, Tab. 1 im Anhang.
- ²⁷⁵ Bei Ebnöther 1995, Tab. 1 entspricht diese der Mauer M 21. Vgl. dazu auch Ebnöther 1995, 47. Die Mauer wurde erst später eingefügt (PU 3.1).
- ²⁷⁶ Kath. Kirche, Kataster-Nr. 5320, 10821. Datum der Untersuchung 01.07.2004–29.04.2005 (Ereignis 2004.007). Technische Leitung R. Gamper, wissenschaftliche Leitung D. Käch.
- ²⁷⁷ Auch die Grundmauern der 1927 abgebrochenen alten Kirche, die im Verhältnis zur jetzigen leicht gedreht war, konnten nicht festgestellt werden.
- ²⁷⁸ Kalkbrennöfen wurden im Umfeld der Kirche auch schon früher beobachtet; vgl. Ebnöther 1995, 25 Anm. 54 Abb. 10.
- ²⁷⁹ Kataster-Nr. 7066 (Ereignis 2000.039). Datum der Untersuchung: 06.07.–11.07.2000, vgl. AIZ 1999–2000, Ber.KA Zürich 16 (2002) 16.
- ²⁸⁰ Ebnöther 1995, Vorsatz (Fundstelle 9) und S. 134. Das 1933 erwähnte, 4 m breite Strassenbett konnte auch bei den Untersuchungen des Areals bei den Gebäuden A und L nicht gefasst werden.
- ²⁸¹ Kat.-Nr. 11303, 11560 (Ereignis 2004.009). Datum der Sondierung: 22.04.2004.
- ²⁸² «Der Limmattaler» vom 20.1.1933 (Austrasse beim Haus 42), vgl. dazu Ebnöther 1995, 134 Anm. 438.
- ²⁸³ Kataster-Nr. 11029 (Ereignis 2005.044). Datum der Sondierung: 8.8.2005. Einer der sechs Sondierschnitte (S3) lag im Bereich der postulierten Strasse. Unter den modernen Schichten lag direkt der gewachsene Boden.
- ²⁸⁴ Untere Reppischstr., Kataster-Nr. 58, 59, 5001, 9631, 9632, 10841, 10843, 10844, 10845 (Ereignis 1996.064). Datum der Untersuchung: 25.07.–14.11.1996. Für die Lage vgl. Abb. 1,9.
- ²⁸⁵ AIZ 1999–2000, Ber.KA Zürich 16 (2002) 16f. Unt. Reppischstr. 7–9; Kataster-Nr. 11121 (Ereignis 1999.123). Datum der Untersuchung: 21.06.–02.07.1999.
- ²⁸⁶ Vgl. Bericht von R. Gamper vom 8.4.2001 im Archiv KA Zürich (DITI. RZ10056, 1999.123).
- ²⁸⁷ <http://www.aren.ch/internet/baudirektion/are/de/archaeologie/archaeologie/Veroeffentlichungen1.html>, Dokument Kurzberichte Archäologische Projekte 2010 (pdf). Kataster-Nr. 9624/9626 (Ereignis 2010.040). Datum der Untersuchung: 20./21.12.2010 und 2.–7.3.2011.
- ²⁸⁸ In Gebäude F wurde nicht bis auf das Holzbauniveau abgetieft, weil einerseits die Befunde in diesen Bereichen stark ausdünnten, andererseits in den Profilen diesbezüglich nichts zu erkennen war. Beim Gebäude P wurde das Innere maschinell abgetragen.
- ²⁸⁹ Vgl. dazu Kap. II.3.2.
- ²⁹⁰ Die Planie Pos. 44 wurde maschinell abgetragen. Das gleiche gilt für die darunter liegende Siltschicht (Pos. 62).
- ²⁹¹ Aktennotiz Ph. Rentzel, IPNA, Universität Basel, Spalenring 145, 4055 Basel, vom 15. Oktober 2004 (Archiv KA Zürich).
- ²⁹² So Pos. 322 und 323 in Graben Pos. 285 oder Pos. 638 in Pos. 275; vgl. Abb. 74.
- ²⁹³ Zur Mischbauweise in Oberwinterthur vgl. Pauli-Gabi u.a. 2002/I, 154–156.
- ²⁹⁴ Die Pfostengruben unterscheiden sich in den Massen und in der Ausgestaltung.
- ²⁹⁵ Die gesamte Pfostenreihe wurde als Pos. 336 bezeichnet.
- ²⁹⁶ Pos. 286–290, 296–298, 324, 325, 360. An den Grenzen der Felder 3/12 und 8/14.
- ²⁹⁷ Breite 12–18 cm, Länge 12–15 cm.
- ²⁹⁸ Von den rund 100 kg ist eine repräsentative Auswahl aufbewahrt worden (FK 567). Eine identische Schichtung konnte vor Kurzem auch in einer Brandgrube in Windisch beobachtet werden. Leider ist die römische Zeitstellung jenes Befunds unsicher. Vgl. dazu C. Schucany, O. Wey, Am Nordrand der Zivilsiedlung von Vindonissa. JbGPV 2009, 56f. (Grube 195.1).
- ²⁹⁹ Die Proben wurden im Institut für Teilchenphysik (IPP) an der ETH-Zürich-Hönggerberg mit der AMS-Technik (Accelerator Mass Spectrometry) analysiert. Die Kalibrierung erfolgte mit dem Kalibrierungsprogramm OxCal v3.10 Bronk Ramsey (2005).
- ³⁰⁰ Diesen Hinweis verdanke ich B. Horisberger, KA Zürich.
- ³⁰¹ Zu den Bretterböden und Balkenunterzügen vom Unteren Bühl in Oberwinterthur vgl. Pauli-Gabi u.a. 2002/I, 160; Pauli-Gabi u.a. 2002/II, 256, Parzelle 9E (Abstand des Balkenunterzuges 0,8 bis 1 m); 220, Parzelle 5C (Abstand des Balkenunterzuges: 0,8 bis 1,3 m). Chur: J. Rageth, Chur-Welschdörfli, Schutzbau Areal Ackermann. Urgeschichtliche und römische Funde und Befunde. Arch. Führer Schweiz 29 (Chur 1998) 34 mit Abb. 26 (2,3 m Abstand). Urdorf: Kunnert 2001, 33 Abb. 16 (Raum 9a/9b); 34,1 (4 Rinnen mit Abständen von 0,6, 1,6, 2,7 und 4 m von Mauer 3; d.h. Abstände von 0,6, 1,0, 1,1 und 1,3 m). Worb-Sunnhalde: M. Ramstein, Worb-Sunnhalde. Ein römischer Gutshof im 3. Jahrhundert (Bern 1998) 25f. (Raum D: Bretterlängen von knapp 1,8 m, was den Balkenabständen entsprechen muss, vgl. Abb. 23). Neftenbach: Rychener 1999/II, 45 (Pars urbana, Gräben 1009, 1010, 1011); Rychener 1999/I, 107–109 (Die Gräben 1010 und 1011 sind ca. 1,75 m, die Gräben 1009 und 1010 2,75 m voneinander entfernt. Alle drei Gräben liegen innerhalb eines rekonstruierten Pfostenbaus); 124 (Die Gräben 1063 und 1064 wiesen fast 4 m Abstand auf).
- ³⁰² Wie oben erwähnt, sind Unterbrüche nicht auszuschliessen.
- ³⁰³ Bereits zur 1. Holzbauphase gehörten die sog. Langgräben 180 und 181. Sie wurden ebenfalls als Umgrenzungsgräben interpretiert, vgl. Rychener 1999/I, S. 75.
- ³⁰⁴ Für die Herkunft der einzelnen FK vgl. Tab. 11. Es finden sich Passscherben, die teils aus Pfostengruben, teils aus Balkengrübchen stammen; so z.B. die Fragmente des Amphorenhenkels Kat. 35 (FK 362/437).
- ³⁰⁵ Die Platte Kat. 1 lässt sich am ehesten vergleichen mit Meyer-Freuler 1998, Taf. 13,215 (Consp. 4.4 [Ha 4], Horizont Oberaden bis Haltern). Ich danke an dieser Stelle Chr. Meyer-Freuler, die sich das Stück im März 2008 angesehen hat.
- ³⁰⁶ Ähnliche, jedoch nach innen abfallende Randbildungen bei A. Hochuli-Gysel, Bleiglierte Keramik. In: Beiträge zum römischen Oberwinterthur – Vitudurum 8: Ausgrabungen im Unteren Bühl. Les fibules. Keramische Sondergruppen: Bleiglierte Keramik, Terrakotten, Lampen. Monogr. KA Zürich 30 (Zürich/Egg 1997) 69 Abb. 17 Form 8 (3. V. 1. Jh.).
- ³⁰⁷ Vgl. dazu auch Ebnöther 1995, 78 (Phase D1/D2), 98 (Phase C1/C2) mit vorflavischer Datierung sowie S. 209f.
- ³⁰⁸ Für die Form vgl. etwa Chr. Meyer-Freuler, Das Praetorium und die Basilika von Vindonissa. Veröff. GPV 9 (Baden 1989) Taf. 5,75–77, mit weiteren Belegen.
- ³⁰⁹ Koller 1990, 3–41, bes. S. 9. Die beste Parallele für den Standing bietet Taf. 3,27, für die Randbildung Taf. 2,20. Die Teller werden in augusteisch-tiberische Zeit datiert, vgl. S. 9.
- ³¹⁰ Vgl. für Dietikon Ebnöther 1995, Taf. 4,64 (PU 1.11); 7,106 (PU 1.24); 71,1417 (FI 1/201 Raum 1?) etc.
- ³¹¹ Henkelform H 3 nach Martin-Kilcher 1994, 396f. Abb. 172. Nach Martin-Kilcher 1994, 396 kommt diese Form bei Amphoren Dressel 7, aber auch Vind. 586 und Varianten vor; beide gehören ins 1. bzw. ins 2. Drittel des 1. Jh. (Martin-Kilcher 1994, 399f. mit Abb. 173B: Dressel 7 [und 10]).
- ³¹² Luginbühl 2001, 110.
- ³¹³ Weitere Objekte claudischer Zeitstellung in späteren Kontexten: Nertomarus-Fibel (Typ Riha 4.3; FK 214, Pos. 44); zum Typus vgl. E. Riha, Die römischen Fibeln aus Augst und Kaiseraugst. Die Neufunde seit 1975. Forsch. Augst 18 (Augst 1994) 86f. Ein sog. Streifenmosaikglas (FK 525; Pos. 451, Pfahlloch in Gebäude P), vgl. Rütli 1991, 15. Beide könnten allerdings auch älter sein. Für weitere Objekte aus der 1. H. des 1. Jh. vgl. Kap. II.3.3.
- ³¹⁴ Ein einmaliges Überschwemmungsereignis möchten wir eher ausschliessen, da die angetroffene Situation den Anschein einer «planmässigen Räumung» erweckt.
- ³¹⁵ Neben den bereits erwähnten Funden stammen folgende augusteischen Objekte aus späteren Kontexten: Ein Nemausus-As (M19 aus dem Trampelniveau Pos. 45) sowie zwei RS Schälchen Haltern 7/ Service I/Conspectus Form 14 (FK 335 und FK 222, beide Planie Pos. 44), die sicher vom gleichen Gefäss stammen und evtl. sogar zugehörig zu Kat. 2 sind.
- ³¹⁶ Zur Abfolge vgl. Kap. III.1.8.1.
- ³¹⁷ Ebnöther 1995, 209 Anm. 682. Service I-Formen etwa Taf. 1,13–14; 27,464; 29,514.
- ³¹⁸ Ebnöther 1995, 210.
- ³¹⁹ Ebnöther 1995, 30.
- ³²⁰ Schwellenbau auf Steinfundamenten?; vgl. Ebnöther 1995, 209.
- ³²¹ Eine Beobachtung, die auch für Neftenbach und Wetzikon zutrifft. In Seeb hingegen liegt ein Wechsel der Ausrichtung vor; vgl. Drack u.a. 1990, Abb. 18 (Mauer M 1).
- ³²² Ebnöther 1995, 198. Der Graben ist 0,5 m breit, 0,2 m tief und

- fällt gegen Nordosten leicht ab. Möglicherweise wurde das Gelände später planiert, weshalb der Graben ursprünglich evtl. tiefer war.
- ³²³ Ebnöther 1995, 85f.
- ³²⁴ Graben 2 liegt unter der späteren Mauer M 4; die frühe Mauer M 2 befindet sich unmittelbar neben Mauer M 6 des Steinbaus, vgl. Ebnöther 1995, Abb. 109; 118.
- ³²⁵ Ebnöther 1995, 85.
- ³²⁶ Ebnöther 1995, 152f. Abb. 213 und 218. Es handelt sich um die Schichten I 0.11 und V 0.11.
- ³²⁷ Die auf den Profilen bei Ebnöther 1995, Abb. 213 und 218 im «an-stehenden Silt» eingezeichneten Bänder finden damit eine logische Erklärung. Auch bei den neuen Untersuchungen war die Benutzungsschicht Pos. 63 nicht als durchgehendes Stratum fassbar (vgl. Kap. III.1.2).
- ³²⁸ Zur Chronologie vgl. Rychener 1999/I, 138–140. Auf den beiden Abbildungen Rychener 1999/I, 137 Abb. 150–151 (= hier Abb. 84–85) sind die beiden Phasen ersichtlich. Wichtig ist auch Abb. 138 in Farbe bei Flutsch u.a. 2002, 141.
- ³²⁹ Rychener 1999/I, 138.
- ³³⁰ Zur Holzbauperiode zählt eine relativ grosse Anzahl Pfostengruben, die sich nicht genauer datieren lassen.
- ³³¹ Rychener 1999/I, 137f.
- ³³² Rychener 1999/I, 120 Anm. 298. Weil Schichten, Herdstellen und Böden fehlten, ist eine Deutung als Gebäude nicht gesichert.
- ³³³ Rychener 1999/I, 78–83.
- ³³⁴ Rychener 1999/I, 88.
- ³³⁵ Obwohl Hinweise auf den genauen Zeitpunkt der Errichtung fehlen, wird aus der «Gesamtgeschichte des Gutshofs» eine Entstehung in der 2. Phase angenommen, vgl. Rychener 1999/I, 106f.
- ³³⁶ Es ist grundsätzlich auch möglich gewesen, den Unterbau mit den Heizeinrichtungen samt den Mörtelböden in Stein zu errichten, den Aufbau dann aber in Fachwerktechnik.
- ³³⁷ Rychener 1999/I, 107–111 Abb. 105.
- ³³⁸ Rychener 1999/I, 127–129. Es wurde ein Wohnbau postuliert; dies aufgrund des vielfältigen Keramikinventars und der Balkengrübchen, die als Teile von Trennwänden interpretiert wurden. Eine Herdstelle wurde allerdings nicht gefunden.
- ³³⁹ Rychener 1999/I, 123–125. Die Pfosten wurden im Befundkatalog pauschal der Holzbauperiode zugewiesen. Im Text (S. 125) wurden sie der «wohl zweiten Holzbauphase» zugewiesen; auch in Abb. 151 sind die Strukturen der 2. Phase zugewiesen.
- ³⁴⁰ Für die folgenden Ausführungen vgl. Horisberger 2004, 26–28.
- ³⁴¹ Horisberger 2004, 28 Abb. 18 (Räume 41–43). Die Krone von Mauer M 59 von Raum 28 (Horisberger 2004, Abb. 16) lag jedoch ca. 0,3 m über dem Niveau des Bodens, vgl. Horisberger 2004, Beilage 1. Diese Wand war offenbar auch verputzt.
- ³⁴² Horisberger 2004, 28 Anm. 64.
- ³⁴³ Horisberger 2004, 175–178.
- ³⁴⁴ Für den Pfostenbau vgl. Horisberger 2004, 83–85. Ursprünglich wurde vermutet, dass der Steinbau (Gebäude K) um die Mitte des 1. Jh. errichtet wurde (Horisberger 2004, 83). Diese Datierung wurde später korrigiert, vgl. JbAS, 89, 2006, 246 (Dendrodaten der Pfählung unter der Gebäudemauer, allerdings handelt es sich dabei um B-Daten).
- ³⁴⁵ Horisberger 2004, 106. Die Kanäle sind dendrodatiert; Fälldaten der Hölzer: Herbst/Winter 23 bzw. Frühling 24 n.Chr.
- ³⁴⁶ Drack u.a. 1990, 261. Für die Deutung der Mauer M 1 als Sockel-mauer vgl. 7. Ber.ZD 1970–74, Teil 1 (1975) 121. Nach W. Drack lässt das Fundament «nicht auf eine hohe, massive Mauerkonstruktion» schliessen.
- ³⁴⁷ Für die Hinweise zu Oberwenigen danke ich B. Horisberger. Diese Fundstelle wird von ihm im Rahmen der Auswertung des Wehntals bearbeitet (Zürcher Archäologie Heft 30, 2012).
- ³⁴⁸ Ob es sich dabei wirklich um einen Gutshof handelt, ist Thema einer laufenden Untersuchung durch I. Winet und den Schreibenden.
- ³⁴⁹ Ein unpubliziertes Manuskript von F. Hoek befindet sich im Archiv der KA Zürich. Plan Abb. 86 siehe Horisberger u.a. 2006, 46 Abb. 5a.
- ³⁵⁰ Chr. Ebnöther, J. Leckebusch, Siedlungsspuren des 1.–4. Jh. n.Chr. in Wetzikon-Kempton. AlZ 1993–1994, Ber.KA Zürich 13 (1996) 201 und Taf. 6,1.
- ³⁵¹ Zur Lage vgl. Horisberger u.a. 2006, Abb. S. 136. Zum Gebäude vgl. Horisberger u.a. 2006, 126f.; JbAS 89, 2006, 265; JbAS 90, 2007, 177.
- ³⁵² I. Winet hat das Gebäude in einer 2008 abgeschlossenen Lizenz-itsarbeit vorgelegt: I. Winet, Das Nebengebäude C des römischen Gutshofs von Wetzikon-Kempton (ZH). Eingereicht am Seminar für Ur- und Frühgeschichte der Universität Basel (Referent PD Dr. P.A. Schwarz). Ich danke I. Winet an dieser Stelle dafür, dass ich das Manuskript einsehen durfte. Die Arbeit soll, zusammen mit den anderen Gebäuden der Anlage in Wetzikon, demnächst publiziert werden.
- ³⁵³ Die erwähnten Gräben in Neftenbach lassen keine Ansprache zu.
- ³⁵⁴ Pauli-Gabi u.a. 2002/I, bes. 96–108; 152–157.
- ³⁵⁵ Pauli-Gabi u.a. 2002/I, 102 Anm. 137. Zur Entwicklung in Oberwinterthur vgl. auch Pauli-Gabi u.a. 2002/I, 102 Abb. 74.
- ³⁵⁶ Für einen Vergleich der Bautechniken in Neftenbach und Oberwinterthur vgl. Rychener 1999/I, 140.
- ³⁵⁷ Pauli-Gabi u.a. 2002/I, 102 Anm. 137. Dort sind auch mögliche Gründe hierzu angeführt.
- ³⁵⁸ Horisberger 2004, 83.
- ³⁵⁹ Ebnöther 1995, 209.
- ³⁶⁰ Rychener 1999/I, 120.
- ³⁶¹ Drack u.a. 1990, 261.
- ³⁶² Solche Rutschungen konnten tatsächlich beobachtet werden und führten vermutlich sogar zum Einsturz des Gebäudes, vgl. Horisberger 2004, 28.
- ³⁶³ Rychener 1999/I, 73; Rychener 1999/II, 39. Diese Erneuerung wird der Phase Hbl.3.2 zugewiesen.
- ³⁶⁴ Rychener 1999/I, 83.
- ³⁶⁵ Rychener 1999/I, 84.
- ³⁶⁶ Die vermutlich in flavischer Zeit angelegten, mit Steinkoffern versehenen Lehm Böden in Wetzikon lassen möglicherweise Anklänge an Mörtelböden erkennen.
- ³⁶⁷ Im Vicus *Vitudurum*-Oberwinterthur sind die frühesten Mörtelböden ins spätere 1. Jh. datiert, vgl. Pauli-Gabi u.a. 2002/I, 109 Abb. 83. Zu den verwendeten Bodentypen vgl. Pauli-Gabi u.a. 2002/I, 160f.; Rychener 1999/I, 140.
- ³⁶⁸ Rychener 1999/II, 38. Es handelt sich um Herdstelle 01B.1, die auf Abb. 55, 59, 62 und 63 abgebildet ist.
- ³⁶⁹ Rychener 1999/II, 75 (Befundkatalog).
- ³⁷⁰ Grube 2232, vgl. Rychener 1999/I, 115f. Abb. 116f.; Rychener 1999/II, 54.
- ³⁷¹ Ebnöther 1995, 86 (FST 1–3).
- ³⁷² Feuerstelle 47, vgl. Horisberger (in Bearbeitung), vgl. Anm. 347.
- ³⁷³ Pauli-Gabi u.a. 2002/I, 112 Abb. 83. Für die Herdstellen im Unteren Bühl wurde eine Typologie mit sechs Gruppen erstellt, vgl. Pauli-Gabi u.a. 2002/I, 161–163.
- ³⁷⁴ Rychener 1999/I, 77.
- ³⁷⁵ Rychener 1999/I, 140. Mit Verweis auf die Verwendung im Vicus *Vitudurum*-Oberwinterthur, wo ziegelgedeckte Dächer nach Rychener erst seit dem letzten V. des 1. Jh. auftraten. Möglicherweise sind sie dort allerdings bereits seit der Mitte des 1. Jh. belegt, vgl. Pauli-Gabi u.a. 2002/I, 160.
- ³⁷⁶ Ich danke R. Windler KA Zürich für die Durchsicht des Katalogs, die Abklärungen zu einzelnen Funden sowie für bibliographische Ergänzungen.
- ³⁷⁷ Ebnöther 1995, 25; 232; R. Marti, R. Windler, Siedlung und Besiedlung in der frühmittelalterlichen Schweiz. ZAK 59, 2002, 237–254; vgl. auch Windler 1994 passim.
- ³⁷⁸ Ebnöther 1995, 232.
- ³⁷⁹ Die für das frühmittelalterliche Lavezgeschirr typischen Kanneluren fehlen. Für diese Kanneluren vgl. Windler 2002, 203. Rippen sind bei frühmittelalterlichen Gefässen zwar selten, kommen aber vereinzelt vor, vgl. Windler 2002, 203 und Taf. 2,34; 3,62; Burzler u.a. 2002, Taf. 17,232f.
- ³⁸⁰ Vgl. dazu etwa Burzler u.a. 2002, 27.
- ³⁸¹ FK 59. Für die Begutachtung des Stücks danke ich K. Altorfer. Zur Verwendung von Feuerstein im Frühmittelalter vgl. etwa Burzler u.a. 2002, 289–291.
- ³⁸² Beim Trittwebstuhl hingegen, der im 7./8. Jh. auftritt, sind solche Umlenkrollen durchaus möglich, vgl. hierzu M. Roth, Rheinau-Heerenwis. ZA 25 (Zürch/Egg 2008) 78–81 Abb. 126; 131; 132. Bei dieser Art Webstuhl sind dann aber keine Webgewichte nötig.
- ³⁸³ R. Fellmann, Römische Kleinfunde aus Holz aus dem Legionslager von Vindonissa. Veröff. GPV 20 (Brugg 2009) 37 Taf. 5,232 (Scheibenrädchen).
- ³⁸⁴ Brem u.a. 2008, 190f. Taf. 84,4519–4531.
- ³⁸⁵ Für diese Kanneluren vgl. Windler 2002, 203.
- ³⁸⁶ Die Füllung der flachen Grube wurde wie die Struktur selbst als Pos. 97 bezeichnet. Die Struktur ist in die römische Planie Pos. 33 der Phase N2 eingetieft (vgl. dazu Kap. II.2.5.1).
- ³⁸⁷ Meist sind es nur gerade 5–7 cm.
- ³⁸⁸ Freundliche Mitteilung R. Windler KA Zürich. Vgl. dazu R. Windler,

- Mittelalterliche Webstühle und Weberwerkstätten – Archäologische Befunde und Funde. In: W. Melzer (Hrsg.), Archäologie und mittelalterliches Handwerk – Eine Standortbestimmung. Beiträge des 10. Kolloquiums des Arbeitskreises zur archäologischen Erforschung des mittelalterlichen Handwerks (Soest 2008) 201–215.
- ³⁸⁹ Komplexe mit Material: FK 78 (Pos. 82), FK 90 (Pos. 96), FK 95 und 101 (Pos. 97). Die FK 90 und 101 enthielten nur römische Keramik; alle frühmittelalterlichen Keramikfragm. stammen somit aus FK 95. Die Pos. 107, 108, 109, 110, 111, 112 lieferten keine Funde.
- ³⁹⁰ S. Motte, E. Faure-Boucharlat, Beynost, Les Grandes Croix. In: E. Faure-Boucharlat (Hrsg.), *Vivre à la campagne au Moyen Âge: L'habitat rural du V^e au XII^e s. (Bresse, Lyonnais, Dauphiné) d'après les données archéologiques. Documents d'Archéologie en Rhone-Alpes et en Auvergne* 21 (Lyon 2001) 259, Abb. 8,9; 263.
- ³⁹¹ D. Castella, F. Eschbach, *Découverte d'un habitat mérovingien à Payerne VD*. JbSGUF 82, 1999, 218f., bes. Abb. 5,14; 224.
- ³⁹² Pos. 81, 83–88, 90, 91, 94, 95, 99, 101–105. Alle waren in Pos. 33 und 46 eingetieft und von der neuzeitlichen Mischschicht Pos. 2 überdeckt (vgl. dazu Kap. II.2.2; II.2.6).
- ³⁹³ Pos. 87, 88, 91, 99, 101, 102, 103, 104.
- ³⁹⁴ Pos. 81 (FK 77), 83 (FK 87), 84 (FK 79), 86 (FK 88), 90 (FK 83), 95 (FK 92).
- ³⁹⁵ Diesen Hinweis verdanke ich R. Windler KA Zürich.
- ³⁹⁶ Für solche Käbme vgl. etwa Windler 1994, 109f.
- ³⁹⁷ Fischer 1997, 152f.; 154 Abb. 97. Vgl. auch 11. Ber.ZD 1983–86 (1995) 25. Hier ist von einem hochmittelalterlichen Grubenhaus die Rede. Das gefundene Webgewicht dürfte jedoch frühmittelalterlich sein (Hinweis R. Windler).
- ³⁹⁸ Ebnöther 1995, 232; Windler 1994, 159f.; 164.
- ³⁹⁹ Die gleichen Steinplatten sind bereits bei dem im späten 3. Jh. durch einen Brand zerstörten Holzgebäude für einen Durchgang verwendet worden (vgl. Kap. II.3.4.22). Die obersten Steine dieser Konstruktion waren vom Ziegelversturz Pos. 28 des früheren Holzbaus nicht überdeckt und wurden daher vermutlich für den postulierten jüngeren Pfostenbau verwendet.
- ⁴⁰⁰ FK 40, 41, 42, 127 (alle Feld 3). FK 125 stammt aus den Feldern 8 und 9.
- ⁴⁰¹ Kap. II.3.4.20.
- ⁴⁰² Kap. II.3.4.20 und Befundkatalog im Anhang.
- ⁴⁰³ Der Ton und der uneinheitliche Brand erinnern allerdings an Krüge, wie sie in Schichten aus dem mittleren 1. Jh. bekannt sind, vgl. dazu Kap. III.1.4.
- ⁴⁰⁴ Das Dekor erinnert an die kaiserzeitlichen Flaschen oder Tonnen, die auf der Schulter bisweilen eine ähnliche Verzierung aufweisen, vgl. dazu etwa Käch 2002, Taf. 8,211; Ebnöther 1995, Taf. 34,657 (Topf).
- ⁴⁰⁵ Der Ton erinnert auch an latènezeitliche Gefässe, wie B. Horisberger und S. Schreyer (beide KA Zürich) bestätigen. Eine solche Zeitstellung ist aufgrund des Befunds aber auszuschliessen. Für Glättmuster auf frühmittelalterlichen Gefässen vgl. Windler 2002, 213 (Kat. 68; 110). Bei den angeführten Parallelen handelt es sich aber um kleine Knickwandgefässe, die zudem ein Gittermuster zeigen.
- ⁴⁰⁶ Nach R. Windler würde es sich dabei um ein ungewöhnliches Grabinventar handeln.
- ⁴⁰⁷ Pos. 2: Mischschicht, enthält römisches und neuzeitliches Material; Pos. 198: Mischschicht über dem römischen Gebäudeabgang, römisch bis Neuzeit; Pos. 1: Humus. Eine detaillierte Liste mit den zugewiesenen FK befindet sich im Archiv der KA Zürich. Es handelt sich dabei um insgesamt etwas mehr als 70 FK.
- ⁴⁰⁸ Nach einer Vorsortierung wurden die in Frage kommenden Objekte im Januar 2010 mit R. Windler und B. Horisberger (beide KA Zürich) durchgesehen.
- ⁴⁰⁹ Für einen Überblick über alle neuen Funde aus dem 4. Jh. vgl. Kap. V.2.2.2.
- ⁴¹⁰ FK 669. Vgl. Brem u.a. 2008, 183 (Chenet 305–307) Taf. 75,3986–4013. Vergleichbare Teller wurden auch in den Gräbern von Pfyn-Adelberg gefunden, vgl. Brem u.a. 2008, Taf. 118,5736; 121,5760. Für die Datierung um die Mitte des 4. Jh. vgl. ebd. S. 225. Ein identischer Teller stammt auch aus einem Grab in Windisch-Dammstrasse, vgl. H. Flück, Das Gräberfeld Windisch-Dammstrasse. JbGPV 2004, Taf. 4, B Nr. 16. Das Grab 17 wird ins mittlere Drittel des 4. Jh. oder später datiert, vgl. ebd. S. 77.
- ⁴¹¹ FK 32. Brem u.a. 2008, 191 Taf. 84,4519–4531.
- ⁴¹² In der Art Ebnöther 1995, Taf. 17,273 (mit möglicher Datierung ins 4. Jh., vgl. ebd. S. 61).
- ⁴¹³ Eine verwandte Randbildung liess sich bei einem Fragm. (FK 287) aus den Zerstörungsschichten in Gebäude O feststellen, vgl. oben Kap. II.3.4.10.
- ⁴¹⁴ R. Windler, Ein frühmittelalterlicher Werkplatz und seine Uferverbauung an der Eulach bei Winterthur. JbAS 93, 2010, 164 Taf. 1,8.
- ⁴¹⁵ Marti 2000, 248.
- ⁴¹⁶ Hierzu Ebnöther 1995, 167f. Abb. 233 und 233a.
- ⁴¹⁷ Für eine Datierung im 4. Jh. könnte sprechen, dass die RS zusammen mit der Schüssel Chenet 307 (vgl. oben) gefunden wurde. Es muss aber gesagt werden, dass der Fundkomplex aus der mit neuzeitlichen Scherben durchsetzten Mischschicht Pos. 198 stammt.
- ⁴¹⁸ Es fällt auf, dass um und nach der Mitte des 3. Jh. die Mehrzahl der Kochtöpfe der für Dietikon typischen Form angehört. Auch Chr. Ebnöther konnte daneben verschiedene Einzelformen feststellen, vgl. beispielsweise Ebnöther 1995, Taf. 54,1067.1069 (Gebäude A); 70,1394 (Gebäude B).
- ⁴¹⁹ Da die andere Seite vom Gebrauch geschwärzt ist, ist davon auszugehen, dass die Ritzlinien auf der Oberseite des Deckels angebracht waren.
- ⁴²⁰ Ebnöther 1995, Taf.76,1529 (tannenzweigförmige Einritzungen). Für die Datierung ebd. S. 157; 165f.
- ⁴²¹ Ebnöther 1995, Taf. 70,1391. Für die Datierung ins letzte Viertel des 3. Jh. vgl. ebd. S. 141; 146.
- ⁴²² R. Windler anlässlich der Autopsie im Januar 2010. Für das Dekor auf frühmittelalterlichen Gefässen vgl. etwa B. Horisberger, A. Matter, Vom römischen Gutshof zur mittelalterlichen Siedlung. JbSGUF 87, 2004, 150 Abb. 10 (Kat. 7).
- ⁴²³ FK 747 (vgl. Abb. 27) und FK 696. Beide wurden im Vorplatzbereich von Gebäude O gefunden. Wir tendieren dazu, die Scherben FK 747 und 696 als zusammengehörig zu betrachten, FK 667 hingegen als ein anderes Gefäss.
- ⁴²⁴ Solche Perlen aus blauem, leicht durchscheinendem Glas sind im Frühmittelalter eher selten. Freundl. Hinweis Y. Reich und R. Windler KA Zürich.
- ⁴²⁵ Mittlere Kaiserzeit: Riha 1990, 87 (Spindelförmige Perlen) Taf. 38,1227–1231. Spätantike: M. Konrad, Das römische Gräberfeld von Bregenz-Brigantium I. Die Körpergräber des 3. bis 5. Jahrhunderts (München 1997) 73–77. Frühmittelalter: Marti 2000, Abb. 23 Perlenform P 52 (doppelkonisch, opak/frittig).
- ⁴²⁶ Brem u.a. 2008, Abb. 222 (Nr. 3585; «Zierrillen auf der Wandung»).
- ⁴²⁷ Riha 1990, 109 (mit Literatur); R. Pirling, M. Siepen, Die Funde aus den römischen Gräbern von Krefeld-Gellep (Stuttgart 2006) 363 mit Taf. 62,6; Brem u.a. 2008, 95 Taf. 8,801–805.
- ⁴²⁸ Vgl. dazu Windler 1994, Taf. 27,3 (Grab 65) 90f. (Datierung: spätes 6.–1. H. 7. Jh.).
- ⁴²⁹ Ebnöther 1995, 232; Windler 1994, 159.
- ⁴³⁰ Dietikon, Bahnhofstr. 8, Kat.-Nr. 8385 (Ereignis 2002.055). Grabungsdauer: 4.–8.7.2002. Technische Leitung R. Gamper, wissenschaftliche Leitung M. Roth. Vgl. dazu AIZ 2001–2002, Ber.KA Zürich 17 (2004) 15f.; JbSGUF 86, 2003, 259f.
- ⁴³¹ Die für die Altersbestimmung erforderliche Präparierung und Aufbereitung des Probenmaterials erfolgte im Radiokarbonlabor des Geographischen Instituts der Universität Zürich (GIUZ). Die abschliessende Datierung wurde mittels der AMS-Technik (accelerator mass spectrometry) auf dem Tandem-Beschleuniger des ITP (Institut für Teilchenphysik) der ETH Zürich-Hönggerberg durchgeführt.
- ⁴³² Die von E. Langenegger erstellten anthropologischen Berichte befinden sich im Archiv der KA Zürich.
- ⁴³³ Das Alter eines Neugeborenen wird anhand der Körperlänge geschätzt. Weil die Körperlänge von verschiedenen Faktoren wie Körperhöhe beider Eltern, Gesundheits- und Ernährungszustand der Mutter, Geburtstermin etc. abhängig ist, sind diese Angaben vage. Sie werden aber gebraucht, wenn kaum Knochen gefunden werden, die Anhaltspunkte zum Alter liefern. Ist der Basalknochen vorhanden, sind Angaben bezüglich Geburtsreife möglich, und wenn Zahnkeime gefunden werden, kann daran abgelesen werden, ob die Geburt um einige Wochen überlebt wurde. Das Vorhandensein bestimmter Knochen gibt zudem Anhaltspunkte über den Reifegrad des Individuums. Dies bedeutet: je vollständiger ein Skelett ist, umso genauere Angaben bezüglich Alter sind möglich.
- ⁴³⁴ Zum Schichtaufbau vgl. Abb. 72. Das Grab ist erst beim 2. Abtrag von Pos. 51 zum Vorschein gekommen. Pos. 44 kann in die flavische Zeit datiert werden (vgl. Kap. II.3.4), was einen terminus post quem für die Bestattung ergibt.
- ⁴³⁵ I.G. Fazekas, F. Kosa, *Forensic Fetal Osteology* (Budapest 1978) 139.
- ⁴³⁶ Das Skelett ist nur 44 cm lang.
- ⁴³⁷ Der Körper Pos. 468 befand sich nicht mehr im Sehnenverband, als er durch die Frühgeburt gestört wurde.
- ⁴³⁸ Die Innenräume der Gebäude sind alle im Handabtrag untersucht worden, sodass hier sicher alle intakten Kindergräber gefasst worden sind.

- ⁴³⁹ Die Funde sind irrtümlich Pos. 390 zugewiesen worden. Die Position konnte aber als Pos. 497 rekonstruiert werden. Die Knochen gehören sicher nicht, wie anfänglich angenommen, zu Pos. 567 (vgl. anthropol. Bericht E. Langenegger).
- ⁴⁴⁰ Ebnöther 1995, Tab. 46,25 im Anhang und ebd. S. 153.
- ⁴⁴¹ Vgl. Bericht von E. Langenegger im Archiv der KA Zürich (Ereignis 2003.037).
- ⁴⁴² Vgl. dazu AIZ 1999–2000, Ber.KA Zürich 16 (2002) 16. Für die Absenkung vgl. auch oben Kap. II.3.4.15.
- ⁴⁴³ An neuerer Literatur zum Thema Kindergräber seien erwähnt: E. Schallmayer, Gräber von Kindern und Jugendlichen in römischer Zeit. In: G. Seitz (Hrsg.), Im Dienste Roms: Festschrift H.U. Nuber (Remshalden 2006) 55–69; S. Gaio, «Quid sint suggrundaria». La sepoltura infantile a enchytrismos di Loppio – S. Andrea (TN). Ann. Mus. Civ. Rovereto 20, 2004, 53–90; D. Gourevitch u.a. (Hrsg.), Maternité et petite enfance dans l'antiquité romaine: Catalogue de l'exposition, Bourges, Muséum d'histoire naturelle, 6. Nov. 2003–28. März 2004 (Bourges 2003); B. Hölschen, Säuglinge überall – Bestattungen im Siedlungs- und Gräberfeldareal der römischen Siedlung Sontheim/Brenz «Braike», Kreis Heidenheim. In: L. Wamser, B. Steidl, Neue Forschungen zur römischen Besiedlung zwischen Oberrhein und Enns. Kolloquium Rosenheim 14.–16. Juni 2000 (Remshalden 2002) 223–229.
- ⁴⁴⁴ Ebnöther 1995, Anhang Tab. 46. Es sind 25 Individuen aufgelistet.
- ⁴⁴⁵ Pos. 168 und 567.
- ⁴⁴⁶ Es ist damit gleichzeitig auch das bisher älteste Kind, das in Dietikon in oder um die Wohngebäude herum bestattet wurde. Für die bisher bekannten Neonatengräber vgl. Kap. II.2.5.3 (Vorstadtstr. 44–52) und Ebnöther 1995, Anhang Tab. 46.
- ⁴⁴⁷ So L. Berger, Säuglings- und Kinderbestattungen in römischen Siedlungen der Schweiz – ein Vorbericht. In: Struck 1993, 322–324; M. Struck, Kinderbestattungen in romano-britischen Siedlungen – der archäologische Befund. In: Struck 1993, 315.
- ⁴⁴⁸ «Priori tempore suggrundaria antiqui dicebant sepulchra infantium qui necdum quadraginta dies implessent ...».
- ⁴⁴⁹ Ulrich-Bochsler 1997, 124–130. Mit Verweis auf vergleichbare römische Bestattungen (S. 98). Die Autorin vermutet, dass die im Mittelalter und in der Neuzeit beobachtete Sitte auf römische Wurzeln zurückgeht (S. 98).
- ⁴⁵⁰ Ulrich-Bochsler 1997, 125 Anm. 540f.
- ⁴⁵¹ Ulrich-Bochsler 1997, 125–130.
- ⁴⁵² Ade 2009, 7; C. Frieser, Wodurch das Kind fruchtbar an Tugend und Wissen wird – Nachgeburtsbestattungen aus einem Bauernhaus in Deutenheim, Mittelfranken. In: Aspekte der Archäologie des Mittelalters und der Neuzeit. Festschrift W. Sage (Bonn 2003) 141; D. Ade-Rademacher, K. Sartorius, «Wo weder Sonne noch Mond hinscheint ...». In: Ade-Rademacher 1997, 22; B. Otto, «ein rot wammesch ...». In: Ade-Rademacher 1997, 47.
- ⁴⁵³ Ade 2009, 7 (ohne Quellenangabe). Sie spricht von einem «Schutzbezirk», den die Dachtraufe bilde.
- ⁴⁵⁴ In der Nähe von Gebäude B konnte eine Hundebestattung ebenfalls unmittelbar ausserhalb der Umfassungsmauer beobachtet werden, vgl. Ebnöther 1995, 139.
- ⁴⁵⁵ Die Zuweisung liesse sich möglicherweise mit einer C14-Analyse lösen.
- ⁴⁵⁶ Gräber Pos. 202 und 367.
- ⁴⁵⁷ Eine Parallele findet sich etwa in Nyon, vgl. Flutsch u.a. 2002, Abb. 339. Ein weiteres solches Grab ist in Wetzikon-Kempten belegt, wo unter dem Fussboden des Anbaus Raum 9 die Reste einer Ziegelkiste gefunden wurden; vgl. Horisberger u.a. 2006, Abb. 3.
- ⁴⁵⁸ So die Gräber Pos. 52, 54, 67 sowie vielleicht Pos. 68, 468.
- ⁴⁵⁹ Ebnöther 1995, 91; ebd. Anhang Tab. 46,5–14.
- ⁴⁶⁰ Chr. Ebnöther vermutete, dass sich ca. zehn Personen ein Gebäude teilten, vgl. Ebnöther 1995, 218.
- ⁴⁶¹ Für Überlegungen zur Kindersterblichkeit vgl. Flutsch u.a. 2002, 280 (mit Literatur). Die Kindersterblichkeit im ersten Lebensjahr lag in der römischen Zeit bei 35%.
- ⁴⁶² Die Skelette der Individuen Pos. 66 und 67 wiesen zum Zeitpunkt der Bestattung von Pos. 54 keinen Sehnenverband mehr auf; die beiden Bestattungen waren daher mind. ein Jahr vorher hier bestattet worden.
- ⁴⁶³ Die Störung der Gräber Pos. 66 und 57 durch Pos. 54 deutet für E. Langenegger eher darauf hin, dass diese Gräber nicht markiert waren. Dies aufgrund der Tatsache, dass es durch spätere Eingriffe gestört wurde, vgl. Kap. III.3.3.
- ⁴⁶⁴ Darüber liegen bei allen drei Bestattungen neuzeitlich tangierte römische Versturzsichten (Pos. 198).
- ⁴⁶⁵ Es konnte nicht sicher entschieden werden, ob das Grab unter dem Ziegelversturz Pos. 28 lag oder diesen durchschlägt. Der Ziegelversturz Pos. 28 lässt sich ins spätere 3. Jh. datieren.
- ⁴⁶⁶ Ganz herzlich danke ich B. Zäch, Winterthur, für die Durchsicht sowie Diskussion des Manuskripts und M. Peter, Augst, sowie U. Werz, Winterthur, für anregende Hinweise.
- ⁴⁶⁷ Für die gegenwärtige Auswertung wird auf den Einbezug der nicht genauer lokalisierbaren Altfunde sowie der 1866 in der Nähe des Bahnhofs gefundenen Börse verzichtet. B. Hedinger, 1.5.7., 7.7.4. 10.4.3. sowie 2. Münzen. In: Ebnöther 1995, 62; 144f.; 184–194; 232–244.
- ⁴⁶⁸ Die Funktion dieses Gebäudes als Tempel scheint nicht die einzig mögliche zu sein. Es könnte sich durchaus auch um ein Ökonomiegebäude handeln; vgl. dazu Ebnöther 1995, 195–197 (zur Interpretation von Gebäude M 196f.).
- ⁴⁶⁹ Vgl. Ebnöther 1995, 150–170.
- ⁴⁷⁰ Zu Funden, Befund und Interpretation: Ebnöther 1995, 195–197. Befund wie Funde stammen aus den Untersuchungen des Schweiz. Landesmuseums (heute Nationalmuseum) im Jahr 1953, die von K. Heid geleitet wurden.
- ⁴⁷¹ Eine Zusammenstellung für Beispiele aus der Ostschweiz bei Hedinger 1991, 198.
- ⁴⁷² Vgl. Kap. III.2.2.
- ⁴⁷³ Peter 2001, 63.
- ⁴⁷⁴ Ein eindrückliches Beispiel hierfür ist die Vergesellschaftung von stratifizierten Prägungen des 2. Jh. (ein Sesterz des Hadrianus und ein As des Commodus) mit Antoninianen aus der zweiten Hälfte des 3. Jh. in Neftenbach; vgl. dazu Schmutz 1999, 485; Peter 2001, 96–99; 115.
- ⁴⁷⁵ Hedinger 1995, 147f.
- ⁴⁷⁶ Vgl. Kap. IV.8.
- ⁴⁷⁷ Vgl. dazu die Zusammenstellung bei Hedinger 1995, 427.
- ⁴⁷⁸ Vgl. Hedinger 1995, 236.
- ⁴⁷⁹ Hedinger 1995, 239.
- ⁴⁸⁰ Vgl. Hedinger 1991, 198 mit einer Auflistung weiterer Fundorte.
- ⁴⁸¹ Zu den Hortfunden in Italien vgl. beispielsweise die Untersuchungen von A. Bernardelli, La tesaurizzazione di moneta di bronzo in Italia del III secolo d.C. e la legge di Gresham: alcune considerazioni. In: Asolati/Gorini 2006, 73–77. Abdy führte seine Analyse vornehmlich an Hand der Funde von Bath durch; R. Abdy, The Decline and Fall of the Sesterius in Roman Britain: a Case Study. In: Asolati/Gorini 2006, 52–54.
- ⁴⁸² In Bau F weisen die Münzen M16–M18 leichte Brandspuren auf. Ebnöther 1995, 152–170; zu den Feuerstellen besonders 157f.
- ⁴⁸³ Ebnöther 1995, 157. Vgl. auch Kap. II.3.4.3; II.3.4.4.
- ⁴⁸⁴ Vgl. Kap. II.3.4.9.
- ⁴⁸⁵ Vgl. Kap. II.3.4.9; II.3.4.10.
- ⁴⁸⁶ Vgl. Kap. II.3.4.16; II.3.4.18.
- ⁴⁸⁷ Peter 2001, 93–99.
- ⁴⁸⁸ In Schatzfunden des 2. Jh. aus Augst liess sich eine konstante Abnahme der Abnutzungsspuren bei Münzen des 1. und 2. Jh. feststellen. Peter 2001, 93 mit Anm. 336f.
- ⁴⁸⁹ Peter 2001, 93–95.
- ⁴⁹⁰ Brem u.a. 1996, 210–214; Bertolaccini 2007, 48.
- ⁴⁹¹ Der Widerspruch besteht darin, dass unterhalb des Kalkbodens offenbar ein As des Marcus Aurelius (161–180) geborgen wurde, während sich über diesem nebst einem Antoninian des Valerianus (253–260) auch ein As des Nerva (96–98) befand.
- ⁴⁹² Vgl. z.B. Peter 2001, 61 mit Anm. 226.
- ⁴⁹³ Da die Schichtfolge in der Umgebung des Tempels stark gestört ist, könnte argumentiert werden, die Spuren eines Vorgängerbaus seien einfach nicht mehr fassbar.
- ⁴⁹⁴ Vgl. Kap. II.1.5.
- ⁴⁹⁵ Zur Keramik vgl. Kap. II.1.4.
- ⁴⁹⁶ Hedinger 1995, 184–187.
- ⁴⁹⁷ Vgl. Kap. II.3.4.4.
- ⁴⁹⁸ Dazu beispielsweise Peter 2001, 136.
- ⁴⁹⁹ Vgl. Kap. II.3.2.
- ⁵⁰⁰ Keramikdatierte Schicht: Kap. II.3.4.9.
- ⁵⁰¹ Vgl. Kap. II.3.4.9.
- ⁵⁰² Vgl. Kap. II.3.4.16.
- ⁵⁰³ Vgl. Kap. II.3.4.18.
- ⁵⁰⁴ Vgl. dazu die Überlegungen am Schluss von Kap. IV.8.
- ⁵⁰⁵ Schmutz 1999, 482 Abb. 806; 485f. Der Hortfund wird hier bewusst ausgeklammert.
- ⁵⁰⁶ B. Hedinger, Münzen. In: Horisberger 2004, 133–135.
- ⁵⁰⁷ Vgl. dazu Brem u.a. 1996, 209–215.

- ⁵⁰⁹ Kunnert 2001, 64.
- ⁵¹⁰ Bertolaccini 2007, 45–47.
- ⁵¹¹ Hedinger 1995, 239f. Abb. 309.
- ⁵¹² Frey-Kupper 2010, 124–127.
- ⁵¹³ Vgl. Zusammenstellung bei Frey-Kupper 2010, 127 Tab. 7.
- ⁵¹⁴ Peter 2001, 111–113 Abb. 38.
- ⁵¹⁵ Vgl. dazu wiederum Brem u.a. 1996, 209–215.
- ⁵¹⁶ Diese Abfolge ist bei den Gutshöfen bisher erst in Oberwenigen nachgewiesen (vgl. Kap. III.1.8.1).
- ⁵¹⁷ Ebnöther 1995, 214 (22,4–22,5 m).
- ⁵¹⁸ Ebnöther 1995, 152 Anm. 480: Schwelle ca. 388.10 m ü.M.
- ⁵¹⁹ Entspricht Ebnöther 1995, Abb. 213 Mauer M 1, vgl. ebd. Tab. 24.
- ⁵²⁰ Diese Abfolge hat auch Chr. Ebnöther beschrieben, vgl. Ebnöther 1995, Abb. 213. Ausserhalb der Mauern M 2 und M 3 sind damals Steinreihen beobachtet worden, die möglicherweise der Stabilisierung des Gebäudes dienten, vgl. Ebnöther 1995, 152 Abb. 211.
- ⁵²¹ Ebnöther 1995, 152. Es ist allerdings nicht auszuschliessen, dass der nordwestliche Bereich des Gebäudes später abgetieft wurde, was das Fehlen von frühen Schichten erklären würde.
- ⁵²² Ebnöther 1995, 70 Abb. 87; 99.
- ⁵²³ Ebnöther 1995, 70.
- ⁵²⁴ Ebnöther 1995, 70. Die Steinreihe ist dort auf Abb. 90 und 99 sichtbar. Die Konstruktion sollte nach Meinung von Chr. Ebnöther die postulierten Senkungen ausgleichen.
- ⁵²⁵ Ebnöther 1995, 155f. Chr. Ebnöther hält fest, dass die «Ausgräber» hier einen leicht eingetieften Kellerraum vermuteten. Aufgrund der vorhandenen Dokumentation kommt sie jedoch zum Schluss, dass hier eher eine Schichtsenkung vorliegt.
- ⁵²⁶ Für die Aufgaben des Verwalters vgl. etwa die Hinweise bei Cato: M. Porcius Cato, *de agri cultura* II,1–2; VII; CLI; CLII (vilica). Leider berichtet Cato nicht, wo und wie der vilicus wohnte.
- ⁵²⁷ Es ist festzuhalten, dass sich dieses Gebäude von der Grösse und vom Aussehen her deutlich von den anderen Wohn-/Wirtschaftsbauten an der Hofmauer abhebt. Für eine Deutung als Wohnsitz des Verwalters könnte die Nähe zur Villa sprechen. Bei der sog. Villa urbana von Heitersheim (D) wird ein Gebäude in vergleichbarer Lage ebenfalls als Haus des Vilicus bezeichnet, vgl. zuletzt dazu H.U. Nuber, Heitersheim. Eine villa urbana. In: *Imperium Romanum. Roms Provinzen an Neckar, Rhein und Donau* (Stuttgart 2005) 280 Abb. 349.
- ⁵²⁸ So etwa die Nr. 21 und 25 auf Abb. 70.
- ⁵²⁹ Grossflächiger ist nur der Bereich zwischen Gebäude A und L untersucht worden, vgl. Ebnöther 1995, Abb. 130.
- ⁵³⁰ Vgl. Kap. II.1.4.
- ⁵³¹ Bei Gebäude D kann dazu nichts gesagt werden, da kaum über den Portikusbereich hinaus gegraben worden ist. Beim Gebäude C ist zwar ein Weg vorhanden; die Situation ist jedoch unklar, zumal wenige Meter von Gebäude C entfernt ein kleines Nebengebäude liegt.
- ⁵³² Vgl. Abb. 113 mit dem Plan bei Chr. Ebnöther (Ebnöther 1995, Vorsatz vorne).
- ⁵³³ Normalerweise beträgt der Abstand zwischen den Bauten rund 22,5 m; vgl. Ebnöther 1995, 214.
- ⁵³⁴ Ebnöther 1995, Abb. 3; 296; ebd. S. 16; 179; 214; 215. Ebnöther vermutete auch, dass diese Bachläufe möglicherweise die Abgrenzung zwischen *pars urbana* und *pars rustica* bildeten, vgl. Ebnöther 1995, 214f.
- ⁵³⁵ Das Reppischknie existierte vermutlich bereits in römischer Zeit. Dafür spricht, dass auf der NE-Seite der Gutshofanlage die Gebäude A, B und L lagen.
- ⁵³⁶ Lengwiler u.a. 2003, 165; H. Lüthi (Hrsg.), *Die Limmat und das Dorf Dietikon. Die Jugenderinnerung des Jakob Grau* (Weiningen 2001) 23.
- ⁵³⁷ Die Hofmauer müsste aufgrund der massiven modernen Überschüttungen deutlich tiefer gelegen haben als die Mauern von Gebäude N: Die UK des Hofmauer-Fundaments liegt ganz im Nordwesten des Areals auf 389.30 m ü.M., beim Gebäude N auf 389.03 m ü.M. Das heutige Terrain im Bereich des Sondierschnitts S1, der zwischen dem modernen Haus und der Reppisch angelegt wurde, befindet sich auf 389.39 m ü.M.; das sterile Schwemmsediment der Reppisch liegt hier also 1 m tiefer.
- ⁵³⁸ Ebnöther 1995, 209f., vgl. auch ebd. S. 78 (Gebäude D. Phase D1/2).
- ⁵³⁹ Ebnöther 1995, 56–59 Taf. 1,1–9.146. Es wird darauf hingewiesen, dass die Bauschuttplanien gleichzeitig wie die älteren Schichten seien, vgl. Ebnöther 1995, 59.
- ⁵⁴⁰ Ebnöther 1995, 58.
- ⁵⁴¹ Zudem muss gesagt werden, dass das «datierende Stück», die grautonige Schüssel Drack 19 (Kat. 7–8) in claudische Zeit datiert werden kann, eine ernerische Datierung damit aber natürlich durchaus möglich ist.
- ⁵⁴² Ebnöther 1995, 87 (Schicht I 2.11), vgl. dort auch die Profile Abb. 109 und 118.
- ⁵⁴³ Ebnöther 1995, 86.
- ⁵⁴⁴ Ebnöther 1995, 213–221.
- ⁵⁴⁵ Auch Chr. Ebnöther hat sich dahingehend geäussert; sie vermutet allerdings, dass die Gebäude im 3. Viertel des 1. Jh. errichtet wurden, vgl. Ebnöther 1995, 123. Es ist allerdings darauf hinzuweisen, dass Gebäude C auf der Südseite der Anlage offenbar auch erst im 3. Viertel des 1. Jh. errichtet wurde, vgl. Ebnöther 1995, 84; 85 (Steinbau: 2. H. 1. Jh.); 99.
- ⁵⁴⁶ Ebnöther 1995, 114. Zur Datierung des Gebäudes ins 3. Viertel des 1. Jh. vgl. ebd. S. 104. Die ältesten Schichten (Phase A 1) wurden hier nur ausserhalb des Baus gefunden.
- ⁵⁴⁷ Ebnöther 1995, 123. Eine zeitliche Einordnung der ersten Phase war aufgrund des Fehlens von aussagekräftigem Material schwierig.
- ⁵⁴⁸ Ebnöther 1995, 135.
- ⁵⁴⁹ Ebnöther 1995, 160.
- ⁵⁵⁰ Dies hat bereits Chr. Ebnöther als Möglichkeit angeführt, vgl. Ebnöther 1995, 168.
- ⁵⁵¹ Für weitere Funde aus dem 4. Jh. von der Neumattstr. 11, 13, 15 vgl. Kap. III.2.3.6.
- ⁵⁵² FK 75. Für die Form vgl. Brem u.a. 2008, Bd. 1, 185–189 (Typengruppe Pfyn 11, Muster 1), Taf. 77,4112–4139.
- ⁵⁵³ Bis auf die drei Providentia-Asse des Tiberius (M1–M3) sind die neuen Münzen alle später als die bisher bekannten. Für die bisherigen Münzen vom Tempel vgl. Ebnöther 1995, 196 und Tab. 42 im Anhang.
- ⁵⁵⁴ Brem u.a. 2008, 190f. Taf. 84,4519–4531.
- ⁵⁵⁵ Brem u.a. 2008, 191.
- ⁵⁵⁶ Ebnöther 1995, 179. Dies zeigen die Münzen aus der Cella, die bis in die Mitte des 4. Jh. reichen.
- ⁵⁵⁷ Ebnöther 1995, 229 mit Beilage 1.1 (Siedlungsphase IV).
- ⁵⁵⁸ Ebnöther 1995, 229f.
- ⁵⁵⁹ Ebnöther 1995, 230 («nordwestlich» wohl irrtümlich für nordöstlich, vgl. ebd. S. 265). Bei Gebäude C an der südöstlichen Umfassungsmauer ist die Besiedlung nach der Mitte des 3. Jh. aufgrund der schlechten Erhaltung unsicher. Beim Gebäude D hingegen ist eine Wiederinstandstellung durchaus möglich, vgl. Ebnöther 1995, 74.
- ⁵⁶⁰ Ebnöther 1995, 230. Sie konnte Zerstörungsschichten aus dieser Zeit in den Gebäuden A, B und wohl auch beim Tempel G fassen.
- ⁵⁶¹ Die chronologische Einordnung der Zerstörungshorizonte erfolgte auch bei den früher untersuchten Gebäuden über die Münzen, die leichte Differenzen zeigen, vgl. Ebnöther 1995, 230.
- ⁵⁶² Ebnöther 1995, 230–232.
- ⁵⁶³ Für die früher festgestellten frühmittelalterlichen Befunde vgl. Ebnöther 1995, 232 und Windler 2002, 243.

4 Abkürzungen

Allgemein

| | |
|--------|---------------------------------------|
| Abb. | Abbildung |
| BS | Bodenscherbe |
| D. | Drittel |
| Dm. | Durchmesser |
| Drag. | Dragendorff |
| ebd. | ebenda |
| Expl. | Exemplar |
| FK | Fundkomplex |
| FMA | Frühmittelalter/frühmittelalterlich |
| Fragm. | Fragment(e) |
| Fst | Feuerstelle |
| Glzt | Glanzton |
| H. | Hälfte |
| Jh. | Jahrhundert |
| KA | Kantonsarchäologie |
| Kap. | Kapitel |
| L. | Länge |
| l. | links |
| Lfm. | Laufmeter |
| m | Meter, auch Meter im lokalen Messnetz |
| M | Mauer |
| M. | Mitte / Massstab |
| MKWt | Münzkabinett Winterthur |
| n.Chr. | nach Christus |
| Nr. | Nummer |
| NZ | Neuzeit/neuzeitlich |
| OK | Oberkante |
| Pos. | Position |
| r. | rechts |
| RS | Randscherbe |
| Rs. | Rückseite |
| S. | Seite |
| s. | siehe |
| TS | Terra Sigillata |
| UK | Unterkante |
| V. | Viertel |
| v.Chr. | vor Christus |
| vgl. | vergleiche |
| Vs. | Vorderseite |
| WS | Wandscherbe |

Literatur

| | |
|------------|--|
| AIZ | Archäologie im Kanton Zürich |
| AS | Archäologie der Schweiz |
| Ber.KA | Berichte Kantonsarchäologie |
| Ber.ZD | Berichte Zürcher Denkmalpflege Kanton |
| Conspectus | E. Ettliger u.a., Conspectus formarum terrae sigillatae italico modo confectae 2 (Bonn 2002) |
| JbAK | Jahresberichte aus Augst und Kaiseraugst |
| JbAS | Jahrbuch Archäologie Schweiz (ab 2006, zuvor JbSGUF) |
| JbGPV | Jahresbericht der Gesellschaft Pro Vindonissa |
| JbSLM | Jahrbuch des Schweizerischen Landesmuseums in Zürich |

| | |
|-------------|--|
| JbSGUF | Jahrbuch der Schweizerischen Gesellschaft für Ur- und Frühgeschichte |
| SFMA | Studien zu Fundmünzen der Antike |
| Veröff. GPV | Veröffentlichungen der Gesellschaft Pro Vindonissa |
| ZA | Zürcher Archäologie |
| ZAK | Zeitschrift für Schweizerische Archäologie und Kunstgeschichte |

5 Bibliographie

ADE 2009 – D. Ade, «Wo weder Sonne noch Mond hinscheint» – ein (fast) vergessener Brauch. *Archäologie in Deutschland* 5, 2009, 6–10.

ADE-RADEMACHER u.a. 1997 – D. Ade-Rademacher u.a., «Wo weder Sonne noch Mond hinscheint». Archäologische Nachweise von Nachgeburtsbestattungen in der frühen Neuzeit. *Archäologische Informationen aus Baden-Württemberg* 36 (Stuttgart 1997).

AESCHIMANN/HEITZ 2005 – D. Aeschmann, C. Heitz, Synonymie-Index der Schweizer Flora und der angrenzenden Gebiete. *Documenta Floristicae Helvetiae* 2 (Genf 2005).

ASOLATI/GORINI 2006 – M. Asolati, G. Gorini (Hrsg.), I ritrovamenti monetali e la legge di Gresham. *Atti del III Congresso Internazionale di Numismatica e di Storia Monetaria*. Padova, 28–29 ottobre 2005 (Padova 2006).

BALMER 2009 – M. Balmer, Zürich in der Spätlatène- und frühen Kaiserzeit. *Monogr. KA Zürich* 39 (Zürich/Egg 2009).

BERTOLACCINI 2007 – L. Bertolaccini, Die Fundmünzen der Ausgrabungen von 1961 und 1981/82. In: *Käch* 2007, 45–48.

BREM u.a. 1996 – H. Brem, S. Frey-Kupper, B. Hedinger u.a., A la recherche des monnaies «perdues». Zum Münzumsatz im späteren 3. Jh. n.Chr. *JbSGUF* 79, 1996, 209–215.

BREM u.a. 2008 – H. Brem u.a., Ad Fines: Das spätrömische Kastell Pfyn. *Archäologie im Thurgau* 8 (Frauenfeld 2008).

BURZLER u.a. 2002 – A. Burzler u.a., Das frühmittelalterliche Schleithelm – Siedlung, Gräberfeld und Kirche (Schaffhausen 2002).

DRACK u.a. 1990 – W. Drack u.a., Der römische Gutshof bei Seeb, Gem. Winkel. *Ausgrabungen 1958–1969*. Ber. ZD, Arch. Monogr. 8 (Zürich 1990).

DREIBUSCH 1994 – G. Dreibusch, Darre oder Räucher- kammer? Zu römischen Heizanlagen in Westdeutschland. *Fundber. Baden-Württemberg* 19/1, 1994, 181–205.

EBNÖTHER 1995 – Chr. Ebnöther, Der römische Gutshof in Dietikon. *Monogr. KA Zürich* 25 (Zürich/Egg 1995).

ETTLINGER/ROTH-RUBI 1979 – E. Ettliger, K. Roth-Rubi, Helvetische Reliefsigillaten und die Rolle der Werkstatt Bern-Enge. *Acta Bernensia* VIII (Bern 1979).

FILGIS 1993 – M.N. Filgis, Römische Darre aus Bad Wimpfen im Vergleich mit rezenten Beispielen. *Fundber. Baden-Württemberg* 18, 1993, 71–82.

FISCHER 1997 – C. Fischer, Innovation und Tradition in der Mittel- und Spätbronzezeit. *Monogr. KA Zürich* 28 (Zürich/Egg 1997).

FLUTSCH u.a. 2002 – L. Flutsch, U. Niffeler, F. Rossi (Hrsg.), SPM V. Die Schweiz vom Paläolithikum bis zum frühen Mittelalter. Bd. 5, Römische Zeit (Basel 2002).

FREY-KUPPER 2010 – S. Frey-Kupper, Die Fundmünzen. In: P. Harb, M. Wullschleger, *Der römische Gutshof von Langendorf, Kanton Solothurn. Ausgrabungen an der Hüslershofstrasse 1993, 1994 und 2002*. *Antiqua* 46 (Basel 2010) 122–129.

FURGER/DESCHLER-ERB 1992 – A.R. Furger, S. Deschler-Erb, Das Fundmaterial aus der Schichtenfolge beim Augster Theater. *Forsch. Augst* 15 (Augst 1992).

HEDINGER 1991– B. Hedinger, Münzen. In: I. Bauer, Üetli- berg, Uto-Kulm. *Ausgrabungen 1980–1989*, Ber. ZD Arch. Monogr. 9 (Zürich 1991) 194–204.

HEDINGER 1995 – B. Hedinger in: Ebnöther 1995, 62; 144f.; 184–194; 232–244.

HOCHULI-GYSEL u.a. 1986 – A. Hochuli-Gysel u.a., Chur in römischer Zeit I. *Ausgrabungen Areal Dosch. Antiqua* 12 (Basel 1986).

HOLLIGER/PFEIFER 1982 – Ch. Holliger, H.-R. Pfeifer, Lavez aus Vindonissa. *JbGPV* 1982, 11–64.

HORISBERGER 2004 – B. Horisberger, Der Gutshof in Buchs und die römische Besiedlung im Furttal. *Monogr. KA Zürich* 37 (Zürich/Egg 2004).

HORISBERGER u.a. 2006 – B. Horisberger, B. Hedinger, F. Hoek, R. Büsser, Römisches Landleben im Zürcher Oberland: Die Römer in Wetzikon (Frauenfeld 2006).

JACOMET 2000 – S. Jacomet, Ein römerzeitlicher, verkohlter Getreidevorrat aus dem 3. Jahrhundert n.Chr. von Augusta Raurica (Kaiseraugst AG; Grabung «Adler», 1990.05). *JbAK* 21, 2000, 225–230.

JACOMET/BROMBACHER 2009 – S. Jacomet, C. Brombacher, Geschichte der Flora in der Regio Basiliensis seit 7500 Jahren: Ergebnisse von Untersuchungen pflanzlicher Makroreste aus archäologischen Ausgrabungen. *Mitteilungen der Naturforschenden Gesellschaften beider Basel* 11, 2009, 27–206.

JACOMET/KREUZ 1999 – S. Jacomet, A. Kreuz, Archäobotanik (Stuttgart 1999).

KÄCH 2007 – D. Käch, Der Gutshof Strickhof/Mur in Zürich. *ZA* 21 (Zürich/Egg 2007).

KLEE/JACOMET 1999 – M. Klee, S. Jacomet, Ackerbau und Grünlandwirtschaft. Ergebnisse der archäobotanischen Untersuchungen. In: Rychener 1999/I, 464–472.

KOLLER 1990 – H. Koller, Ein Töpferofen aus augusteischer Zeit in Vindonissa. *JbGPV* 1990, 3–41.

KOLLER/DOSWALD 1996 – H. Koller, C. Doswald, *Aquae Helveticae – Baden*. Veröff. GPV 13 (Baden 1996).

KUNNERT 2001 – U. Kunnert, Urdorf-Heidenkeller und weitere römische Fundstellen in der Gemeinde Urdorf. *ZA* 5 (Zürich/Egg 2001).

LENGWILER u.a. 2003 – U. Lengwiler u.a., Dietikon – Stadtluft und Dorfgeist. Von den Anfängen bis zur Gegenwart (Zürich 2003).

LUGINBÜHL 2001 – Th. Luginbühl, Imitations de sigillée et potiers du Haut-Empire en Suisse occidentale. *Archéologie et histoire d'un phénomène artisanal antique* (Lausanne 2001).

MARTI 2000 – R. Marti, Zwischen Römerzeit und Mittelalter. Forschungen zur frühmittelalterlichen Siedlungsgeschichte der Nordwestschweiz (4.–10. Jahrhundert). *Archäologie und Museum* 41 (Liestal 2000).

MARTIN-KILCHER 1980 – S. Martin-Kilcher, Die Funde aus dem römischen Gutshof von Laufen Müschhag (Bern 1980).

MARTIN-KILCHER 1987 – S. Martin-Kilcher, Die römischen Amphoren aus Augst und Kaiseraugst 1. Die südspanischen Ölamphoren (Gruppe 1). *Forsch. Augst* 7/1 (Augst 1987).

MARTIN-KILCHER 1994 – S. Martin-Kilcher, Die römischen Amphoren aus Augst und Kaiseraugst 2. Die Amphoren für Wein, Fischsauce, Südfrüchte (Gruppen 2–24) und Gesamtauswertung. Forsch. Augst 7/2–3 (Augst 1994).

MEYER-FREULER 1998 – Chr. Meyer-Freuler, Vindonissa Feuerwehrmagazin. Die Untersuchungen im mittleren Bereich des Legionslagers. Veröff. GPV 15 (Brugg 1998).

OELMANN 1914 – F. Oelmann, Die Keramik des Kastells Niederbieber. Materialien zur röm.-germ. Keramik 1 (Frankfurt a. M. 1914, Nachdruck Bonn 1976).

PAULI-GABI u.a. 2002/I und II – Th. Pauli-Gabi, Chr. Ebnöther, P. Albertin, A. Zürcher, Beiträge zum römischen Oberwinterthur – Vitudurum 6. Ausgrabungen im Unteren Bühl: Die Baubefunde im Westquartier. Ein Beitrag zum kleinstädtischen Bauen und Leben im römischen Nordwesten. Monogr. KA Zürich 34/1–2 (Zürich/Egg 2002).

PETER 2001 – M. Peter, Untersuchungen zu den Fundmünzen aus Augst und Kaiseraugst. SFMA 17 (Berlin 2001).

POLAK 2000 – M. Polak, South Gaulish Terra Sigillata with Potters Stamps from Vechten (Nijmegen 2000).

RIHA 1990 – E. Riha, Der römische Schmuck aus Augst und Kaiseraugst. Forsch. Augst 10 (Augst 1990).

RÜTTI 1991 – B. Rütli, Die römischen Gläser aus Augst und Kaiseraugst. Forsch. Augst 13 (Augst 1991).

RÜTTI u.a. 1987 – B. Rütli u.a. Die Zirkusbecher der Schweiz. Eine Bestandesaufnahme. JbGPV 1987, 27–104.

RYCHENER 1999/I und II – J. Rychener, Der römische Gutshof in Neftenbach. Monogr. KA Zürich 31/1–2 (Zürich/Egg 1999).

SCHMUTZ 1999 – D. Schmutz, Die Münzen. In: Rychener 1999/I, 482–486.

SCHUCANY 1996 – C. Schucany, Aquae Helveticae: Zum Romanisierungsprozess am Beispiel des römischen Baden (Basel 1996).

SIEGFRIED-WEISS 1986 – A. Siegfried-Weiss, Lavezgefäße. In: Hochuli-Gysel u.a. 1986.

STANFIELD/SIMPSON 1990 – J.A. Stanfield, G. Simpson, Les potiers de la Gaule Centrale (Gonfaron 1990).

STRUCK 1993 – M. Struck, Kinderbestattungen in romano-britischen Siedlungen – der archäologische Befund. In: M. Struck (Hrsg.), Römerzeitliche Gräber als Quellen zu Religion, Bevölkerungsstruktur und Sozialgeschichte (Mainz 1993).

ULRICH-BOCHSLER 1997 – S. Ulrich-Bochsler, Anthropologische Befunde zur Stellung von Frau und Kind in Mittelalter und Neuzeit (Bern 1997).

WINDLER 1994 – R. Windler, Das Gräberfeld von Elgg und die Besiedlung der Nordwestschweiz im 5.–7. Jh. Ber.ZD. Arch. Monogr. 13 (Zürich/Egg 1994).

WINDLER 2002 – R. Windler, Keramik des 6. und 7. Jh. JbSGUF 85, 2002, 197–230.

6 Nachweise

Abbildungen

M. Bachmann KA Zürich: Abb. 13, 27, 28, 33, 36, 37, 39, 41, 44, 49, 58, 62, 63, 64, 67, 80, 89, 90, 93, 97, 98, 116, 117. L. Bertolaccini Münzkabinett Winterthur: Abb. 105–112. M. Bisaz KA Zürich: Abb. 70. M. Bisaz KA Zürich, nach Vorlage M. Dolder KA Zürich: Abb. 31, 46, 104. M. Bisaz KA Zürich, nach Vorlage B. Hintermüller KA Zürich: Abb. 55. M. Bisaz KA Zürich, nach Vorlage M. Moser KA Zürich: Abb. 1, 87, 113. M. Bisaz KA Zürich, nach Vorlage Rychener 1999, Abb. 297: Abb. 69. M. Bisaz KA Zürich, nach Vorlage M. Wiesendanger KA Zürich: Abb. 3, 9, 11, 21, 25, 42, 47, 52, 53, 65, 71, 72, 74, 75, 91, 95, 101. R. Gamper KA Zürich: Abb. 2, 6, 10, 16, 18, 19, 24, 26, 35, 48, 50, 54, 56, 57, 60, 61, 66, 68, 77, 88, 92, 99, 102, 103, 114, 115. R. Gamper KA Zürich, bearbeitet von M. Bisaz KA Zürich: Abb. 5, 12, 43, 59, 94. Ch. Hégelé KA Zürich: Abb. 23, 32, 34, 38, 40, 51, 73, 76, 78, 96. Ch. Hégelé KA Zürich, bearbeitet von M. Bisaz KA Zürich: Abb. 29, 30, 45. F. Jetzer KA Zürich: Abb. 7, 8, 14, 15, 17, 22. D. Käch KA Zürich: Abb. 79, 100. P. Nagy KA Zürich: Abb. 20. Hochbauamt Kanton Zürich, Foto K. Heid, Dietikon: Abb. 4.

Aus der Literatur

Abb. 81: Ebnöther 1995, Abb. 16 (Ausschnitt); Abb. 82: Ebnöther 1995, Abb. 108; Abb. 83: Ebnöther 1995, Abb. 218 (Ausschnitt); Abb. 84: Rychener 1999, Abb. 150; Abb. 85: Rychener 1999, Abb. 151; Abb. 86: Horisberger u.a. 2006, Abb. 5a.

Tafeln

Fundzeichnungen: M. Bisaz und D. Pelagatti KA Zürich, S. Heusser ehem. KA Zürich.
Fotos: M. Bachmann KA Zürich.

7 Fundkatalog

Bemerkungen zum Katalog

Die nicht abgebildeten Fundobjekte mit einer chronologischen oder funktionalen Bedeutung sind im Folgenden mit einem Stern (*) versehen.

Bei den Funden Kat. 44–76, insbesondere bei den Metallobjekten, ist die spätantike bzw. frühmittelalterliche Zeitstellung oftmals nicht gesichert. Diese Objekte erscheinen dann im Katalog, wenn sie aus nachweislich spätantiken/frühmittelalterlichen Kontexten stammen. Die sicheren früh- und mittelkaiserzeitlichen bzw. neuzeitlichen Funde aus diesen Kontexten wurden hingegen weggelassen. Bei den drei Grabungen Fischerweg 2–4, Vorstadtstrasse 44–52 und Neumattstrasse 11, 13, 15 haben wir alle Funde aus den obersten kaiserzeitlichen sowie allen spätantiken und frühmittelalterlichen Schichten und Befunden durchgesehen und die als spätantik/frühmittelalterlich angesehenen Objekte in den Katalog aufgenommen.

Die Funde auf den Tafeln sind in folgenden Massstäben gezeichnet worden: Keramik und Lavez M. 1:3; Metall und Kleinobjekte M. 2:3; Baukeramik/Steinmaterial M. 1:6.

Katalog der Funde aus der Holzbauperiode (Neumattstrasse 11, 13, 15)

- 1 RS Platte, wohl italisch, FK 395.
- 2 RS Haltern 7/Service I/Conspectus Form 14, FK 427.
 - * 1 WS Haltern 7/Service I/Conspectus Form 14, wohl zugehörig zu Kat. 2, FK 341.
- 3 RS Drag. 27, südgallisch, FK 354.
- 4 WS Drag. 24, südgallisch, FK 354.
- 5 WS Drag. 29, südgallisch, FK 399.
 - * WS Teller/Platte, verbrannt, innen mit Riefelkranz, FK 341.
 - * WS Teller, FK 341.
 - * WS Schälchen, FK 399.
- 6 RS Drack 18? Oranger Ton, oranger Überzug, teilweise abgerieben, FK 134.
- 7 2 RS Drack 19, grauer Ton, Reste von schwarzem Überzug, FK 134.
- 8 BS Schüssel (Drack 19?), grauer Ton, evtl. zu Kat. 7 gehörig? FK 134.
 - * WS Teller, grauer Ton, beidseitig schwarzer Überzug, innen im Zentrum zwei konzentrische Kreise, FK 134.
 - * 2 WS Teller, grauer Ton, schwarzer Überzug, innen Riefelkranz, FK 341.
 - * 2 WS Teller, oranger Ton, Oberseite Reste von orangem Überzug, FK 397.
 - * WS Teller, oranger Ton, oranger Überzug, FK 341.
 - * BS Schälchen, oranger Ton, oranger Überzug, FK 354.
 - * 3 WS Schüsseln, oranger Ton, aussen oranger Überzug, FK 354.
 - * WS unbestimmt, oranger Ton, Reste von orangem Überzug, FK 380.
 - * WS Drack 21, Riefelzone unterhalb Wandknick, oranger Ton, aussen oranger Überzug, FK 398.
- 9 RS Becher, hellbeiger Ton, Reste von gelbem Überzug? Wenige Reste von gelber(?) Glasur, FK 598.
 - * WS Tonne? Oranger Ton, orangefarbene und weisse Aufmalung, FK 341.
- 10 RS Teller mit mandelförmig verdicktem Rand, oranger Ton, beidseitig orangebrauner Überzug, aussen evtl. nur im Randbereich, FK 352.
- 11 RS Schüssel? Orangebrauner, z.T. braungrauer Ton (verbrannt), FK 384.
- 12 1 RS, 6 WS Honigtopf, helloranger Ton, auf der Wandung Ansatz des randnahen vertikalen Henkels, FK 134.
- 13 2 BS flachbodig (Honigtopf?), brauner Ton, im Kern grau, FK 397.
- 14 RS Krug mit gerilltem Kragenrand. Orangebrauner, oberflächlich brauner Ton, Kern braun, FK 399.
- 15 BS Krug, oranger, aussen orangebrauner Ton, FK 341.
- 16 BS Krug, innen grauer, aussen brauner Ton, FK 341.
- 17 BS Krug, oranger Ton, im Kern grau, FK 352.
- 18 BS Krug, orangefarbener, aussen orangebrauner Ton, FK 397.
- 19 2 BS, 1 RS, 4 WS Teller mit niedrigem Standing, brauner Ton, oberflächlich dunkelbraun-schwarz, FK 354/386.
 - * RS Teller, brauner, im Kern grauer Ton, verbrannt, zugehörig zu Kat. 19, FK 382.
- 20 RS Becher, grauer Ton, FK 341.
- 21 RS Schultertopf, grauer Ton, feine weisse Kalkmagerung, FK 134.
- 22 RS Schultertopf, grauer Ton, FK 399.
- 23 1 RS Topf, grauer, glimmerhaltiger Ton, raue Oberfläche, FK 427.
- 24 2 RS, 1 WS Topf, hellgrauer Ton, relativ hart gebrannt, Kammstrich, FK 399.
- 25 2 RS, 2 WS Topf, hellgrauer Ton, raue Oberfläche, Kammstrich, FK 399.

- 26 2 RS Topf, grauer Ton, relativ hart gebrannt, Kammstrich, FK 399.
- 27 1 RS Topf, braungrauer Ton, raue Oberfläche, Kammstrich, FK 360.
- 28 2 BS Tonne, grauer, innen braungrauer Ton, FK 399.
- 29 1 RS/BS Teller, braungrauer und grauschwarzer Ton, grob gemagert, FK 361. Randbildung wie Schucany 1996, Taf. 8,48 (HP I, 1: 15/20–30 n.Chr.), dort jedoch grautonig und nicht grobkeramisch. Vgl. auch den grautonigen grobkeramischen Kochnapf aus Baden, Schucany 1996, Taf. 59,1386 (SP I,4: 2. Jh.), aber auch Meyer-Freuler 1989, Taf. 6,102 (früheste Schichten: augusteisch–tiberisch, mit weiteren Belegen).
- 30 RS Schüssel, grauer Ton, oberflächlich braunschwarz, grob gemagert, Oberfläche innen abplatzend, FK 399.
- 31 1 RS, 2 WS Teller/Schüssel, braunschwarzer Ton, grob gemagert, FK 397.
- 32 RS Teller/Schüssel, grauschwarzer, teilweise braungrauer Ton, grob gemagert, FK 352.
- 33 2 RS, 2 WS Topf mit Kammgrübchen, braungrauer, im Kern brauner Ton, relativ kompakt, FK 341.
- 34 1 RS Topf, braungrauer Ton, einzelne grössere Magerungspartikel, FK 380.
- 35 Henkel Fischaucenamphore, 2 Fragm. grünlich gelber Ton, Kern gelb, wohl Tongruppe 60 nach Martin-Kilcher 1994, Farbtafel C, S. 623, FK 362/437.
 - * WS Dressel 20, sandiger, beiger Ton, leicht glimmerhaltig, FK 362.
 - * WS Amphore, helloranger, aussen oberflächlich gelblicher Ton, vereinzelt grosse rote Magerungspartikel, FK 134.
 - * 2 WS Amphore, gelber Ton, rote Magerungspartikel, FK 530.
- 36 Hülsenspiralfibel, Bronze, FK 342.
- 37 Unterer Teil von Distelfibel, Bronze, FK 438.
 - * Bronzeblechstreifen, FK 352.
- 38 Eiserne Spiralfibel mit oberer Sehne, wohl Riha Typ 2.2 (Taf. 6,190: Bronze!), FK 353.
- 39 Teil von eisernem Fibelbogen (?), FK 395.
- 40 Kleines Eisenmesser mit Griffdorn, FK 399.
 - * 1 Messerschneide (?) oder Blechstreifen, 2 Teile von Scharnier, Eisen, FK 427.
 - * Blechstreifen, Eisen, FK 352.
 - * 1 Blechstreifen, Eisen, FK 397.
- 41 Eisenring/Zwinge, Eisen, FK 395.
 - * 1 Nagel, Eisen, FK 134.
 - * 4 Nägel, Eisen, FK 341.
 - * 2 Nägel, Eisen, FK 354.
 - * 1 Nagel, Eisen, FK 360.
 - * 1 Nagel, Eisen, FK 382.
 - * 2 Nagelstifte, Eisen, FK 383.
 - * 1 Nagel, Eisen, FK 386.
 - * 1 Nagel, Eisen, FK 397.
 - * 4 Nägel und Nagelstifte, Eisen, FK 427.
 - * 1 Nagel, Eisen, FK 596.
 - * 1 Objekt, Eisen, FK 341.
 - * 1 Objekt, Eisen, FK 427.
 - * 2 Objekte, Eisen, FK 435.
- 42 Ziegelstück (Suspensurplatte?), Ecke, Unterseite und Wandung begrüsst, Brandspuren, FK 341.
- 43 Ca. 1/3 eines Mühlsteins (Läufer) aus Muschelsandstein, FK 360.
 - * Kleines Stück eines Mühlsteins (Muschelsandstein), FK 352.

Katalog der Funde aus dem 4.–7. Jh.

- Fischerweg 2–4. Verfüllung Grubenhaus Pos. 54
- 44 Lavezbecher, aus mehreren Fragm. zusammengeklebt, hinzu kommen 7 zugehörige kleine Fragm., aussen feine Profilierung, FK 59.
 - 45 Dreiviertel eines kugligen Webgewichts mit Teil eines V-förmigen Stempels, brauner Ton, weich gebrannt, FK 59.
 - 46 Hälfte einer Tonscheibe, im Zentrum Ansatz von quadratischem Loch, auf einer Flachseite konzentrische und radiale Ritzungen, orangebrauner, z.T. grauer Ton (verbrannt), weich gebrannt, aussen Rille für eine Schnur, FK 59.
 - * 1 Nagelkopf, FK 59.
 - * 1 Messerspitze, FK 59.
 - * 1 Silex (Trümmerstück mit Schlagspuren), braun, FK 59.
 - * 12 Knochenfragm., mehrheitlich zu einem Schulterblatt gehörig (108,8 Gramm), FK 59.
 - * 1 Ziegelfragm., rosafarbener Ton, neuzeitlich? FK 59.
 - * 3 Steinplatten mit Brandspuren, FK 59.
 - * 2 Tuffstücke allseitig gebrochen, FK 59.

Fischerweg 2–4. Pfostengrube Pos. 44

- * 1 WS handgemachte Keramik? Ton aussen beige, innen grau, Sandmagerung, FK 55.
- * 1 kleines Stück verbrannter Hüttenlehm, braun, FK 55.

Fischerweg 2–4. Verfüllung Mulde Pos. 23

- 47** 1 WS Laveztopf, aussen mit Profilierung (Kanneluren), FK 23.
- * 1 Nagelschaft, FK 23.
- * 1 Eisenobjekt, FK 23.

Fischerweg 2–4. Gelber Sand Pos. 9

- * 2 WS anpassend, rauwandige Drehscheibenware, graubeiger Ton, innen schwarz, relativ grobe Magerung, FK 19.
- * 1 Bronzeblech gerollt, FK 19.
- * 5 Nägel und Nagelschäfte, FK 19.

Fischerweg 2–4. Pos. 7/42 (Pos. 7: Schwemmsediment, Pos. 42: untere Füllung von Mulde Pos. 12)

- * 1 WS rauwandige Drehscheibenware, graubeiger Ton, innen schwarz, relativ grobe Magerung, FK 50.
- * 1 Messerspitze, FK 50.
- * 2 Nagelschäfte, FK 50.

Fischerweg 2–4. Pos. 15 (Baumstandort?)

- 48** Geklebte Teile eines runden Webgewichts, brauner Ton, aussen Brandspuren, weich gebrannt, FK 10.

Fischerweg 2–4. Nachrömischer Humus Pos. 10

- * 1 Stück einer Messerklinge? FK 20.
- * 3 WS Webgewicht, beigebrauner, im Kern grauer Ton, FK 20.

Fischerweg 2–4. Streufund

- 49** 1 RS TS-Schüssel Formengruppe Pfyn 14, Variante d (Brem u.a. 2008, 190f.), FK 64.

Vorstadtstrasse 44–52. Füllung im Grubenhaus Pos. 97 und Gräbchen Pos. 82

- 50** 1 RS Schüssel, braunschwarzer Ton, sandige Drehscheibenware, hart gebrannt, Pos. 97, FK 95.
- 51** 1 RS Topf mit Leistenrand, scheibengedreht, oranger Ton, feinsandige, glimmerhaltige Magerung, hart gebrannt, aussen am Rand Brandspuren vom Kochen, Pos. 97, FK 95.
- 52** 1 RS Topf? braunschwarzer Ton, Pos. 97, FK 95.
- * 1 WS gelbgrün, sehr hart gebrannt, dunkle Magerungspartikel, Pos. 97, FK 95.
- 53** Fragment eines Messers, Eisen, Pos. 97, FK 95.
- 54** Fragment eines Messers, Eisen, Pos. 97, FK 95.
- * 1 Eisenblech, Pos. 82, FK 78.
- 55** 1 Bleiobjekt mit Haken, Gewicht 31,2 g, Pos. 97, FK 95.
- * 2 Stücke verbrannter Hüttenlehm, beige, Pos. 82, FK 78.

Vorstadtstrasse 44–52. Pfostenloch Pos. 85

- 56** 1 RS Topf, grauschwarzer Ton, FK 80.
- 57** 4 WS von kugeligem Webgewicht mit Ansatz von zentralem Loch? Abgeplatze Oberfläche (5–15 mm dick), der wohl schwächer gebrannte Kern ist nicht erhalten, aussen eingestochenes «Gabelmuster», beiger Ton, weich gebrannt, FK 80.
- * 6 Teile von kugeligem Webgewicht, z.T. anpassend, beiger, im Kern grauer Ton, FK 80.
- * 13 Fragm. verbrannter Hüttenlehm, teilweise mit Rutenabdrücken, teilweise mit flacher Vorderseite, beiger und grauer Ton, verbrannt, FK 80.
- * 6 Fragm. verbrannter Tuff, FK 80.

Vorstadtstrasse 44–52. Andere Pfostengruben

- * 1 WS Keramik? Grauer Ton mit Kalkmagerung, Pos. 105 (Pfosten-grube), FK 98.
- * diverse kleine Stücke gebrannter Kalk, leicht zerbrechliche Stücken, von zerstörtem Kalkestrich? Pos. 94 (Pfostenloch), FK 91.

Vorstadtstrasse 44–52. Mischschicht mit NZ-Funden (Pos. 2)

- * 1 WS TS-Schüssel Chenet 320 mit Eierstabdekor (Typengruppe Pfyn 11, Muster 1, vgl. Brem u.a. 2008, Bd. 1, 185–189), FK 75.
- 58** 1 RS Schüssel? Grauer Ton, FK 75.
- * 1 WS grautone Drehscheibenware, Ton aussen grauschwarz, innen braun, sandig, FK 75.
- * 1 Stück Keramik, römisch oder FMA, FK 67.

59 2 Teile von Dreilagenkamm mit Sägespuren, Geweih, FK 67.

- * 1 Stück verbrannter Hüttenlehm, FK 67.

Neumattstrasse 11, 13, 15. Strukturen zum Pfostenbau des 4. Jh. (?)

- 60** 1 RS grobkeramische Schüssel mit leicht verdicktem Rand, braunschwarzer, aussen teilweise brauner Ton, grobkörnige Magerung, hart gebrannt, handgeformt, innen verkrustete Speisereste? Pos. 41 (Pfostengrube), FK 98.
- 61** 1 RS grobkeramische Schüssel, brauner Ton, grobe Magerung, Pos. 108 (Pfostenstellung), FK 182.
- * 2 WS Grobkeramik, brauner, im Kern braunschwarzer Ton, hart gebrannt, hoher Glimmeranteil, Pos. 109 (Pfostenstellung), FK 159.
- 62** 1 RS Lavezdeckel, Pos. 108 (Pfostenstellung), FK 182.

Neumattstrasse 11, 13, 15. Restliche Strukturen

- 63** 1 Henkelansatz in Dreieckform, rötlich beiger, im Kern dunkelgrauer Ton, wenig sandige Magerung, mittelhart gebrannt, halbrunder Henkelquerschnitt mit Mittelrille, Pos. 378 (Pfostenstellung, die in Mauer Bau P eingreift), FK 496.
- 64** 1 RS Topf, orangebrauner Ton, sandige Magerung mit grösseren roten Magerungspartikeln, mittelhart gebrannt, Randbereich durch Benutzung geschwärzt, Pos. 378 (Pfostenstellung, die in Mauer Bau P eingreift), FK 496.
- 65** 5 BS, ca. 100 WS grösseres geschlossenes Gefäss (Tonne?), grauer feiner Ton, aussen graubraun, relativ weich, mehlig, aussen seifig, aussen mindestens ein leicht schräg geführter Glättstrich, auf der Schulter ein feine horizontale Leiste, Pos. 238 (Grube aussen an Gebäudemauer), FK 311.

Neumattstrasse 11, 13, 15. Schichten Pos. 15, 1, 2, 198 und Streufunde

- 66** 1 WS Teller Chenet 307, Rheinzabern? Aussens Ratterblechband, Pos. 198 (Mischschicht), FK 669.
- 67** 1 WS Schüssel Chenet 325, Rheinzabern? Aussens Ranken und Blattdekor, Pos. 0 (Streufunde), FK 32.
- 68** 1 RS Topf mit markantem Deckelaufleger (Honigtopf?), helloranger Ton, Pos. 2/15 (Mischschicht /verstürzte Steine der Hofmauer), FK 273.
- 69** 1 RS Teller Grobkeramik, Pos. 198 (Mischschicht), FK 668.
- 70** 1 RS Topf, grauschwarzer, innen graubrauner Ton, körnig-sandige Drehscheibenware, hart gebrannt, Pos. 2 (Mischschicht), FK 274.
- 71** 2 RS, 1 WS Topf, graubrauner, grob gemagerter Ton (Sandmagerung), Pos. 198 (Mischschicht), FK. 669.
- 72** 1 RS Deckel mit unregelmässigen Ritzungen auf einer Seite, orangebrauner Ton, eine Seite vom Gebrauch geschwärzt, Pos. 0 (Streufunde), FK 32.
- 73** Ca. ½ einer bikonisch-spindelförmigen Glasperle, blaues, leicht durchscheinendes Glas, Pos. 15 (verstürzte Steine der Hofmauer), FK 51.
- 74** 1 RS Lavezteller, aussen mit horizontalen Kanneluren, Dm.?, Pos. 2 (Mischschicht), FK 3.
- 75** 1 RS Laveztopf, innen verkohlte Speisereste, aussen horizontale, nicht immer gleich breite feine Rillen («Kanneluren»), Dm.?, Pos. 15 (verstürzte Steine der Hofmauer), FK 51.
- 76** Bronzenadel mit Polyederkopf, auf dem Schaft gegen den Kopf hin spiralförmige Rille, dazwischen dreieckige Punzabdrücke, L. 13,5 cm, Pos. 198 (Mischschicht), FK 655.

Münzkatalog

Bemerkungen zum Münzkatalog

Für einen Teil dieser Fundmünzen existierten bereits Vorbestimmungen von U. Werz, die ergänzt wurden.

Der Katalog enthält folgende Angaben:

- Prägeherr, Münzstätte, Nominal, Datierung
- Beschreibung Vs./Rs.; Münzstätten bzw. Offizinszeichen
- Referenzzitat(e)
- Katalognummer; Metall (auch «intendiertes» – in Klammern jeweils das tatsächliche Metall); Gewicht; kleinsten/grössten Durchmesser; Stempelstellung in ° (auf Kreis von 360° übertragen); Abnutzungs- und Korrosionsgrad (Erhaltung A und K, nach den Richtlinien des Inventars der Fundmünzen der Schweiz, siehe Bulletin IFS 2 Suppl., 1995, 10f.; 18f.)
- Bemerkungen
- Fundnummer; Angaben zur Auffindung
- Funddatum; Laufnummer der Fundmünzenbearbeitungsstelle des Kantons Zürich am Münzkabinett Winterthur, bzw. Inventarnummer; Code des Schweizer Fundmünzinventars (SFI-Code, vgl. IFS 1 [Lausanne 1993] 20f.).

Umgebung Gebäude M – Neumattstrasse 12–16/Fischerweg 2–6 (SFI 243-14)

M1 Tiberius für Divus Augustus

Roma, As, 22/23 n.Chr.
Vs. [---]AVGVST[---]; Kopf mit Strahlenkrone n.l.
Rs. S = C; //PROVIDENT; Altarumfriedung. Typ: Providentia-As.
RIC I², S. 99, Nr. 81.
AE; 7,779 g; 25,5/27,8 mm; 210°. A 3/2 K 2/2.
Bemerkung: leicht dezentriert, Rand ausgebrochen.
FK 8; 2. und 3. Reinigung nach Baggerabtrag; Ereignisnummer: 2002.074.
Funddatum 21.01.2003; FmZH, LNr. 4582; SFI 243-0014.

M2 Tiberius für Divus Augustus

Roma, As, 22/23 n.Chr.
Vs. [---]VS [AV]GVST[VS][---]; Kopf mit Strahlenkrone n.l.
Rs. S = C; //O[VI]DE[---]; Altarumfriedung. Typ: Providentia-As.
RIC I², S. 99, Nr. 81.
AE; 7,887 g; 26,2/28,1 mm; 295°. A 3/4 K 3/3.
Bemerkung: ausgebrochen, quadratische Form, deutliche Feilspuren, knapper Schrötling.
ca. m 540.50/112.50.
FK 25; Feld 7, Pos. 9 (OK) Aushub Leitungsgraben; Ereignisnummer: 2002.074.
Funddatum 22.02.2003; FmZH, LNr. 4585; SFI 243-0014.

M3 Tiberius für Divus Augustus

Roma, As, 22/23 n.Chr.
Vs. [---]V[---]; Kopf mit Strahlenkrone n.r.
Rs. S = C; //O[VI]DE[---]; Altarumfriedung. Typ: Providentia-As.
RIC I², S. 99, Nr. 80.
AE; 8,009 g; 26,1/27,6 mm; 180°. A 2/3 K 4/3.
Bemerkung: knapper Schrötling.
H 388.50; m 534.05/117.65
FK 47; Feld 11, Pos. 10/53 (va.); Ereignisnummer: 2002.074.
Funddatum 31.03.2003; FmZH, LNr. 4593; SFI 243-0014.

M4 Traianus

Roma, As, 103–111 n.Chr.
Vs. IMP C[---]S; drapierte, kürassierte Büste mit Lorbeerkranz n.r.
Rs. [---]; stehende weibliche Gestalt n.l. mit Ruder.
RIC II, S. 280, Nr. 500.
AE; 8,469 g; 26,5/27,3 mm; 195°. A 3/3 K 3/3.
Bemerkung: Vs. dezentriert, Einhiebe auf Vs.
H 388.24; m 539.56/114.94.
FK 43; Feld 11, Pos. 32 (bei Betonfundament, bei Mauer Pos.46/47);
Ereignisnummer: 2002.074.
Funddatum 28.03.2003; FmZH, LNr. 4589; SFI 243-0014.

M5 Severus Alexander

Roma, Dupondius, 222 n.Chr.
Vs. IMP CAES M AVR SEV ALEXANDER AVG; kürassierte, drapierte Büste mit Lorbeerkranz n.r.
Rs. [---]R P II COS PP //SC; sitzende weibliche Gestalt n.l. mit erhobener Hand.
RIC IV,2, S. 103, Nr. 395.
AE; 11,158 g; 25,7/26,4 mm; 330°. A 1/1 K 1/2.
Bemerkung: Rs. leicht dezentriert.
m 533.32/116.00.
FK 45; Feld 11, Pos. 10, Ereignisnummer: 2002.074.
Funddatum 31.03.2003; FmZH, LNr. 4591; SFI 243-0014.

M6 Gallienus (Alleinherrschaft)

Prägestätte unbestimmt, Antoninian, 260–268 n.Chr.
Vs. [---]GALLIENVS [---]; Büste mit Strahlenkrone n.r.
Rs. [---]IIIC[---]; stehende Gestalt mit Standarte in r. Hand?
RIC –.
AE; 2,096 g; 18,0/19,6 mm; 0°. A 2/1 K 3/3.
Bemerkung: ausgebrochen, flauere Prägung.
H 388.58; m 532.62/116.02.
FK 44; Feld 11, Pos. 10; Ereignisnummer: 2002.074.
Funddatum 31.03.2003; FmZH, LNr. 4590; SFI 243-0014.

M7 Gallienus (Alleinherrschaft)

Prägestätte unbestimmt, Antoninian, 260–268 n.Chr.
Vs. [---] GALLIENVS [---]; Büste des Gallienus mit Strahlenkrone n.r.

Rs. [---]; stehende Gestalt mit Standarte in r. Hand?

RIC –.
AR; 2,823 g; 17,4/18,8 mm; 0°. A 2/0 K 2/3.
Bemerkung: knapper Schrötling, leicht dezentriert.
H 388.57; m 533.45/116.45.
FK 46; Feld 11, Pos. 10; Ereignisnummer: 2002.074.
Funddatum 31.03.2003; FmZH, LNr. 4592; SFI 243-0014.

M8 Postumus

Lugdunum, Antoninian, 260–261 n.Chr.
Vs. IMP[---]S [PF]AVG; kürassierte Büste mit Strahlenkrone n.r.
Rs. [---]C[---]S[-]; stehende männliche Gestalt (Herkules) sich auf Keule stützend n.r.
RIC V,2, S. 342, Nr. 64; Schulzki 1996, S. 52, Nr. 25.
AE; 1,558 g; 18,5/22,0 mm; 30°. A 1/2 K 2/2.
Bemerkung: ausgebrochen, ovaler Schrötling, unregelmässig ausgeprägt.
H 388.60; m 523.95/112.90.
FK 17; Feld 4, Pos. OK 9; Ereignisnummer: 2002.074.
Funddatum 07.02.2003; FmZH, LNr. 4583; SFI 243-0014.

M9 Tacitus

Roma, Antoninian, 275–276 n.Chr.
Vs. IMP C M CL T[AC][T]VS AVG; kürassierte Büste mit Strahlenkrone n.r.
Rs. [---]//[TS?]; sitzende Gestalt n.l.?
RIC –.
AE; 2,748 g; 21,8/23,8 mm; 300°. A 1/1 K 2/2.
Bemerkung: leicht ovaler Schrötling.
H 388.18; m 532.0/112.5.
FK 27; Feld 5, Pos. 32; Ereignisnummer: 2002.074.
Funddatum 26.02.2003; FmZH, LNr. 4587; SFI 243-0014.

M10 Prägeherr unbestimmt

Prägestätte unbestimmt, Antoninian, 2. Hälfte (?) 3. Jh. n.Chr.
Vs. [---]; -.
Rs. [---]; -.
RIC –.
AE; 3,150 g; 0,0 mm; 0°. A 0/0 K 4/4.
Bemerkung: drei unbestimmbare Fragmente.
FK 42; Ereignisnummer: 2002.074.
Funddatum 19.03.2003; FmZH, LNr. 4588; SFI 243-0014.

M11 Rechenpfennig, anonyme Serie

Nürnberg, keine Münze, 1500–1585.
Vs. [---]; drei Kronen alternierend mit drei Lilien, über Krone jeweils drei Ringe.
Rs. [---]; Reichsapfel in doppeltem Dreipass mit Zipfeln eingeschrieben, Zipfel jeweils von Ringen flankiert. Typ: sogenannter Rose-Orb-Typ.
Mitchiner I, S. 383–385, Nr. 1248–1284 vgl.
AE; 0,872 g; 18,5/23,3 mm; 0°. A 2/2 K 2/2.
Bemerkung: verbogen, ausgebrochen, Rand teilweise beschädigt.
FK 18; Feld 3 Südhälfte, Pos. 9/10, Reinigung nach Baggerabtrag; Ereignisnummer: 2002.074.
Funddatum 29.01.2003; FmZH, LNr. 4584; SFI 243-0014.

M12 Rechenpfennig, Werkstatt Johann Albrecht Dorn

Nürnberg, keine Münze, 1768–1783.
Vs. LVD XV SG FR EI REX; Büste n.r.
Rs. DVRCH GLVK V KVNST; Schiff (i.A.) RE IAD. Typ: -.
Mitchiner I, S. 536, Nr. 1915–1917.
AE; 0,664 g; 18,1/18,5 mm; 195°. A 2/4 K 1/1.
Bemerkung: unregelmässig ausgeprägt, leicht dezentriert.
H 388.77; m 522.40/116.05.
FK 26; Feld 8, Pos. 10; Ereignisnummer: 2002.074.
Funddatum 28.02.2003; FmZH, LNr. 4586; SFI 243-0014.

Umgebung Gebäude N – Vorstadtstrasse 44–52 (SFI 243-12)

M13 Marcus Aurelius für Lucius Verus?

Roma, Dupondius oder As?, 163–164 n.Chr.?
Vs. [---]; Büste mit (Lorbeer-?) Kranz n.r.
Rs. [---]; Gestalt auf Podium?
RIC III, S. 322, Nr. 1373 Typ?
AE; 6,336 g; 15,3/23,7 mm; 90°. A 4/4 K 1/1.
Bemerkung: halbiert, Feilspuren auf Vs.

FK 95; Feld 10, Pos. 97 (frühmittelalterliches Grubenhaus); Ereignisnummer: 2003.029.
Funddatum 23.03.2004; FmZH, LNr. 4621; SFI 243-0012.1.

M14 Bundesrepublik Deutschland
Hamburg, 1 Pfennig, 1950.
Vs. BUNDESREPUBLIK DEUTSCHLAND; Eichenblatt; // 1950.
Rs. 1 PFENNIG; zwei stilisierte Ähren.
Krause-Mishler I, 1992, S. 1229, Nr. 105; Schön 2000, S. 425, Nr. 103.
CU; 2.000 g; 16,6 mm; 360°. A 1/1 K 1/1.
Bemerkung: –.
FK 51; Feld 1–14, Pos. 0, Streufund; Ereignisnummer: 2003.029.
Funddatum 17.02.2004; FmZH, LNr. 4620; SFI 243-0012.2.

Gebäude F, Gebäude O, Umgebung Gebäude F, Umgebung Gebäude F/O – Neumattstrasse 15 (SFI 243-13)

Gebäude F

M15 Caius
Roma, Quadrans, 39 n.Chr.
Vs. [-]CAESAR D[IV]I AVG PRON AVG SC; Freiheitshut.
Rs. PON M TR P III PP COS [---] III; RRC.
RIC I², S. 111, Nr. 39.
AE; 1,696 g; 16,6/17,8 mm; 300°. A 3/3 K 2/2.
Bemerkung: Rand stark ausgebrochen, gelocht.
H 387.92; m 499.60/90.65.
FK 26; Feld 1, Pos. 19; Ereignisnummer: 2004.010.
Funddatum 19.07.2004; FmZH, LNr. 4625; SFI 243-0013.

M16 Gallienus (Alleinherrschaft)
Roma, Antoninian, 260–268 n.Chr.
Vs. [---] GALLIENVS [---]; kürassierte Büste des Gallienus mit Strahlenkrone n.r.
Rs. D[---]AE COS AVG //Γ; Antilope n.l.
RIC V,1, S. 146, Nr. 180K Typ.
AR; 1,823 g; 17,8/20,1 mm; 300°. A 3/2 K 2/2.
Bemerkung: Rand stark ausgebrochen, gelocht? Leichte Brandspuren?
m 499.00/90.60.
FK 7; Feld 1, Pos. 3; Ereignisnummer: 2004.010.
Funddatum 05.07.2004; FmZH, LNr. 4622; SFI 243-0013.

M17 Gallienus (Alleinherrschaft)
Prägestätte unbestimmt, Antoninian, 260–268 n.Chr.
Vs. [---] AVG; Büste des Gallienus mit Strahlenkrone n.r.
Rs. [---]; stehende Gestalt n.l.?
RIC –.
AR; 1,024 g; 15,3/19,1 mm; 180°. A 3/3 K 2/2.
Bemerkung: Rand stark ausgebrochen, verbogen, Riss, verbrannt?
m 499.00–500.00/91–22.
FK 12; Feld 1, Pos. 11 oder 3; Ereignisnummer: 2004.010.
Funddatum 07.07.2004; FmZH, LNr. 4624; SFI 243-0013.

M18 Aurelianus
Mediolanum, Antoninian, 270–275 n.Chr.
Vs. IMP AVRELIANVS AVG; kürassierte, drapierte Büste mit Strahlenkrone n.l.
Rs. [F]IDES [-]ILIT //S; Fides stehend, hält zwei Standarten.
RIC V,1, S. 279, Nr. 124 (aber mit Büste C).
AR; 2,207 g; 18,2/19,3 mm; 360°. A 1/1 K 1/1.
Bemerkung: Rand leicht ausgebrochen, leichte Brandspuren?
m 499.00/90.60.
FK 8; Feld 1, Pos. 3; Ereignisnummer: 2004.010.
Funddatum 05.07.2004; FmZH, LNr. 4623; SFI 243-0013.

Umgebung F

M19 Augustus für Augustus und Agrippa
Nemausus, As, 12–8 v.Chr.
Vs. IMP / DIVI F; Köpfe von Augustus und Agrippa.
Rs. COL NEM; Krokodil an Palme gekettet. Typ: Nemaus-As I. Serie.
RIC I², S. 51, Nr. 155.
AE; 10,897 g; 25,1/26,4 mm; 240°. A 2/2 K 1/1.
Bemerkung: –.
H 387.55; m 502.30/84.60.

FK 67; Feld 2, Pos. 45 (bei Fundamentabsatz Mauer 7); Ereignisnummer: 2004.010.
Funddatum 20.08.2004; FmZH, LNr. 4627; SFI 243-0013.

Umgebung Gebäude F/O

M20 Nero?
Roma?, As, 64–68 n.Chr.
Vs. [---]; Kopf mit Lorbeerkrone n.r.
Rs. [---]; stehende, weibliche (?) Gestalt n.r.
RIC –.
AE; 4,985 g; 24,0/26,1 mm; 180°. A 3/3 K 3/3.
Bemerkung: Rand stark ausgebrochen, gelocht, oval, zwei Einhiebe auf Rs.
H 388.23; m 499.20/79.70.
FK 41; Feld 3, Pos. 2 (2. Abstich); Ereignisnummer: 2004.010.
Funddatum 28.07.2004; FmZH, LNr. 4626; SFI 243-0013.

M21 Severus Alexander
Roma, Denar, 227 n.Chr.
Vs. IMP [C] M AVR SEV – ALEXAND AVG; kürassierte Büste mit Lorbeerkrone n.r.
Rs. [P]M [T]R[P] VI – COS II PP; Mars mit geschultertem Tropaion n.r.
RIC IV,1, S. 75, Nr. 61.
AR; 1,738 g; 17,6/18,6 mm; 30°. A 1/1 K 1/1.
Bemerkung: leicht dezentriert, knapper Schrötling, verbrannt.
H 388.03; m 491.34/80.60.
FK 143; Feld 9, Pos. 102; Ereignisnummer: 2004.010.
Funddatum 30.09.2004; FmZH, LNr. 4628; SFI 243-0013.

Vorplatz Gebäude O, Gebäude O, Umgebung Gebäude O, Gebäude P – Bezirksgebäude oder Neumattstrasse 11, 13, 15 (SFI 243-13)

Vorplatz Gebäude O

M22 Rom, Republik?, unbestimmter Prägeherr
Prägestätte unbestimmt, As?, 2.–1. Jh. v.Chr.
Vs. [---]; –.
Rs. [---]; –.
RRC –.
AE; 11,380 g; 18,5/28,3 mm; 0°. A 5/5 K 3/3.
Bemerkung: halbiert; Gusszapfen? Metall verbrannt?
H 387.84; m 491.60/60.64.
FK 728; Feld 39, Pos. 640; Ereignisnummer: 2004.010.
Funddatum 10.04.2006; FmZH, LNr. 5141; SFI 243-0013.8.

M23 (Claudius)
(Roma), As, (41–50/54 n.Chr.)
Vs. [---]CA – AR AVG P[---]; Kopf n.l.
Rs. S = [C?]; stehende Gestalt n.l. mit Schild in l. Arm und Speer in erhobener r. Hand; Typ: Minerva-As.
RIC I², S. 128, Nr. 100 oder S. 130, Nr. 116.
AE; 7,559 g; 25,9/26,5 mm; 360°. A 2/2 K 1/1.
Bemerkung: Imitation; stark dezentrierte Rs., gelocht. Die Münze gehört zu einer Kette; Kettenglieder und Öse vorhanden.
FK 735; Feld 39/40, Pos. 618; Ereignisnummer: 2004.010.
Funddatum 10.04.2006; FmZH, LNr. 5149; SFI 243-0013.1.

M24 (Claudius)
(Roma), (As), (41–50/54 n.Chr.)
Vs. [---]; Kopf n.r.?
Rs. [---]; stehende Gestalt n.r. mit Schild?
Typ: Minerva-As?
RIC I², S. 128, Nr. 100 oder S. 130, Nr. 116.
AE; 3,142 g; 19,2/20,1 mm; 345°. A 4/4 K 4/4.
Bemerkung: Imitation, Rand stark ausgebrochen, Schrötling sehr klein.
m 488.80/63.80.
FK 726; Feld 39, Pos. 635; Ereignisnummer: 2004.010.
Funddatum 06.04.2006; FmZH, LNr. 5148; SFI 243-0013.01.

Gebäude O

M25 Claudius
Roma, As, 41–54 n.Chr.

Vs. [---]VS[---]; Kopf mit Lorbeerkranz n.l.
Rs. [---]; -.
RIC -.
AE; 7,522 g; 25,0/28,1 mm; ?°. A 3/5 K 3/3.
Bemerkung: Brandspuren auf Rs., Rand ausgebrochen.
H 388.54; m 494.40/62.53.
FK 270; Feld, Pos. 198, Profil aus Mischschicht Pos. 198; Ereignisnummer: 2004.010.
Funddatum 17.10.2005; FmZH, LNr. 5135; SFI 243-0013.2.

M26 Vespasianus

Lugdunum, Dupondius, 71 n.Chr.
Vs. [IMP] CAESA[RI] VES[PASIAN] AVG COS [III]; Kopf mit Strahlenkronen n.r.
Rs. [---]EDVCI; S = C; stehende weibliche Gestalt von vorn, Kopf n.l. mit Cornucopia in l. Arm, hält mit r. Hand Ruder.
RIC II, S.72, Nr. 473 vgl. (dieses Stück hier aber mit Globus im Nacken); RIC II², S. 142, Nr. 1141.
AE; 9,575 g; 26,1/27,4 mm; 180°. A 2/2 K 3/2.
Bemerkung: Rand stark ausgebrochen; unregelmässiger Schrötling.
H 387.51; m 501.14/65.42.
FK 390; Feld 18, Pos. 321.1; Ereignisnummer: 2004.010.
Funddatum 17.11.2005; FmZH, LNr. 5143; SFI 243-0013.01.

M27 Hadrianus

Roma, Sesterz, 117–138 n.Chr.
Vs. [---]ADR[---]; Kopf n.r.
Rs. [---]; thronende weibliche Gestalt n.l. und vor ihr Altar?
RIC -.
AE; 20,831 g; 31,9/32,7 mm; 195°. A 2/4 K 3/3.
Bemerkung: quadratisch-rund, verbrannt, Risse im Schrötling.
H 387.85; m 496.70/66.15.
FK 290; Feld 18, Pos. 204; Ereignisnummer: 2004.010.
Funddatum 28.10.2005; FmZH, LNr. 5137; SFI 243-0013.4.

M28 Antoninus Pius

Roma, Sesterz, 138–161 n.Chr.
Vs. [---]TR[---]; Büste mit Lorbeerkranz n.r.
Rs. [---]; stehende weibliche Gestalt mit Speer(?) in erhobener l. Hand.
RIC -.
AE; 14,356 g; 28,8/29,5 mm; 180°. A 3/3 K 4/4.
Bemerkung: Vs. dezentriert, verbrannt.
m 501.20/65.80.
FK 282; Feld 18, Pos. 199; Ereignisnummer: 2004.010.
Funddatum 24.10.2005; FmZH, LNr. 5136; SFI 243-0013.3.

M29 Marcus Aurelius für Faustina II.

Roma, Sesterz, 161–176 n.Chr.
Vs. FAVSTINA AVGVSTA; drapierte Büste n.r.
Rs. FECVND AVGVSTAE S = C; stehende weibliche Gestalt n.l. mit erhobener r. und Kind(?) auf l. Hand, flankiert von kleinen Gestalten.
RIC III, S. 345, Nr. 1635.
AE; 24,059 g; 34,9/37,3 mm; 45°. A 1/2 K 2/3.
Bemerkung: leichte Brandspuren? Schrötling am Rand eingerissen.
m 496.30/58.05.
FK 300; Feld 20, Pos. 230; Ereignisnummer: 2004.010.
Funddatum 31.10.2005; FmZH, LNr. 5138; SFI 243-0013.1.

M30 Marcus Aurelius für Commodus Caesar

Roma, Sesterz, 179 n.Chr.
Vs. [---]AVREL COM[---]III; Kopf mit Lorbeerkranz n.r., drapierte l. Schulter.
Rs. [---] = C; stehende weibliche Gestalt von vorn mit Schild an l. Seite, r. von ihr Altar.
RIC III, S. 342, Nr. 1600.
AE; 16,782 g; 27,9/29,9 mm; 180°. A 3/4 K 1/2.
Bemerkung: quadratisch-rund, knapper Schrötling.
m 500.40/57.93.
FK 329; Feld 20, Pos. 214; Ereignisnummer: 2004.010.
Funddatum 08.11.2005; FmZH, LNr. 5142; SFI 243-0013.9.

M31 Philippus I. Arabus

Roma, Sesterz, 244–249 n.Chr.
Vs. [IMP] M IVL PHILIPPVS AVG; kürassierte, drapierte Büste mit Lorbeerkranz n.r.
Rs. LIBERALITAS A[---]G II S = C; stehende weibliche Gestalt n.l. mit Cornucopia in l. Arm und Abakus in rechter Hand.

RIC IV,3, S. 91, Nr. 180a.
AE; 16,528 g; 27,6/28,7 mm; 345°. A 1/2 K 1/1.
Bemerkung: quadratisch-rund, Schrötling knapp und am Rand eingegraben, Rs. dezentriert.
m 501.18/58.34.
FK 307; Feld 20, Pos. 236; Ereignisnummer: 2004.010.
Funddatum 01.11.2005; FmZH, LNr. 5139; SFI 243-0013.6.

Umgebung Gebäude O

M32 (Augustus)

(Lugdunum), As, (7–3 v.Chr.)
Vs. [---] MAX; Kopf n.r.
Rs. // [R] OM[ET] AVG; Altarumfriedung.
Typ: Lyoner Altarserie I.
RIC I², S. 57, Nr. 230.
Aes; 2,75 g; 14,4/23,6 mm; 165°. A 4/3 K 4/3.
Bemerkung: Imitation?, halbiert, sehr dünner Schrötling, Rand stark ausgebrochen.
m 498.70/56.50.
FK 560; Feld 30, Pos. 425; Ereignisnummer: 2004.010.
Funddatum 07.02.2006; FmZH, LNr. 5147; SFI 243-0013.01.

Gebäude P

M33 Marcus Aurelius

Roma, Sesterz, 170–171 n.Chr.
Vs. M ANTONINVS AVG TR [P] XXV; Kopf mit Lorbeerkranz n.r.
Rs. CO[S] - [V]III; thronende, männliche Gestalt n.l. mit Speer in l. und Blitzbündel(?) in r. Hand.
RIC III, S. 292, Nr. 989.
AE; 28,153 g; 30,4/31,8 mm; 165°. A 2/3 K 1/1.
Bemerkung: quadratisch-rund, leicht dezentriert, Drehspuren(?) auf Rs.
H 387.91; m 497.34/32.70.
FK 477; Feld 26, Pos. 401; Ereignisnummer: 2004.010.
Funddatum 13.01.2006; FmZH, LNr. 5146; SFI 243-0013.01.

M34 Gordianus III.

Roma, Sesterz, 240–244 n.Chr.
Vs. [IMP] GORDIANVS PIVS FEL AVG; kürassierte, drapierte Büste mit Lorbeerkranz n.r.
Rs. [---]TAS TEMPORVM; S = C; stehende weibliche Gestalt n.r. mit Cornucopia in l. Arm und Caduceus in r. Hand.
RIC IV,3, S. 51, Nr. 330.
AE; 16,516 g; 27,5/30,5 mm; 360°. A 1/1 K 3/2.
Bemerkung: quadratisch-rund, verbrannt, knapper Schrötling.
FK 447; Feld 25, Pos. 198; Ereignisnummer: 2004.010.
Funddatum 05.12.2005; FmZH, LNr. 5144; SFI 243-0013.1.

M35 Gordianus III.

Roma, Sesterz, 240–244 n.Chr.
Vs. IMP GORDIANVS PIVS FEL AVG; kürassierte, drapierte Büste mit Lorbeerkranz n.r.
Rs. IOVI STATORI; S = C; stehende männliche Gestalt mit Clamys n.l., Kopf n.r., mit langem Szepter in r. und Blitzbündel(?) in l. Hand.
RIC IV,3, S. 48, Nr. 298a.
AE; 14,286 g; 28,1/30,7 mm; 345°. A 1/1 K 1/2.
Bemerkung: quadratisch-rund, Rand an einer Stelle leicht ausgebrochen, leicht dezentriert.
H 387.94; m 495.87/32.54.
FK 470; Feld 26, Pos. 398; Ereignisnummer: 2004.010.
Funddatum 12.01.2006; FmZH, LNr. 5145; SFI 243-0013.1.

Gebäude P – Neumattstrasse 11 (SFI 243-11 – Sondierung)

M36 Constantinus I. für Constantinsöhne?

Prägestätte unbestimmt, Aes 4, erstes Drittel 4. Jh. n.Chr.
Vs. [---]ON[---]; Büste mit Perldiadem n.l.
Rs. [---]; zwei Soldaten, dazwischen zwei Standarten?
Typ: GE 2?
RIC -.
AE; 1,061 g; 11,83/12,0 mm; 315°. A 2/2 K 1/2.
Bemerkung: Münze ungereinigt, knapper Schrötling.
FK 8; Pos. OK 13; Ereignisnummer: 2000.037.

Funddatum 13.09.2006; FmZH, LNr. 5150; SFI 243-0011.

Umgebung Gebäude P – Neumattstrasse 11, 13, 15 (SFI 243-13)

M37 Gordianus III.

Roma, Sesterz, 238–239 n.Chr.

Vs. [---]ES M ANT G[---]; kürassierte, drapierte Büste mit Lorbeerkranz
n.r.

Rs. [---]R - IA A[---]; [-] = C; schreitende, weibliche, geflügelte Gestalt
n.l. mit Abacus in erhobener r. Hand.

RIC IV.3, S. 43, Nr. 258a.

AE; 16,917 g; 28,4/32,0 mm; 15°. A 2/3 K 2/3.

Bemerkung: quadratisch-rund, Rand eingerissen, Einhiebe auf Vs.?

Brandspuren auf Vs. und Rs.; anhaftende organische Reste auf Vs.?

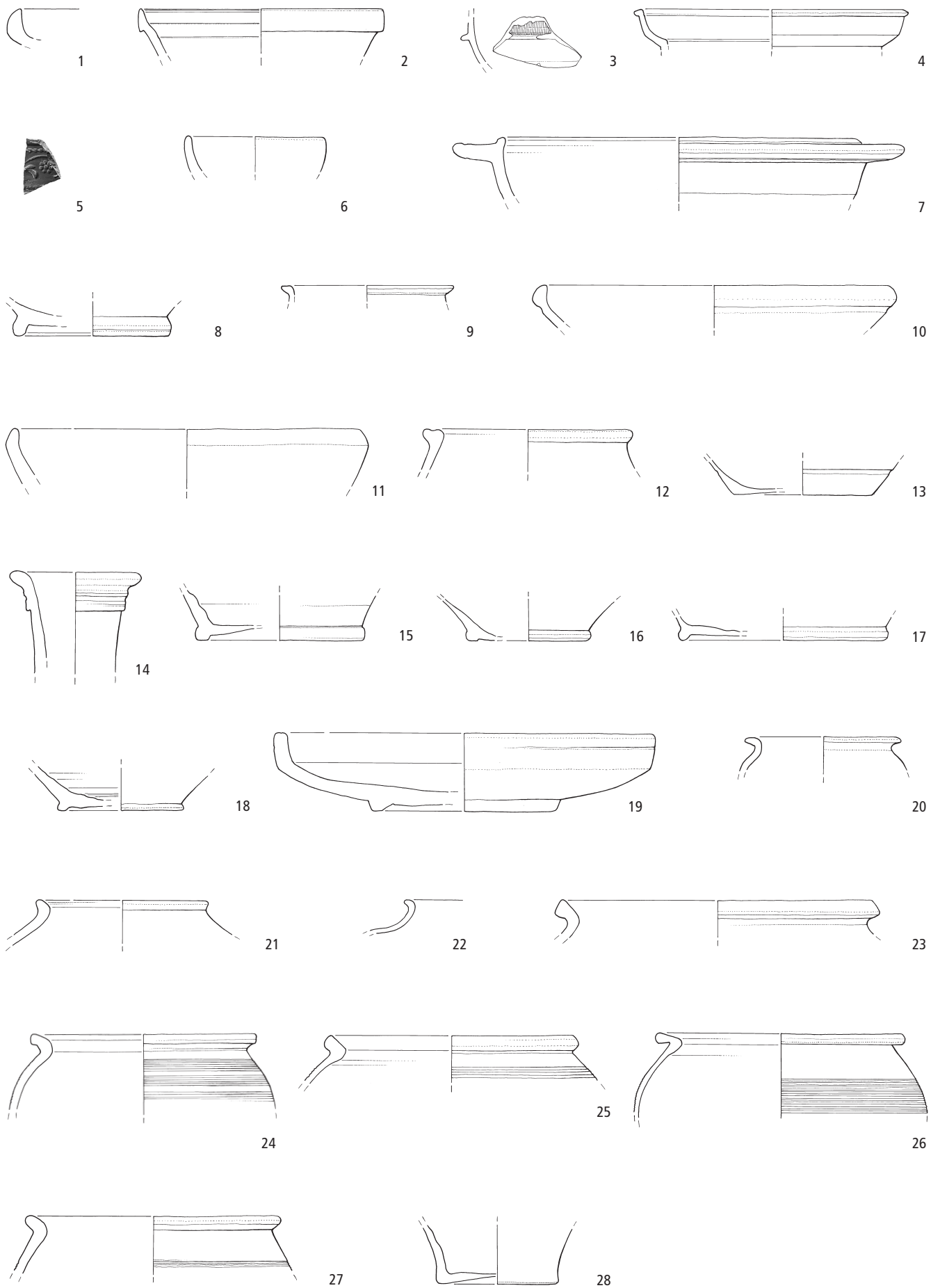
m 496.00/24.75.

FK 308; Feld 22, Pos. 234; Ereignisnummer: 2004.010.

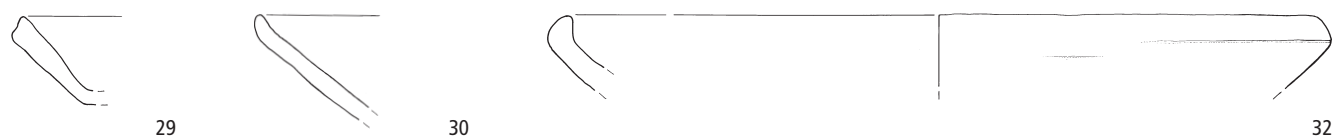
Funddatum 01.11.2005; FmZH, LNr. 5140; SFI 243-0013.7.

8 Tafeln

Tafel 1



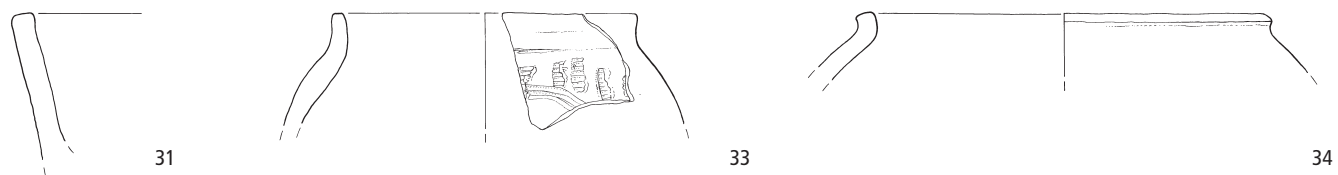
Dietikon. Neumattstr. 11, 13, 15. Funde aus der Holzbauperiode. 1–28 Keramik. M. 1:3.



29

30

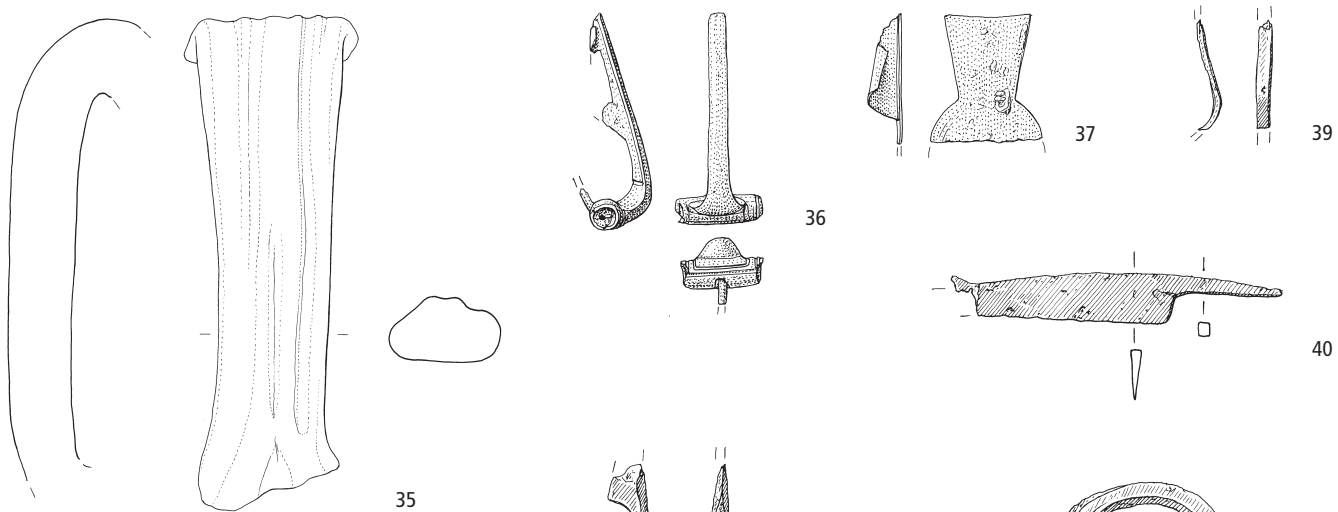
32



31

33

34

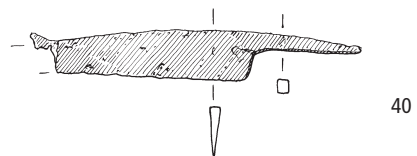


35

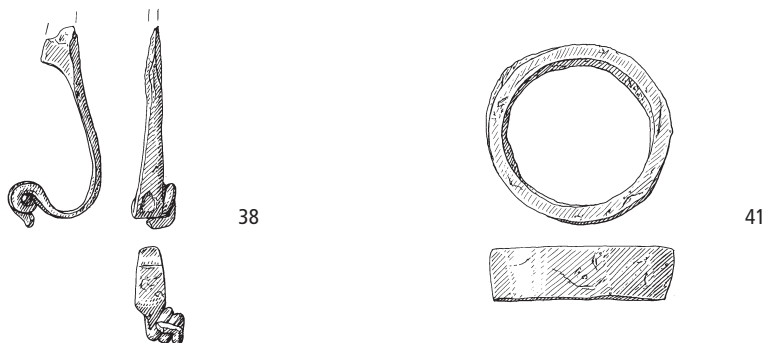
36

37

39



40

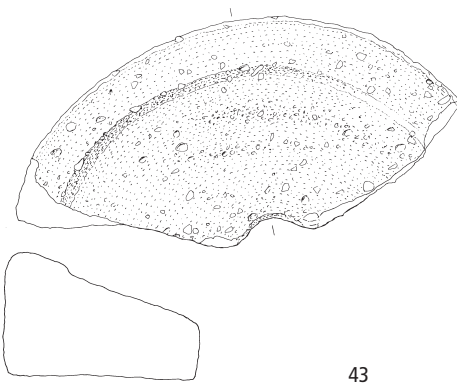


38

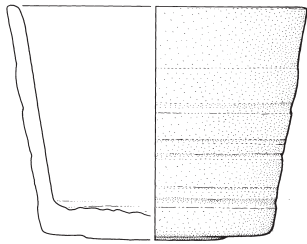
41



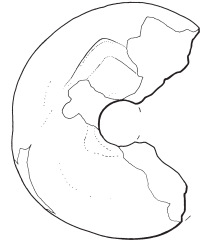
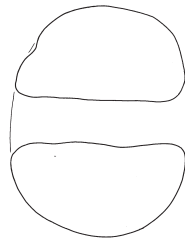
42



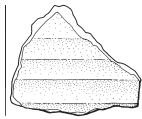
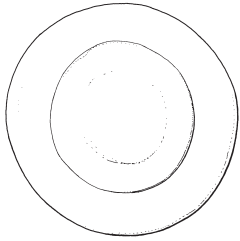
43



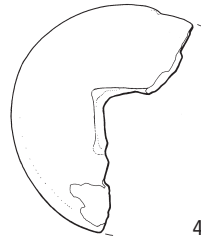
44



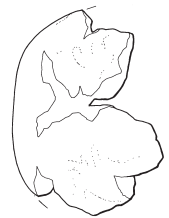
45



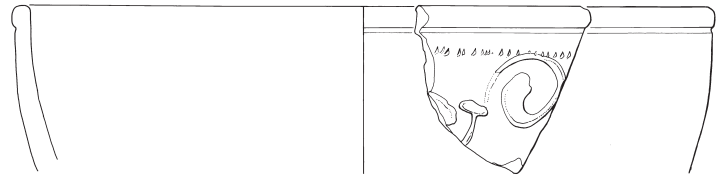
47



46



48



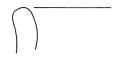
49



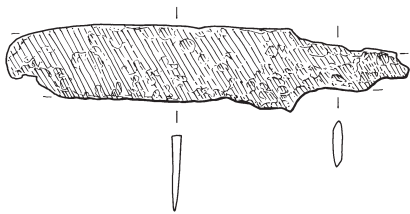
50



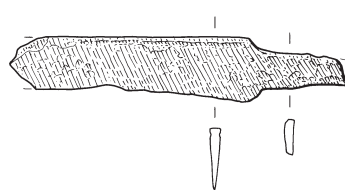
51



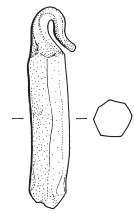
52



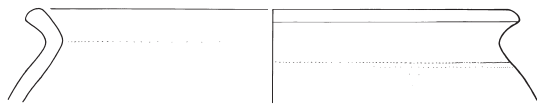
53



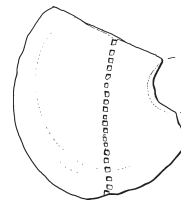
54



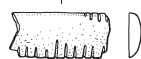
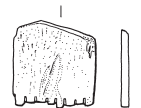
55



56



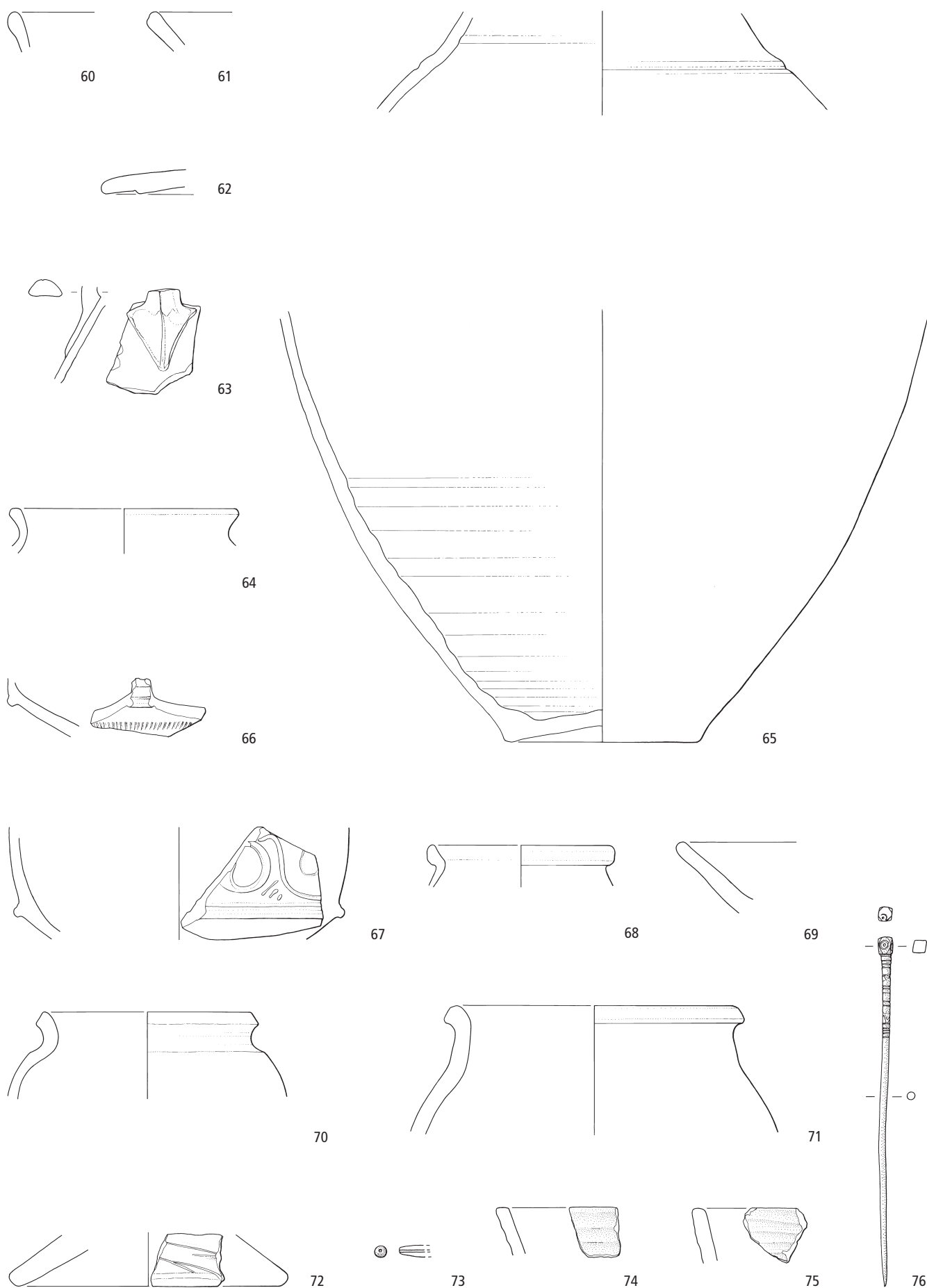
57



59



58



Dietikon. Funde aus dem 4.–7. Jh. Neumattstr. 11, 13, 15: 60–76. 60.61.63–72 Keramik; 62.74.75 Lavez; 73 Glas; 76 Bronze. 60–72.74–75 M. 1:3; 73.76 M. 1:2.



M1



M2



M3



M4



M5



M6



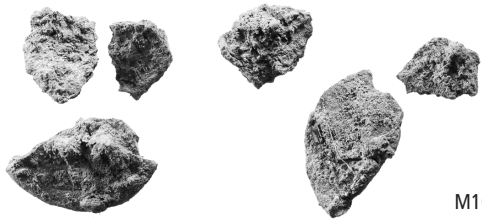
M7



M8



M9



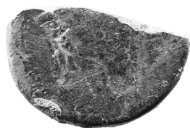
M10



M11



M12



M13



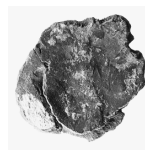
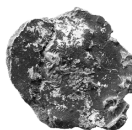
M14



M15



M16



M17



M18



M19



M20



M21



M22



M23



M24



M25



M26



M27



M28



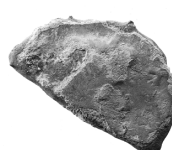
M29



M30



M31



M32





M33



M34



M35



M36



M37

Bisher erschienene Hefte der Reihe «Zürcher Archäologie»

- Heft 1 Ursula Hügi, Meilen-Rorenschalen (2000). 120 Seiten.
- Heft 2 Sabine Bolliger, Zürich Wollishofen-Haumesser. Spätbronzezeitliche Keramik (2001). 81 Seiten.
- Heft 3 Andreas Mäder, Zürich-Alpenquai I: Die Metallfunde (2001). 159 Seiten.
- Heft 4 Christina Achour-Uster, Johanna Kunz, Birmensdorf-Stoffel (2001). 105 Seiten.
- Heft 5 Ursula Kunnert, Urdorf-Heidenkeller und weitere römische Fundstellen in der Gemeinde Urdorf (2001). 149 Seiten.
- Heft 6 Andreas Mäder, Zürich-Alpenquai II: Die Schultergefässe und Kugelbecher (2001). 75 Seiten.
- Heft 7 Christine Tobler, Erlenbach-Winkel (2002). 91 Seiten.
- Heft 8/9 Andreas Mäder, Die spätbronzezeitlichen und spätlatènezeitlichen Brandstellen und Brandbestattungen in Elgg [Heft 8 Text; Heft 9 Kataloge, Anhang, Tafeln] (2002). 211 Seiten (Heft 8), 109 Seiten (Heft 9).
- Heft 10 Felicia Schmaedecke, Die reformierte Kirche Winterthur-Veltheim. Neuauswertung der archäologischen Untersuchungen 1977–1978 (2003). 135 Seiten.
- Heft 11 Mathias Schmidheiny, Zürich-Alpenquai III: Die gewölbten Schalen (2003). 115 Seiten.
- Heft 12 Madeleine Betschart, Zürich-Alpenquai IV: Töpfe (2004). 83 Seiten.
- Heft 13 Nina Künzler Wagner, Zürich-Alpenquai V: Tauchgrabungen 1999–2001 (2005). 131 Seiten.
- Heft 14 Silvia Kotai, Zürich-Alpenquai VI: Schüsseln (2005). 59 Seiten.
- Heft 15 Johanna Kunz, Zürich-Alpenquai VII: Konische Schalen, Breitrandschalen, Fusschalen (2005). 99 Seiten.
- Heft 16 Markus Roth, Zürich-Alpenquai VIII: Halsgefässe (2005). 89 Seiten.
- Heft 17 Adrian Huber, Zürich-Alpenquai IX: Keramische Kleinfunde und Sonderformen (2005). 155 Seiten.
- Heft 18 Kurt Altorfer, Anne-Catherine Conscience, Meilen-Schellen. Die neolithischen und spätbronzezeitlichen Funde und Befunde der Untersuchungen 1934–1996 (2005). 215 Seiten.
- Heft 19 Anne-Catherine Conscience, Wädenswil-Vorder Au. Eine Seeufersiedlung am Übergang vom 17. zum 16. Jh. v.Chr. im Rahmen der Frühbronzezeit am Zürichsee (2005). 155 Seiten.
- Heft 20 Felicia Schmaedecke, Die reformierte Kirche St. Arbogast in Oberwinterthur. Neuauswertung der Ausgrabungen und Bauuntersuchungen 1976–1979 (2006). 239 Seiten.
- Heft 21 Daniel Käch, Der Gutshof Strickhof/Mur in Zürich (2007). 80 Seiten.
- Heft 22 Felicia Schmaedecke, Die reformierte Kirche in Wila. Neuauswertung der archäologischen Untersuchungen 1978–1979 (2007). 141 Seiten.
- Heft 23 Ulrich Eberli, Birmensdorf-Wannenboden. Eine Siedlungsstelle der Spätbronzezeit (2008). 72 Seiten.
- Heft 24 Andreas Mäder, Die mittelbronzezeitlichen Gräber von Birmensdorf-Rameren (2008). 99 Seiten.
- Heft 25 Markus Roth, Rheinau-Heerenwis. Früh- und hochmittelalterliche Siedlungsspuren (2008). 139 Seiten.
- Heft 26 Daniel Käch, Das Umland von Zürich in römischer Zeit (2008). 103 Seiten.
- Heft 27 Annamaria Matter, Andrea Tiziani, Siedlungsentwicklung an der Marktgasse in Winterthur vom Hochmittelalter bis in die Neuzeit (2009). 107 Seiten.
- Heft 28 Georg Matter, Die spätantike Befestigung von Kloten (2009). 99 Seiten.
- Heft 29 Renata Windler et al., Ein Gräberfeld des 5.–7. Jahrhunderts bei Flaach (2012). 153 Seiten.
- Heft 30 Beat Horisberger et al., Oberweningen und Schleinikon. Zwei römische Gutshöfe im zürcherischen Wehntal (2012). 251 Seiten.
- Heft 31 Daniel Käch, Neues zum römischen Gutshof von Dietikon. Die Resultate der Grabungen seit 1995 (2013). 140 Seiten.

